

562.1
18

WHITNEY LIBRARY,
HARVARD UNIVERSITY.



THE GIFT OF
J. D. WHITNEY,
Sturgis Hooper Professor
IN THE
MUSEUM OF COMPARATIVE ZOOLOGY
12609.

January 6, 1891.

Wm H. Brewer
Miner

62 Tafeln

zum

Handbuche der Petrefaktenkunde

von

Fr. Aug. Quenstedt,
Professor zu Tübingen.

5625
10

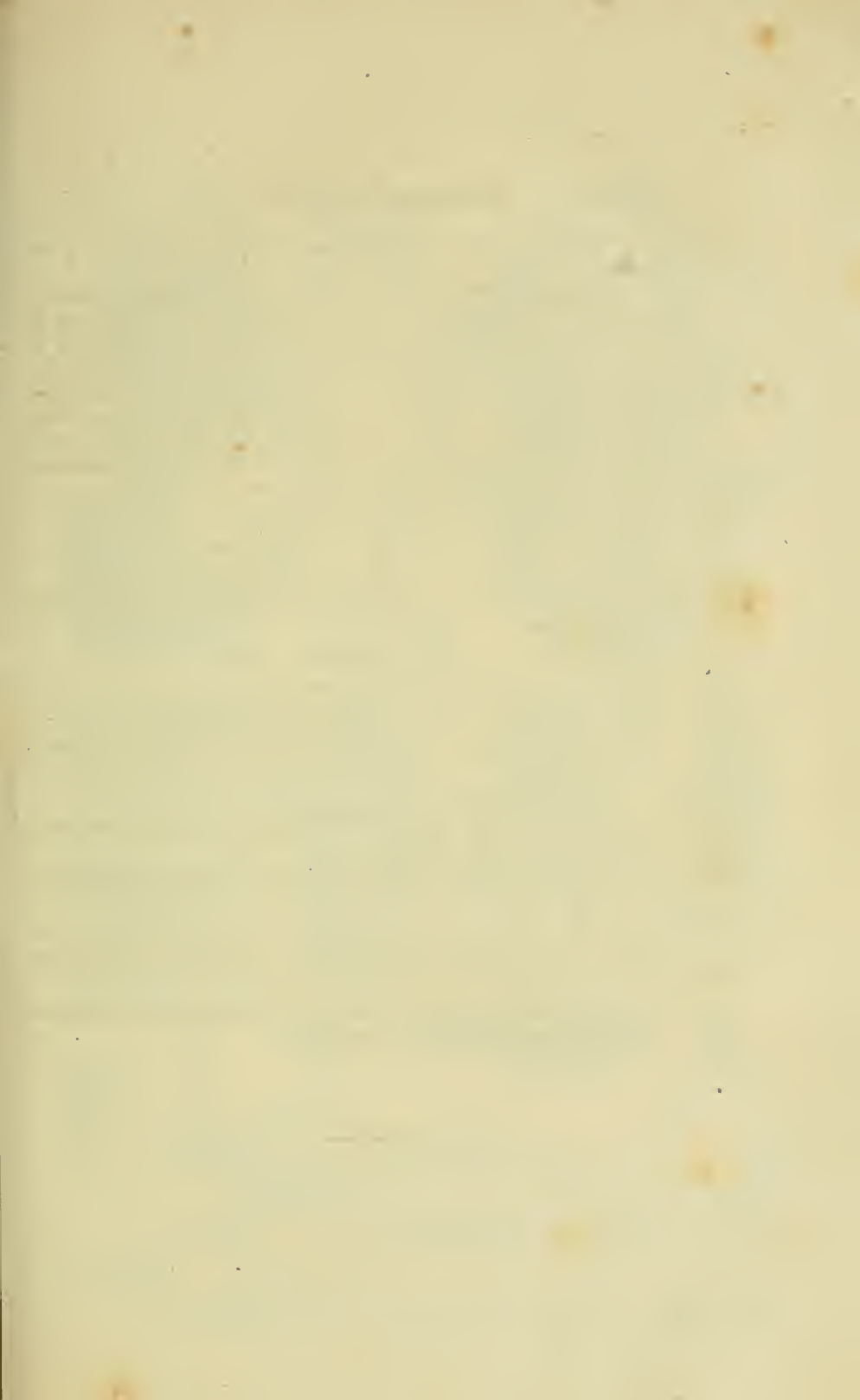
SMA

Tübingen, 1852.

Verlag der H. Laupp'schen Buchhandlung.

— Laupp & Siebeck. —

PZ - Q



Erklärung der Tab. 1.

Fig. 1 u. 2. Kopf von einer Haussäge pag. 21: 1 von der Seite; 2 von unten:

1 Stirnbein; 2' Thränenbein; 3 Nasenbein; 5 Hinterhauptbein; 6 hinterer Keilbeinkörper; 6' vorderer Keilbeinkörper; 7 Scheitelbein; 11 große Flügel des Keilbeins; 12 Schlafbein; 14 kleine Flügel des Keilbeins; 16 vomer; 17 Zwischenkiefer; 18 Oberkiefer; 19 Fochbeine; 22 Gaumenbein; 23 Zitzenbein; 25 Flügelbein; 26 Paukenknochen.
A der Gehörgang; a f. condyloideum; b f. ovale; c f. rotundum; d Keilbeinspalte; e f. opticum; f Tuba Eustachii; g f. jugulare; h f. styloideum; i Unteraugenöhrenkanal; k Gaumenkeilbeinloch; l Gaumenkanal; m Gaumenlöcher; n Thränenkanal; o f. incisiva.

Fig. 3. Fünfter Halswirbel derselben von der Hinterseite.

Fig. 4. Erster Rückenwirbel derselben von der Vorderseite.

Fig. 5. Hessberger Thiersährten pag. 38, $\frac{1}{6}$ natürlicher Größe.

Fig. 6. Höhlenbär pag. 34, linker hinterster Backenzahn, Erpfinger Höhle bei Neulingen.

Fig. 7. Höhlenbär pag. 34 rechte Vordertäze, daher.

Fig. 8. Höhlenbär pag. 34 rechte Hintertäze, daher.

Fig. 9. Höhlenbär pag. 34 daher, Gehörknöchelchen (Hammer).

Fig. 10. Megalonyx Jeffersoni pag. 44 Fußkralle, Copie nach Cuvier, $\frac{1}{4}$ natürlicher Größe.

Fig. 11. Krallen einer Haussäge.

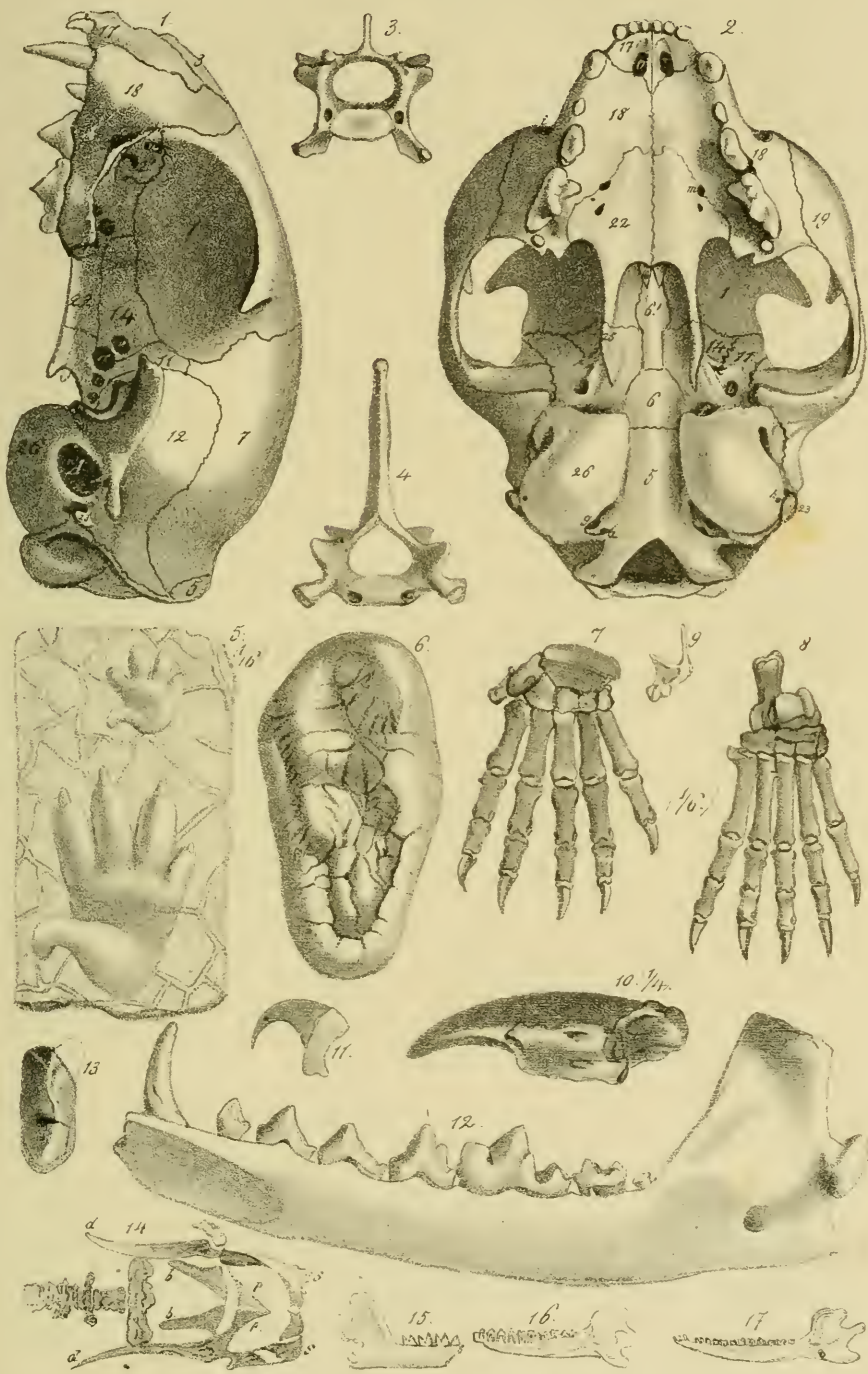
Fig. 12. Höhlenfuchs pag. 33 aus der Erpfinger Höhle, rechter gut fossiler Unterkiefer von der Innenseite.

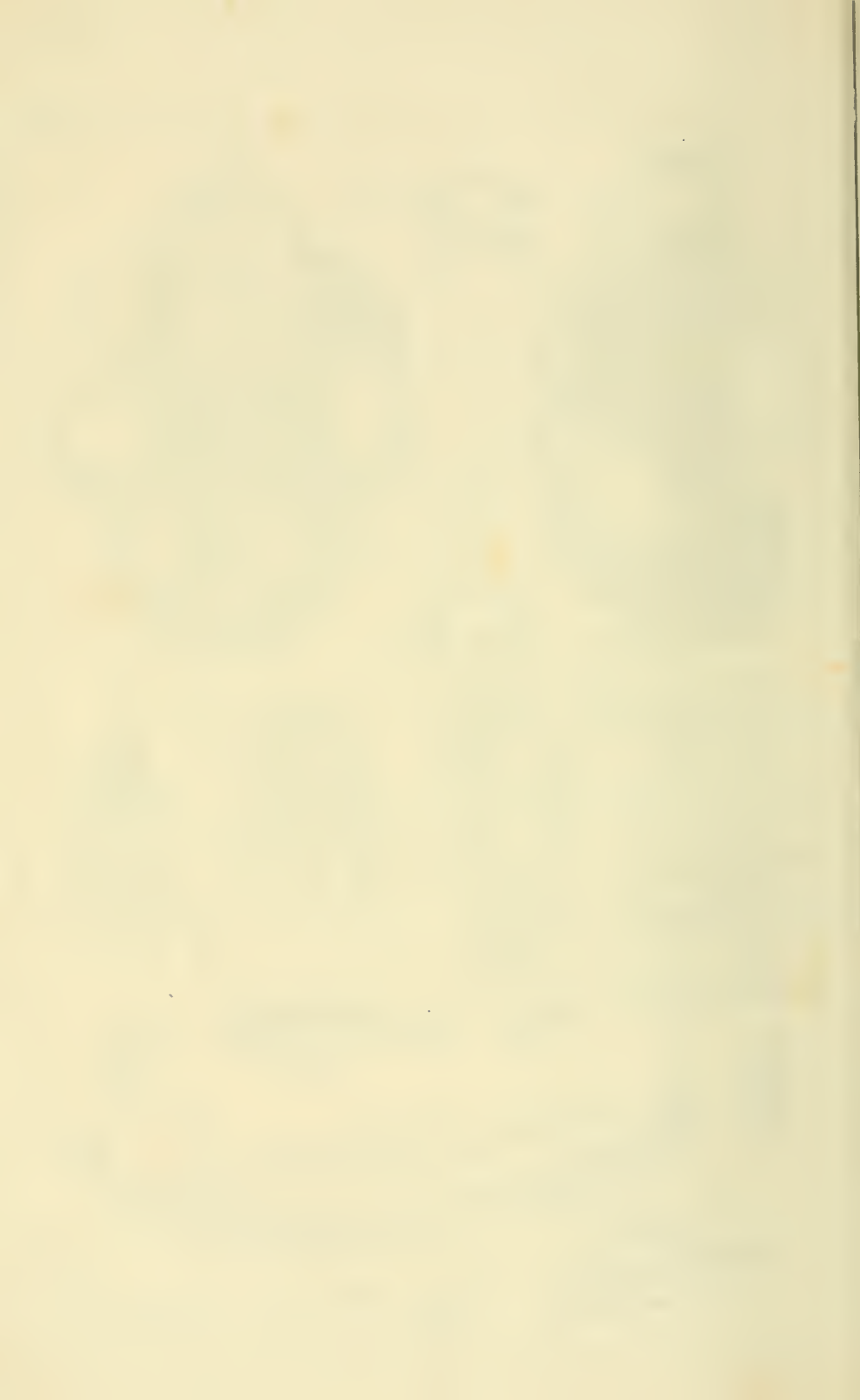
Fig. 13. Fleischzahn des rechten Oberkiefers von einem Hunde, 2te Säugethierformation. Ulm.

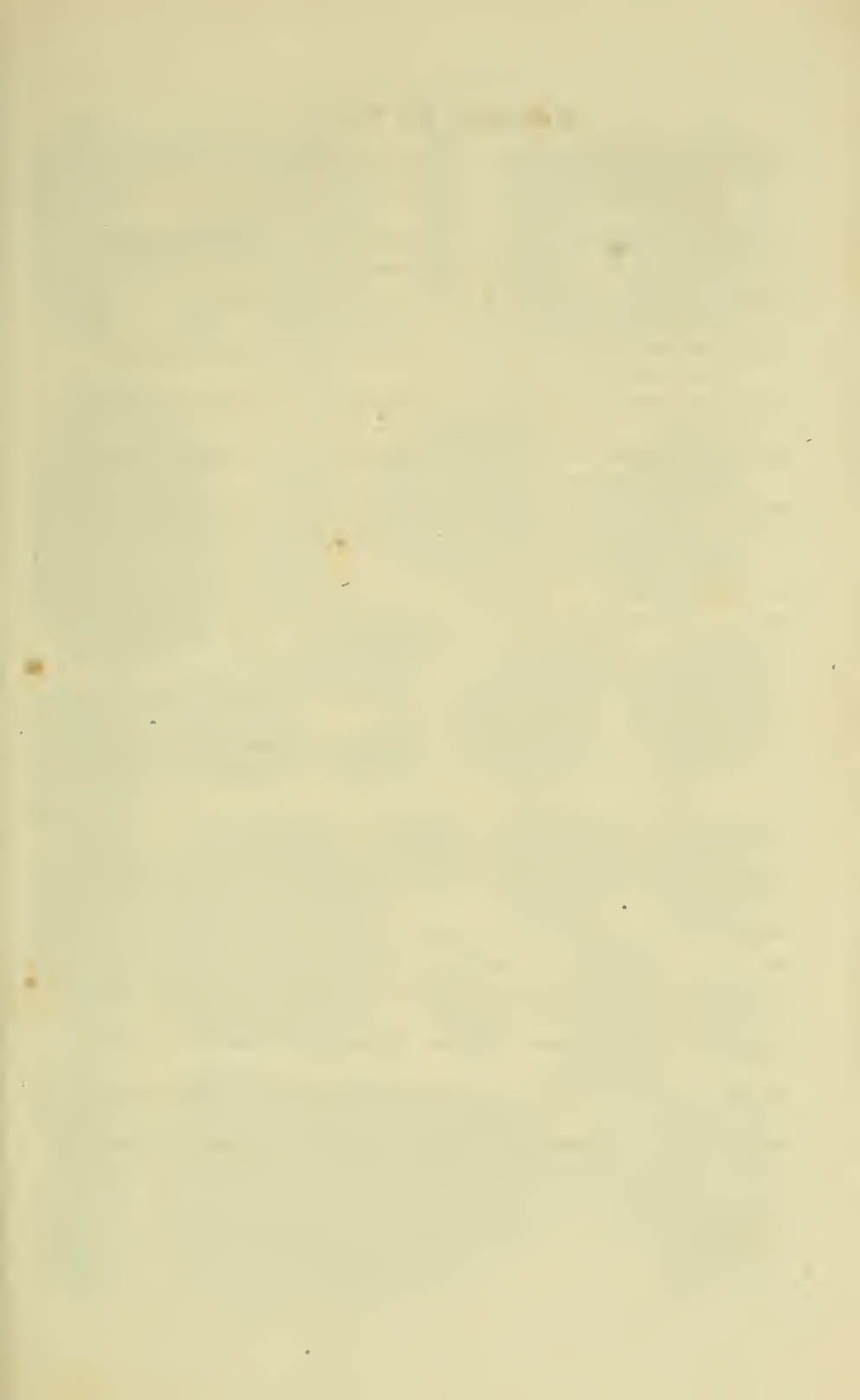
Fig. 14. Didelphys Cuvieri pag. 37 aus dem Gypse bei Paris, Copie nach Cuvier: bb Beutelknochen; dd Darmbeine; ss Sitzbeine; pp Schambeine.

Fig. 15. dito, daher, rechter Unterkiefer, nach Cuvier.

Fig. 16 u. 17. Amphitherium Prevostii pag. 38 aus dem Dolith von Stonesfield, Copie nach Owen's Odontographie.

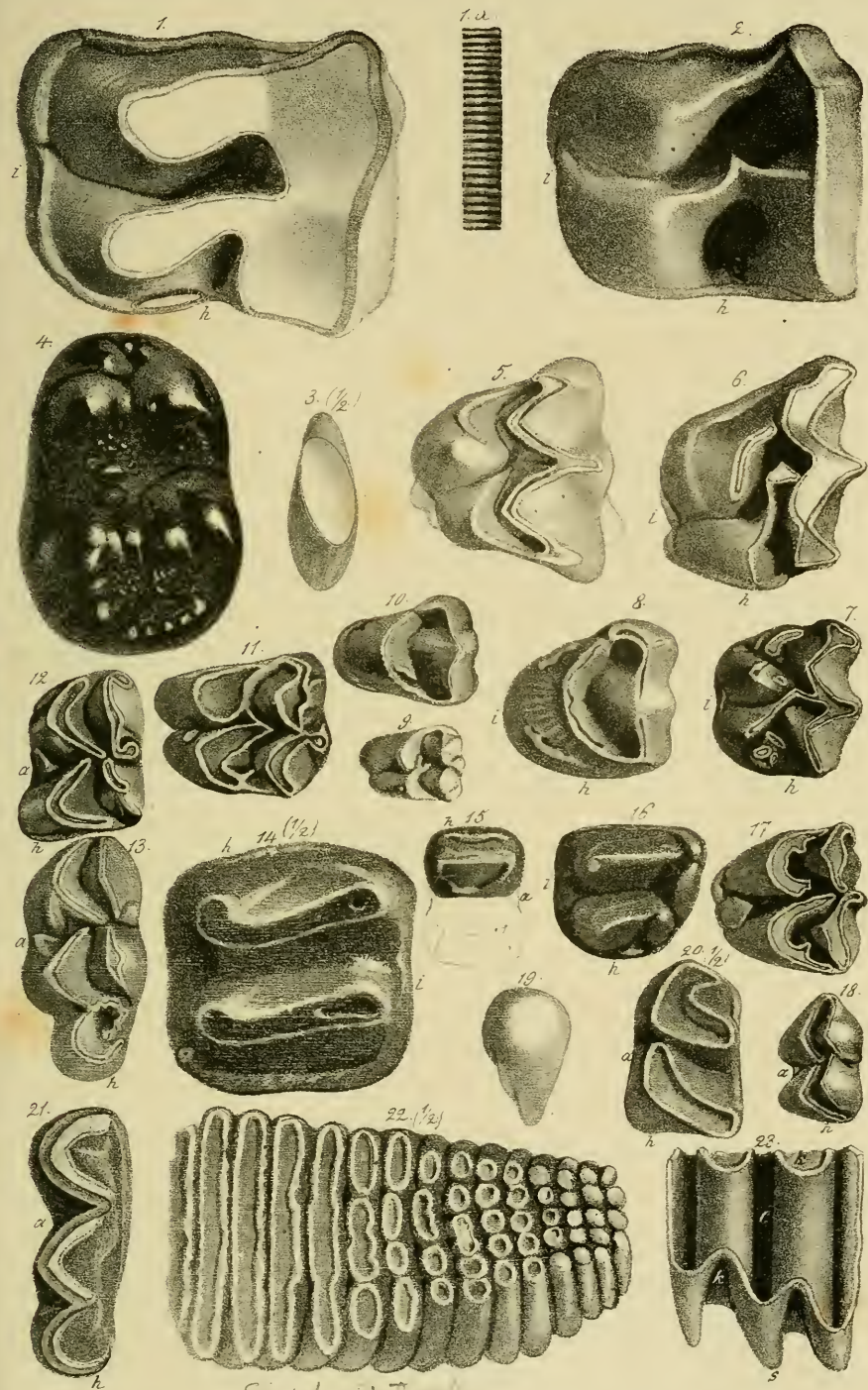




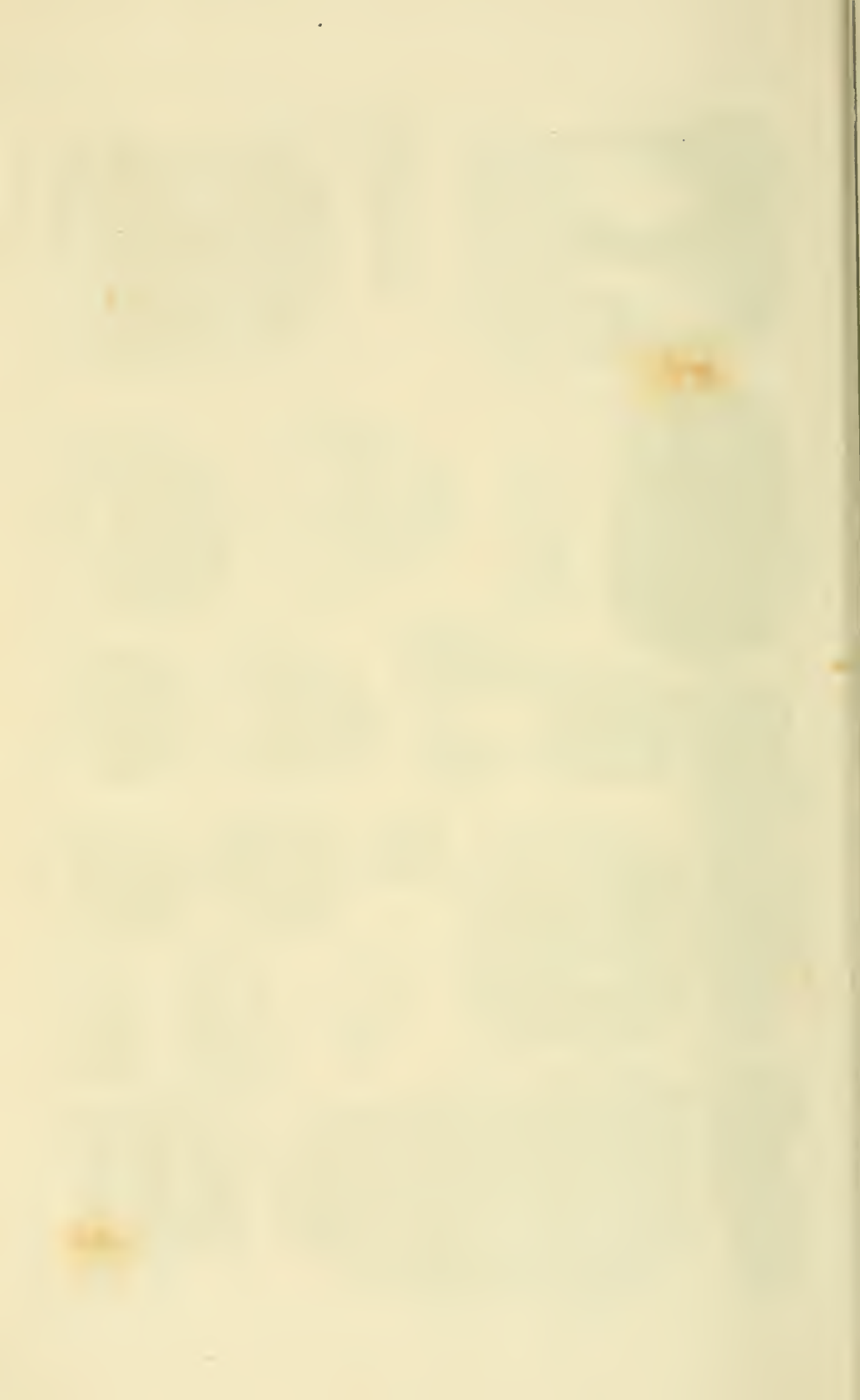


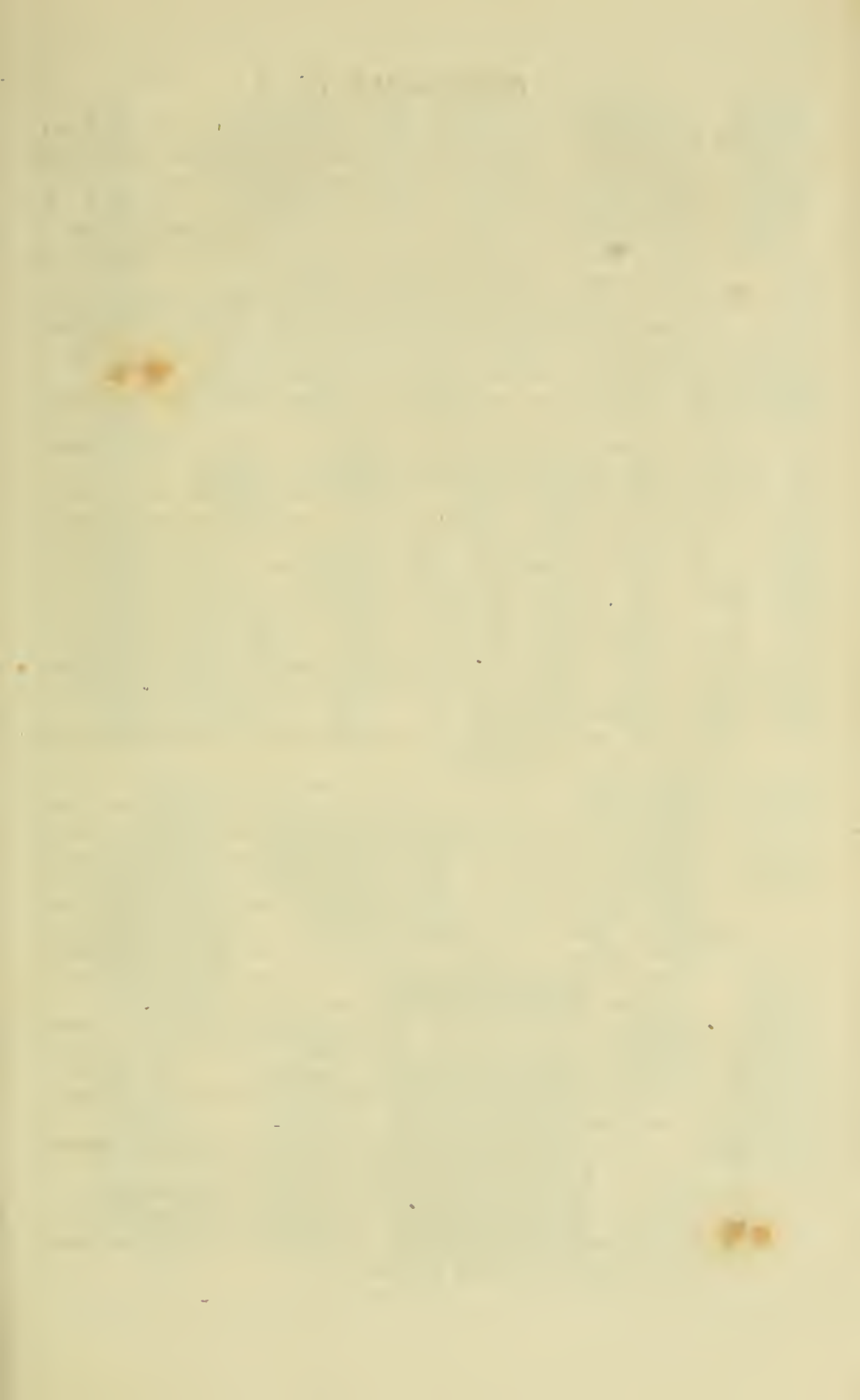
Erklärung der Tab. 2.

- Fig. 1. Rhinoceros incisivus pag. 57. Süßwasserkalk, Ulm: 4ter des linken Oberkiefers, h Hinterseite, i Innenseite: 1. a Schmelzstruktur der Außenseite.
- Fig. 2. Rhinoceros incisivus pag. 57. Bohnenerz von Heudorf bei Möskirch, etwa 3ter des linken Oberkiefers, unangekauter Milchzahn.
- Fig. 3. Rhinoceros incisivus pag. 57. Georgsgmünd, Schneidezahn des linken Oberkiefers von der Kaufläche, $\frac{1}{2}$ natürl. Größe.
- Fig. 4. Mastodon angustidens pag. 54. Natürl. Größe. Milchzahn. 2te Säugethierformation von Eppelsheim.
- Fig. 5. Anoplotherium commune pag. 60. Bohnenerz von Neuhausen bei Tuttlingen, 7ter des linken Oberkiefers.
- Fig. 6. Palaeotherium medium pag. 59. Bohnenerz von Neuhausen, 5ter des linken Oberkiefers.
- Fig. 7. Palaeotherium Aurelianense pag. 59. Eppelsheim, linker Oberkieferzahn.
- Fig. 8. Anoplotherium commune pag. 60 Cuv. Bohnenerz von Neuhausen, 4ter des linken Oberkiefers.
- Fig. 9. Palaeomeryx aus dem Derlinger Thal bei Ulm, linker Oberkiefer.
- Fig. 10—13. Palaeomeryx Kaupii pag. 67. Süßwasserkalk, Georgsgmünd: 10 3ter Oberkiefer z. links; 11 4ter Oberkiefer z. links; 12 u. 13 5ter u. 6ter links unten.
- Fig. 14. Dinotherium giganteum pag. 71. Eppelsheim, vorletzter linker oberer Backenzahn, h Hinterseite, i Innenseite.
- Fig. 15. Lophiodon minutum pag. 58 aus dem Süßwasserkalk des Derlinger Thales bei Ulm, die Hinterhälfte des hintersten linken Unterkieferzahns: h Hinterseite, a Außenseite.
- Fig. 16. Lophiodon minutum pag. 58 aus der Molasse von Häusen bei Pfäffendorf, linker hinterster Oberkieferzahn.
- Fig. 17. Hirsch pag. 65. Bohnenerz von Melchingen, linker 5ter Oberkieferzahn.
- Fig. 18. dito daher, 5ter linker Unterkieferzahn.
- Fig. 19. dito daher, Eckzahn von einem männlichen Hirsch.
- Fig. 20. Rhinoceros incisivus pag. 57. Linker Unterkieferzahn von Häusen bei Pfäffendorf, $\frac{1}{2}$ natürl. Größe.
- Fig. 21. Palaeotherium medium pag. 59. Bohnenerz bei Neuhausen, hinterster linker Unterkieferzahn.
- Fig. 22. Mammutzähn pag. 48 aus dem Oberkiefer, Diluviallehm bei Tübingen, $\frac{1}{2}$ natürl. Größe.
- Fig. 23. dito, o Gängentschläge mit Gängenstanz; k Knochenfack (Schmelzbüchse); s Gängenfack.



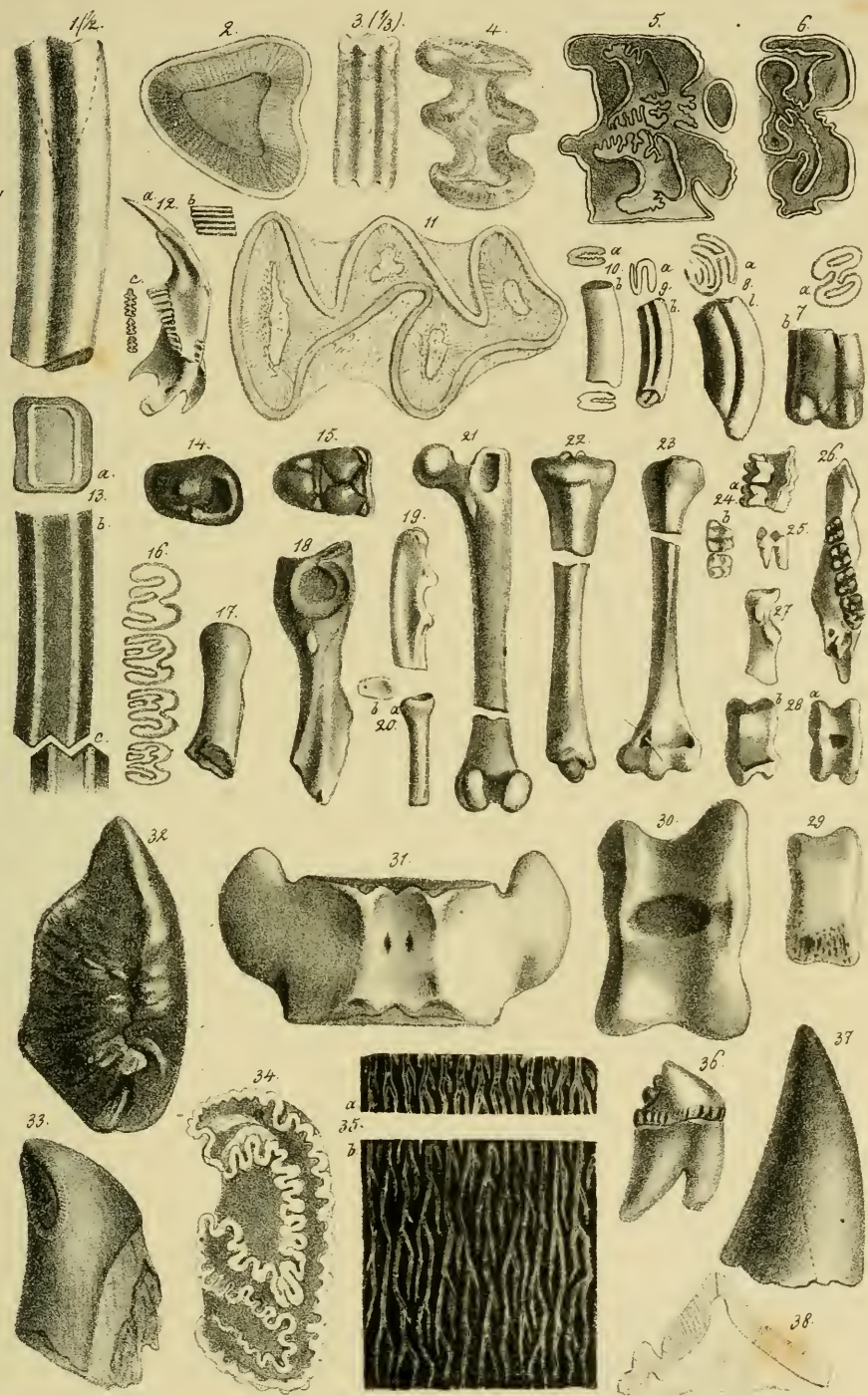
Elephant Th.

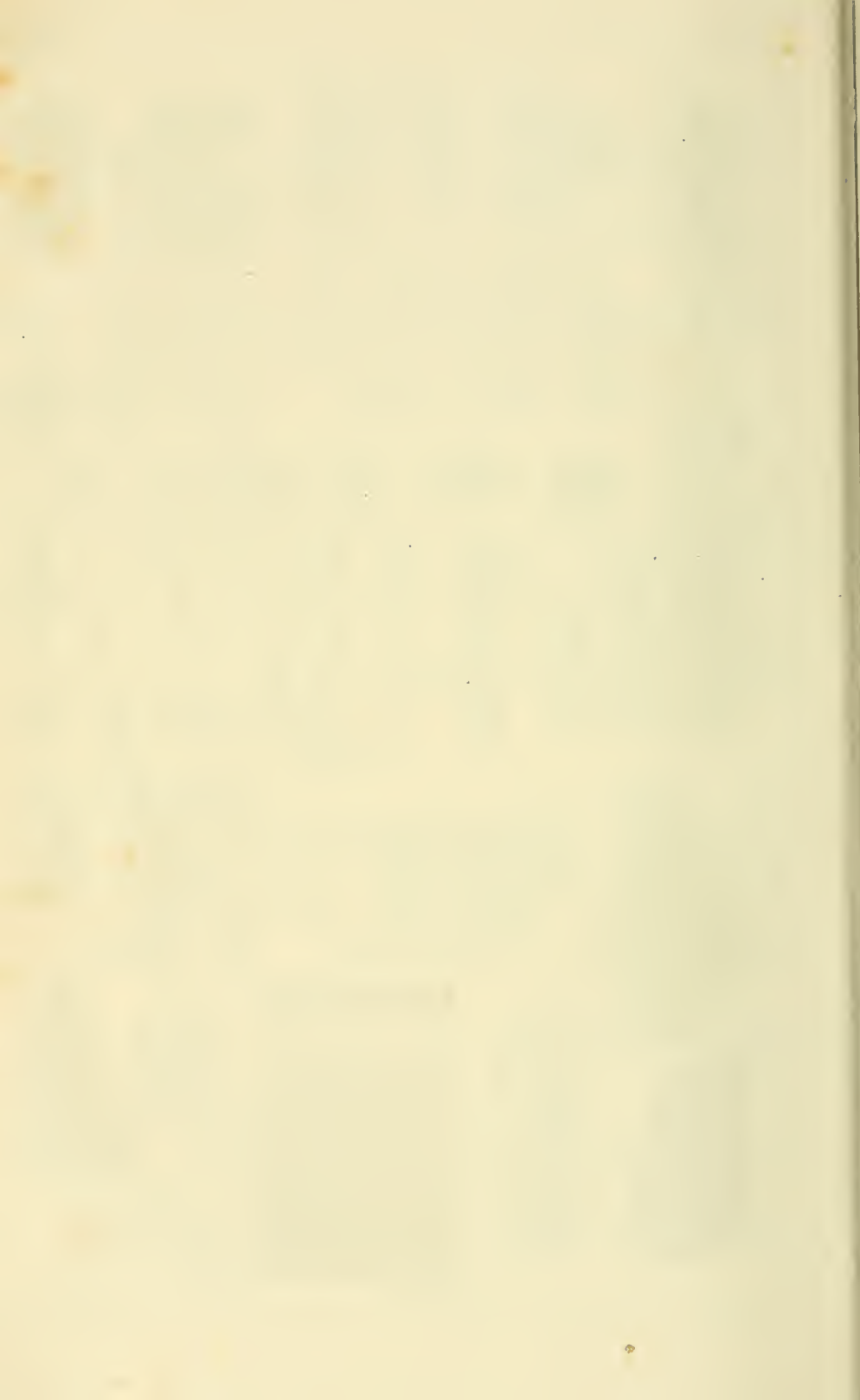


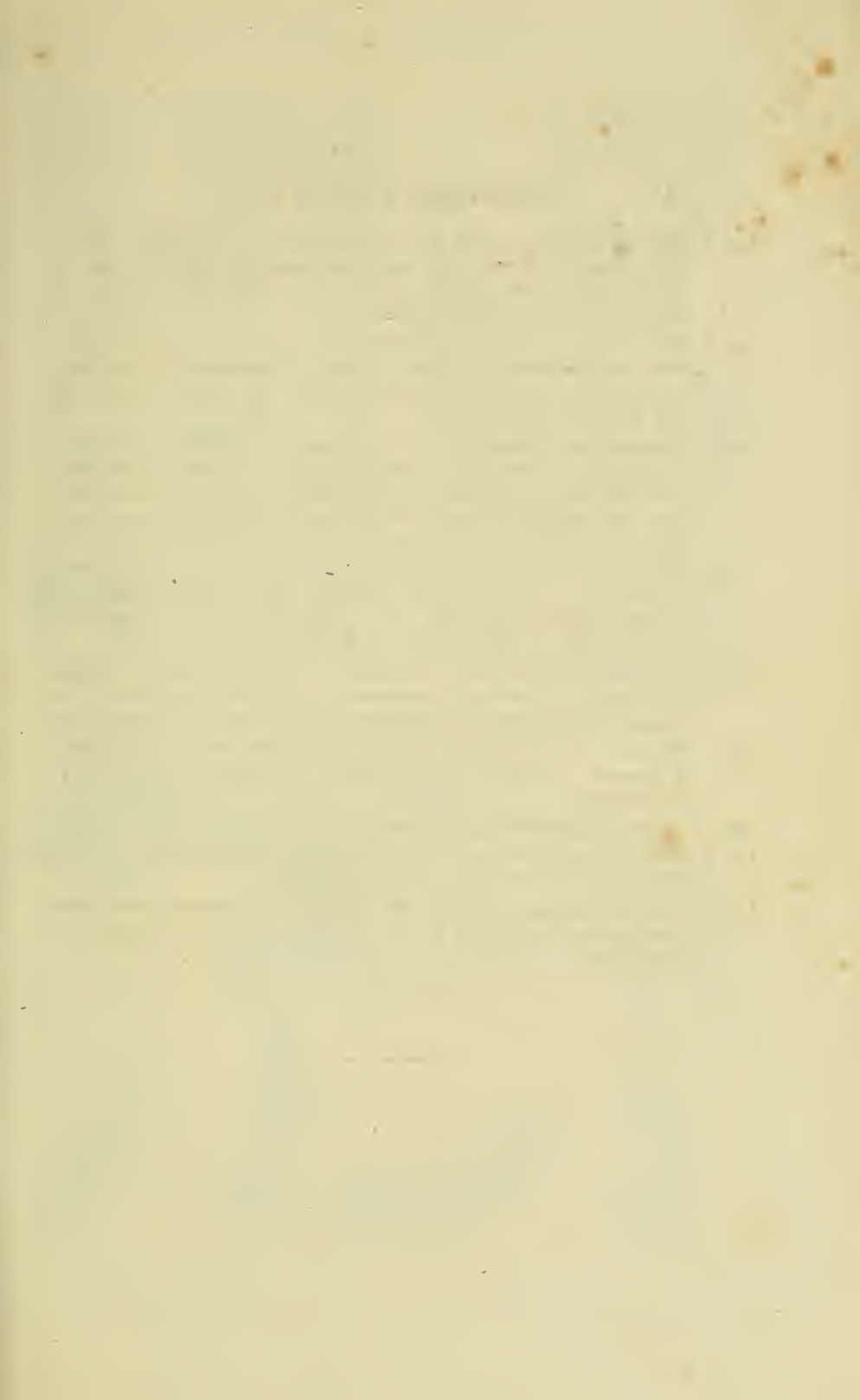


Erklärung der Tab. 3.

- Fig. 1 u. 2. *Mylodon robustus* pag. 45 mittlerer Backenzahn des Oberkiefers, nach Owen: 1 Seitenansicht, $\frac{1}{2}$ natürlicher Größe, die punktierte Linie deutet die Pulpahöhle an; 2 Kaufläche, natürliche Größe.
- Fig. 3 u. 4. *Glyptodon clavipes* pag. 46 nach Owen Odontogr. tab. 86. fig. 1 u. 2: 3 Seitenansicht, $\frac{1}{3}$ natürlicher Größe; 4 Kaufläche, natürl. Größe.
- Fig. 5 u. 6. *Hippotherium gracile* pag. 61 von Eppelsheim: 5 zweiter rechter Oberkieferz., 6 mittlerer rechter Unterkieferzahn.
- Fig. 7. *Biberzahn* pag. 42 von Heudorf bei Mößkirch, vorderster rechter Unterkieferzahn: a Kaufläche, b Seitenansicht, hat bereits Wurzel geschlagen.
- Fig. 8. Desgleichen, aus der Molasse von Pfullendorf.
- Fig. 9. Kleinerer Mäger von Salmendingen aus den dortigen Bohnenerzen, zeigt unten die Cämentfalten geschlossen.
- Fig. 10. Haasenzahn aus der Erpfinger Höhle: a Kaufläche, b von der breiten Vorderseite, c Raut der Pulpahöhle.
- Fig. 11. *Hypudaeus terrestris* pag. 41 nach Owen Odontogr. tab. 108. fig. 3 stark vergrößert: der Schmelz bildet einen geschlossenen Ring; außerhalb desselben liegt das Cäment; innerhalb die gestreifte Zahnsubstanz; die Knochensubstanz ist in den vier unregelmäßigen Löchern angezeigt.
- Fig. 12. dito, aus dem Diluvium von Antwerpen: a linker Unterkiefer; b vorderster Zahn von der Seite; c Zähne von der Kaufläche.
- Fig. 13. *Megatherium Cuvieri* pag. 44. Zähne, $\frac{1}{4}$ natürlicher Größe, nach Buckland: a Kaufläche, der weiße Ring bezeichnet die gefäßlose Zahnsubstanz, innerhalb desselben liegt die gefäßreiche Zahnsubstanz, außerhalb die Cämentsubstanz.
- Fig. 14 u. 15. Zähne einer kleinen *Halianassa* pag. 72 aus der Molasse von Haufen bei Pfullendorf.
- Fig. 16. Biberzähne vom rechten Unterkiefer mit Kaufläche.
- Fig. 17—27. *Sciurini* pag. 43 aus den Bohnenerzen der Alp: 17 rechtes Sitzbein; 18 rechtes Darmbein; 19 Oberende der Ulna; 20 Oberende des Radius; 21 Femur; 22 Tibia; 23 Oberarm; 24 zwei hintere Backenzähne des linken Oberkiefers a von innen, b von unten; 25 Oberkieferzahn von der Seite; 26 rechter Unterkiefer; 27 Calcaneus des linken Fusses.
- Fig. 28—30. *Astragalus* von Hirschen: 28 kleinster aus den Bohnenerzen mit den Sciurinen zusammen. Das Thier hatte kaum die Größe eines Hasen; 29 mittlerer aus den Bohnenerzen von Neuhäusen; 30 größter aus den Bohnenerzen von Heudorf bei Mößkirch.
- Fig. 31. *Halianassa Studeri* pag. 72. Flonheim, Schwanzwirbel, $\frac{1}{2}$ nat. Größe.
- Fig. 32. Paukenbein? von einem Cetaceen pag. 76. Molasse, Oberschwaben.
- Fig. 33. *Chalicotherium antiquum* pag. 57. Eppelsheim, $\frac{1}{2}$ natürl. Größe.
- Fig. 34. *Elasmotherium* pag. 62. Copie nach Cuvier, Kaufläche des linken Unterkieferzahns.
- Fig. 35. Struktur des Schmelzes vom Rhinoceroszahn, stark vergrößert: a Schmelz auf der Kaufläche; b Schmelz auf der Außenseite.
- Fig. 36. *Phoca ambigua* pag. 69 von Osnabrück, Copie nach Münster.
- Fig. 37. Zahn von einem Delphin pag. 74. Molasse, Oberschwaben.
- Fig. 38. Querschnitt von einem Lophiodonzahn aus dem Unterkiefer, vergrößert, die Streifen im Schmelz zu zeigen.

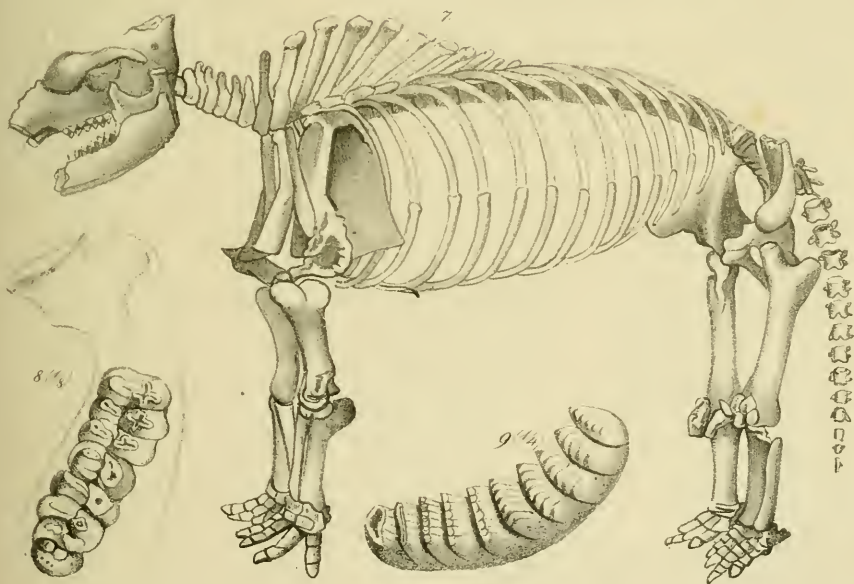
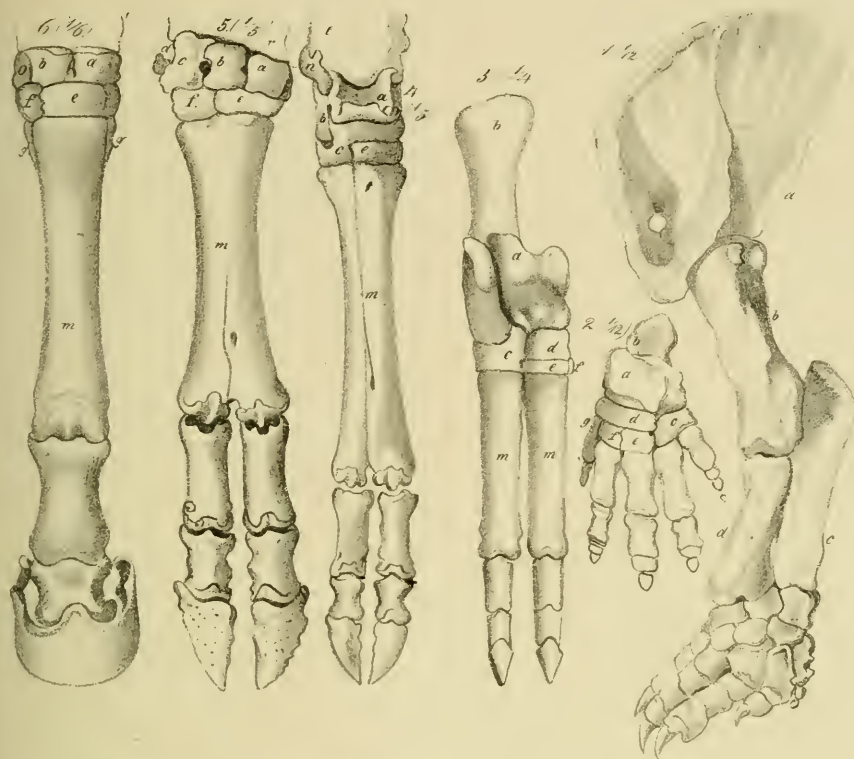


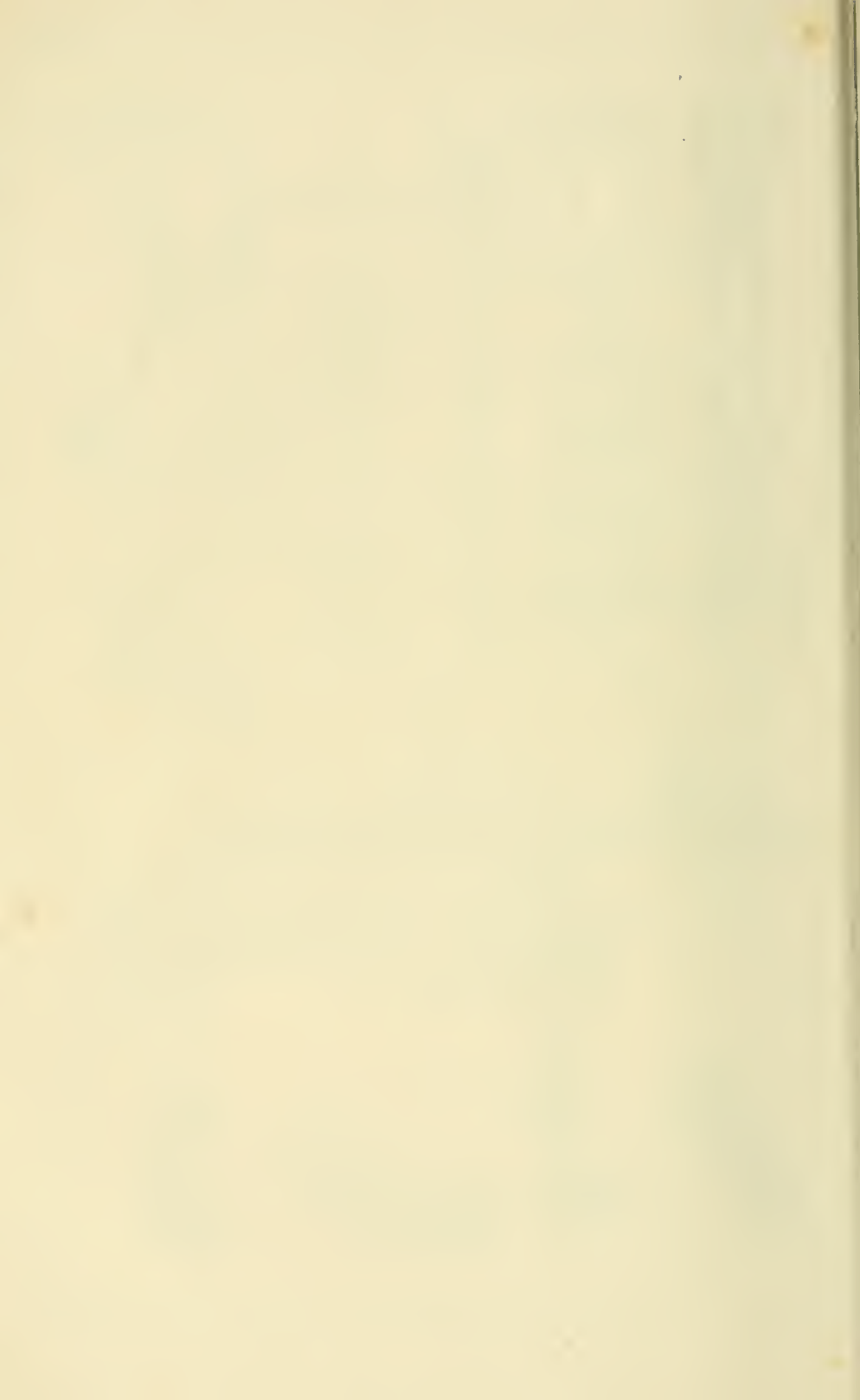


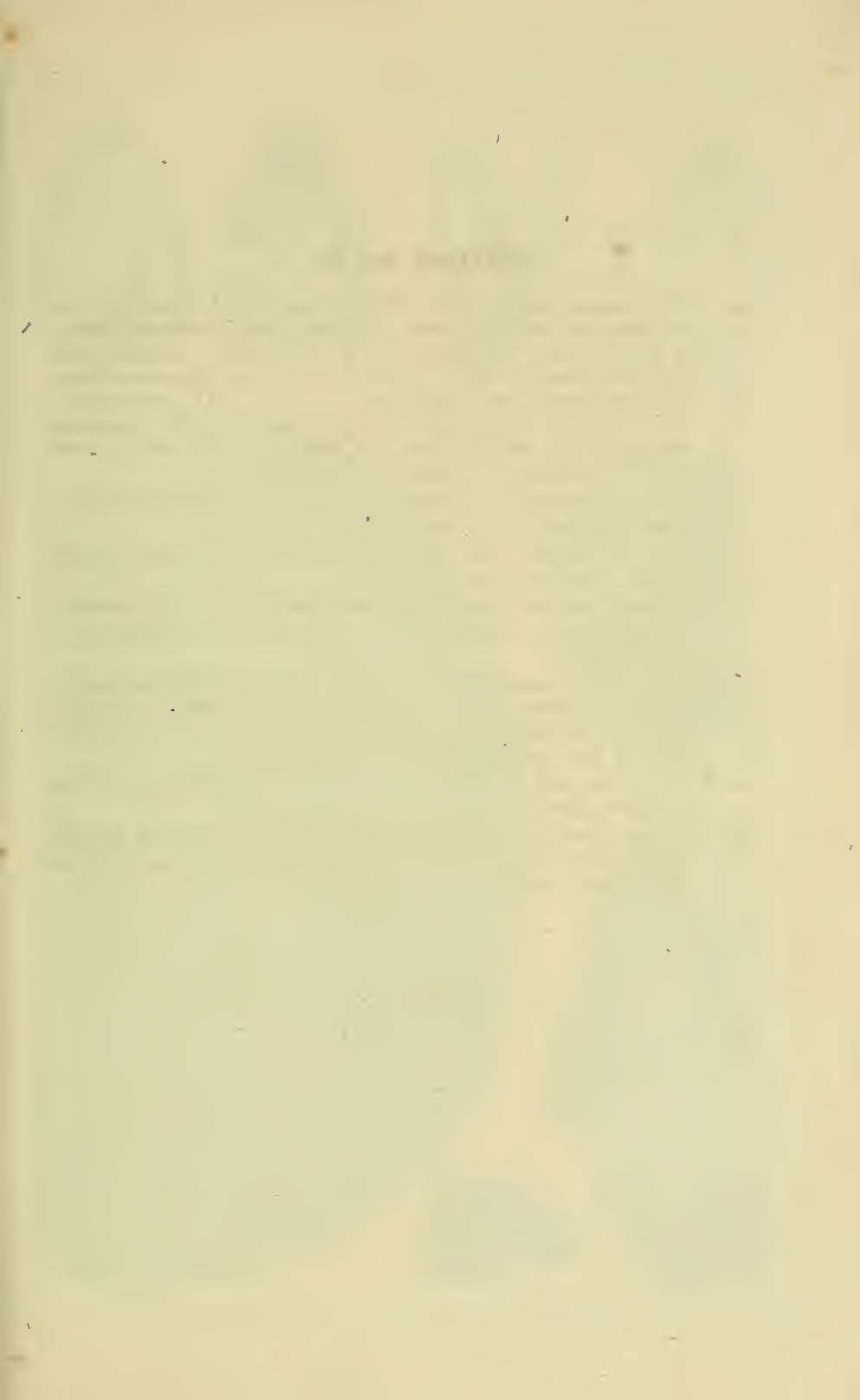


Erklärung der Tab. 4.

- Fig. 1. *Mylodon robustus* pag. 45. Ow. linker Vorderfuß, $\frac{1}{12}$ natürlicher Größe, nach Owen: a Schulterblatt mit dem charakteristischen Loch vor der Spina; b Oberarm; c Ulna; d Radius. Der Fuß hat 5 Zehen, aber der kleine äußere Zehen verkümmert.
- Fig. 2. Elefantenfuß der linken Seite, nach Cuvier: a Talus; b Calcaneus auf der Seite des kleinen Zehen; c Cuboideum; d Naviculare; e Cuneiforme tertium; f Cuneiforme secundum: g Cuneiforme primum für den Ansatz des Daumens.
- Fig. 3. *Anoplotherium commune* pag. 60 aus dem Tertiärgyps von Paris, $\frac{1}{4}$ natürl. Größe, nach Cuvier, rechter Hinterfuß; a Talus; b Calcaneus; c Cuboideum; d Naviculare; e Cuneiforme tertium; f Cuneiforme secundum, gab wahrscheinlich noch den Ansatzpunkt für einen kleinen innern Afterzehen; mm Metatarsenknochen.
- Fig. 4. Rechter Hinterfuß vom Ochsen, $\frac{1}{5}$ nat. Größe: t Tibia; a Talus; b Calcaneus; c Cuboideum mit Naviculare verschmolzen; e Cuneiforme tertium; dahinter liegt noch ein C. secundum; ein eigenthümlicher Zwischenknochen; m Metatarsenknochen.
- Fig. 5. Rechter Vorderfuß vom Ochsen, $\frac{1}{5}$ natürl. Größe: r Radius; a Naviculare; b lunatum; c triquetrum; d pisiforme; e capitatum; f hamatum; m Metacarpus, die Griffelbeine daran liegen mehr nach hinten.
- Fig. 6. Rechter Vorderfuß vom Pferd, $\frac{1}{6}$ natürl. Größe: a Naviculare; b lunatum; c triquetrum; e capitatum; f hamatum; gg Griffelbeine; m Metacarpus.
- Fig. 7. *Mastodon giganteum* pag. 53 nach Cuvier.
- Fig. 8. *Mastodon giganteum* pag. 53 nach Cuvier, rechter Unterkiefer in $\frac{1}{8}$ nat. Größe, aus dem Diluvium von Nordamerika.
- Fig. 9. *Mastodon elephantoides* pag. 55. Elfst., vom Irrawaddi, nach Owen Odontographie tab. 145. fig. 2, $\frac{1}{4}$ natürl. Größe. Backenzähne des Unterkiefers.

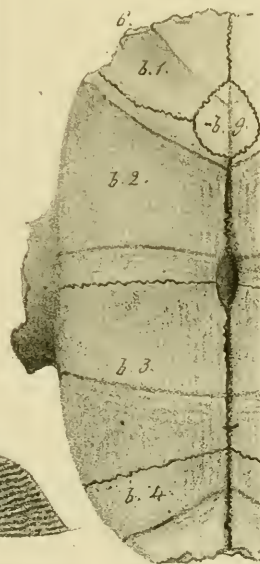
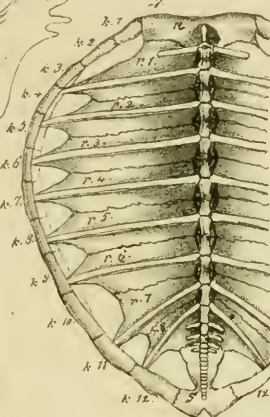
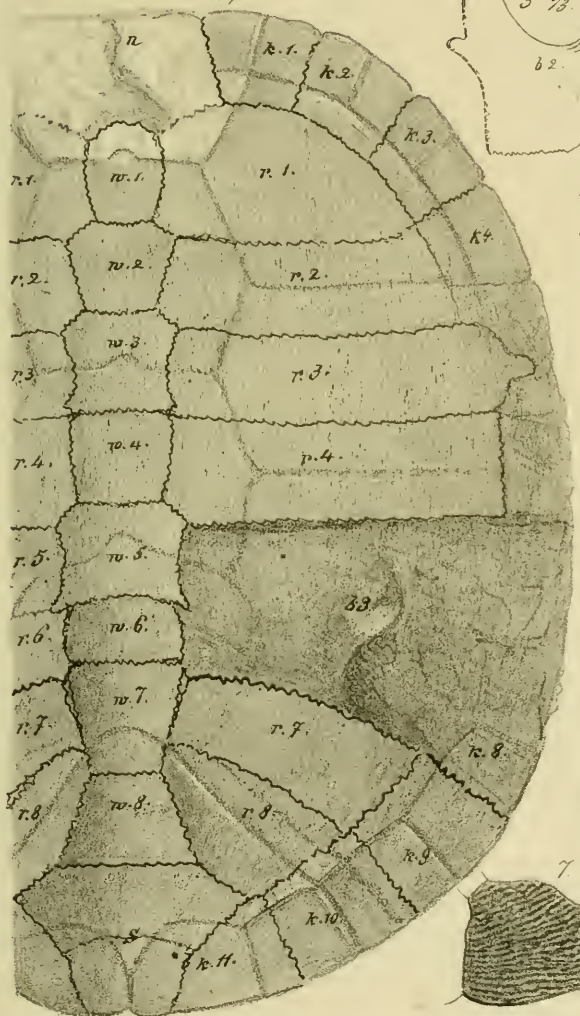
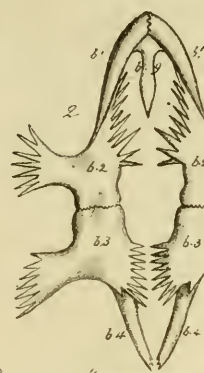
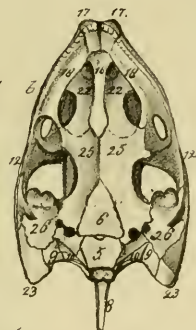
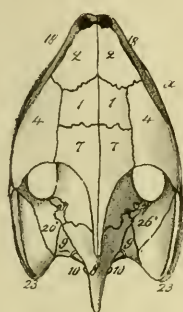


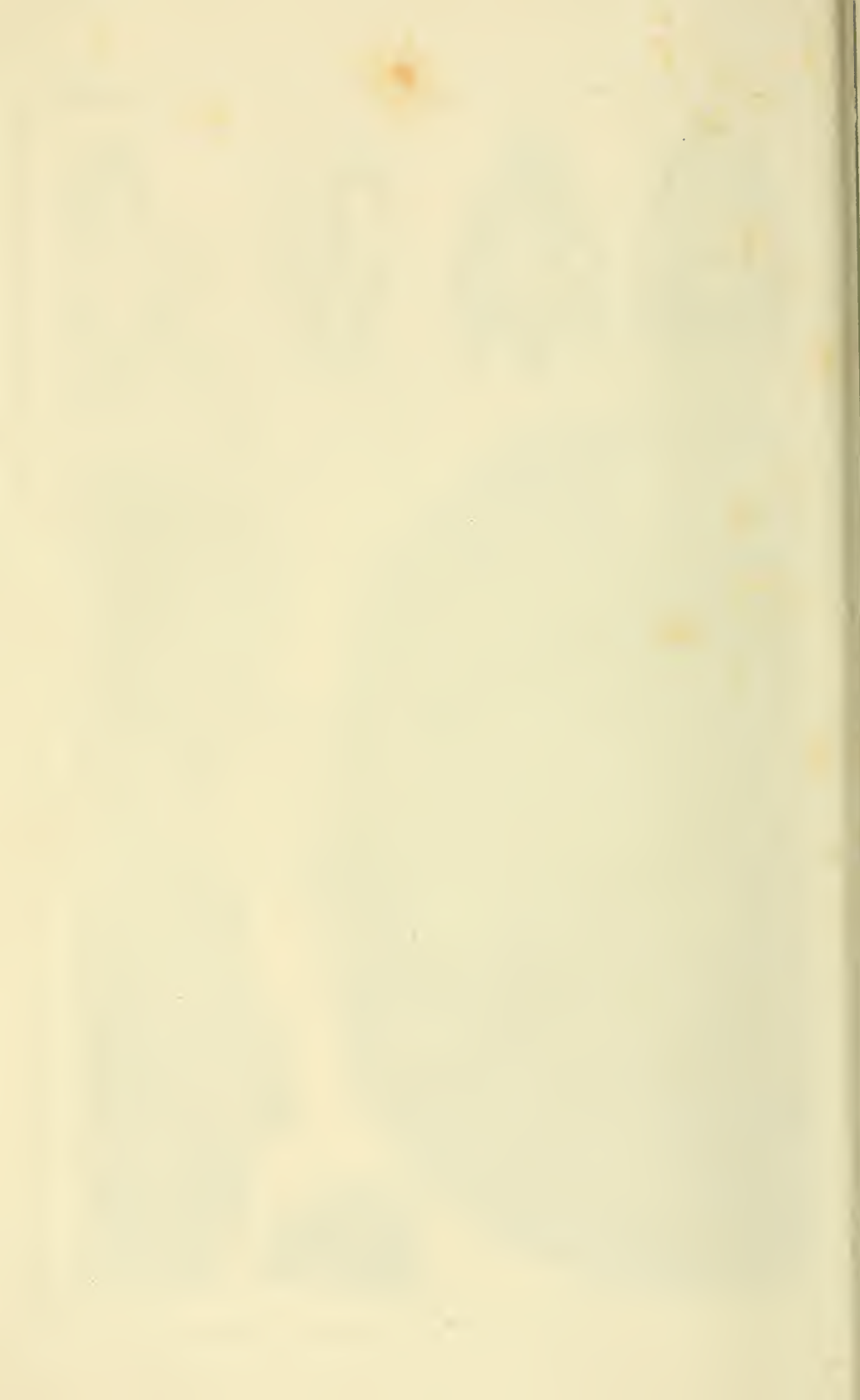


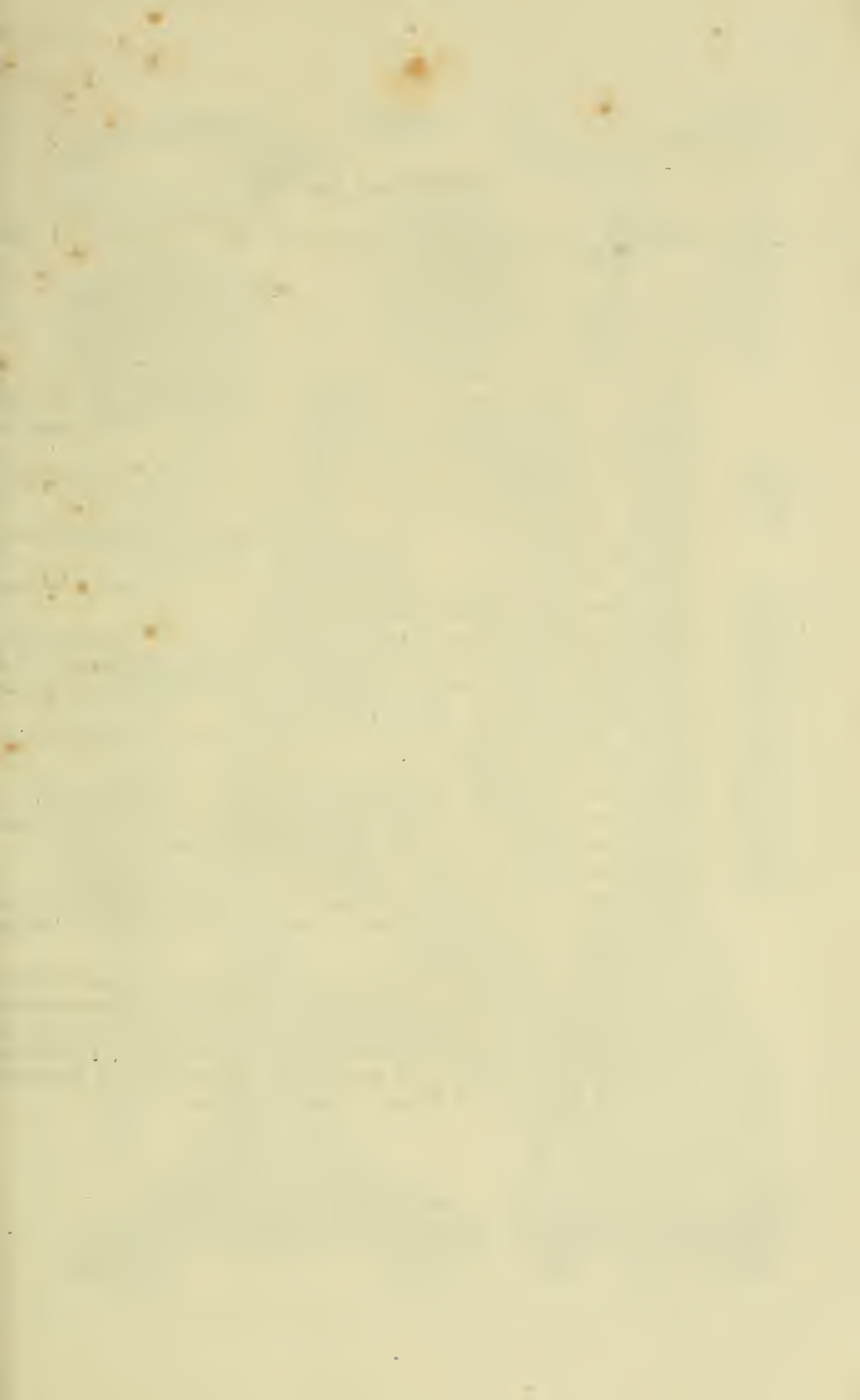


Erklärung der Tab. 5.

- Fig. 1. *Emys europaea* pag. 91 lebend: Schädel a von oben; b von unten; c von der Seite: die Zahlen bezeichnen: 1 Hauptstirnbeine; 2 Vorderstirnbeine; 4 Hinterstirnbeine; 5 Bassilarbein; 6 Keilbeinkörper; 7 Scheitelbeine; 8 oberes Hinterhauptbein; 9 äußere, 10 seitliche Hinterhauptbeine; 12 Schuppenteil der Schläfbeine; 16 Vomer; 17 Zwischenkiefer; 18 Oberkiefer; 19 Zochbeine; 22 Gaumenbeine; 23 Zähnebeine; 25 Flügelbeine; 26 Paukenteil; 27 Felsenstück. a Zahnteil; c Eckbein; d Kronenbein; e Schließbein; f Gelenkbein.
- Fig. 2. *Chelonia caouanna*, Copie nach Owen (A History of British fossil Reptiles. 1849. pag. 4). Brustschild.
- Fig. 3. *Chelonia* pag. 93. 2tes Paar des Brustschildes, $\frac{1}{3}$ natürl. Größe. Weißer Jura s von Schnaitheim.
- Fig. 4. *Chelonia caouanna*, Copie nach Owen, Rückenschild von der Innenseite: n Nackenplatte, s Schwanzplatte, w Wirbelpflatten, r Rippenplatten, k Randplatten.
- Fig. 5. *Palaeochelys bussinensis* pag. 91. Aus dem Süßwasserkalke des Bussen: n fehlende Nackenplatte, k Randplatten, w Wirbelpflatten, r Rippenplatten, s Schwanzplatten, es sind 2 vorhanden. Bei b. 3 steht man das 3te Paar des Brustschildes von der Oberseite.
- Fig. 6. Brustschild eines Emyden pag. 91 aus dem Süßwasserkalke bei Ulm. Natürliche Größe.
- Fig. 7. *Trionyx Henrici* pag. 94 Ow. aus dem Eocenen Sand von Hastings, 8te Rippe der rechten Seite, $\frac{1}{2}$ natürl. Größe, nach Owen Brit. foss. Rep. I. tab. 6. fig. 1.
-

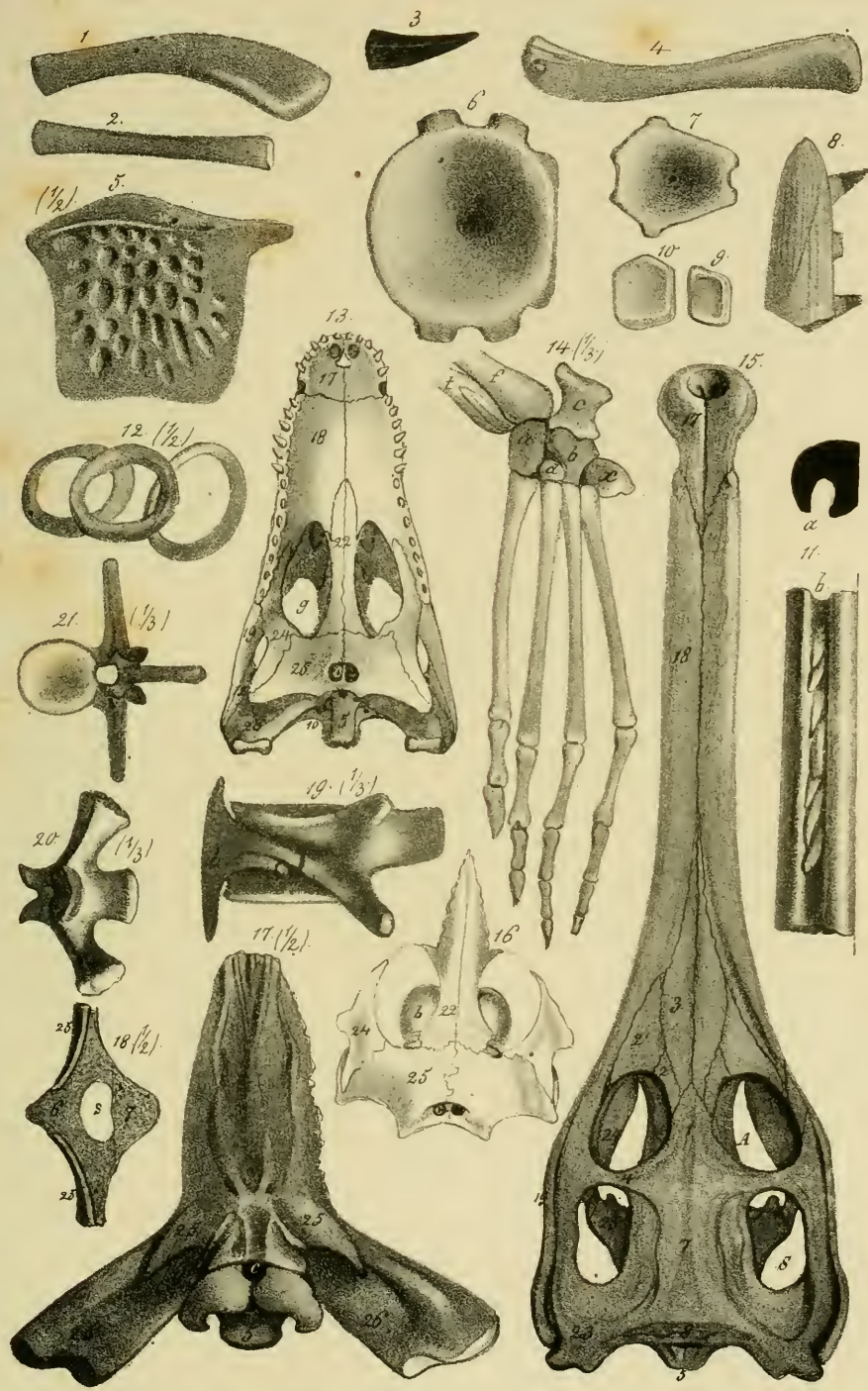






Erläuterung der Tab. 6.

- Fig. 1 u. 2. *Teleosaurus Tiedemanni* pag. 101. Lias ε, Holzmaden: 1 Ulna,
2 Radius in natürlicher Größe.
- Fig. 3. Zahns von *Teleosaurus* daher.
- Fig. 4. *Teleosaurus*, Femur zu fig. 15 gehörig.
- Fig. 5. *Teleosaurus Bollensis* pag. 100. Schild in $\frac{1}{2}$ natürl. Größe.
- Fig. 6. *Ichthyosaurus* pag. 121. Rückenwirbel, Lias von Lyme.
- Fig. 7—10. *Ichthyosaurus atavus* pag. 129 aus dem Wellendolomit von Alt-Hengstetten: 7 Schwanzwirbel; 8 rechte Hälfte der Oberkieferspitze mit 3 Zähnen; 9 u. 10 Polygonalknochen der Finne.
- Fig. 11. *Ichthyosaurus* pag. 122. Lias ε, Voll, rechte Hälfte des Oberkiefers: a Querschnitt, b Ansicht von oben.
- Fig. 12. *Teleosaurus Bollensis* pag. 98. Knorpelringe der Gurgel in $\frac{1}{2}$ natürl. Größe.
- Fig. 13. Crocodilskädel pag. 96 von der Unterseite: c Choanen, g Gaumenlöcher zu den Augenhöhlen gehend.
- Fig. 14. *Teleosaurus Bollensis* pag. 100. Lias ε, Holzmaden, linker Hinterfuß nach Wagner, $\frac{1}{3}$ natürl. Größe: t Tibia, f Fibula; a Astragalus, c Calcaneus, b Cuboideum, d unciforme, x überzähliger Knochen auf der Kleinfingerseite.
- Fig. 15. *Teleosaurus minimus* pag. 101. Lias ε, Ohmden: A Augenhöhlen zu den Gaumenlöchern führend, S Schläfgruben.
- Fig. 16. *Gavial gangeticus* nach Geoffroy-Saint-Hilaire, b Knochenblasen.
- Fig. 17. *Teleosaurus Bollensis* pag. 100. Lias ε, Holzmaden, von der Unterseite abgelegt, $\frac{1}{2}$ natürl. Größe: e vermeintliche Choanen.
- Fig. 18. dito, daher, Querschnitt, s Hirnhöhle, $\frac{1}{2}$ natürl. Größe.
- Fig. 19—21. dito, daher: 19 Halswirbel, b beilsförmige Halsrippe; 20 erster Wirbel des Heiligenbeins von der Unter- und Vorderseite; 21 Rückenwirbel von der Hinterseite.
- Die Zahlen in Fig. 13, 15—18 bedeuten: 1 Hauptstirnbeine, 2 Vorderstirnbeine, 2' Thränenbeine, 3 Nasenbeine, 4 Hinterstirnbeine, 5 unteres Hinterhauptbein, 6 Keilbein, 7 Scheitelbein, 8 oberes Hinterhauptbein, 10 seitliche Hinterhauptbeine, 12 Schnuppenbeine, 17 Zwischenkiefer, 18 Oberkiefer, 19 Jochbeine, 22 Gaumenbeine, 23 Zitzenbeine, 24 Ohrbeine, 25 Flügelbeine, 26 Paukenbeine.



Erklärung der Tab. 7.

Fig. 1—4. Monitor niloticus pag. 106, lebend, Schädel copirt von Cuvier. 1 von unten; 2 von der Seite; 3 von oben; 4 schneidiger Zahn etwas vergrößert, 5 runder Zahn desgleichen.

Die Zahlen bedeuten: 1 Hauptstirnbeine, 2 Vorderstirnbeine, 2' Thränenbeine, 3 Nasenbein, 4 Hinterstirnbeine, 5 Unteres Hinterhauptbein, 6 Keilbein, 7 Scheitelbein mit dem Scheitelloche, 8 Oberes Hinterhauptbein, 10 seitliche Hinterhauptbeine, 12 Schuppenbeine, 16 Vomera, 17 der Zwischenkiefer, 18 die Oberkiefer, 19 Jochbeine, 22 Gau menbeine, 23 Zitzenbeine, 24 Querbeine, 25 Flügelbeine, 26 Paukenbeine, 27 Felsenbeine. Die Buchstaben bezeichnen: s das Superciliarbein, m die Muschelbeine, y die Columella, z Haut.

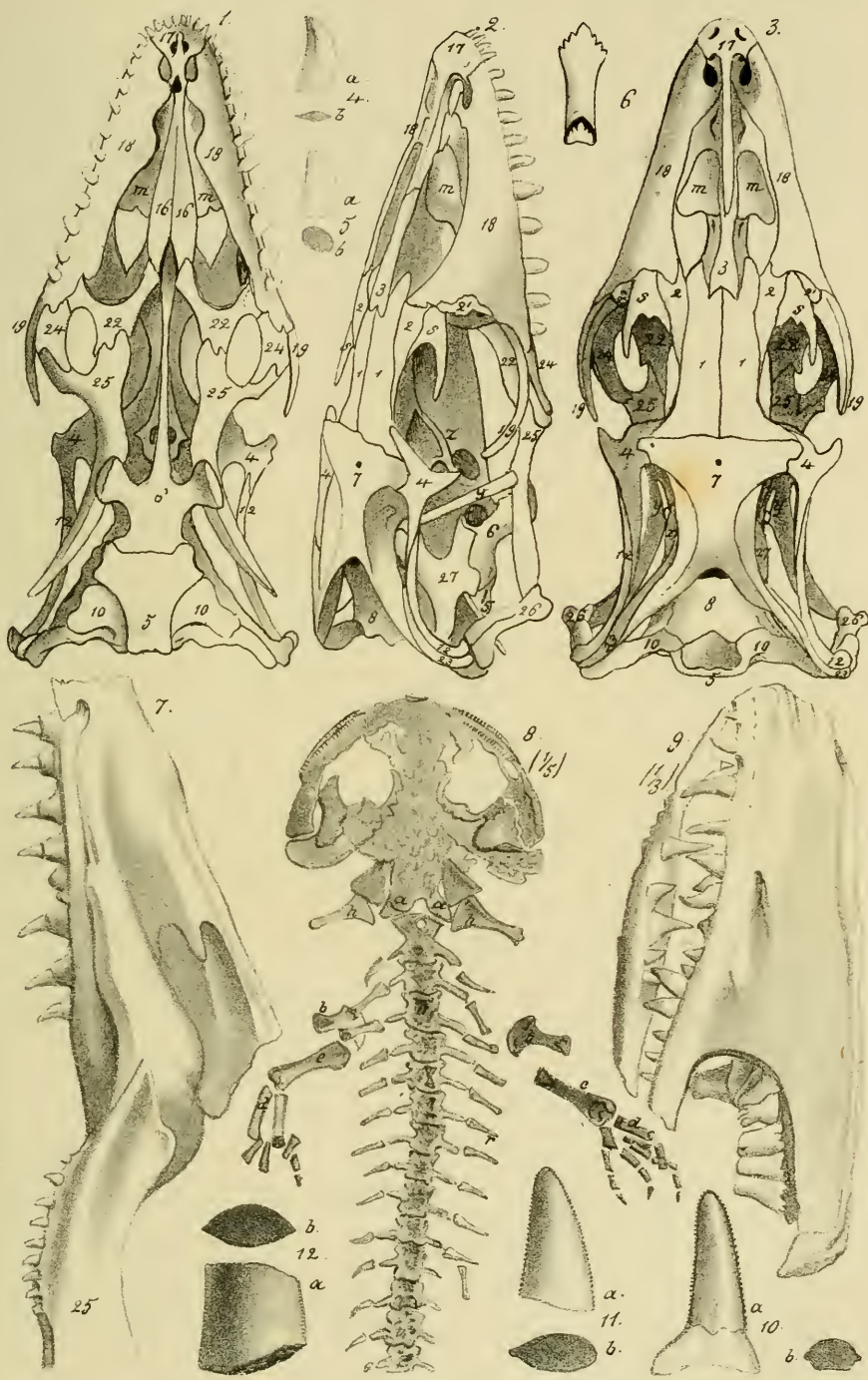
Fig. 6. Iguana pag. 114, Copie nach Cuvier, Zahn vergrößert, unten mit einem Ersatzzahn.

Fig. 7. Mosasaurus Hoffmanni pag. 116 nach Cuvier, aus der obersten Kreide von Mastricht, 25 Flügelbein.

Fig. 8. Salamandra gigantea pag. 147 von Deningen, nach Cuvier, $\frac{1}{5}$ natürl. Größe: aa doppelte Condyli des Hinterhauptes von der Unterseite gesehen; bb Schulterblätter; cc Oberarme; dd Vorderarme; hh Zungenbeinhörner; r Rippenstummel, wie sie bei Fröschen vorkommen.

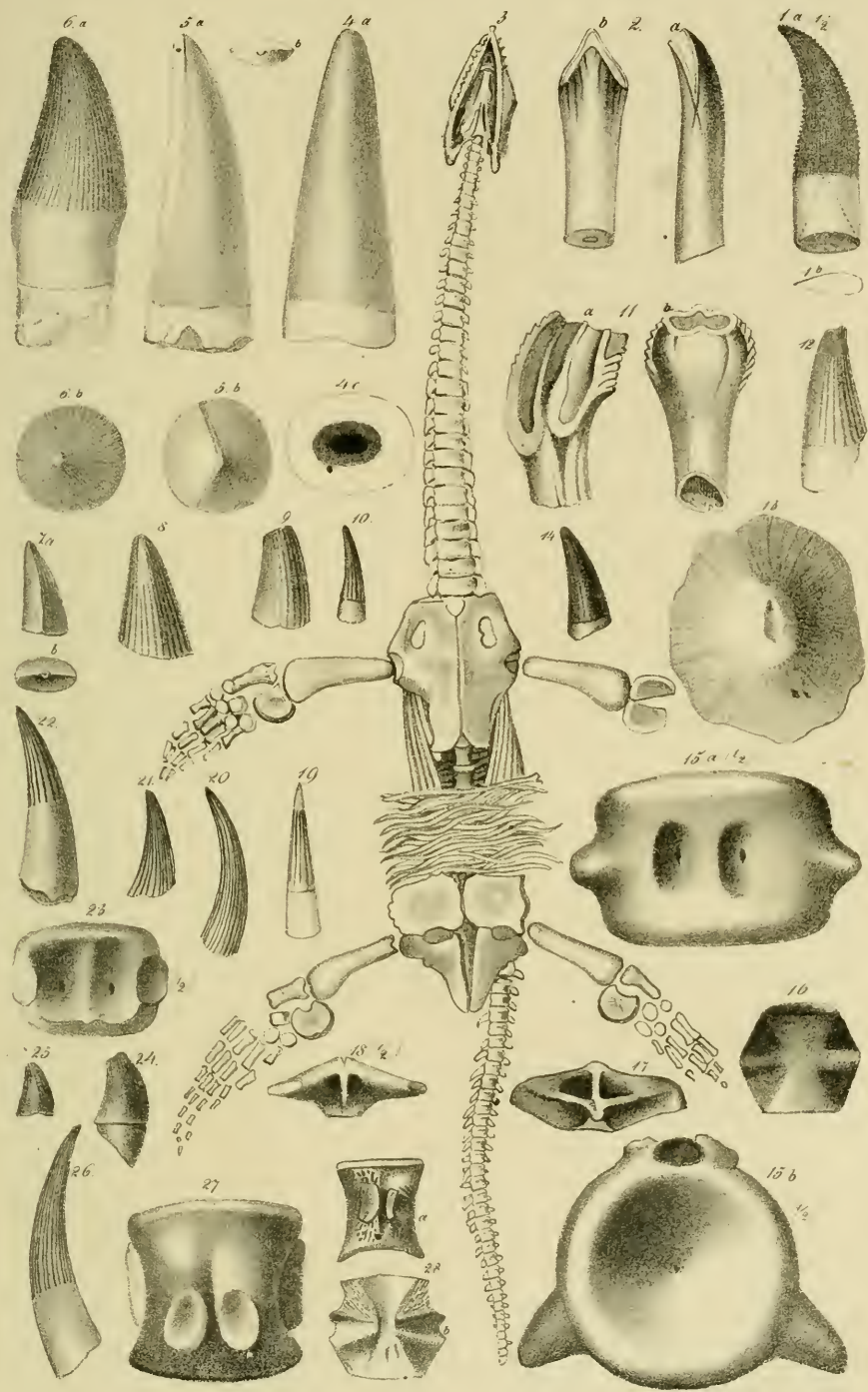
Fig. 9 u. 10. Lacerta gigantea pag. 115 von Daiting, nach Cuvier: 9 Kopf stück $\frac{1}{3}$ natürl. Größe; 10 Zahn in natürlicher Größe.

Fig. 11 u. 12. Cladeiodon crenatus pag. 110: 11 aus der Lettenköhle von Höhenegg; 12 aus der Lettenköhle von Biberfeld.



Erklärung der Tab. 8.

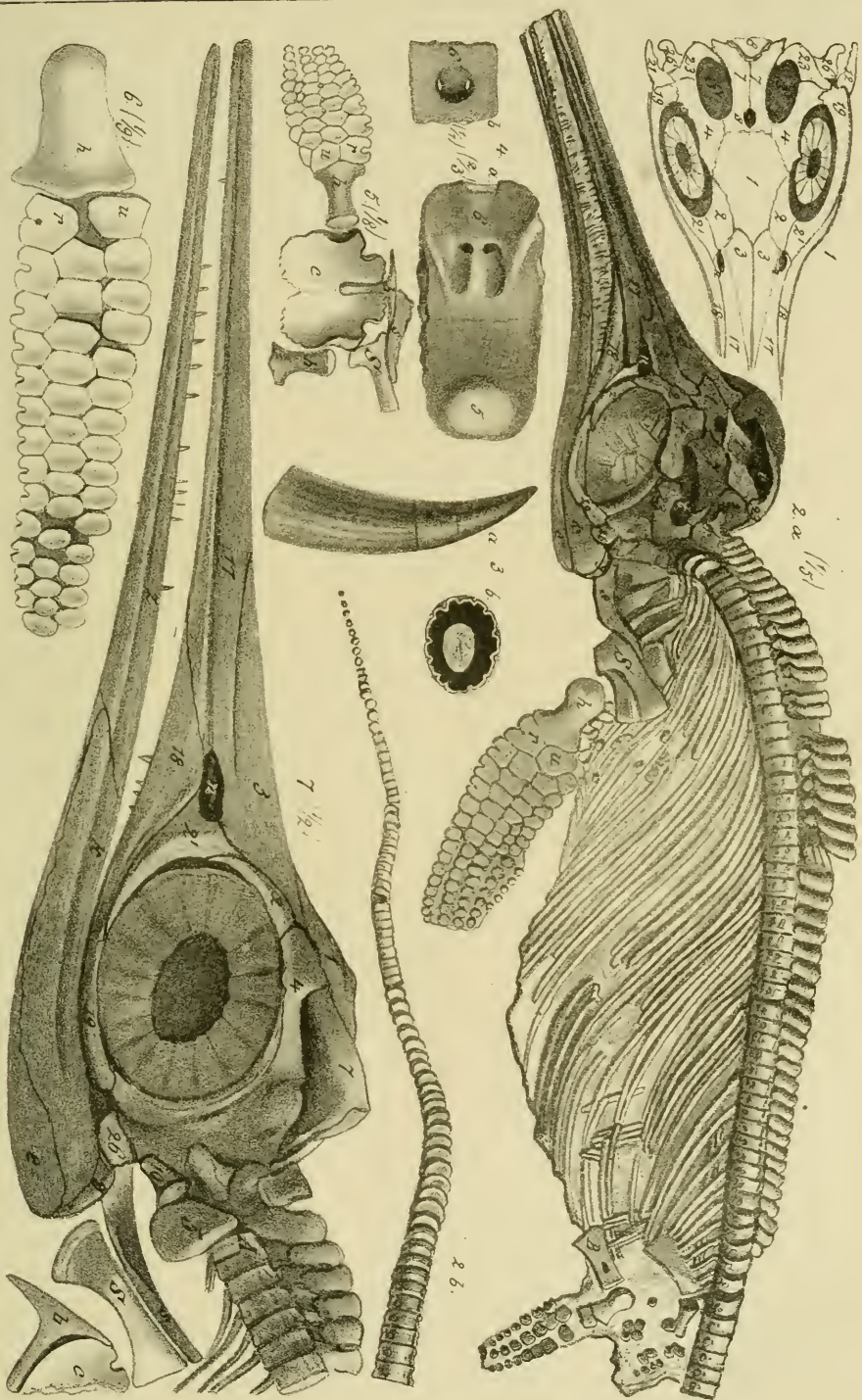
- Fig. 1. *Megalosaurus Bucklandi* pag. 112 nach Owen, $\frac{1}{2}$ natürl. Größe.
Fig. 2. *Hylaeosaurus* pag. 115 nach Owen. Wälde rhon.
Fig. 3. *Plesiosaurus dolichodeirus* pag. 131 nach Buckland. Lias. England.
Fig. 4. *Megalosaurus* von Schnaitheim pag. 112: a von der Seite; b Spitze; c Wurzelende mit der Pulpahöhle.
Fig. 5. *Belodon* pag. 110 aus dem weißen Keupersandstein von Alzheim bei Rottweil: a von der Seite, b von der Spitze.
Fig. 6. *Machimosaurus Hugii* pag. 104. Portland, Solothurn.
Fig. 7. *Crocodilszähn* pag. 105. Süßwasserfalk, Ulm.
Fig. 8. *Pliosaurus* pag. 130 von Kehlheim, Ober. Weiß. Jura, Spitze eines Fangzähns.
Fig. 9. *Teleosaurus ornatus* pag. 104. Ornatenthon, Heiningen.
Fig. 10. *Teleosaurus Portrandi* pag. 104. Portlandfalk, Solothurn.
Fig. 11. *Iguanodon* pag. 113. Copie nach Owen: a Außen- u. b Innenseite.
Fig. 12. *Teleosaurus* pag. 104 von Schnaitheim (*Machimosaurus*).
Fig. 13. *Schildpanzer* von Sauriern aus der Lettenkohle von Hohenec.
Fig. 14. *Termatosaurus* Plien. aus dem Bonebed zwischen Keuper und Lias bei Tübingen.
Fig. 15. Wirbel eines großen Sauriers, daher, ob zum *Termatosaurus* gehörig? Der Körper hat zwei Löcher, $\frac{1}{2}$ natürl. Größe: a von der Unterseite, b von hinten.
Fig. 16. *Nothosaurus* pag. 133. Wirbelförper von oben, Lettenkohle, Hohenec.
Fig. 17 u. 18. dito, Bogentheile von der Hinterseite, Lettenkohle, Crailsheim.
Fig. 19. Faltig gestreifter Zähn pag. 134, daher.
Fig. 20. *Nothosaurus Cuvieri* pag. 134. Lettenkohle, Bibersfeld.
Fig. 21. dito, Ob. Muschelfalk, Rüdersdorf bei Berlin.
Fig. 22. Faltig gestreifter Zähn pag. 134. Lettenkohle, Bibersfeld.
Fig. 23. *Nothosaurus* pag. 133. Halswirbel, $\frac{1}{2}$ natürl. Größe. Crailsheim, Lettenkohle.
Fig. 24 u. 25. *Simosaurus* pag. 134. Lettenkohle, Crailsheim.
Fig. 26. *Nothosaurus Cuvieri* pag. 134. Lettenkohle, Hohenec.
Fig. 27. *Nothosaurus* pag. 133. Schwanzwirbel von der Unterseite. Lettenkohle, Crailsheim.
Fig. 28. *Nothosaurus* pag. 133. Oberer Muschelfalk von Schwanebeck bei Halberstadt: a Halswirbelfkörper von oben; b von der Seite.



Erklärung der Tab. 9.

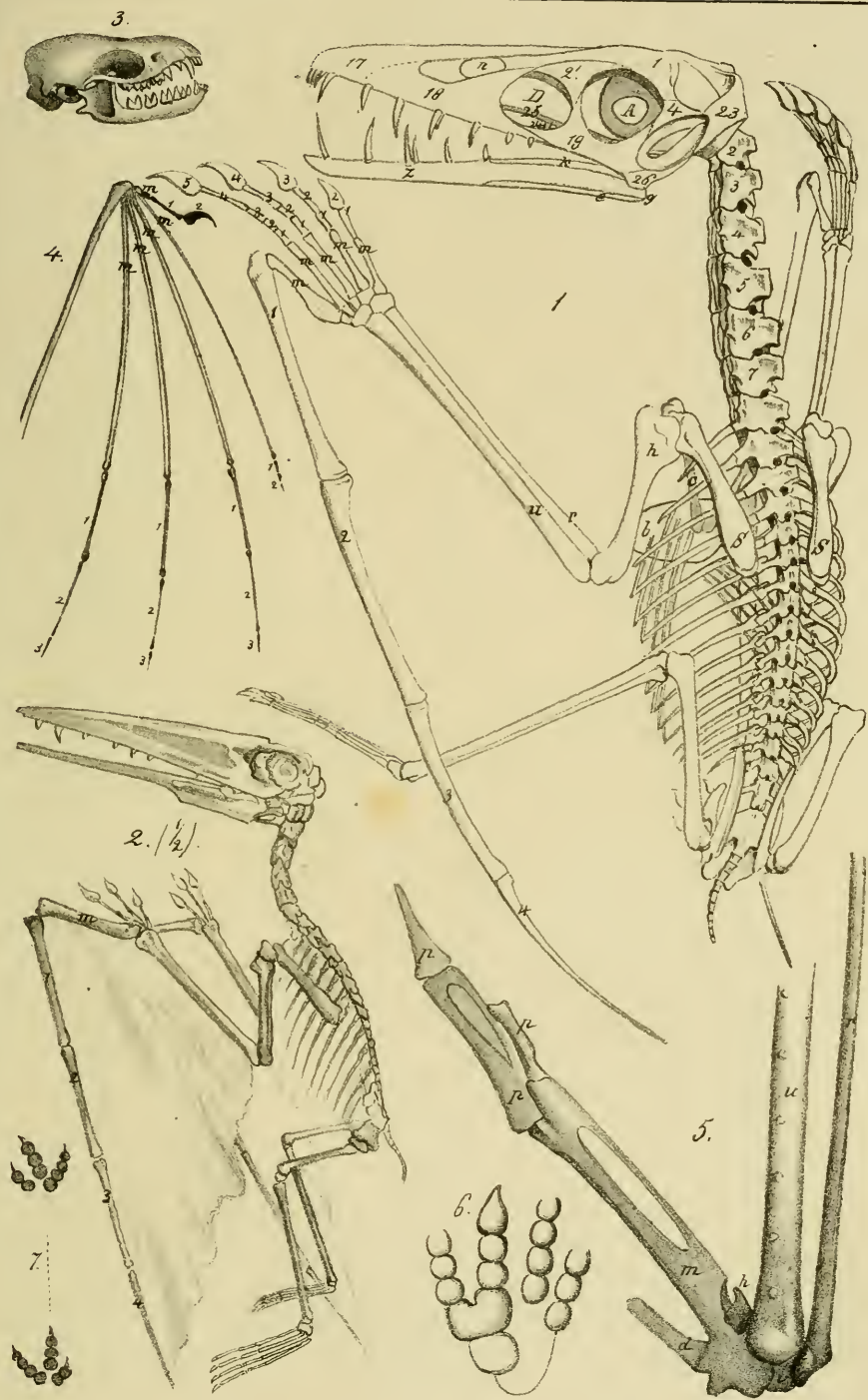
- Fig. 1. Ichthyosaurus schädel pag. 122, von oben nach Buckland: S Schläfgruben, s Scheitelloch, n Nasenlöcher.
- Fig. 2. Ichthyosaurus tenuirostris pag. 127. Lias ε, Ohnden, $\frac{1}{5}$ natürl. Größe, 2. b der zu 2. a gehörige Schwanz: t Schläfgruben, B Beckenknochen, S Schulterblatt, s Schlüsselbein, h Humerus, u Ulna, r Radius, n Nasenloch. Am Unterkiefer bedeutet z das Zahnenbein, k das Kronenbein, e das Eckbein, g das Gelenkbein. Man sieht das Thier von seiner linken Seite, auf welcher es im Gebirge lag, daher die linken Füße erhalten, während die rechten bei der Einbettung lange dem Wellenschlage und der Verwitterung ausgesetzt nur noch in Trümmern sich finden.
- Fig. 3. Ichthyosauruszähn pag. 121. Lias ε, Ohnden: a Seitenansicht mit den drei Regionen, oben Schmelz, in der Mitte Gament, unten Knochensubstanz; b Querschnitt mit der Pulsahöhle und dem lichten Schmelzringe.
- Fig. 4. Basilartheil des Schädels von Ichthyosaurus pag. 124. Ohnden: a von der Unterseite $\frac{2}{3}$ natürl. Größe; b das Loch von der Oberseite natürl. Größe.
- Fig. 5. Brustbein vom Ichthyosaurus pag. 125, $\frac{1}{8}$ natürl. Größe: b Brustbein, c Coracoideum, S Scapula, s Schlüsselbein, h Humerus, u Ulna, r Radius.
- Fig. 6. Linke Hinterfinne eines 23' langen Ichthyosaurus von Schlierbach pag. 129, $\frac{1}{9}$ natürl. Größe.
- Fig. 7. Kopf vom Ichthyosaurus tenuirostris pag. 127. Lias ε, Frittlingen, $\frac{1}{2}$ natürl. Größe: S Scapula, s Schlüsselbein, b Brustbein, c Coracoideum, A Atlas mit Epistropheus verwachsen, z Zahnenbein, k Kronenbein, g Gelenkbein, e Eckbein.

In sämtlichen Figuren bedeutet 1 Hauptstirnbeine, 2 Vorderstirnbeine, 2' Thränenbeine, 3 Nasenbeine, 4 Hinterstirnbeine, 5 unteres Hinterhauptbein, 6 Keilbein, 7 Scheitelbeine, 8 oberes Hinterhauptbein, 10 seitliche Hinterhauptbeine, 12 Schuppenbeine, 17 Zwischenkiefer, 18 Oberkiefer, 19 Zochbeine, 23 Zitzenbeine, 26 Paukenbeine.



Erklärung der Tab. 10.

- Fig. 1. *Pterodactylus crassirostris* pag. 135, nach Goldfuß, $\frac{1}{2}$ natürl. Größe:
1 Hauptstirnbein, 2' Thränenbein, 4 Hinterschädel, 17 Zwischenkiefer,
18 Oberkiefer, 19 Jochbein, 23 Zitzenbein, 24 Querbein, 25 Flügel-
bein, 26 Paukenbein; n Nasenloch, D Durchbruch, A Auge mit dem
Knochenringe; S Schulterblatt, h Humerus, b Brustbein, c Coracoideum,
u Ulna, r Radius, m Mittelhandknochen, 1—5 Phalangen; z Zahnschädel,
k Kronenbein, e Eckbein, g Gelenkbein.
- Fig. 2. *Pterodactylus Kochii* pag. 139, von Kehlheim, Copie nach A. Wagner,
 $\frac{1}{2}$ natürl. Größe. Ich habe dem Flügel eine Haut angeheftet, um zu
zeigen, wie etwa die Flughaut gespannt gedacht werden muß: m Mittel-
handknochen und 1—4 Phalangen des Flugfingers.
- Fig. 3 u. 4. *Vesptilio murinus*, Fledermaus, lebend: Fig. 3 Kopf von der
Seite; Fig. 4 linker Flügel, m Mittelhandknochen, 1, 2 u. 3 Phalangen.
- Fig. 5. Rechter Flügel vom lebenden Raben pag. 79: u Ulna, r Radius, v viel-
eckiger-, h hammerförmiger Handwurzelknochen, m Mittelhandknochen,
d Daumen, p p p Phalangen.
- Fig. 6. Fährte von Otozoum pag. 157, Copie nach Hitchcock, Abdruck des
linken Fußes.
- Fig. 7. Dreizehige Vogelfährte pag. 81. Copie nach Mantell.

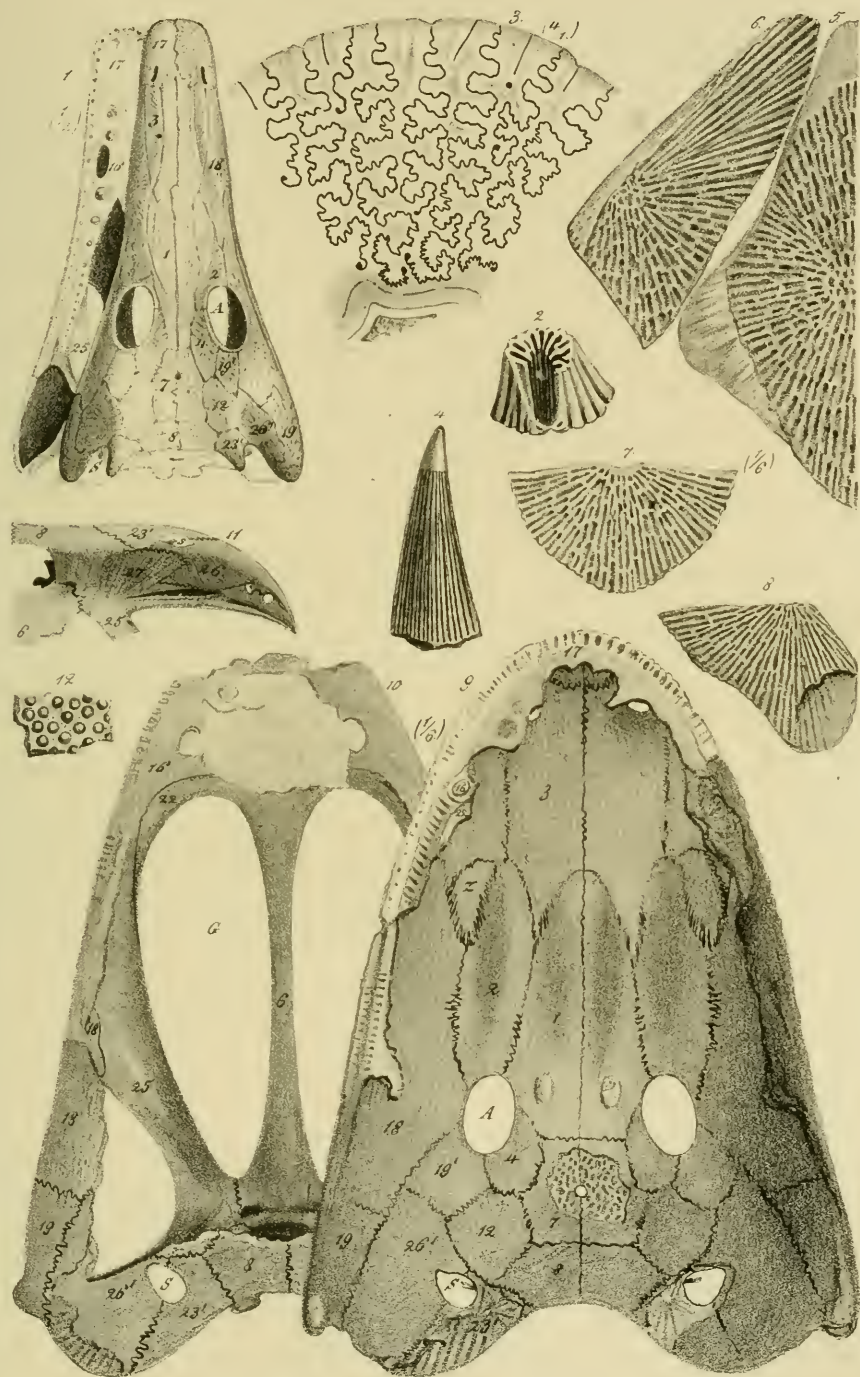


Erklärung der Tab. 11.

- Fig. 1. *Archegosaurus Dechenii* pag. 153. Schädel $\frac{1}{2}$ natürl. Größe, idealisiert, entnommen aus Burmeister's Labyrinthodonten III. tab. 4. fig. 1.
- Fig. 2. dito, daher, vergrößertes Zahnstück.
- Fig. 3 u. 4. *Mastodonsaurus giganteus* pag. 151. Lettenkohle von Gaildorf: 3 Bruchstück eines vergrößerten Zahnes, um die Gängelstriche zu zeigen; 4 Fangzahn.
- Fig. 5—8. *Mastodonsaurus robustus* pag. 149 aus dem grünen Keupersandstein der Feuerbacher Haide bei Stuttgart, $\frac{1}{6}$ natürl. Größe: 5 Rhombenschilde; 6 linkes Flügelschild; 7 Orthiesschild; 8 Monotisschild.
- Fig. 9—11. dito, daher, Schädelstücke in $\frac{1}{6}$ natürl. Größe: 9 Schilderdecke des Kopfes von der Innenseite; 10 Kopfschädel von der Oberseite sichtbar, an den Rändern noch Theile der Schilderdecke; 11 Ansicht der linken Hälfte des Querschnitts am Hinterschädel von der Vorderseite sehen.

Die auf die Figuren 1, 9, 10 u. 11 geschriebenen Zahlen bedeuten: 1 Hauptstirnbeine; 2 Vorderschlirnbeine; 3 Nasenbeine; 4 Hinterschlirnbeine; 6 Keilbein; 7 Scheitelbeine mit dem Scheitelloch; 8 obere Hinterhauptplatten; 12 Schlafplatten; 16 Vomer; 17 Zwischenkiefer; 18 Oberkiefer; 19 Hinterjochbeine; 19' Vorderjochbeine; 22 Gaumenbeine; 23' Zigenplatten; 25 Flügelbeine; 26 Paukenbeine; 26' Paukenplatten; 27 Felsenbeine. A Augenhöhlen, S Ohrlöcher.

- Fig. 12. *Asterolepis* pag. 230. Hautstück aus der Lettenkohle von Bibersfeld.



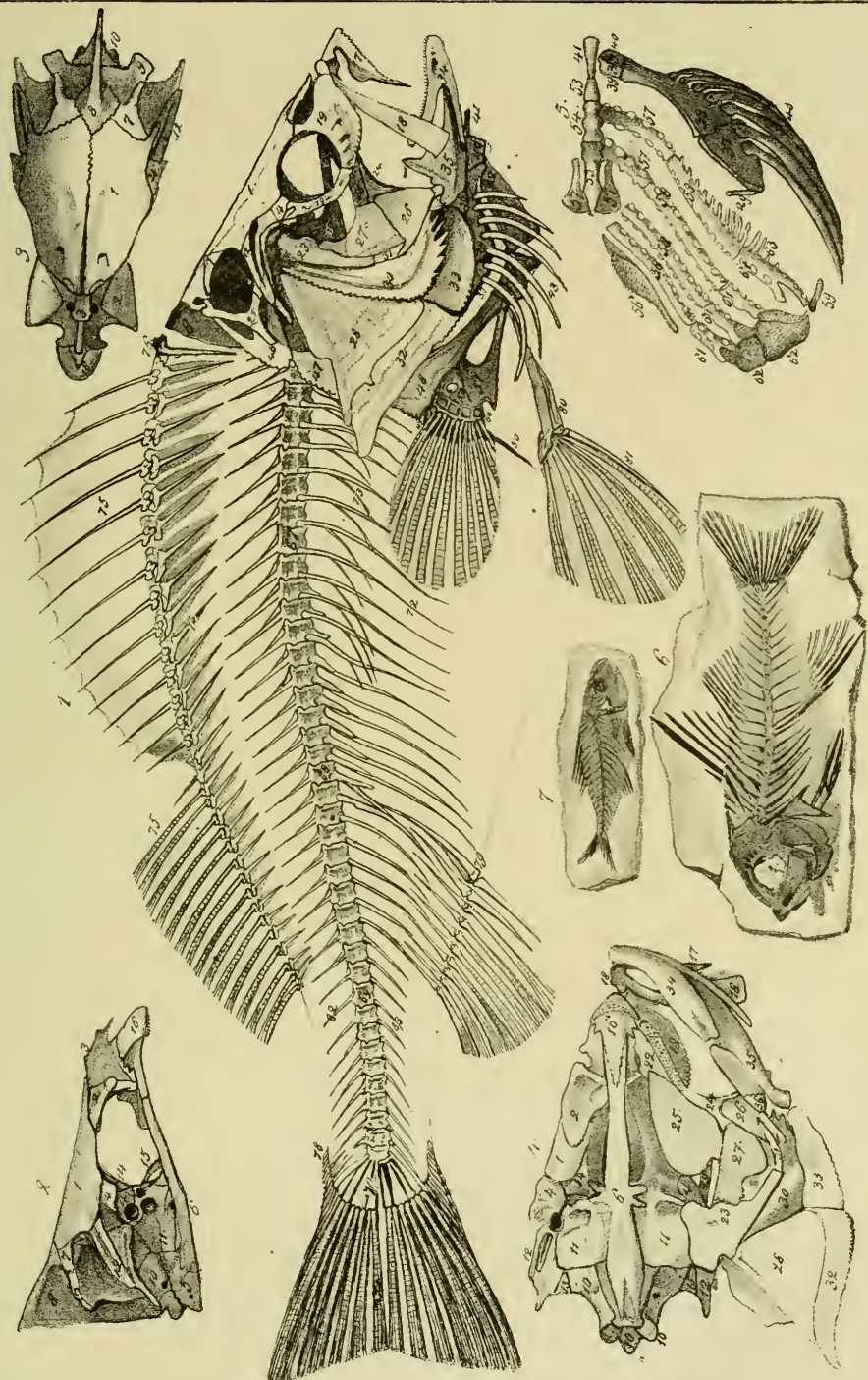
Erläuterung der Tab. 12.

Fig. 1—5. *Perca fluviatilis* pag. 158, meist nach Cuvier: Fig. 1 Skelet; Fig. 2 Schädelfochen von der Seite; Fig. 3 dieselben von oben; Fig. 4 dieselben von der Unterseite, daran die zurückgeschlagenen Gesichtsknochen; Fig. 5 die rechte Seite der Kiemenbögen mit Jungenbein. Die Zahlen bedeuten:

1 Hauptstirnbeine; 2 Vorderstirnbeine; 3 Nasenbein; 4 Hinterstirnbeine; 5 Basslarbein; 6 Keilbeinkörper; 7 Scheitelbeine; 8 oberes Hinterhauptbein; 9 äußere Hinterhauptbeine; 10 seitliche Hinterhauptbeine; 11 große Keilbeinflügel; 12 Schlafbeine; 13 hintere Hinterhauptbeine; 14 kleine Keilbeinflügel; 15 vorderes Keilbein; 16 Pfugschaar; 17 Zwischenkiefer; 18 Oberkiefer; 19 Jochbeinplatten; 19' hintere Jochbeinplatten; 20 Nasenbeine; 21 Supratemporalplatten; 22 Gaumenbeine; 23 Zitzenbeine; 24 Querbeine; 25 Flügelbeine; 26 Quadratbeine; 27 Paukenbeine; 28 Kiemendeckel; 29 Styloidknochen; 30 Vorderdeckel; 31 Tympano-malleals; 32 Unterdeckel; 33 Zwischendeckel; 34 Zahnen; 35 Gelenkbein; 37 obere u. 38 untere Hälften des Jungenbeinhorns; 39 innere u. 40 äußere Gelenkstücke; 41 Jungenknochen; 42 Kielstück; 43 Kiemenhaustrahlen; 46 Überschulterblätter; 47 Schulterblätter; 48 Oberarme; 49 blattförmige u. 50 stielförmige Coracoideen; 51 Ellnbogenbeine; 52 Spaichen; 53 vorderes, 54 mittleres u. 55 hinteres Stück des Jungenbeinkörpers; 56 untere Schlundknochen; 57 untere Gelenkstücke der Kiemenbögen; 58 untere Hälften der Kiemenbögen; 59 obere Gelenkstücke der Kiemenbögen; 61 obere Hälften der Kiemenbögen; 62 obere Schlundknochen; 63 Zahnstücke der Kiemenbögen; 64 Handwurzelknochen; 65 Strahlen der Brustflosse; 66 oberster Strahl der Brustflosse; 67 Rückenwirbel; 68 erster Schwanzwirbel; 69 Schwanzwirbel; 70 Hauptflossensträger des Schwanzes; 71 Schwanzflossenstrahlen; 72 Rippen; 73 Muskelgräten; 74 Rückenflossensträger; 75 Rückenflossenstrahlen; 76 Zwischenfortsatz; 78 Fulcrum; 79 erster Afterflossensträger; 80 Becken; 81 Bauchflossenstrahlen; 82 obere u. 83 untere Dornfortsätze der Wirbel.

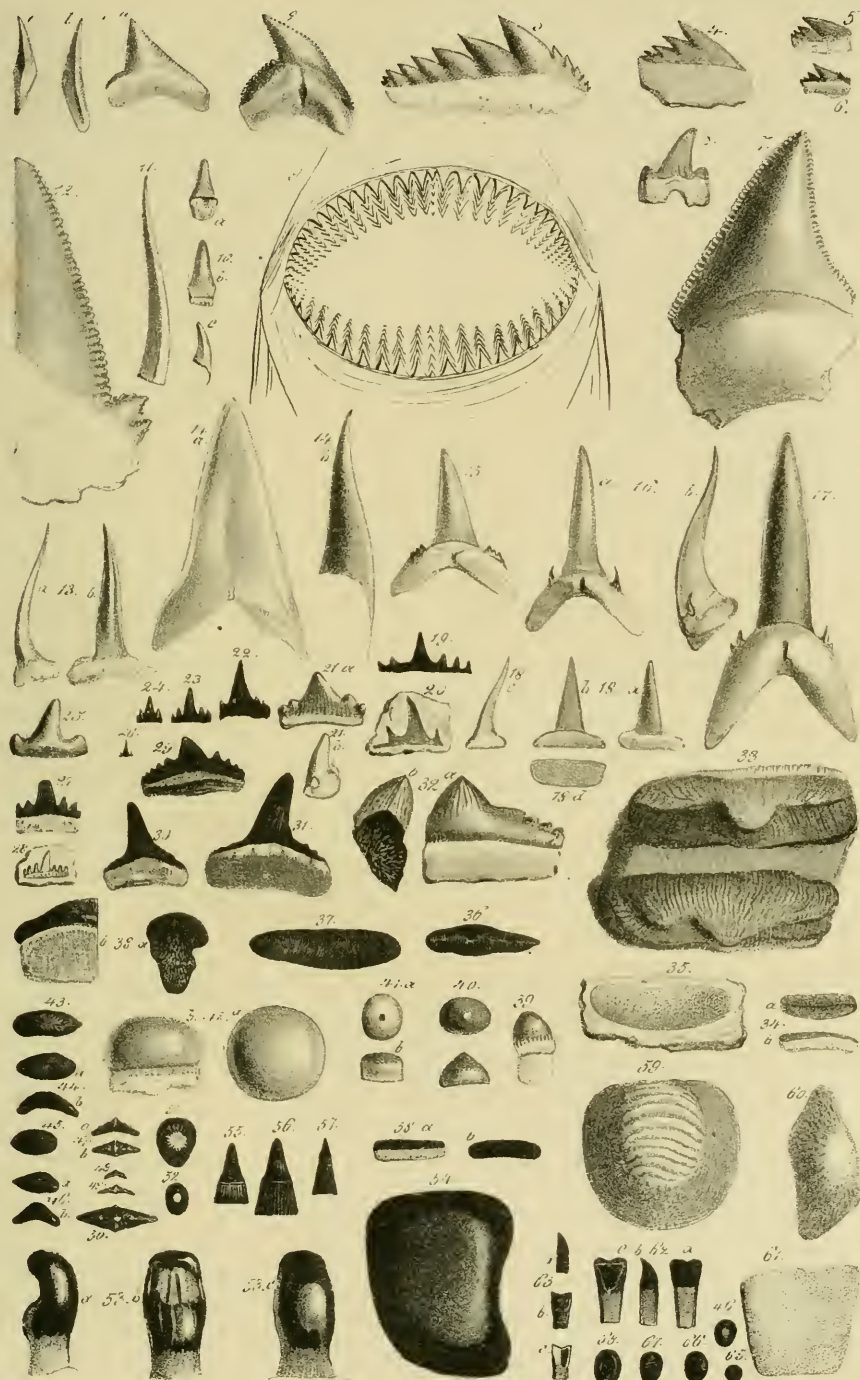
Fig. 6. *Smerdis minutus* pag. 246. Mittlere Tertiärformation, Alz.

Fig. 7. dito (*formosus*) pag. 246. Unterkirchberg, die weiße Erhöhung hinter den Augen bezeichnet Ohrknochen.



Erklärung der Tab. 13.

- Fig. 1. a—c. *Corax falcatus* pag. 168 aus dem Pläner von Strehlen, a Vorderseite.
Fig. 2. *Galeus aduncus* pag. 168. Molasse, Ober schwaben. Innenseite.
Fig. 3. *Notidanus primigenius* pag. 167. Oberes Tertiärgebirge. Flonheim.
Fig. 4. *Notidanus Münsteri* pag. 167. Weiß. Jura ε. Schnaitheim.
Fig. 5 u. 6. *Notidanus Hugeliae* pag. 167. Braun. Jura ζ. Gammelshausen.
Fig. 7. *Carcharias Escheri* pag. 170. Molasse bei Pfullendorf. Von der Innenseite.
Fig. 8. *Otodus appendiculatus* pag. 170. Pläner von Strehlen.
Fig. 9. Ideelles Maul vom Haifische.
Fig. 10. *Selachidea torulosi* pag. 173. Braun. Jura α. Donau-Mainkanal bei Berg, a von innen, b von außen, c von der Seite.
Fig. 11. *Oxyrhina longidens* p. 172. Mittl. weiß. Jur. Salmaningen, von d. Seite.
Fig. 12. *Carcharias auriculatus* pag. 170. Unt. Tertiärgebirge. Kressenberg.
Fig. 13. *Oxyrhina ornata* pag. 173. Braun. Jura ζ. Gammelshausen: a von der Seite, b von außen.
Fig. 14. *Oxyrhina Mantelli* pag. 172. Pläner, Quedlinburg: a außen, b seitl.
Fig. 15. *Lamna denticulata* p. 171. Ob. Tertiärgeb. Flonheim, von der Innenseite.
Fig. 16. *Lamna contortidens* pag. 171. Oberes Tertiärgeb. Süldorf: a Innenseite, b von der Seite.
Fig. 17. *Lamna cuspidata* pag. 171. Oberes Tertiärgeb. Flonheim. Innenseite.
Fig. 18. *Oxyrhina macer* pag. 172. Weiß. Jura ε. Schnaitheim: a Außen-, b Innenseite, c seitlich, d Basis.
Fig. 19. *Hyodus reticulatus* pag. 174. Schwarzer Jura ε. Ohmden.
Fig. 20. *Hyodus crassus* pag. 175. Braun. Jura β. Aalen.
Fig. 21. *Hyodus sublaevis* pag. 176. Ob. Keuper. Tübingen: a Außen-, b seitl.
Fig. 22—24. *Hyodus minor* pag. 176. desgl., daher, von der Außenseite.
Fig. 25. *Hyodus cuspidatus* pag. 176. desgl., daher, stark abgerieben.
Fig. 26. *Scyllium catulus* pag. 173. Lebend bei Dieppe. Zahn des Oberkiefers.
Fig. 27 u. 28. *Hyodus plicatilis* pag. 177. Oberer Hauptmuschelkalk, Rottweil.
Fig. 29. *Hyodus rugosus* pag. 177. Lettenkohle, Bibersfeld. Außenseite.
Fig. 30 u. 31. *Hyodus longiconus* pag. 176. Lettenkohle, Crailsheim: 30 von außen, 31 von innen.
Fig. 32 u. 33. *Hyodus pyramidalis* pag. 175. Lias ε, Ohmden.
Fig. 34. *Strophodus semirugosus* pag. 180. Weiß. Jura ε. Schnaitheim.
Fig. 35. *Strophodus longidens* pag. 180. Braun. Jura β, Aalen. Hohler Abdruck.
Fig. 36—38. *Acrodus Gaillardotii* pag. 178. Lettenkohle und Hauptmuschelkalk.
Fig. 39—41. *Lepidotus Mantelli* pag. 198. Weiß. Jura ε. Schnaitheim.
Fig. 42. *Sphaerodus gigas* pag. 199. desgleichen, daher.
Fig. 43—46. *Acrodus lateralis* pag. 178. Oberer Muschelkalk.
Fig. 47—50. *Acr. minimus* pag. 179. Ob. Keuper, Steinenbronn: 50 vergrößert.
Fig. 51. *Placodus rostratus* pag. 215. Hauptmuschelkalk, Rüdersdorf.
Fig. 52. *Placodus impressus* pag. 215. desgleichen, Meißberg.
Fig. 53. *Placodus gigas* pag. 215. Hauptmuschelkalk, Rüdersdorf: a von vorn, b von hinten, c von der Seite.
Fig. 54. *Placodus gigas* pag. 215. Hauptmuschelkalk, Laineck. Vorderster Pflasterzahn der Mittelreihe.
Fig. 55. *Saurichthys acuminatus* pag. 231. Oberster Keuper, Steinenbronn.
Fig. 56. *Saurichthys Maugeotii* pag. 231. Lettenkohle, Bibersfeld.
Fig. 57. *Saurichthys breviceps* pag. 231. desgleichen, daher.
Fig. 58. *Strophodus angustissimus* pag. 180. desgl., daher, mit der Wurzel.
Fig. 59. *Ptychodus decurrens* pag. 181. Pläner Kalk, Quedlinburg.
Fig. 60. *Strophodus reticulatus* pag. 180. Weiß. Jura ε. Schnaitheim.
Fig. 61. *Psammodus porosus* pag. 188. Kohlenkalk, Bristol.
Fig. 62—68. *Sargodon tomicus* pag. 181. Oberster Keuper, Steinenbronn:
62 u. 63 Schneidezähne.



4. Self and punishment

Individuals who commit a wrong are usually dealt with in one of two ways. They are either punished or they are given a chance to make amends. In the former case, the individual is forced to pay a price for his/her actions. This may be physical pain, social isolation, or loss of material possessions. In the latter case, the individual is given a chance to make things right. This may involve apologizing, compensating the victim, or performing some kind of service to the community.

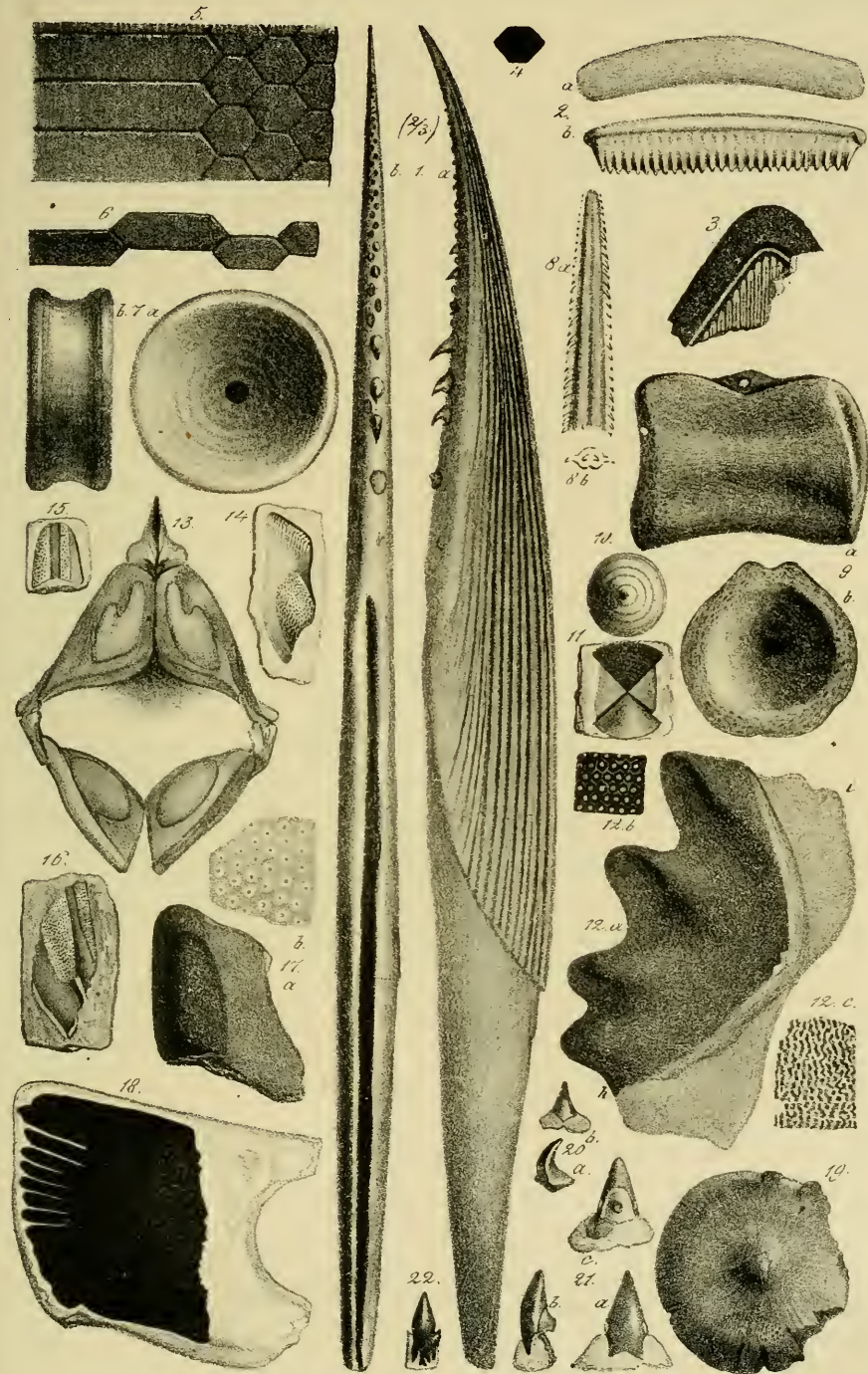
Both approaches have their merits. The problem comes when one approach is used to the exclusion of the other. This can lead to a lack of accountability and a sense of entitlement.

For example, consider a person who has committed a serious offense. If they are only punished, they may feel that they have been treated unfairly. They may also feel that they have been denied the opportunity to make amends. This can lead to a sense of anger and resentment. On the other hand, if they are only given a chance to make amends, they may feel that they have been given a "free pass". They may also feel that they have been denied the opportunity to be held accountable for their actions.

Therefore, it is important to find a balance between punishment and amends. This means that individuals should be held accountable for their actions, but they should also be given the opportunity to make things right. It is also important to ensure that the punishment is proportional to the offense. This will help to prevent individuals from feeling that they have been treated unfairly. It will also help to prevent individuals from feeling that they have been denied the opportunity to make amends. In this way, both punishment and amends can be used effectively to deal with wrongdoers.

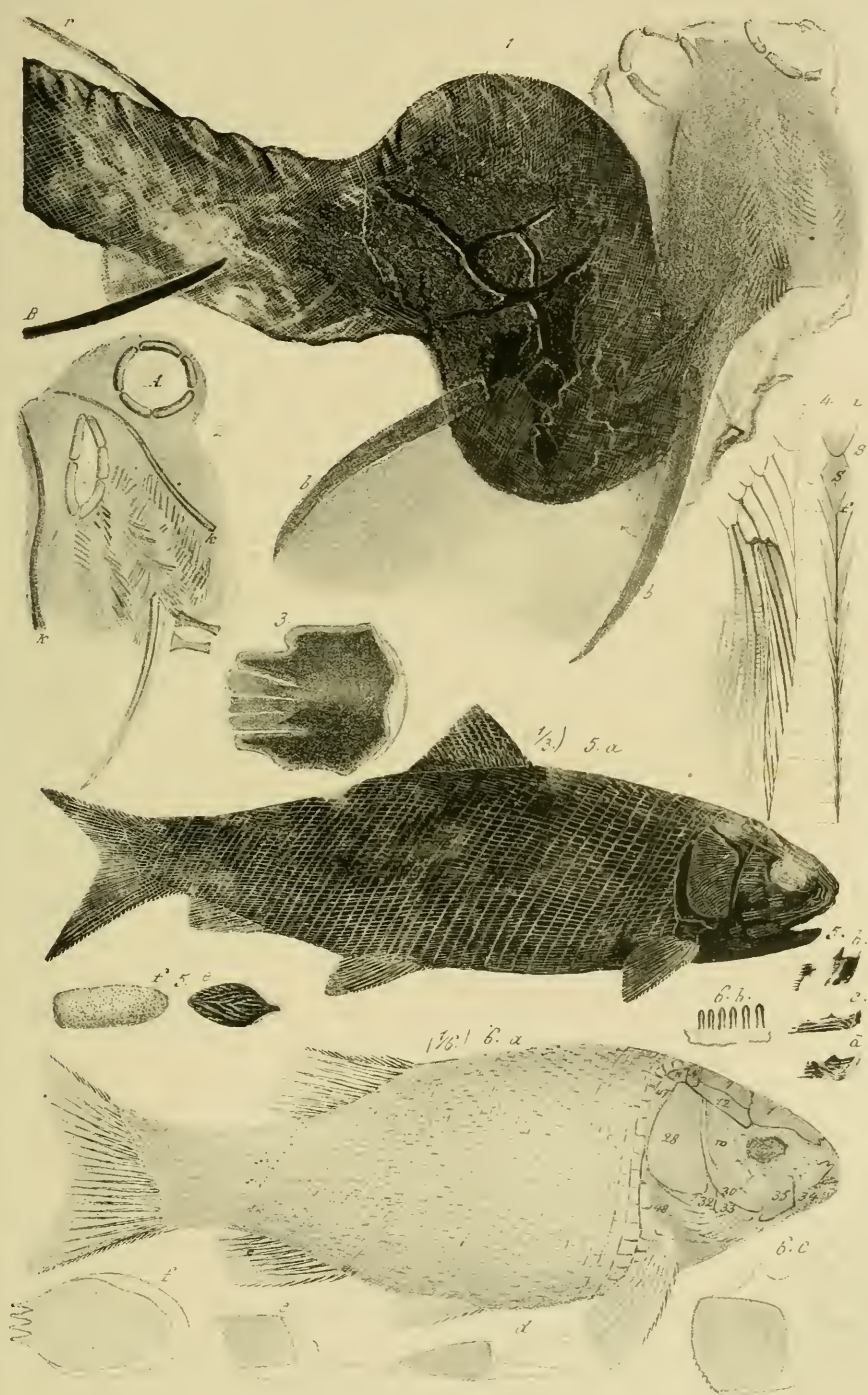
Erklärung der Tab. 14.

- Fig. 1. *Hybodus reticulatus* pag. 175. Lias ε, Ohmten, großer Flossenstachel in $\frac{2}{3}$ natürlicher Größe: a von der Seite, b von hinten.
- Fig. 2. *Aetobatis* von Flonheim pag. 182. a von oben, b von hinten.
- Fig. 3. *Aetobatis arcuatus* pag. 182. Molasse, Baltringen.
- Fig. 4. *Myliobatis* pag. 182. Molasse, Baltringen.
- Fig. 5. *Myliobatis taliapicus* pag. 183. Londonthon, Shepp. Copie von Agassiz Rech. III. tab. 47. fig. 15.
- Fig. 6. *Zygotabatis Studeri* pag. 183. Molasse, Oberschwaben. Pfasterzähne neben einander gestellt, und nicht zusammengehörig.
- Fig. 7. *Lamna*, Wirbelförper pag. 173. Molasse, Baltringen.
- Fig. 8. *Myliobatis acutus* pag. 183. Schwanzstachel aus dem Londonthon von Shepp. Copie nach Agassiz.
- Fig. 9. *Galeus*, Wirbelförper pag. 174. Molasse, Pfullendorf.
- Fig. 10 u. 11. Fischwirbel pag. 174, aus den Eisenerzen des Br. Jura β von Aalen: 10 Abdruck der Gelenkfläche; 11 Längsschnitt des Wirbelförpers.
- Fig. 12. *Ceratodus Kaupii* pag. 187, aus der Lettenkohlenformation von Hohenegg: a Zahn mit Wurzel, a Außenrand, h Hinterrand, i Innenrand; b ein vergrößertes Stück der Kronenfläche; c ein vergrößertes Stück der Wurzelfläche.
- Fig. 13. *Chimaera australis* pag. 184. Aufgesperrtes Maul mit 6 Zähnen, Copie nach Owen Odontogr. tab. 28. fig. 1.
- Fig. 14—16. *Chimaera Aalensis* pag. 185. Zahne aus den Eisenerzen von Aalen, die weißen punktierten Wülste bezeichnen die Zahnkronen von der Unterseite gesehen.
- Fig. 17. *Chimaera personata* pag. 185. Zahn aus dem Braun. Jura β von Heiningen: a natürliche Größe; b vergrößerte Kronenfläche.
- Fig. 18. *Lepidotus gigantus* pag. 198. Schuppe aus dem Weißen Jura ζ von Kehlheim.
- Fig. 19. Knochenplatte vom Stör oder Nothen. Molasse, Pfullendorf.
- Fig. 20. Selachier Zahn pag. 173. Molasse, Pfullendorf: a von außen, b von der Seite.
- Fig. 21. *Hemipristis bidens* pag. 169, von Schnaitheim: a von außen, b von der Seite, c von innen.
- Fig. 22. dito, daher, von außen.
-



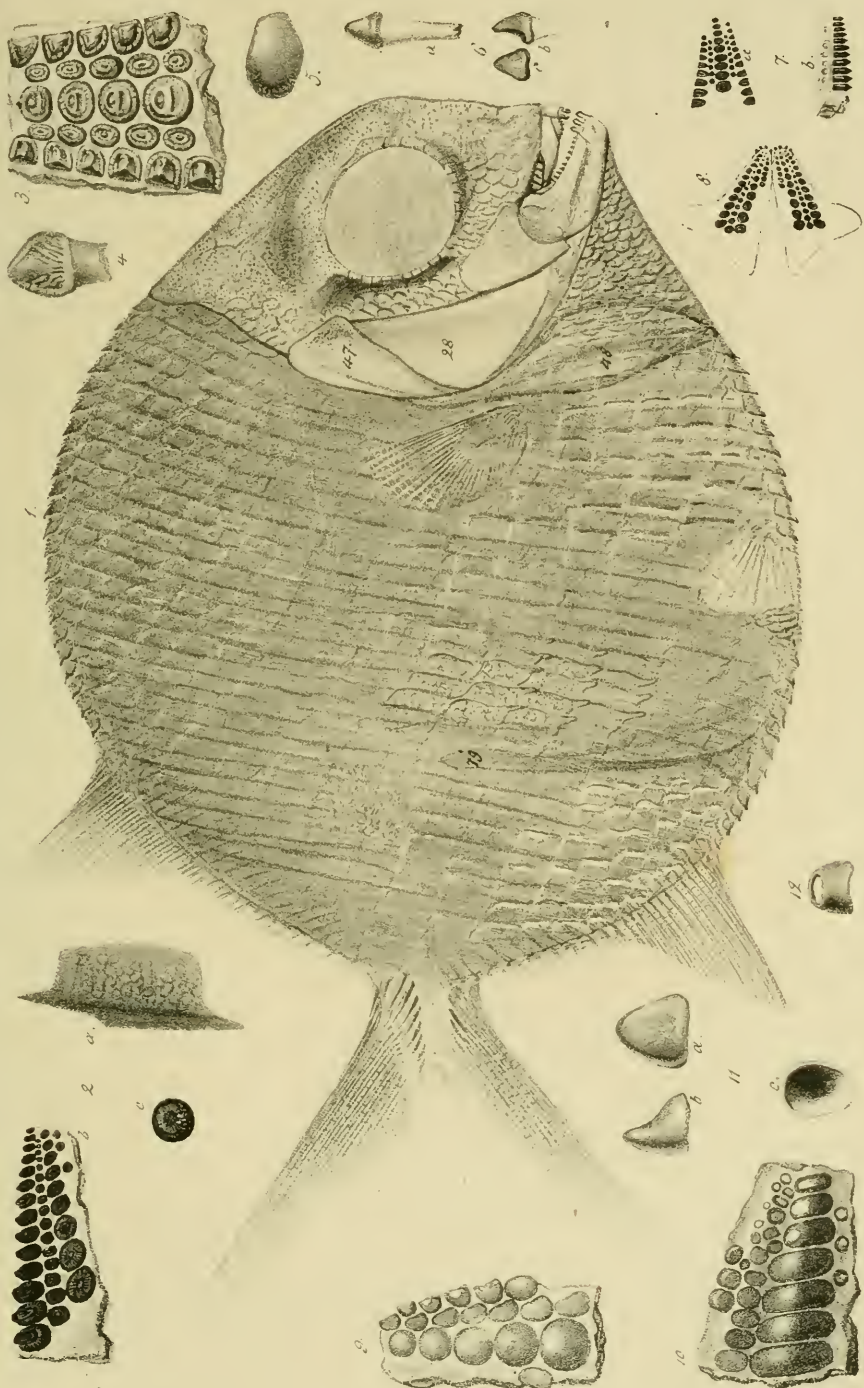
Erklärung der Tab. 15.

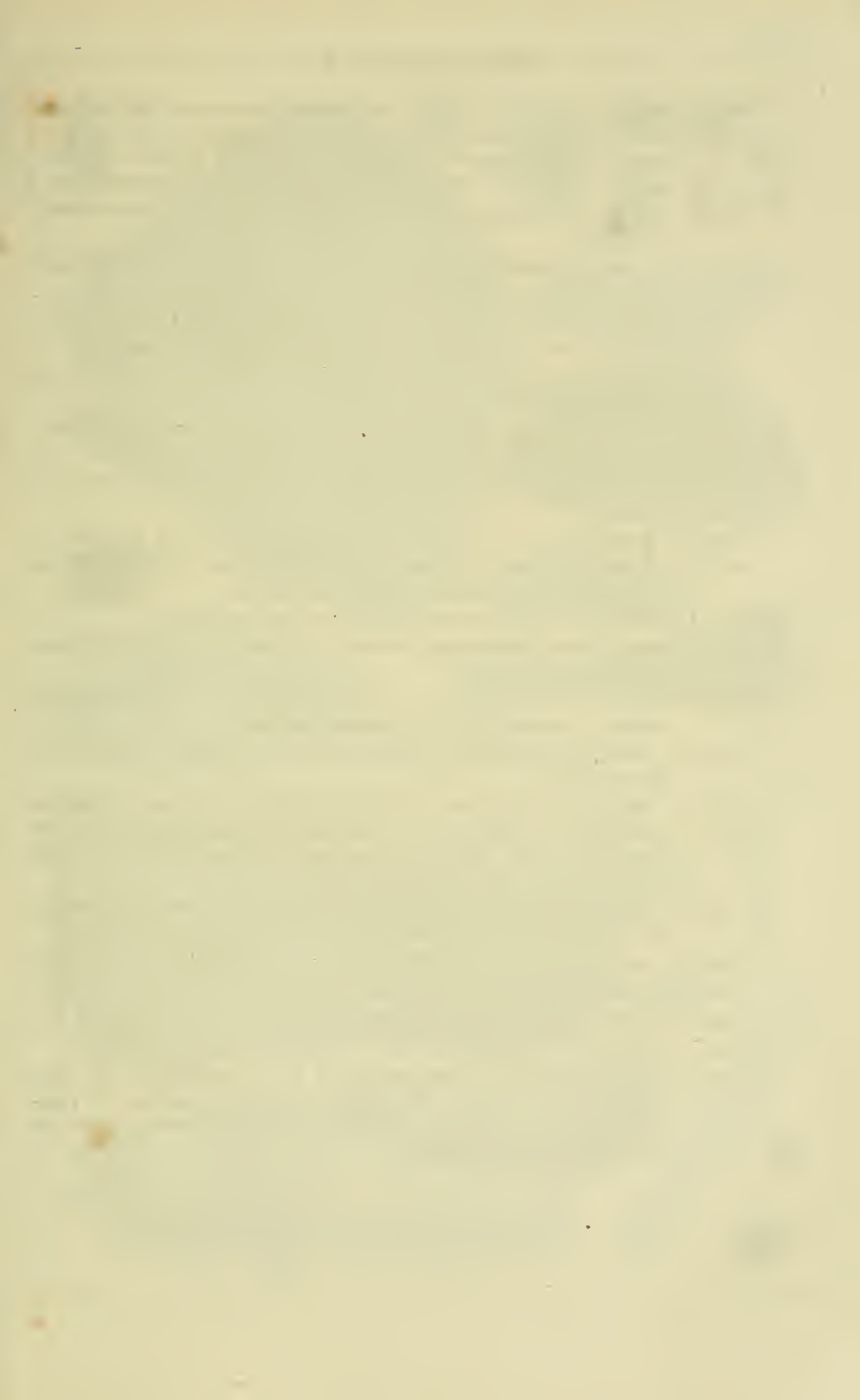
- Fig. 1 u. 2. *Acanthodes Bronnii* pag. 191, aus den Thoneisenstein-Geoden der öbern Steinfohlenformation von Börschweiler: A Auge, s Schulterknochen, b Stacheln der Brustflossen; r Stachel der Rückenflosse; B Stachel der Bauchflosse mit der Flossen Haut dahinter.
- Fig. 3. *Lepidotus giganteus* pag. 198. Asterschuppe? Schnaitheim.
- Fig. 4. *Lepidotus notopterus* pag. 197, von Kehlheim, Rückenflosse: a vom Rücken her, um die getheilten Fulera zu zeigen, bei f beginnen die Fulera, S sind Schuppen; b von der Seite, die Fulera der linken Seite sind weggebrochen.
- Fig. 5. *Ptycholepis Bollensis* pag. 203, aus dem Lias ε von Holzmaden: a ein vollständiger Fisch, $\frac{1}{3}$ natürlicher Größe; b Schuppe von der Vorderseite der Flanken; c u. d weiter hinten weg; e Asterschuppe; f Vomer mit kleinen Zahnen.
- Fig. 6. *Lepidotus Elvensis* pag. 197, aus dem Lias ε von Holzmaden: a ein vollständiger Fisch, $\frac{1}{6}$ natürl. Größe: 1 Stirnplatten; 7 Scheitelpfatten; 12 Schlafplatten; N große Nackenplatte; n kleine Nackenplatte; 47 Scapula; 48 Oberarm; 28 Opereulum; 30 Praeoperculum; 32 Suboperculum; 33 Interoperculum; w Beckenplatten; 34 Zahnebein; 35 Gelenkbein; b Zahne des Unterkiefers; c Schuppe von den vordern Flanken gegenden; d unpaarige Schuppe vor der Schwanzflosse stehend; e Schuppe aus der Schwanzgegend; f Asterschuppe.
-



Erklärung der Tab. 16.

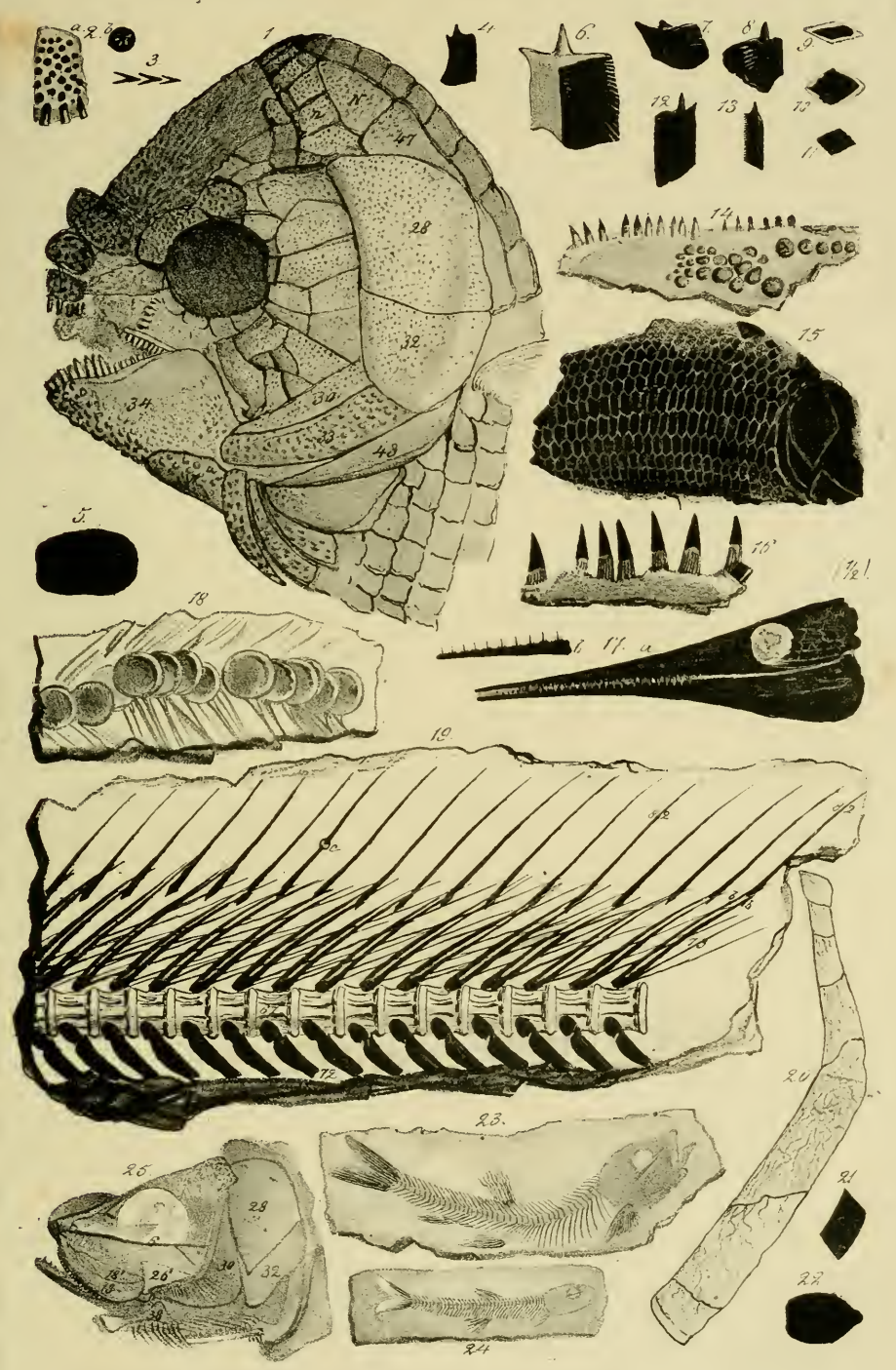
- Fig. 1. *Gyrodus rugosus* pag. 211, aus dem Solnhofener Schiefer. Er wurde soviel als möglich ergänzt, namentlich ist auch die Form des Kopfes richtig. Die Glieder der Bauch- und Brustflosse sehen Schuppen ähnlich: 48 Oberarm, 28 Operculum, 47 Schulterblatt, 79 erster Afterflossensträger.
- Fig. 2. *Gyrodus medius* pag. 211, von Kehlheimwinzer: a Schuppe von der linken Flanke des Fisches; b linke Unterkieferhälfte, die längste Reihe gehört dem äußern Rande an; c einzelner Zahn.
- Fig. 3. *Gyrodus umbilicus* pag. 212. Vomerreihe aus dem weißen Jura ε von Schnaitheim.
- Fig. 4. Schneidezahn von der Innenseite von *Pyknodus* oder *Gyrodus*, von Schnaitheim.
- Fig. 5. *Gyrodus jurassicus* pag. 212, aus dem sogenannten Portlandkalke von Solothurn, Zahn aus der äußeren Reihe, stark angekaut.
- Fig. 6. Schneidezahn des *Gyrodus umbilicus* von Schnaitheim: a vom Rücken; b von der Seite; c von innen.
- Fig. 7. *Gyrodus rugosus* pag. 211. Vomerreihe von Solnhofen: a von der Kaufläche; b von der Seite.
- Fig. 8. dito, daher, zwei Unterkieferäste.
- Fig. 9. *Sphaerodus* pag. 214. Dolith des weißen Jura ε von Schnaitheim: Vomerreihe.
- Fig. 10. *Pyknodus Hugii* pag. 213, Schnaitheim: linker Unterkiefer.
- Fig. 11. *Pyknodus mitratus* pag. 214, von Schnaitheim: a von innen; b von der Seite; c von unten.
- Fig. 12. dito, daher, angekaut.





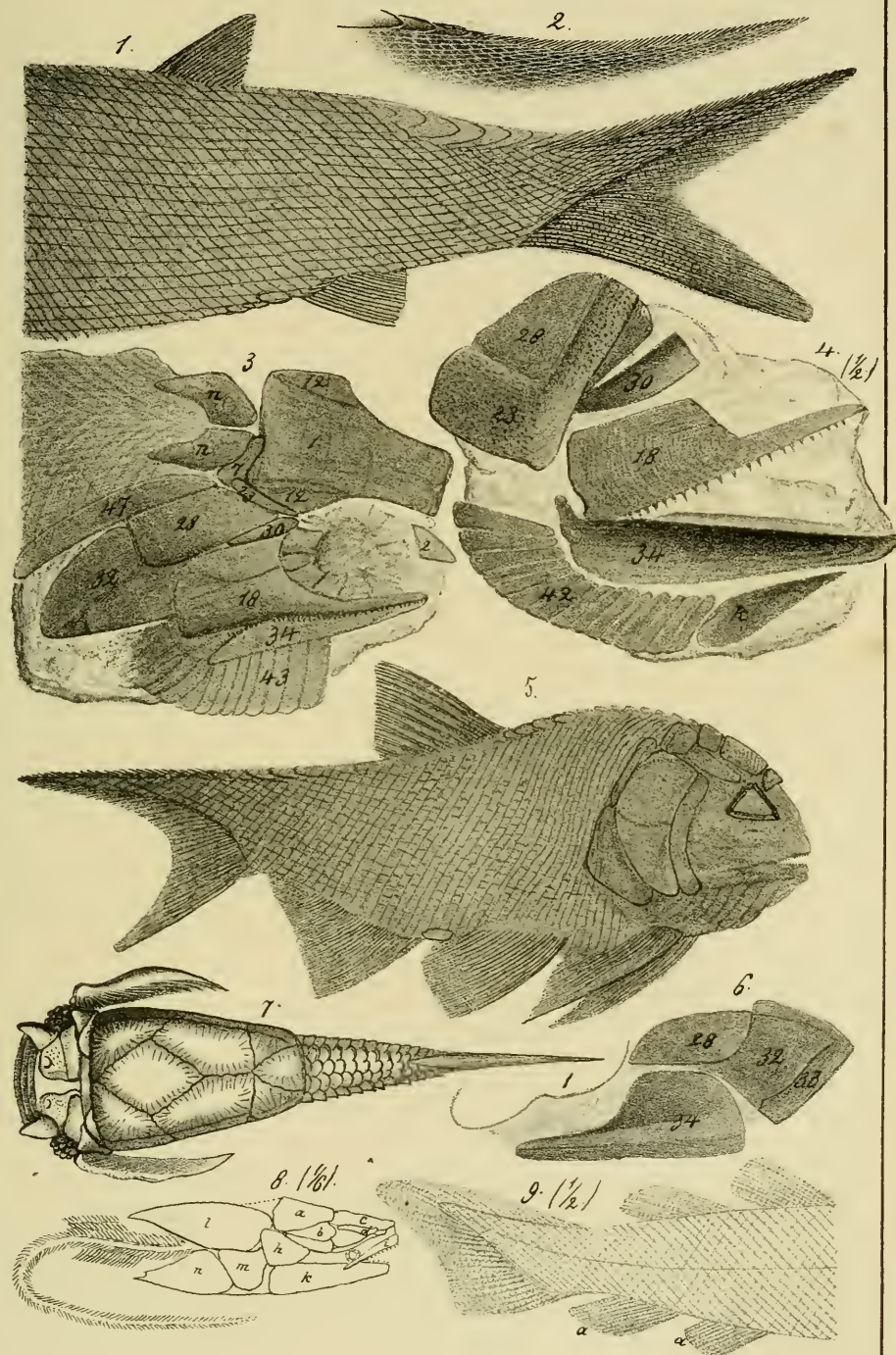
Erläuterung der Tab. 17.

- Fig. 1. *Dapedius pholidotus* pag. 203, ein ziemlich vollständiger Kopf aus dem Lias ε von Holzmaden: 1 Stirnplatte, 28 Operculum; 30 Praeoperulum; 32 Suboperculum; 33 Interoperculum; 34 Zahnhaken; 47 Scapula; k Kehlplatte; N dreieckige Nackenplatte; n kleine Nackenplatten.
- Fig. 2. *Dapedius punctatus* pag. 202, daher, Vomerzähne: a natürliche Größe; b vergrößert.
- Fig. 3—5. *Dapedius pholidotus* pag. 203, daher: 3 Fulera von der Schwanzfalte; 4 Schuppe; 5 Kehlplatte.
- Fig. 6. *Gyrolepis Albertii* pag. 206, Schuppe aus der Lettenkohle von Bibersfeld.
- Fig. 7. dito, aus dem oberen Hauptmuschelkalk von Egeln bei Magdeburg.
- Fig. 8. *Gyrolepis maximus* pag. 206, oberster Hauptmuschelkalk von Meisberg (Künzelsau), Schuppe unten verbrochen.
- Fig. 9—11. *Gyrolepis tenuistriatus* pag. 205: 9 u. 10 aus dem obersten Keuperbonebed von Tübingen; 11 aus der Lettenkohle von Bibersfeld.
- Fig. 12. Fischschuppe aus der Lettenkohle von Bibersfeld, macht den Übergang zu
- Fig. 13. *Serrolepis* pag. 207, aus der Lettenkohle von Comburg bei Hall.
- Fig. 14. *Gyrolepis maximus* pag. 206 (*Colobodus*), rechter Unterkiefer von der Innenseite gesehen, Hauptmuschelkalk, Crailsheim.
- Fig. 15. *Pholidophorus Bechei* pag. 207, Lias ε, Holzmaden.
- Fig. 16. *Pachycormus* (*Saurostomus esocinus* Ag.) pag. 217, Zähne der Kiefer spitze, Lias ε, Holzmaden.
- Fig. 17. *Belonostomus acutus* pag. 209, Lias ε, Holzmaden: a Kopf $\frac{1}{2}$ natürl. Größe; b Unterkiefer spitze in natürlicher Größe.
- Fig. 18. *Thriops micropodium* pag. 218, Lias ε, Holzmaden: Stück von der Wirbelsäule.
- Fig. 19. *Thriops formosus* pag. 219, Weißer Jura ε, Kehlheim, Stück der Wirbelsäule: 72 Rippen; 67 Rückenwirbel; 73 Muskelgräten; 82 obere Dornfortsätze; bb Bogentheile, zwischen welchen sich die Dornfortsätze einschieben; bei e eine Knochenblase.
- Fig. 20. *Aspidorhynchus ornatissimus* pag. 208, Kehlheim. Eine Schuppenreihe, die oberste gehört der Rückenkante.
- Fig. 21. *Pholidophorus latus* pag. 208, Solnhofen, Schmelzlage einer Schuppe.
- Fig. 22. *Caturus* pag. 216, Schuppe von Solnhofen.
- Fig. 23. *Leptolepis sprattiformis* pag. 222, Solnhofen.
- Fig. 24. Brut, von demselben? daher.
- Fig. 25. *Leptolepis Knorrii* pag. 222, Solnhofen, Kopf: 18 Oberkiefer, 18' überzähliges zum Oberkiefer gehöriges Blatt; 26 Quadratbein; 30 Praeoperulum; 28 Operculum; 32 Suboperculum; 38 untere Hälfte des Jungenbeinhorns; 6 Keilbein.



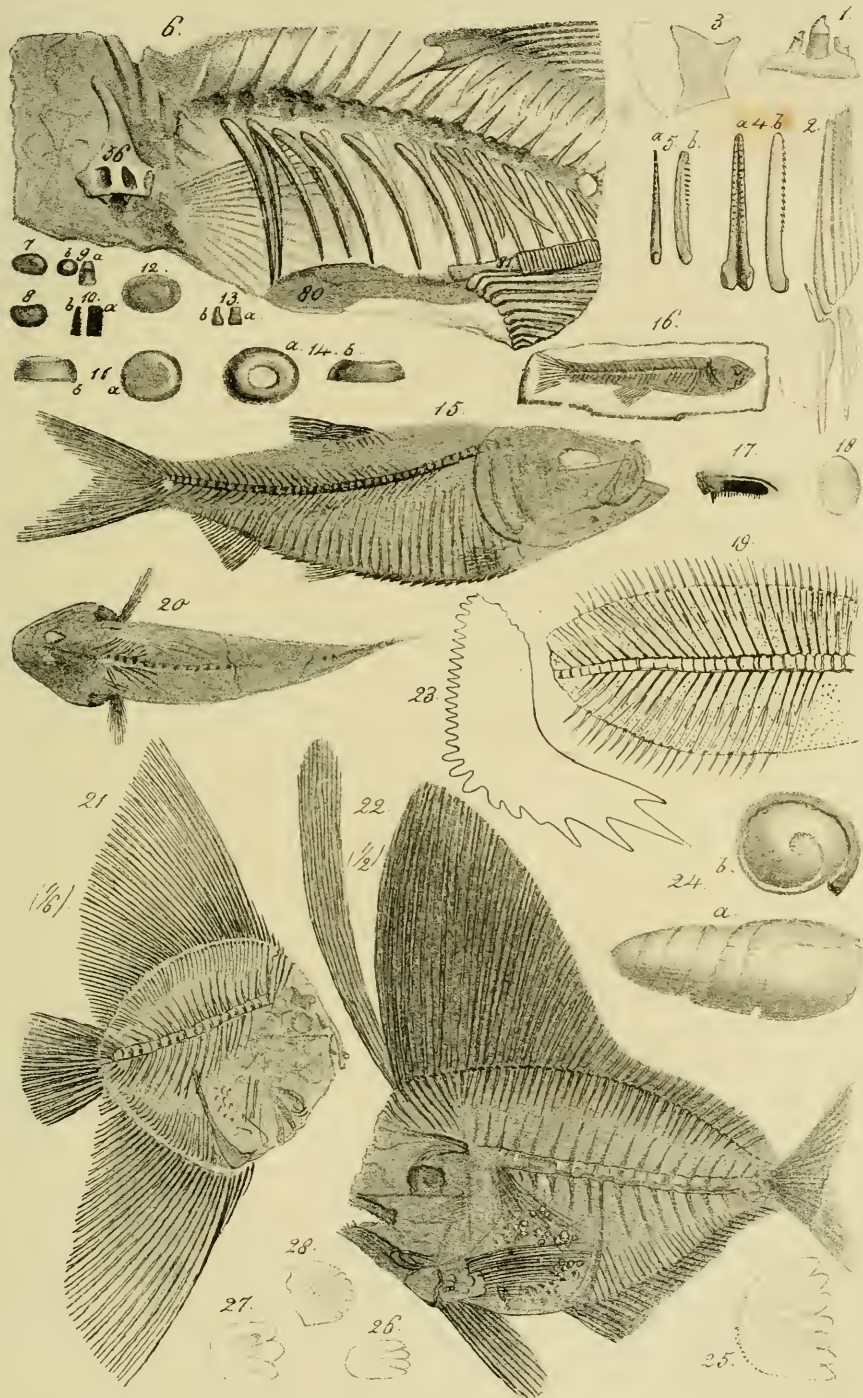
Erklärung der Tab. 18.

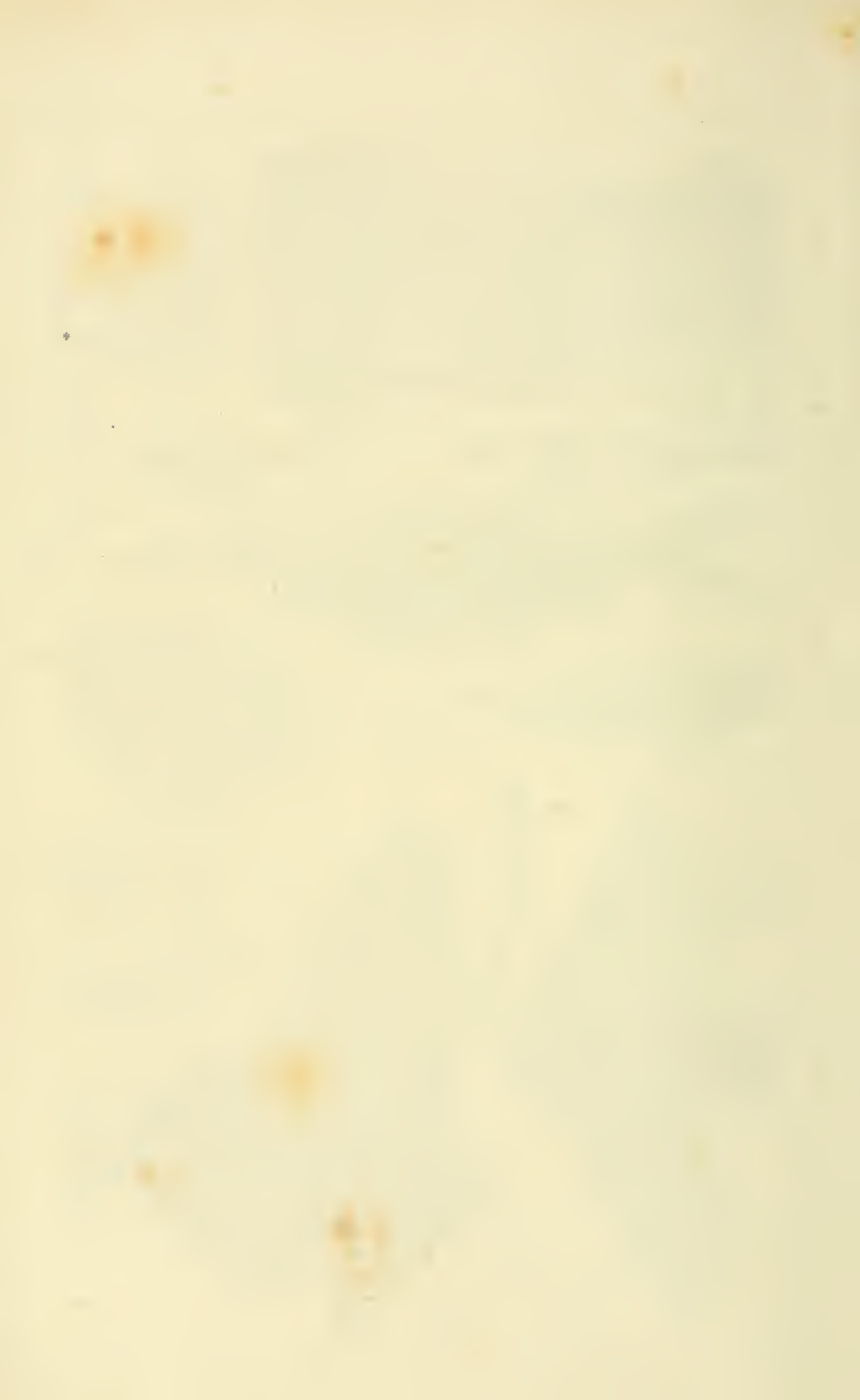
- Fig. 1 u. 2. *Palaeoniscus Islebiensis* pag. 224, aus dem Kupferschiefer von Eisleben: Fig. 1 oberer Schwanzlobus; Fig. 2 Schwanzstück.
- Fig. 3. *Palaeoniscus Islebiensis* pag. 225, aus den Kalkschwülen des Zechsteins von Ilmenau, Kopfstück: 1 Hauptstirnbein, 2 Vorderstirnbein, 7 Scheitelbein, 12 Schläfenbein, 18 Oberkiefer, 23 Zungenbein, 28 Operculum, 30 Praeoperculum, 32 Suboperculum, 34 Zahnhaut, 43 Kiemenhautstrahlen, 47 Schulterblatt, n Nackenplatten.
- Fig. 4. *Pygopterus Islebiensis* pag. 226, aus den Kalkschwülen des Zechsteins von Ilmenau, Kopfstück in $\frac{1}{2}$ natürl. Größe: 18 Oberkiefer, 23 Zungenbein, 28 Operculum, 30 Praeoperculum, 34 Unterkiefer, 43 Kiemenhautstrahlen, k Kehlplatte.
- Fig. 5. *Amblypterus latus* pag. 225, Steinkohlengebirge von Lebach.
- Fig. 6. *Palaeoniscus Islebiensis* pag. 224, aus dem Kupferschiefer von Wimmelburg bei Eisleben: 1 Hauptstirnbein, 28 Operculum, 32 Suboperculum, 33 Interoperculum, 34 Unterkiefer.
- Fig. 7. *Pterichthys cornutus* pag. 232, ideale Figur nach Mantell, aus dem Oldred von Schottland.
- Fig. 8. *Coccosteus* pag. 231, aus dem Schottischen Oldred, nach Agassiz, $\frac{1}{6}$ natürl. Größe: a Nackenplatte, b hintere Seitenplatte, c Gesichtsplatte, d vordere Seitenplatte, h Gelenkplatte, i Oberkiefer, k Unterkiefer, l Rückenplatte, m vordere und n hintere Bauchplatte.
- Fig. 9. *Dipterus* pag. 228, aus dem Oldred von Schottland, nach Agassiz, $\frac{1}{2}$ natürl. Größe, aa Afterflossen.

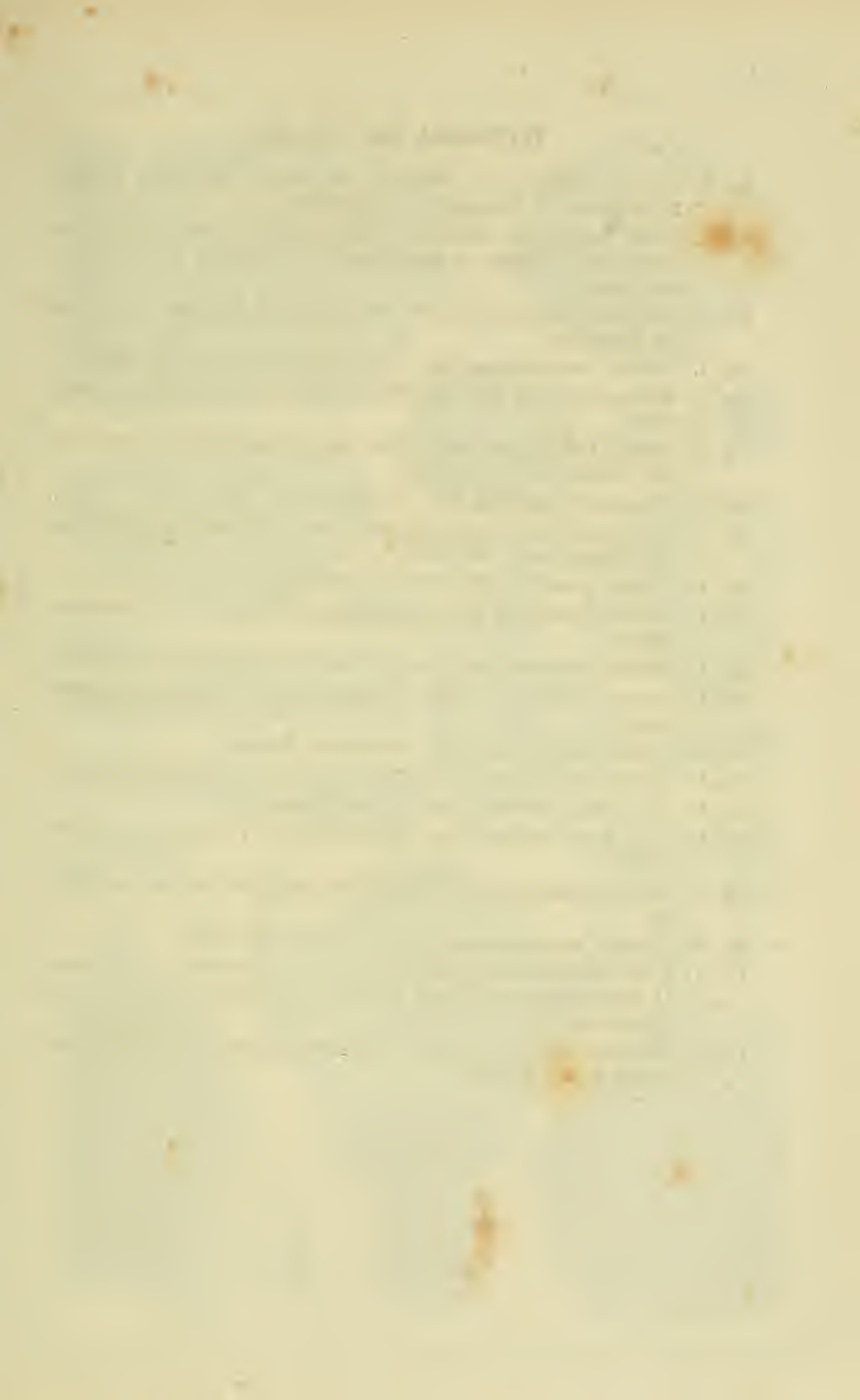


Erklärung der Tab. 19.

- Fig. 1 u. 2. *Barbus Steinheimensis* pag. 236, aus dem Süßwasserkalk von Steinheim: Fig. 1 Stück vom Schlundknochen mit dem Hauptzahn; Fig. 2 Vordertheil der Rückenflosse.
- Fig. 3. *Leuciscus gracilis* pag. 236, aus dem Süßwasserkalk von Steinheim, Operculum.
- Fig. 4 u. 5. *Cyprinus* pag. 237, der Karpfen, aus dem Tertiärthon von Unterfirberg: Fig. 4 vorderer Strahl der Rückenflosse a von hinten, b von der Seite; Fig. 5 halber Strahl der rechten Seite a von hinten, b von innen.
- Fig. 6. *Tinca micropygoptera* pag. 237, aus dem Süßwasserkalke von Steinheim: 56 Schlundknochen, 80 Becken, 81 erster Strahl der Bauchflosse, charakteristisch eng gegliedert, wie bei allen Schlehen.
- Fig. 7—14. *Sparoides molassicus* pag. 248, aus der Molasse von Oberschwaben. Verschiedene Schneide- und Pfasterzähne, die man fälschlich dem *Sphaerodus* zugezählt hat.
- Fig. 15. *Clupea ventricosa* pag. 240, aus den Tertiärthonen von Unterfirberg.
- Fig. 16. *Lebias cephalotes* pag. 237, Süßwasserkalk, Alir.
- Fig. 17. *Dentex* pag. 248, Oberkiefer mit Zähnen, Mt. Bolca.
- Fig. 18. *Beryx Lewesiensis* pag. 247, Pläne von Strehlen, Schuppe.
- Fig. 19. *Rhombus Kirchbergianus* pag. 241, Unterfirberg.
- Fig. 20. *Cottus brevis* pag. 249, Unterfirberg.
- Fig. 21. *Platax macropterygius* pag. 253, Copie nach Agassiz, Bolca, $\frac{1}{6}$ nat. Größe.
- Fig. 22. *Semiophorus velifer* pag. 253, Copie nach Agassiz, Bolca, $\frac{1}{2}$ natürl. Größe.
- Fig. 23. *Cyclopoma gigas* pag. 246, Praeoperculum, Bolca, Copie nach Agassiz.
- Fig. 24. Coprolith von *Macropoma Mantelli* pag. 219, nicht durch den Spiegel gezeichnet, Kreide von England: a von der Seite, b von hinten, wo man den Abbruch der Umgänge sieht.
- Fig. 25. Schuppe von *Perca fluviatilis* pag. 158, Akenoide.
- Fig. 26 u. 27. Schuppen von *Esox* pag. 238, Fig. 26 vom lebenden *E. lucius*, Fig. 27 vom fossilen *E. lepidotus* von Deningen. Beide gehören gleich großen Individuen an.
- Fig. 28. Schuppe vom lebenden Weißfisch, Cycloide.

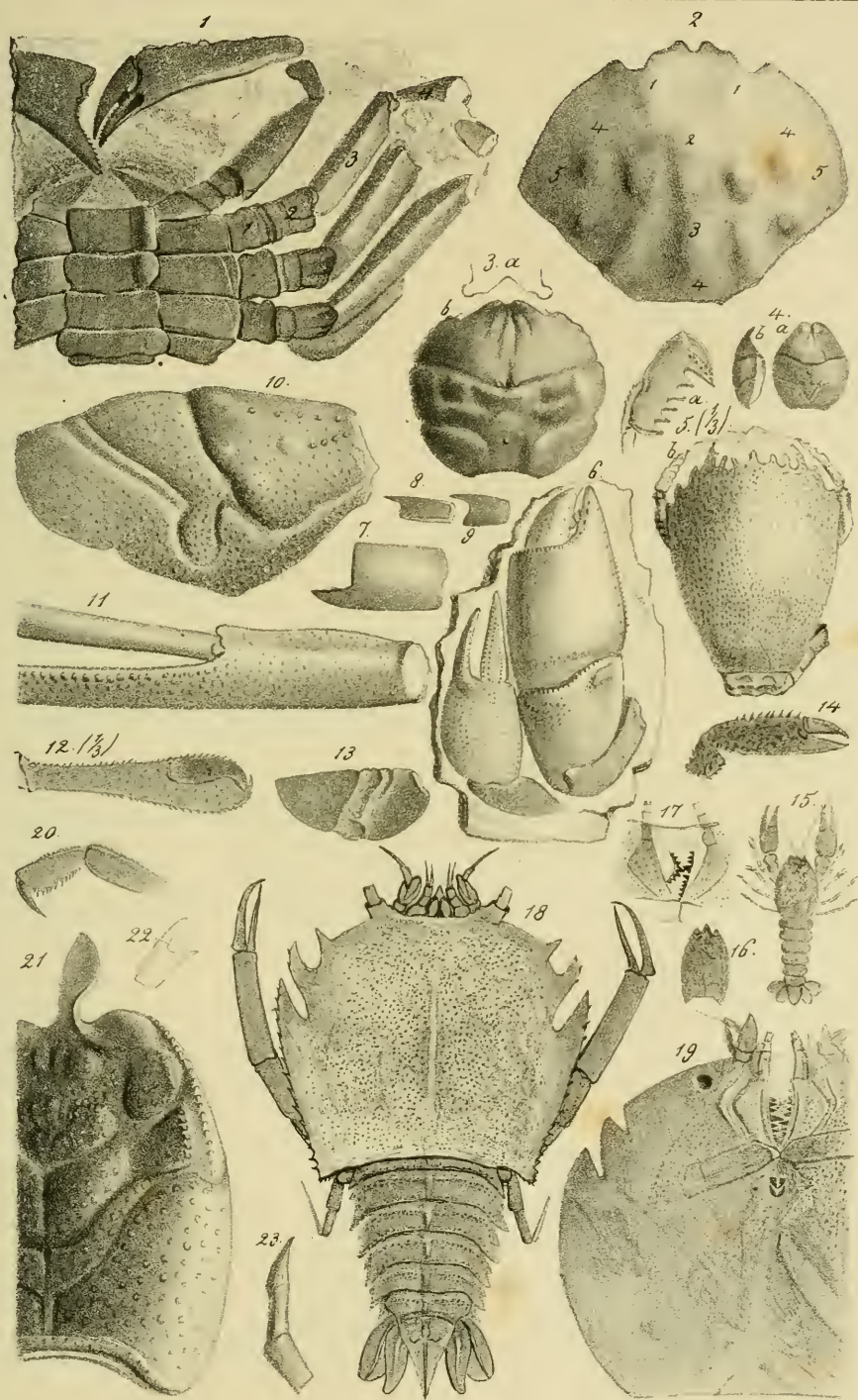






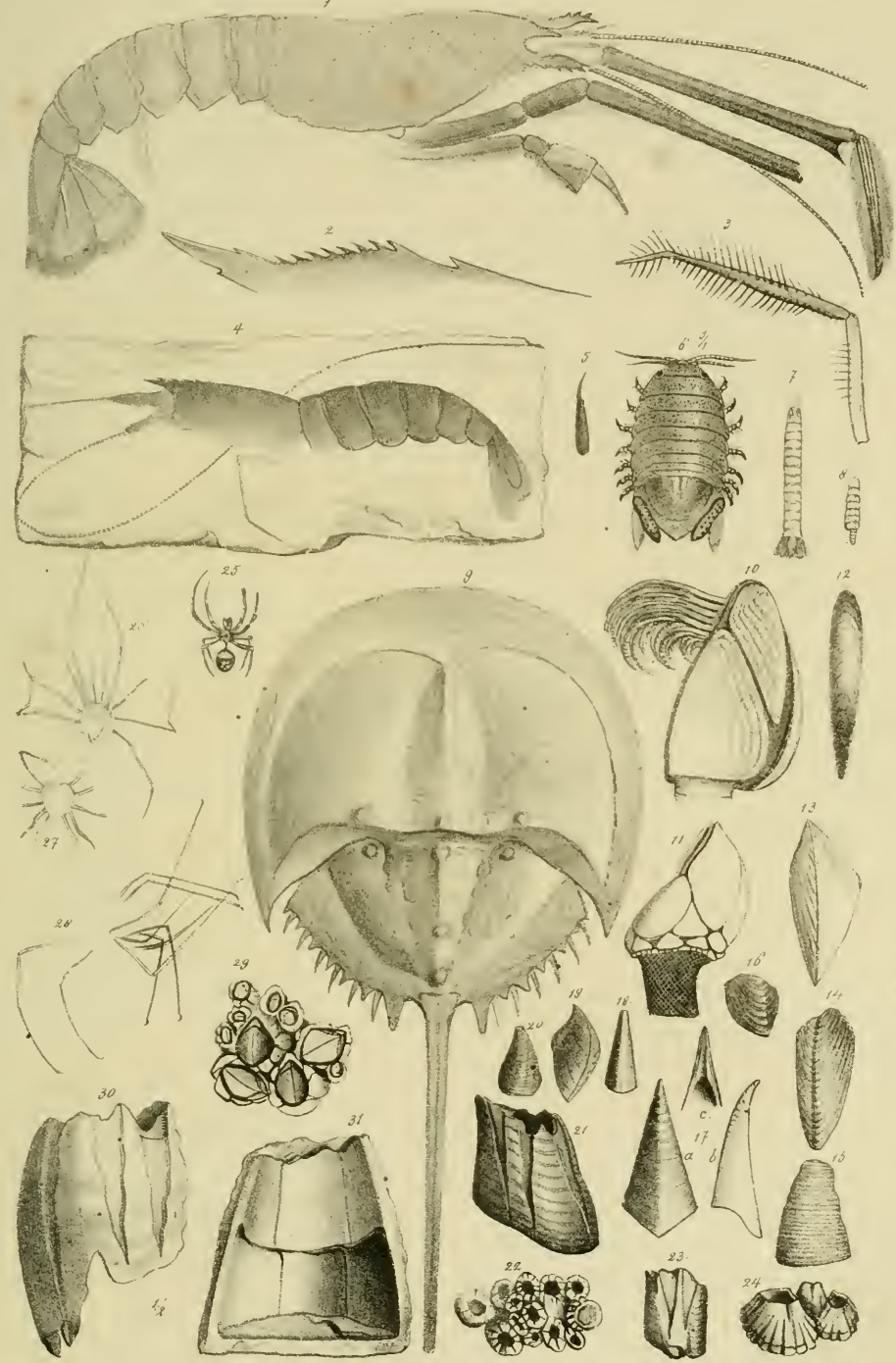
Erklärung der Tab. 20.

- Fig. 1. *Gonoplax Latreillei* pag. 262 von Sourabaya auf Java: 1 Hüfte,
2 Trochanter, 3 Oberschenkel, 4 Schienbein.
- Fig. 2. *Cancer hispidiformis* pag. 261. Subalpinische Tertiärformation von
Sonthofen: 1 Magen-, 2 Geschlechtstheil-, 3 Herzen-, 4 Leber-, 5 Kie-
men-Gegend.
- Fig. 3. *Brachyurites rugosus* pag. 263 von Faroe auf Seeland: 3. a Umriß
der Vorderseite.
- Fig. 4. *Prosopon rostratum* pag. 263. Ober. Weißer Jura bei Geißenlingen.
- Fig. 5. *Hela speciosa* pag. 264 von Bünde, Copie nach Münster, $\frac{1}{3}$ natürl.
Größe.
- Fig. 6. *Pagurus Faujasii* pag. 264. Obere Kreide von Maastricht, rechte und
linke Schere von der Oberseite.
- Fig. 7. *Callianassa antiqua* pag. 264. Kieslingswalde, Obere Kreide.
- Fig. 8 u. 9. *Pagurus suprajurensis* pag. 265, aus den Krebs scheerenfalken der
Alp, Scheerenballen mit Index.
- Fig. 10. *Astacus grandis* p. 269, Lias α, Österdingen.
- Fig. 11. *Astacus Leachii* pag. 269, Obere Kreide, Salzberg bei Quedlinburg.
Scheere.
- Fig. 12. *Uncina Posidoniae* pag. 269, $\frac{1}{3}$ natürl. Größe, Lias ε, Holzmaden.
- Fig. 13. *Astacus ventrosus* pag. 268, Weißer Jura α, Unterhausen bei Neut-
lingen.
- Fig. 14. *Astacus fuciformis* pag. 268, Solnhofen, Scheere.
- Fig. 15. *Astacus modestiformis* pag. 268, Solnhofen.
- Fig. 16. dito, daher, Cephalothorax von der Rückenseite.
- Fig. 17 u. 18. *Eryon arctiformis* pag. 266, Solnhofen, 17 Mandibeln, 18 vom
Rücken.
- Fig. 19. *Eryon propinquus* pag. 267, Solnhofen, Cephalothorax von der Bauch-
seite.
- Fig. 20. *Orphnea pseudoscyllarus* pag. 270, Solnhofen, Scheere.
- Fig. 21 u. 22. *Palinurus Sueurii* pag. 271, Ob. Hauptmuschelfalk, Crailsheim:
21 Cephalothorax in schiefer Stellung; 22 Scheerensuß desselben von
Bussenhausen.
- Fig. 23. *Palinurus* pag. 271, Ende des vordersten Fußpaars, Muschelfalk von
Wiesen in der Schweiz.



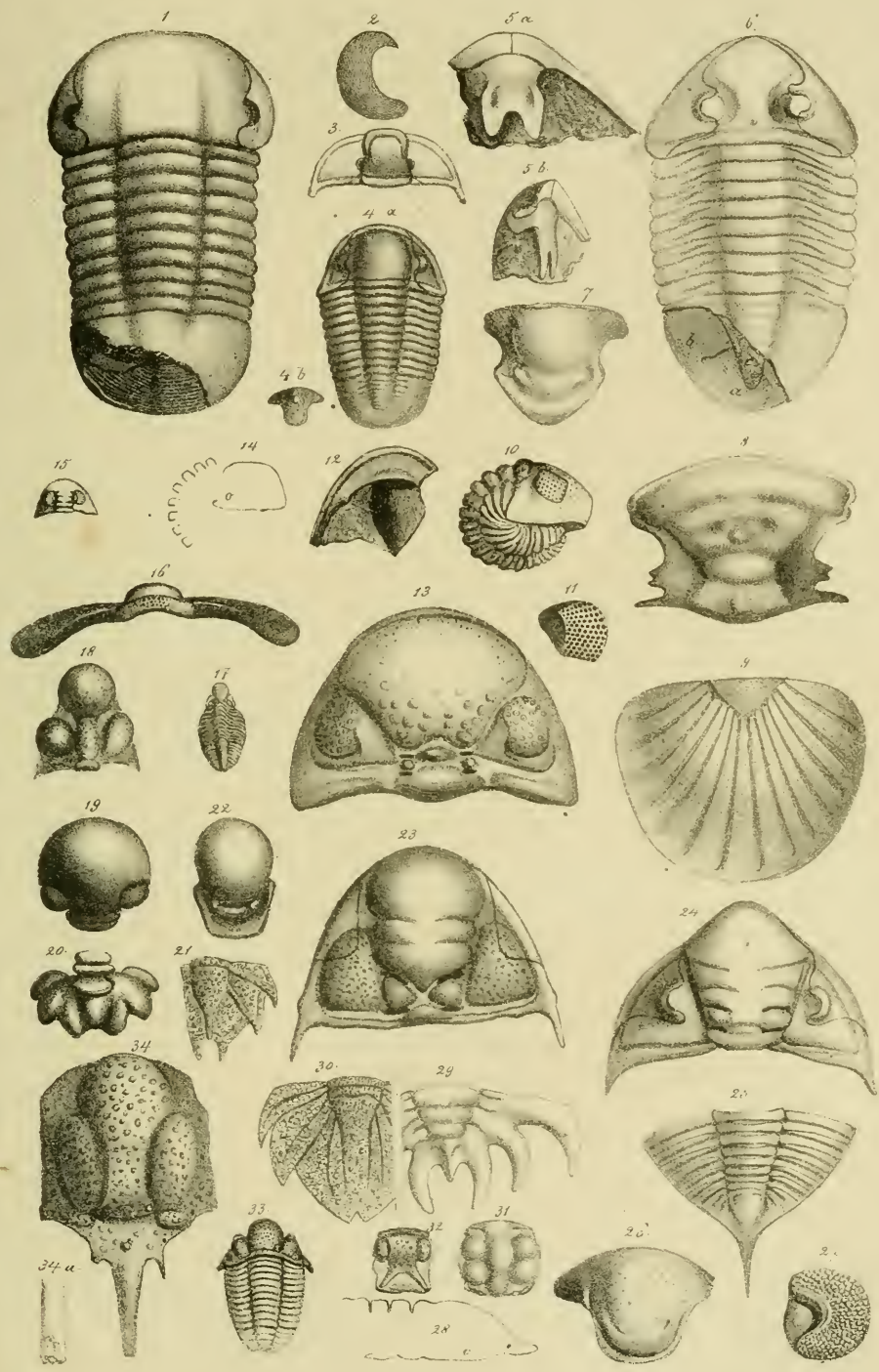
Erklärung der Tab. 21.

- Fig. 1. Mecochirus locusta pag. 270, von Solnhofen.
Fig. 2. Penaeus speciosus pag. 273, Stirnfortsatz, Solnhofen.
Fig. 3. Palaemon spinipes pag. 272, Fressspitze, Solnhofen.
Fig. 4. Penaeus filipes pag. 274, von Solnhofen.
Fig. 5. Elder unguilatus pag. 274, Metatarsus mit dem Klauenglied, Solnhofen.
Fig. 6. Sphaeroma pag. 276, lebend in der Nordsee, 3fach vergrößert, Copie nach Blainville.
Fig. 7. Gampsomyx simbriatus pag. 277, Steinkohlenformation von St. Imbert.
Fig. 8. Scheinbarer Isopode pag. 277, aus dem Lias δ von Dürnau.
Fig. 9. Limulus Walchii pag. 278, Unterseite der Oberdecke, von Solnhofen.
Fig. 10. Lepas anatifera pag. 303, lebend im Mittelmeer.
Fig. 11. Pollicipes cornucopiae, lebend.
Fig. 12 u. 13. Pollicipes maximus pag. 303, Obere Kreide, Gehrdner Berg: 12 Rückenschale, 13 Paar der Rückenseite.
Fig. 14 u. 15. Pollicipes pag. 304 aus dem Obern Weissen Jura von Ebwiesen: 14 paarige Hauptplatte, 15 Rückenplatte?
Fig. 16. Pollicipes pag. 304, aus dem Weiß. Jura ε von Schnaitheim.
Fig. 17. Pollicipes Bronnii pag. 304, aus der Kreidesformation von Essien: a von hinten, b von der Seite, c die Spitze von innen.
Fig. 18—20. Pollicipes Haussmanni pag. 303, aus dem Hilsthor des Elliger Brink: 18 Rückenschale, 19 u. 20 paarige Schalen.
Fig. 21. Balanus concavus, von der Seite, Subappenninenformation von Castell Arquato.
Fig. 22. Balanus porosus pag. 305, Molasse, Niederstöhingen.
Fig. 23. Balanus balanoides pag. 305, Jüngeres Tertiärgebirge, Oppenheim.
Fig. 24. Balanus porosus pag. 305, Osnabrück.
Fig. 25. Eine Spinne von Aix pag. 308, entlehnt von Buckland.
Fig. 26. Phalangites priscus pag. 308, von Solnhofen.
Fig. 27. dito, daher.
Fig. 28. Pycnogonites uncinatus pag. 308, Solnhofen.
Fig. 29. Balanus mit Deckel, lebend an der Nordamerikanischen Küste.
Fig. 30 u. 31. Balanus tintinnabulum pag. 305, $\frac{1}{2}$ natürliche Größe, aus der Molasse von Pfullendorf: 30 von der Seite; 31 von innen.
-



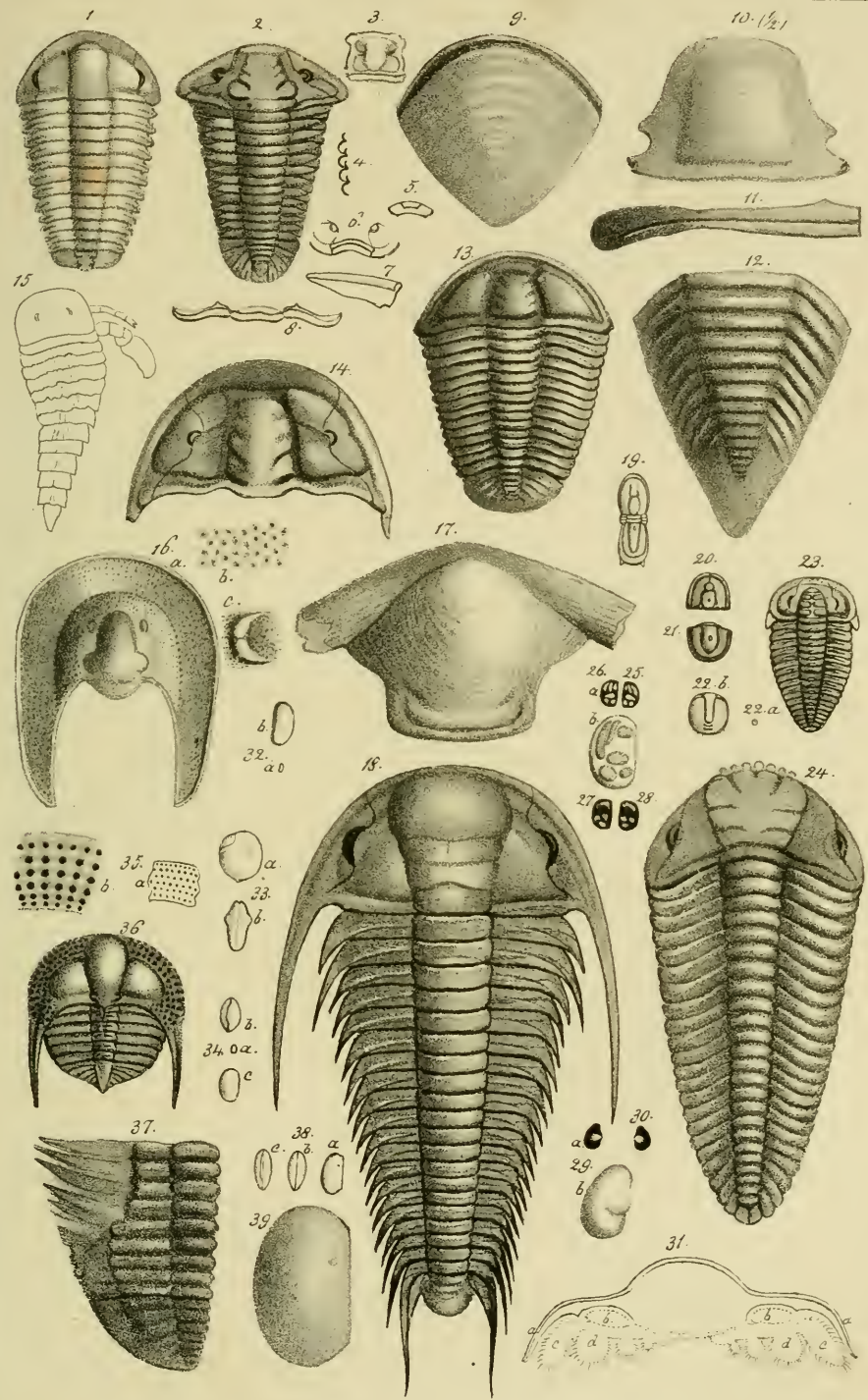
Erklärung der Tab. 22.

- Fig. 1. *Trilobites crassicauda* pag. 285, aus den Vaginatenkalken. Pulkowa: a Abdruck der Unterplatte, b Unterplatte von der Oberseite; c offene Stelle.
- Fig. 2. Etwa vergrößertes Auge eines Laticauden pag. 286, aus den weißen Uebergangskalken von Conjeprus bei Prag.
- Fig. 3. *Tril. cornutus* Goldf. pag. 286 (Gerastos) Eifel.
- Fig. 4. *Tril. laevigatus* pag. 286, Eifel: a, ganzes Exemplar; b, Hypostoma.
- Fig. 5 u. 6. *Tril. expansus* pag. 282, Vaginatenkalke, Petersburg: 5. a Oberlippe von der Unterseite; 5. b von der Seite. 6, ganzes Individuum: a Abdruck der Unterplatte; b Unterplatte von der Oberseite; c offene Stelle.
- Fig. 7. Oberlippe eines Laticauden pag. 287 von der Unterseite. Conjeprus.
- Fig. 8. *Tril. palifer* pag. 287, Litten, Mittelstück des Kopfschildes.
- Fig. 9. *Tril. slabellifer* pag. 287, Schwanzschild, Eifel.
- Fig. 10—14. *Trilobites latifrons* pag. 289, Eifel: 10, ein zusammengerollter; 11, dessen Auge vergrößert; 12, Kopfstück von der Unterseite mit der Oberlippe; 13, ein Längsschliff, o Oberlippe.
- Fig. 15. *Tril. sclerops* pag. 290, Kreuzberg bei Berlin.
- Fig. 16. Okted eines elfgliedrigen Trilobiten aus dem Marcellius-Slate von New-York.
- Fig. 17. *Tril. Derbyensis* pag. 284, Kohlenkalkstein, Bié.
- Fig. 18. *Tril. staurocephalus* pag. 291, von St. Ivan.
- Fig. 19 u. 20. *Tril. clavifrons* pag. 291, von Komorau: 19 Kopfstück, 20 Schwanz.
- Fig. 21. *Trochurus speciosus* pag. 291, Schwanz. St. Ivan.
- Fig. 22 u. 23. *Tril. Sternbergii* pag. 292, von Branik: 22 Oberlippe; 23 Kopfstück.
- Fig. 24—26. *Tril. caudatus* pag. 288, Steinkern aus der Grauwacke von Be- rau: 24 Kopfschild; 25 Schwanzschild; 26 Oberlippe.
- Fig. 27 u. 28. *Tril. Hausmanni* pag. 288, Prag: 27 Auge, 28 Querschnitt einer angeschliffenen Glabella, o Oberlippe.
- Fig. 29. *Tril. Sternbergii* pag. 292, Schwanz, St. Ivan.
- Fig. 30. Schwanz von *Lichas seabra* pag. 292 nach Beyrich, von St. Ivan.
- Fig. 31. *Odontopleura mirus* pag. 285, Mittelstück des Kopfschildes, St. Ivan.
- Fig. 32. *Arges armatus* pag. 285, Mittelstück des Kopfschildes, Eifel.
- Fig. 33. *Tril. ceratophthalmus* pag. 291, Eifel.
- Fig. 34. *Metopias verrucosus* pag. 291, Mittelstück des Kopfschildes, aus den Vaginatenkalken von Sorau; 34. a die Spitze von der Seite. *Lichas tricuspidata* Beyr.



Erläuterung der Tab. 23.

- Fig. 1. *Trilobites Hoffii* pag. 293, ungefurcht, 12gl., Grauwacke von Ginez.
Fig. 2—8. *Trilobites Senaria* pag. 294, 13gl., mittl. Ueberg. Cincinnati: 2 von oben etwas verdrückt; 3, Glabella von der Unterseite mit der Oberlippe; 4, Längsschnitt der Rhachisglieder; 5, isolirtes Unterrandstück von der Innenseite; 6, Stirnanansicht, um in der Mitte unten das Unterrandstück zu zeigen; 7, Wangenschild von der Unterseite; 8, ein vollständiges Rumpfglied.
Fig. 9. *Homalonotus laevicauda* pag. 294, Grauwacke von Daun, Schwanzschild.
Fig. 10—12. *Homalonotus Knightii* pag. 294, 13gl., Steinkern aus der Grauwacke von Daun: 10, Mittelschild des Kopfes, $\frac{1}{2}$ nat. Größe; 11, linke Hälfte eines Rumpfgliedes; 12, Schwanz.
Fig. 13. *Trilobites Sulzeri* pag. 295, 14gl., Grauwacke von Ginez.
Fig. 14. *Trilobites striatus* pag. 295, 14gl., Grauwacke von Ginez.
Fig. 15. *Eurypterus remipes* pag. 299, $\frac{1}{6}$ nat. Größe, Copie nach F. Römer.
Fig. 16. *Harpes ungula* pag. 297, aus dem Weissen Uebergangskalk von Conjeprus: a, Kopfschild; b, vergrößerte Punkte, an der schwarzen Stelle durchbrochen; c, vergrößertes Auge.
Fig. 17 u. 18. *Trilobites Bohemicus* pag. 296, 20gl., Grauwacke, Ginez: 17, Oberlippe von der Unterseite, mit abgebrochenen Hörnern; 18, vollständiges Exemplar.
Fig. 19. *Battus integer* pag. 299 von Ginez, Copie nach Beyrich.
Fig. 20 u. 21. *Trilobites pisiformis* pag. 299, aus dem Alauenschiefer unter den Vaginatenkalke von Schweden: 20 Kopfschild, 21 Schwanzschild.
Fig. 22 u. 23. *Sao hirsuta* pag. 296, aus der Grauwacke von Skref, Copie nach Barrande: 22. a kleinste Form der Brut, b dieselbe vergrößert; 23 mit vollständiger Gliederzahl.
Fig. 24. *Calymene polytoma* pag. 297, Vaginatenkalk bei Pulkowa.
Fig. 25—28. *Agnostus tuberculatus* pag. 302, Mittleres Uebergangegebirge, Berlin: 25 rechter; 26. a linker, 26. b derselbe vergrößert; 27 linker, 28 rechter, beide mit entstellten Knoten.
Fig. 29 u. 30. *Muschelkrebs* pag. 302 gleichen der Trilobitenbrut: 29. a linker, 29. b derselbe vergrößert; 30 rechter. Mit *tuberculatus* zusammen bei Berlin.
Fig. 31. Ideales Rumpfglied eines Trilobiten nach Burmeister: a Schildplatte, b Kiemennblatt, c äußerster und d innerer Ruderlappen.
Fig. 32. *Cypris faba* pag. 300, Süßwasserkalk, Nördlingen: a natürl. Größe, b vergrößert.
Fig. 33. *Cipridina Edwardsiana* pag. 301, Kohlenkalk, Visé, Copie: a von der Seite, b, von unten.
Fig. 34. *Cypris instata* pag. 301, Steinkohlengebirge von Bourdiehouse: a natürl. Größe, b von unten, c von der Seite. Copie nach Murchison.
Fig. 35 u. 36. *Trilobites ornatus* pag. 299, Grauwacke von Veraun: 35. a Steinfern des Schildrandes, b dasselbe vergrößert; 36, vollständiges Exemplar.
Fig. 37. Neungliedriger Trilobit von Wissenbach pag. 285, mit Flossenanhängen.
Fig. 38. *Cytherina* von Götenich pag. 301, Devonisch.
Fig. 39. *Cytherina Baltica* pag. 301, mittl. Ueberg. Gothland.



(1) **Revised** **Table** **7**

for each country and for each year, showing the
percentage of each country's total population
which was covered by the various types of
social security systems. The data are presented
in three ways:

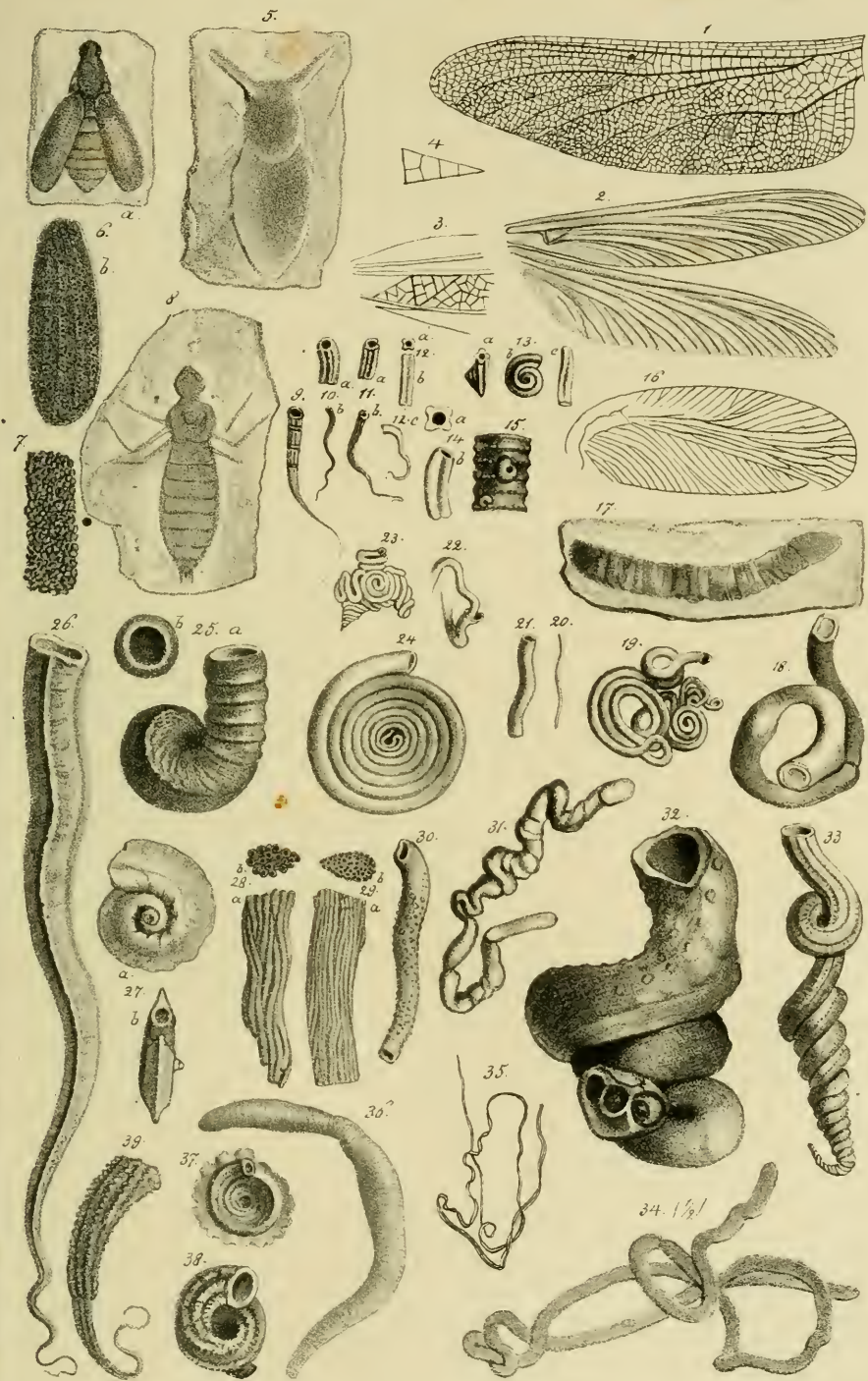
- (a) As a percentage of the total population
of each country.
- (b) As a percentage of the total population
of each country which was covered by
any one or more of the various types of
social security systems.
- (c) As a percentage of the total population
of each country which was covered by
any one or more of the various types of
social security systems, plus the
percentage of the total population
which was covered by the various
types of social security systems
in other countries.

The data are presented in three ways:

- (a) As a percentage of the total population
of each country.
- (b) As a percentage of the total population
of each country which was covered by
any one or more of the various types of
social security systems.
- (c) As a percentage of the total population
of each country which was covered by
any one or more of the various types of
social security systems, plus the
percentage of the total population
which was covered by the various
types of social security systems
in other countries.

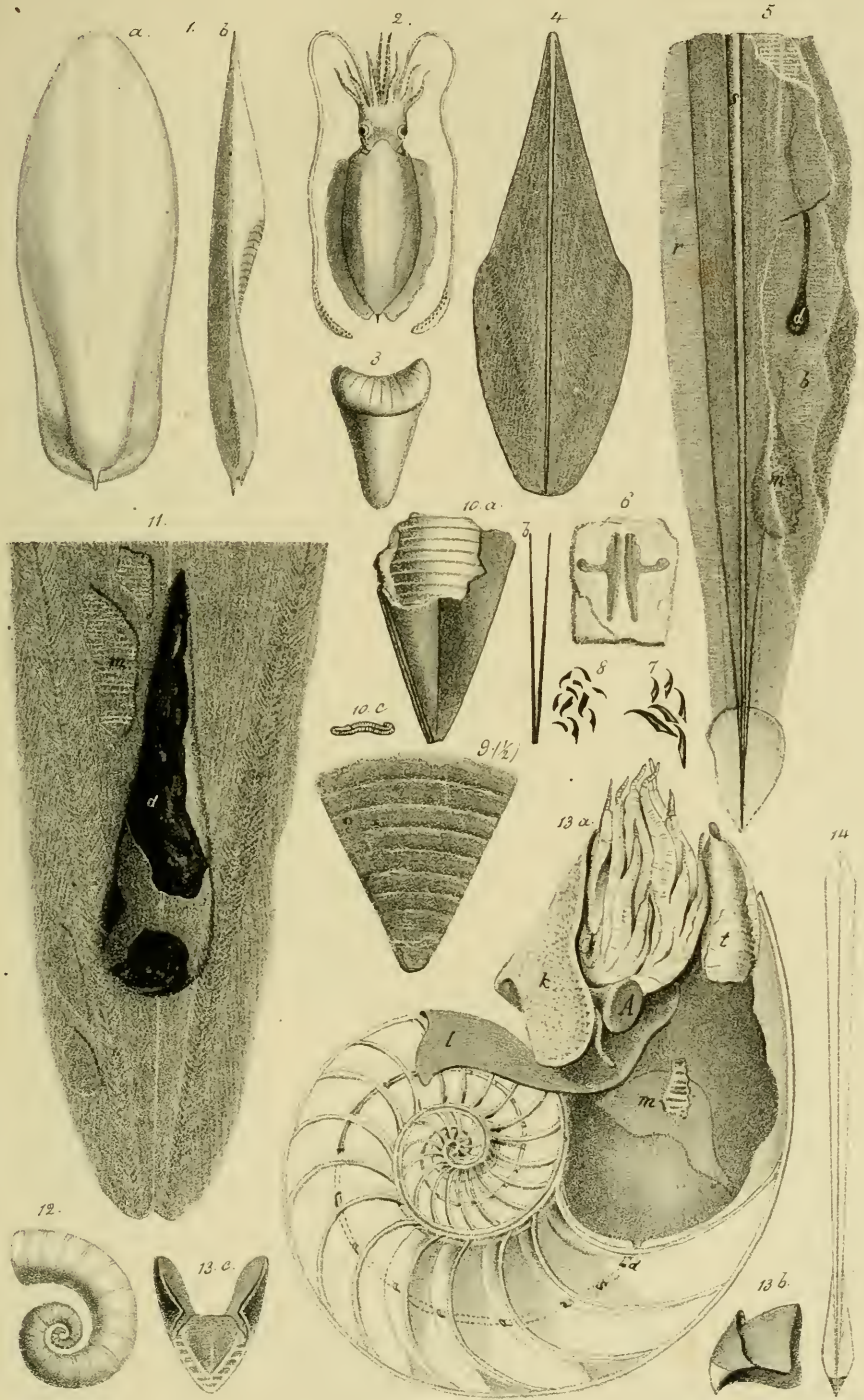
Erläuterung der Tab. 24.

- Fig. 1. Hinterflügel von *Aeschna* pag. 316, von Solnhofen, Copie nach Münster.
- Fig. 2. dito, daher, mit rohern Eindrücken, wie man sie gewöhnlich findet.
- Fig. 3. dito, daher, zeigt das Dreieck mit 7 Zellen.
- Fig. 4. Dreieck einer lebenden *Aeschna* mit 5 Zellen.
- Fig. 5. *Scarabaeoides perditus* pag. 313, Solnhofen.
- Fig. 6. *Carabites* pag. 313, von Solnhofen: a natürliche Größe, b vergrößter Flügel.
- Fig. 7. Koprolithen von Käferlarven pag. 314, Braunkohle, Westerwald.
- Fig. 8. *Libellula Oeningensis* pag. 317, Süßwasserkalk, Oeningen.
- Fig. 9. *Serpula tricristata* pag. 320, Lias ζ, sitzt auf *Amm. jurensis*.
- Fig. 10. *Serpula tricarinata* pag. 321, Braun. Jura δ: a vergrößert.
- Fig. 11. dito, Hölolithon vom Rauthenberge bei Schöppenstedt, a vergrößert.
- Fig. 12. *Serpula tetragona* pag. 321, Brauner Jura, Kreuzberg bei Berlin.
- Fig. 13. dito, Braun. Jura ε, Pfullingen.
- Fig. 14. *Serpula articulata* pag. 321, Weiße Kreide, Rügen.
- Fig. 15. *Serpula omphalodes* pag. 321, auf einem Crinoideenstiel, Eifel.
- Fig. 16. *Blattina didyma* pag. 314, aus dem Schieferton der Steinkohlenformation von Wettin, Copie nach Germar.
- Fig. 17. Eine Raupe? oder Käferlarve pag. 318, Weißer Jura ζ von Kehlheim.
- Fig. 18. *Serpula gordialis* pag. 321, verkieft von Nattheim.
- Fig. 19—21. *Serpula flaccida* pag. 321, Braun. Jura γ u. δ.
- Fig. 22. *Serpula gordialis* pag. 321, Obere Kreide, Gehrdner Berg.
- Fig. 23. dito pag. 321, verkieft, Nattheim.
- Fig. 24. dito, eingerollt.
- Fig. 25. *Serpula convoluta* pag. 320, Braun. Jura δ, Stuifen.
- Fig. 26. *Serpula lumbricalis* pag. 320, Braun. Jura δ, Reutlingen.
- Fig. 27. *Serpula nummularia* pag. 320, Unter. Tert., Vicenza: b von der Seite mit den Ansatzpunkten.
- Fig. 28. *Serpula socialis* pag. 322, Braun. Jura δ, Stuifen.
- Fig. 29. dito, Obere Kreideformation, Salzberg.
- Fig. 30. *Terebella lapilloides* pag. 322, Weißer Jura, Alp.
- Fig. 31. *Cololith* pag. 323, Solnhofen.
- Fig. 32. *Vermetus arenarius* pag. 322, Subappen. Castellarquato.
- Fig. 33. *Vermetus intortus* pag. 322, daher.
- Fig. 34. *Lumbricaria intestinalis* pag. 323, Solnhofen, $\frac{1}{2}$ nat. Größe.
- Fig. 35. *Lumbricaria filaria* pag. 323, Solnhofen, etwas vergrößert.
- Fig. 36. Regenwurm? pag. 324, Solnhofen.
- Fig. 37. *Serpula planorbiformis* pag. 320, Weiß. Jura γ, Lochen.
- Fig. 38 u. 39. *Serpula quinquangularis* pag. 321, Nattheim, verkieft.



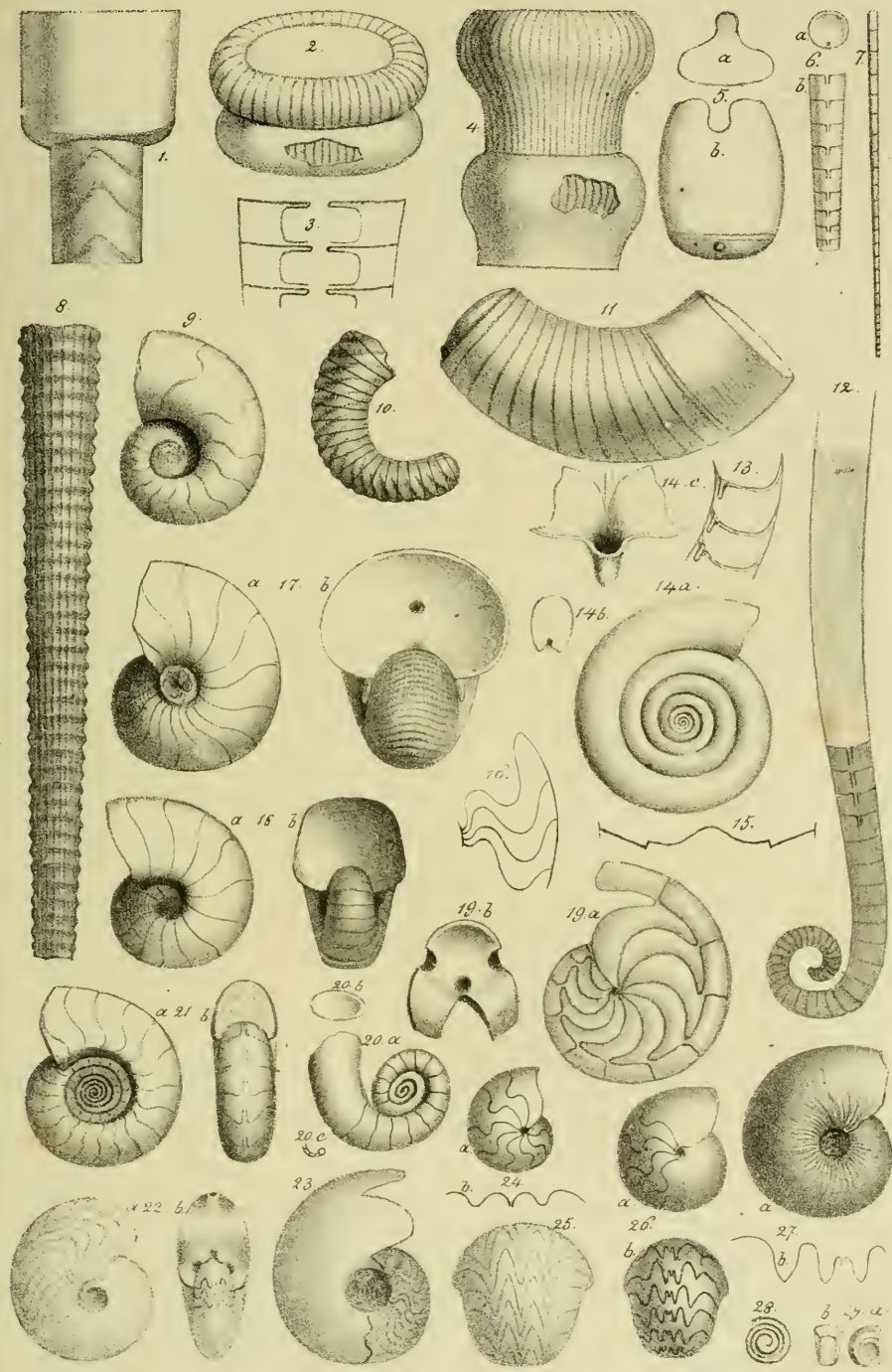
Erläuterung der Tab. 25.

- Fig. 1. *Saepia officinalis* pag. 328, lebend, Knochen: a vom Rücken, b von der Seite.
- Fig. 2. *Saepia aculeata* lebt im Indischen Ocean, Thier von der Rückenseite, der Säpienknochen scheint durch den Mantel durch. Verkleinert.
- Fig. 3. *Saepia Cuvieri* pag. 328, aus dem Grobkalke von Paris, Stachel des Knochens von der Bauchseite.
- Fig. 4. *Loliginites Schübleri* pag. 329, aus dem Lias ε von Holzmaden: Schulz von der Rückenseite, $\frac{1}{3}$ nat. Größe.
- Fig. 5. *Loliginites priscus* pag. 332, von Solnhofen: s Schulz unten mit einer Dute endigend; r gestreifte Mantelschicht des Rückens; b gestreifte Mantelschicht des Bauches; m Magen und d Dintenbeutel, beide zwischen den beiden Mantelschichten gelegen.
- Fig. 6. Schnabel, wahrscheinlich zu *priscus* gehörig pag. 332, von Eichstätt.
- Fig. 7. *Acanthoteuthis Ferussacii* pag. 333, Solnhofen, Häckchen von den Armen.
- Fig. 8 u. 9. *Onychoteuthis conoocauda* pag. 334, Lias ε, Wliensbach: 8 Häckchen von den Armen, 9 Phragmofon in $\frac{1}{2}$ nat. Größe.
- Fig. 10. Phragmofon des *Onychoteuthis Owenii* pag. 333, aus den Ornaten-thonen von Christian Malford: a von der Seite; b Längsschnitt; c Querschnitt.
- Fig. 11. *Loliginites Bollensis* pag. 330, Lias ε, Holzmaden, etwas verkleinert: d Dintenbeutel, m Mantel.
- Fig. 12. *Spirula Peronii* pag. 334, lebt im warmen Atlantischen Ocean.
- Fig. 13. *Nautilus Pompilius* pag. 335, lebt im Stillen Ocean, verkleinert: 13. a zeigt die Lage des Thieres; s Siphon, d Dute, m Heftmuskel des Thieres an die Schale, t geschlitzter Trichter, A rechtes Auge, k Fleisch-kappe, l Lappen, welcher die schwarze Schichte absetzt; 13. b Oberkiefer von der Seite; 13. c Unterkiefer an der Kaufläche.
- Fig. 14. *Loligo sagitta* pag. 331, lebend, Schulz von der Bauchseite etwas verkleinert. Copie nach d'Orbigny.



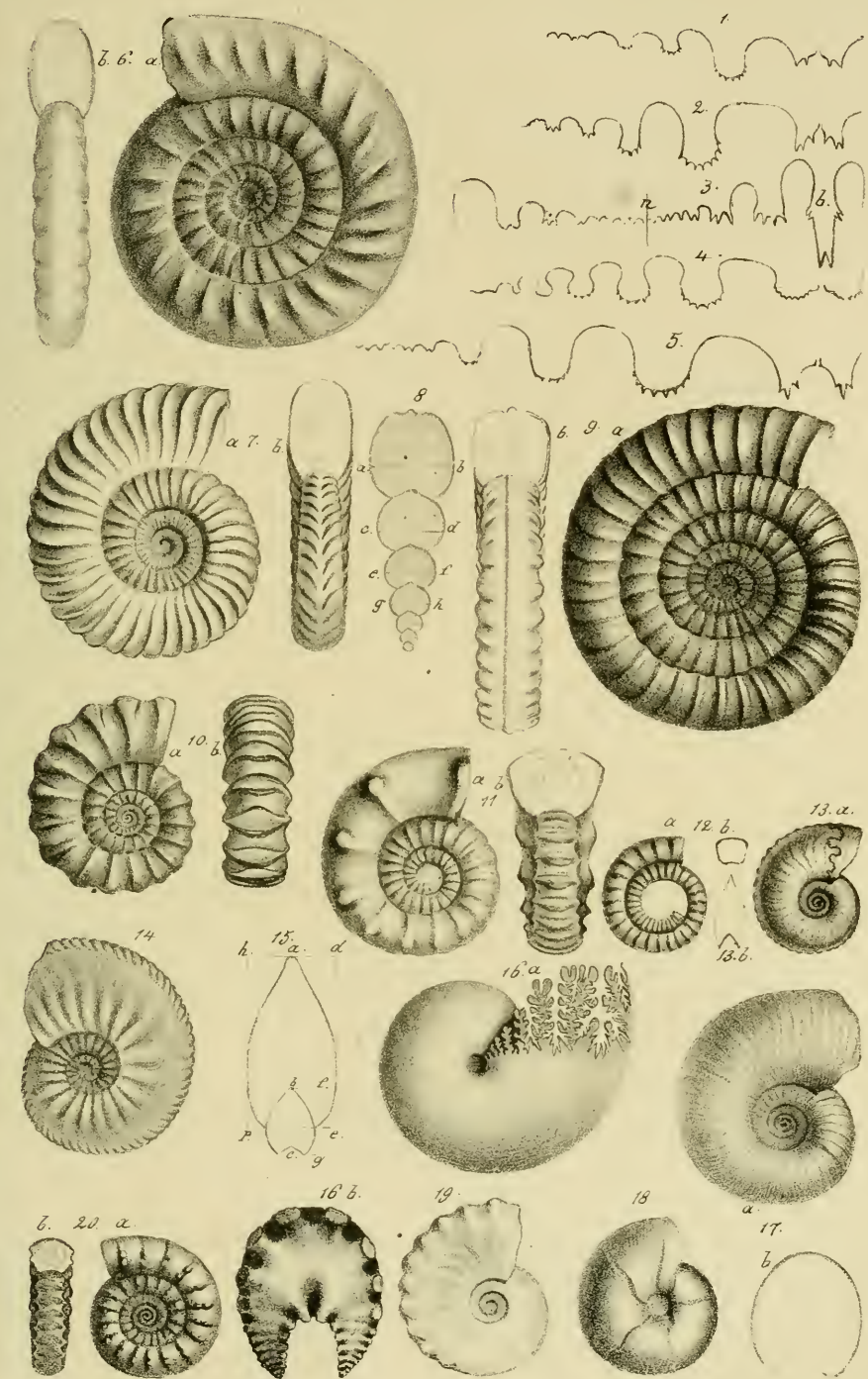
Erklärung der Tab. 26.

- Fig. 1. Orthoceratites duplex pag. 340, Vaginatenkalk von Neval.
Fig. 2. — cochleatus pag. 340, 2 Duten des Siphos von Gothland.
Fig. 3. Idealer Durchschnitt desselben.
Fig. 4. Orthoceratites Bigsbei pag. 340, Huronensee.
Fig. 5. — inflatus pag. 342, etwas verkleinert, Eifel.
Fig. 6. — Schlotheimii pag. 341, Eifel.
Fig. 7. — gracilis pag. 341, Thonschiefer von Wissenbach.
Fig. 8. — pseudocalamiteus pag. 342, Weißer Übergangskalk, Conjeprus.
Fig. 9. Spirulites alatus pag. 343, Conjeprus.
Fig. 10. — articulatus pag. 344, Übergangsges., Branik.
Fig. 11. Lituites falcatus pag. 344, Übergangsges., Narow bei Prag.
Fig. 12. — lituus pag. 344, Vaginatenkalk. Copie verkleinert.
Fig. 13 u. 14. Clymenia undulata pag. 346, Ob. Überg. Schübelhammer: 13 Durchschnitt zeigt die Duten der Bauchloben; 14. e Bruchstück, welches die Dute des Bauchlobus zeigt.
Fig. 15. Löben von Clymenia serpentina pag. 346, Schübelhammer. Copie nach Münster
Fig. 16. Nautilus aganicus pag. 347, Löben, Weißer Jura γ.
Fig. 17. — aratus pag. 347, aus dem mittlern Braunen Jura.
Fig. 18. — — numismalis pag. 347, Lias γ, Österdingen.
Fig. 19. — lingulatus pag. 347, Unteres Tertiärg., Kressenberg, a Seitenansicht, b Scheidewand von oben.
Fig. 20. Goniatites gracilis pag. 350, Wissenbach: a Seitenansicht, b Umriss der Mündung, c Umfang des Gewindes, vergrößert.
Fig. 21. Goniatites subnutilus pag. 350, Übergangsthonschiefer, Wissenbach.
Fig. 22. — primordialis pag. 351, Devonisch, Iberg am Oberharz.
Fig. 23. — Höninghausi pag. 351, Devonisch, Oberscheld.
Fig. 24. — retrorsus pag. 350, Büdingen in der Eifel: a Seitenansicht, b abgewinkelte Löben.
Fig. 25. Goniatites sphaericus pag. 351, Bergkalk, Visé, vom Rücken gezeichnet, auf welchem die Linien der Bauchloben stehen.
Fig. 26. Goniatites sphaericus pag. 351, Devonisch, Iberg: a von der Seite, b vom Rücken.
Fig. 27. Goniatites diadema pag. 351, Kohlenkalk, Choquier: a Seitenansicht, b abgewinkelte Löben.
Fig. 28 u. 29. dito, daher, innerste Windung, 28 vergrößert.



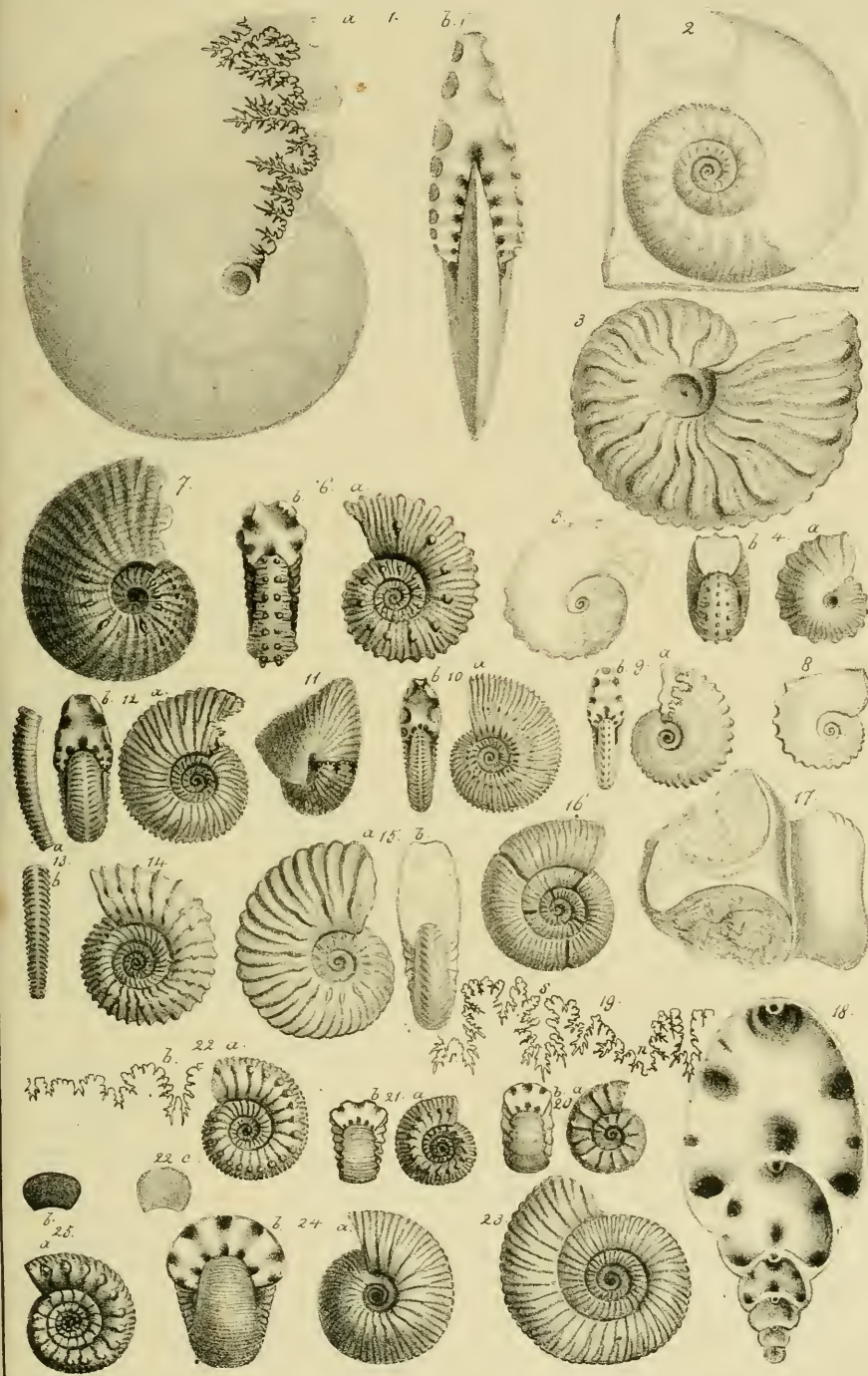
Erklärung der Tab. 27.

- Fig. 1—3. Ammonites nodosus pag. 352, Löben aus dem Muschelkalk: 1 von Saargmünd; 2 Bühlertal (Hall); 3 Bauchlobus b., Nahrlinie n.
- Fig. 4. Ammonites enodus pag. 352, Muschelkalk, Neinstedt.
- Fig. 5. — semipartitus pag. 353, Muschelkalk, Hall.
- Fig. 6. — psilouotus plicatus pag. 354, unterster Lias α , Waldhausen bei Tübingen.
- Fig. 7. Ammonites angulatus depressus pag. 354, Lias α , Bempflingen.
- Fig. 8. Querschnitt von einem gefielten Arieten.
- Fig. 9. Ammonites spiratissimus pag. 355, Lias α , Tübingen.
- Fig. 10. — capricornus nudus pag. 356, Lias β , Beßgenrieth.
- Fig. 11. — armatus sparsinodus pag. 356, daher.
- Fig. 12. — raricostatus pag. 356, Ob. Region von Lias β , Österdingen: a Seitenansicht, b Querschnitt der Röhre.
- Fig. 13. Ammonites oxynotus pag. 358, Ob. Region Lias β , Österdingen.
- Fig. 14 u. 15. Ammonites amaltheus pag. 358, Lias δ , Boll.
- Fig. 16. Ammonites semisulcatus pag. 360, verfest., Provence (Varème): a Seitenansicht, b Scheidewand von oben.
- Fig. 17. Ammonites lineatus opalinus pag. 361, Braun. Jura α , Gammelshäusern.
- Fig. 18. Ammonites heterophyllus ornati pag. 360, Braun. Jura ζ , Gammelshäusern.
- Fig. 19. Ammonites ibex pag. 360, Lias γ , Österdingen.
- Fig. 20. — bifer pag. 356, Lias β , Österdingen.



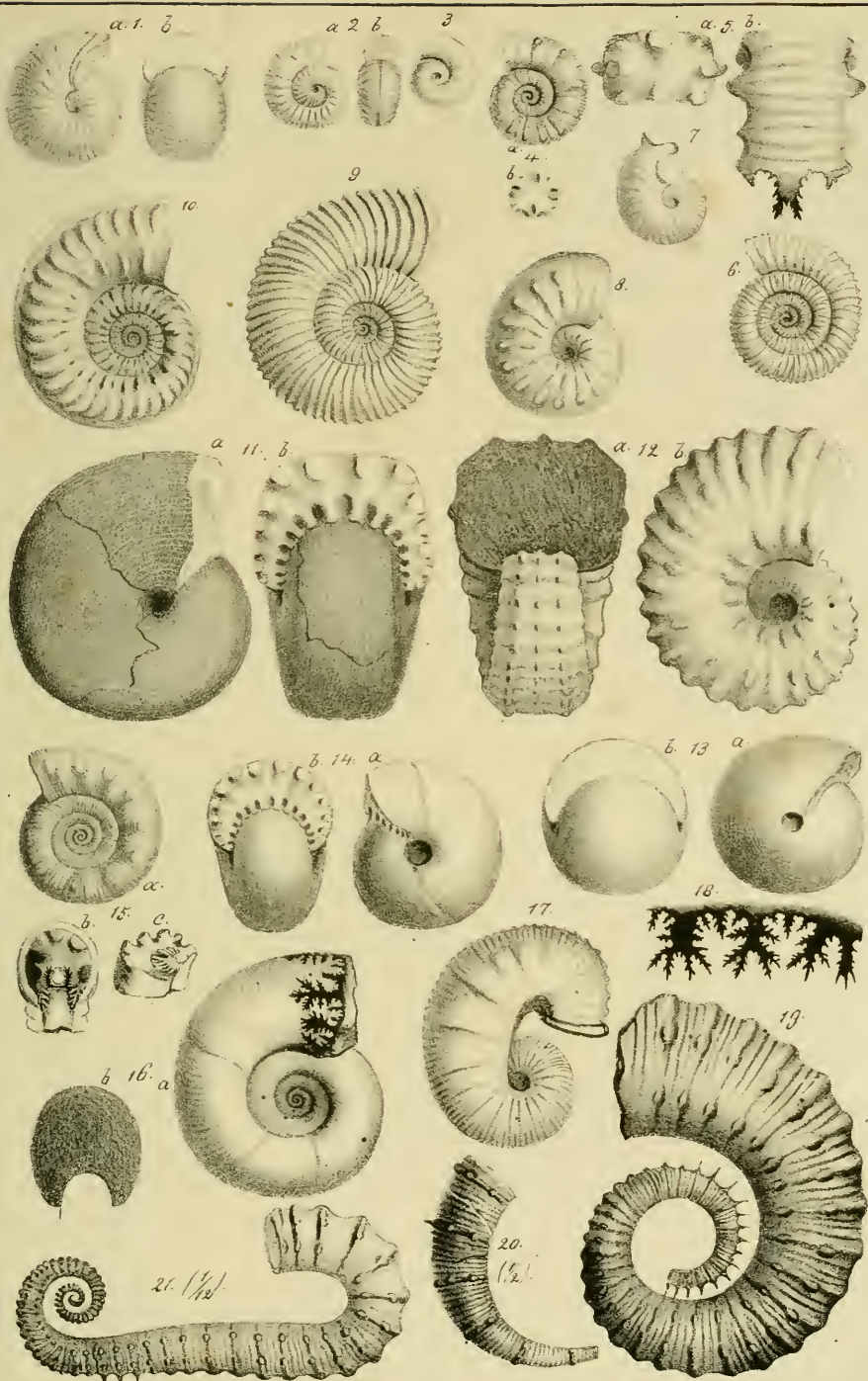
Erläuterung der Tab. 28.

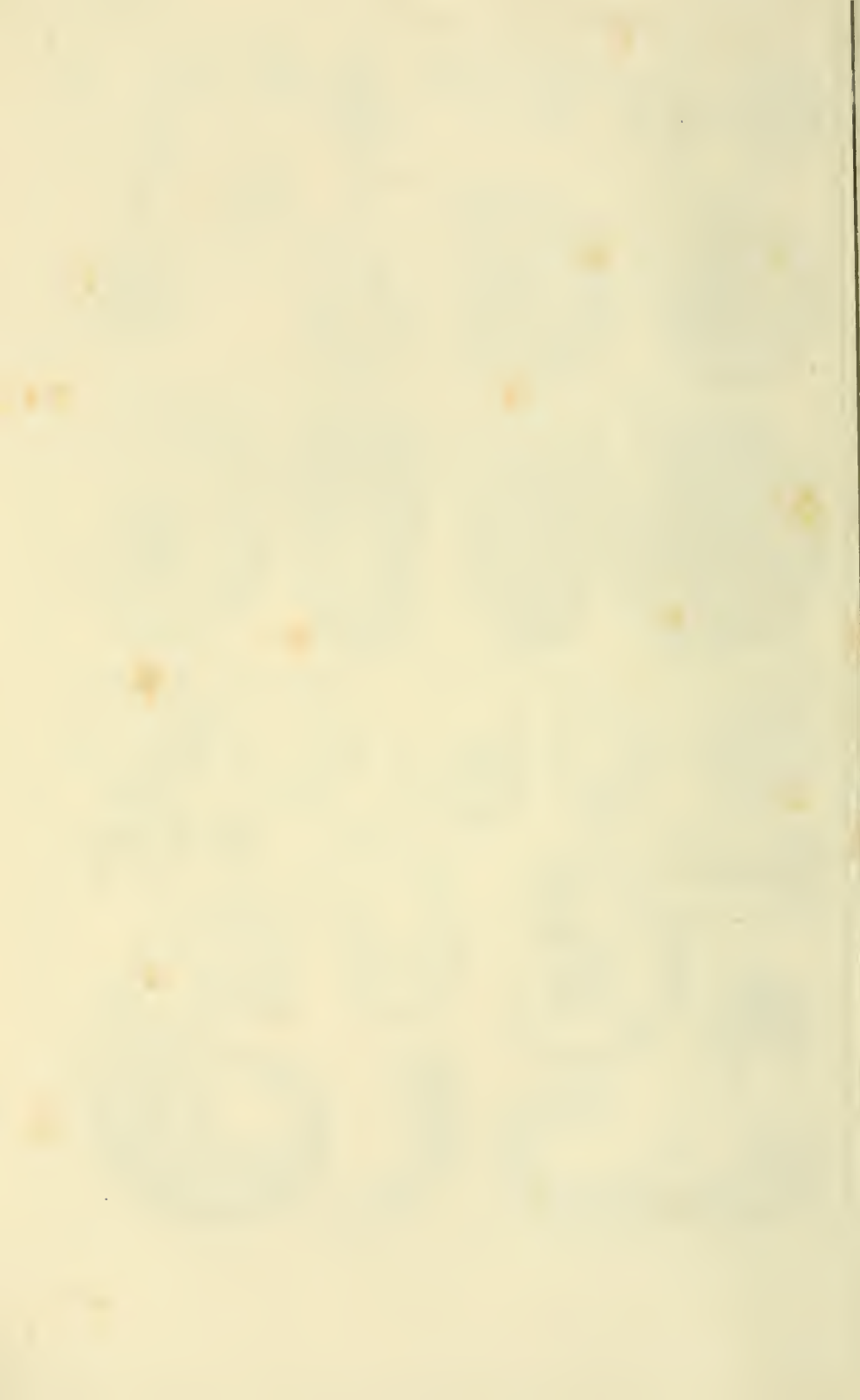
- Fig. 1. *Ammonites discus* v. Buch, pag. 364, Braun. Jura ε, Döschingen: a Seitenansicht, b vom Rücken.
- Fig. 2. *Ammonites hecticus* pag. 363, Braun. Jura ζ, Gammelshausen. Das innere Stück Schwefelfleisch.
- Fig. 3. *Ammonites flexuosus costatus* pag. 365, Mittl. Weiß. Jura, Alp.
- Fig. 4. — *flexuosus globulus* pag. 365, Braun. Jura ζ, Mössingen.
- Fig. 5. — *dentatus* Rein. pag. 365, Weiß. Jura γ.
- Fig. 6. — *ornatus* pag. 366, Braun. Jura ζ, Göppingen.
- Fig. 7. — *pustulatus* pag. 366, Braun. Jura ζ, Gammelshausen.
- Fig. 8. — *bidentatus* pag. 367, Braun. Jura ζ, Mössingen.
- Fig. 9. — *bipartitus* pag. 367, dito, daher.
- Fig. 10. — *Jason* pag. 367, Braun. Jura ζ, Gammelshausen.
- Fig. 11. — *refractus* pag. 368, dito, daher.
- Fig. 12. — *Parkinsoni* pag. 367, Braun. Jura ε, Neuffen.
- Fig. 13. *Hamites bifurcati* pag. 368, Oberregion von Braun. Jura δ, St. Vigor: a von der Seite, b vom Rücken.
- Fig. 14. *Ammonites bifurcatus* pag. 368, Oberregion von Braun. Jura δ, Mössingen.
- Fig. 15. *Ammonites dentalis* Sw. pag. 368, Gault, Escragnolle.
- Fig. 16. — *convolutus* pag. 370, Braun. Jura ζ, Mössingen.
- Fig. 17. — *polyplocus parabolus* pag. 369, Ohr mit Kragen. Mittl. weiß. Jura, Donzdorf.
- Fig. 18. *Ammonites triplicatus* pag. 370, Braun. Jura ε, Döschingen, Scheidewände.
- Fig. 19. Abgewickelte Löben von *A. convolutus*: r Rückenlobus, s Seitenlobus, n Mahllobus, b Bauchlobus.
- Fig. 20. *Ammonites centaurus* pag. 371, Lias γ, Österdingen.
- Fig. 21. — *anceps* pag. 371, Braun. Jura ε, Ehningen.
- Fig. 22. — *crassus* pag. 370, Lias ζ, Salins: a Seitenansicht, b abgewickelte Löben, c Umriss der Mündung.
- Fig. 23. *Ammonites anguinus* pag. 370, Oberer Lias, Fontaine Etouffour.
- Fig. 24. — *macrocephalus* pag. 371, Ober. Braun. Jura, Franken.
- Fig. 25. — *euryodus* pag. 371, Braun. Jura ε, Neuffen.

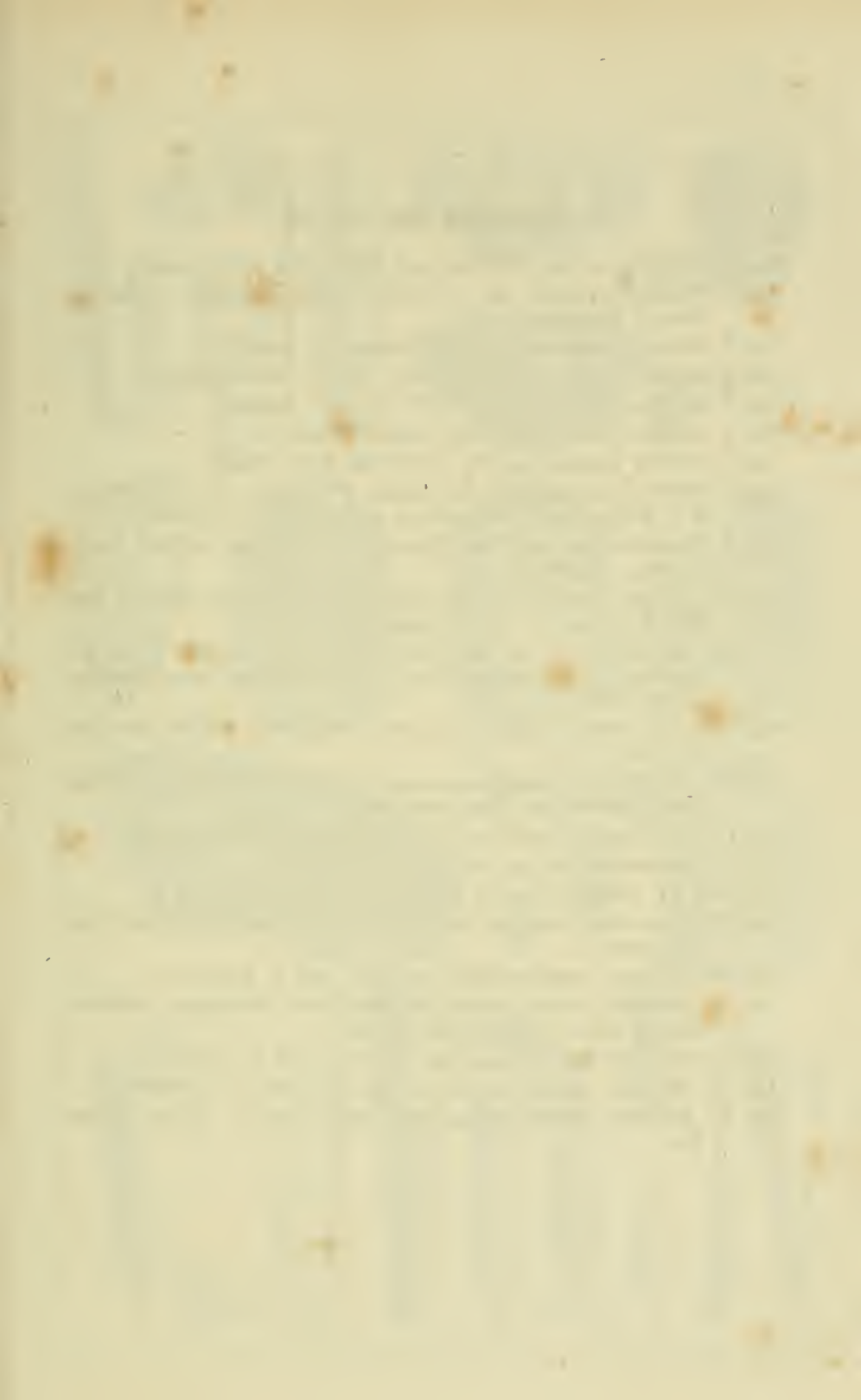


Erläuterung der Tab. 29.

- Fig. 1. Ammonites Brongniartii pag. 372, Ober. Braun. Jura, Bayeur.
- Fig. 2. Amm. microstoma impressae pag. 372, Weiß. Jura α , Reichenbach.
- Fig. 3. Ammonites globosus pag. 372, Lias β , Beßgenrieth.
- Fig. 4. — Backeriae pag. 373, Braun. Jura ζ , Belfort.
- Fig. 5. — athleta pag. 372, Br. Jura ζ , Meßingen: a Scheidewand von unten, b Wohnkammerstück vom Rücken.
- Fig. 6. Ammonites annularis pag. 372, Br. Jura ζ , Meßingen.
- Fig. 7 u. 8. Ammonites Reineckianus pag. 373, Weißer Jura, Heuberge.
- Fig. 9. Ammonites caprinus pag. 372, Braun. Jura ζ , Mössingen.
- Fig. 10. Ammonites varicosus pag. 373, Gault, Perte du Rhone.
- Fig. 11. — aratus pag. 376, Nother Alpenkalk, Hallstadt: a von der Seite, b vom Rücken.
- Fig. 12. Ammonites Rhotomagensis pag. 374, Chloritische Kreide, Provence.
- Fig. 13. — globus pag. 375, Nother Alpenkalk, Hallstadt.
- Fig. 14. — bicarinatus pag. 375, daher.
- Fig. 15. — ventrocinctus pag. 375, Gault, Escragnolle: a Seitenansicht; b Scheidewand von der Unterseite; c Kammerstück von der Seite.
- Fig. 16. Ammonites planulatus Sw. pag. 374, Gault, Perte du Rhone.
- Fig. 17. Scaphites aequalis pag. 378, Chalk, Chardstock in England.
- Fig. 18. Loben von Hamites elegans pag. 379, Gault, Escragnolle. Der schmale rechts ist Bauch-, links Rückenlobus.
- Fig. 19. Crioceras Emmerici pag. 378, Neocomien, Castellane.
- Fig. 20. Toxoceras Duvalianus pag. 379, Neocomien, Provence, verkleinerte Copie nach d'Orbigny.
- Fig. 21. Ancyloceras Matheronianus pag. 378, Neocomien, Provence, $1/12$ nat. Größe, Copie nach d'Orbigny.

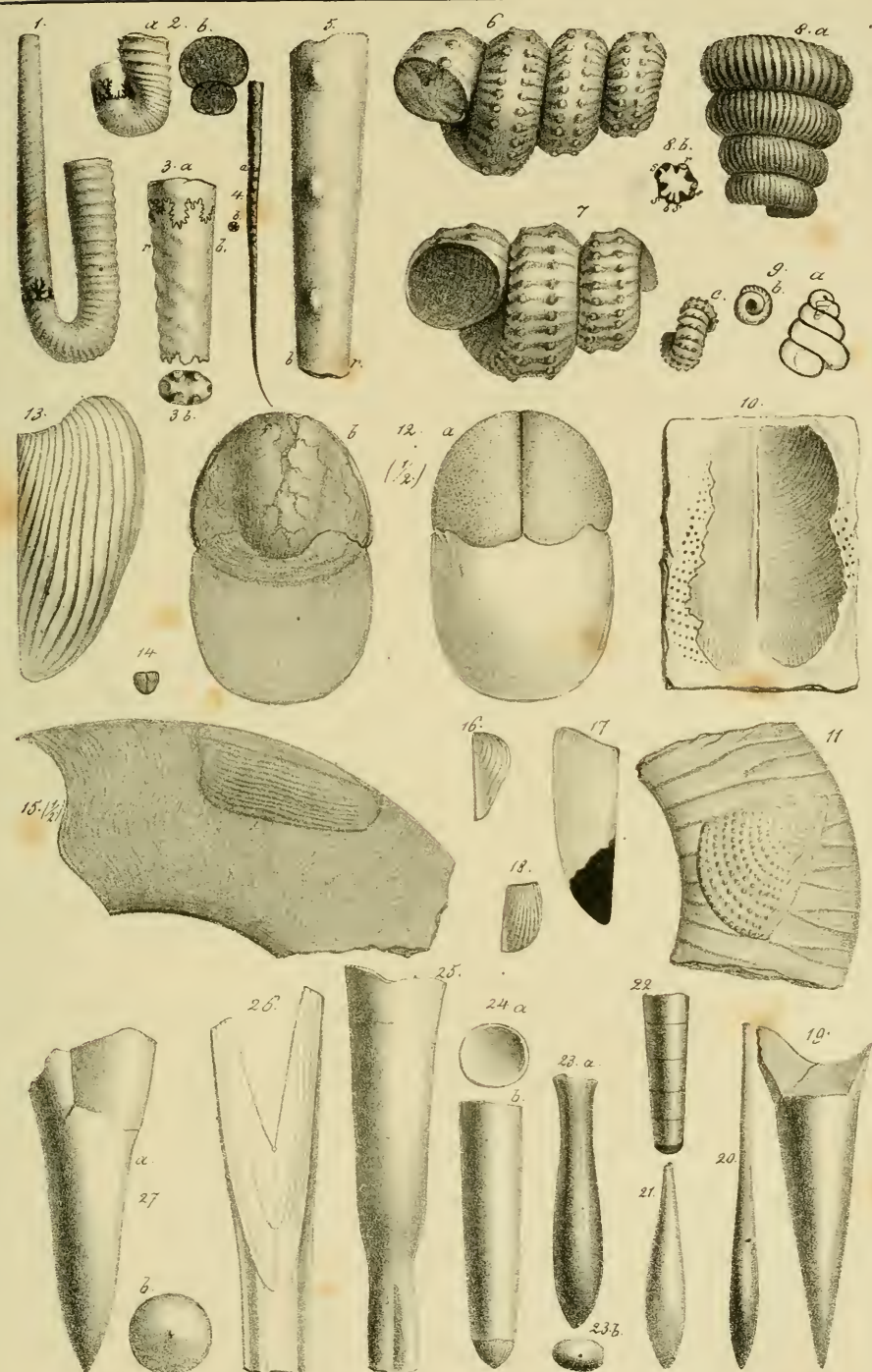


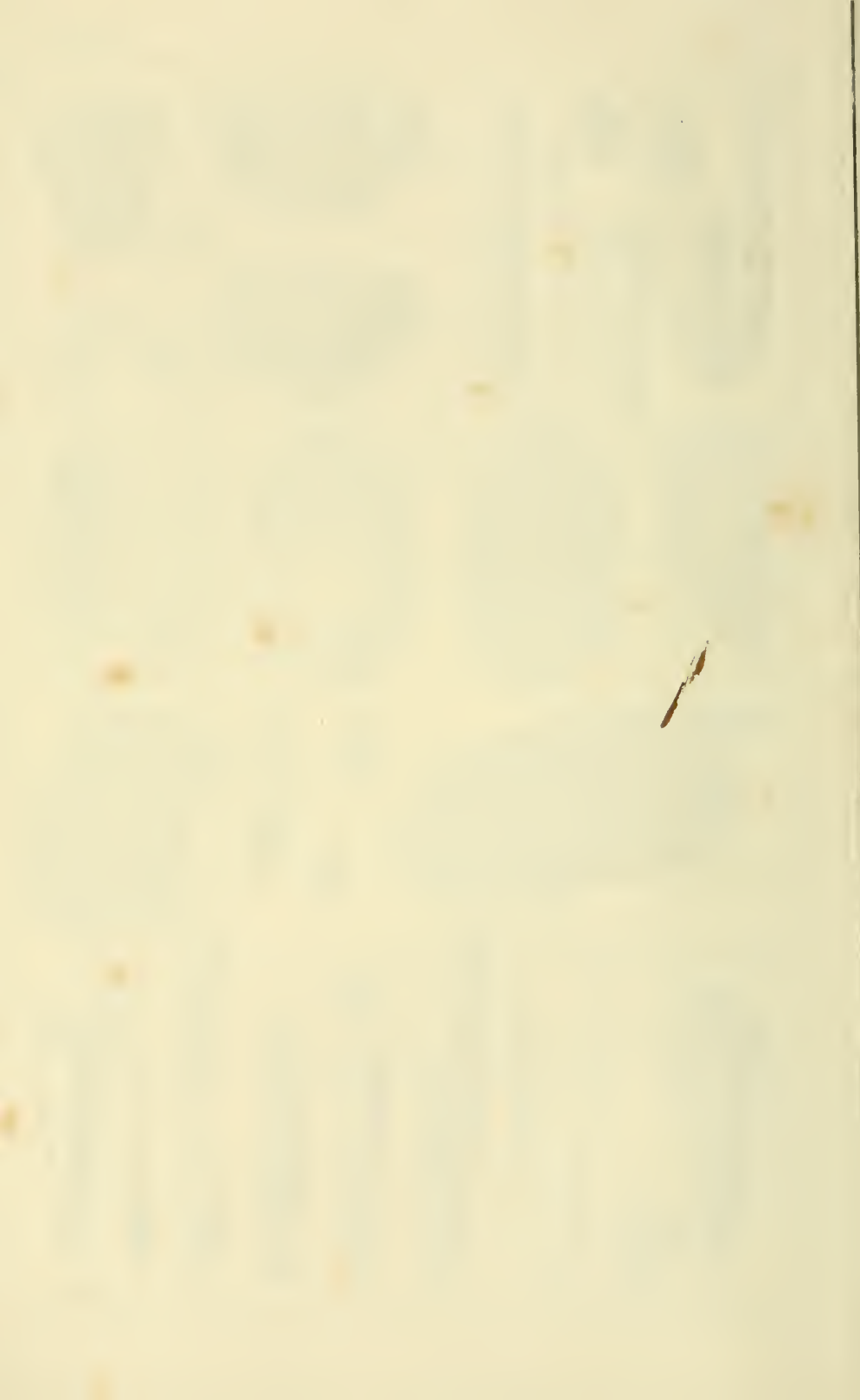




Erklärung der Tab. 30.

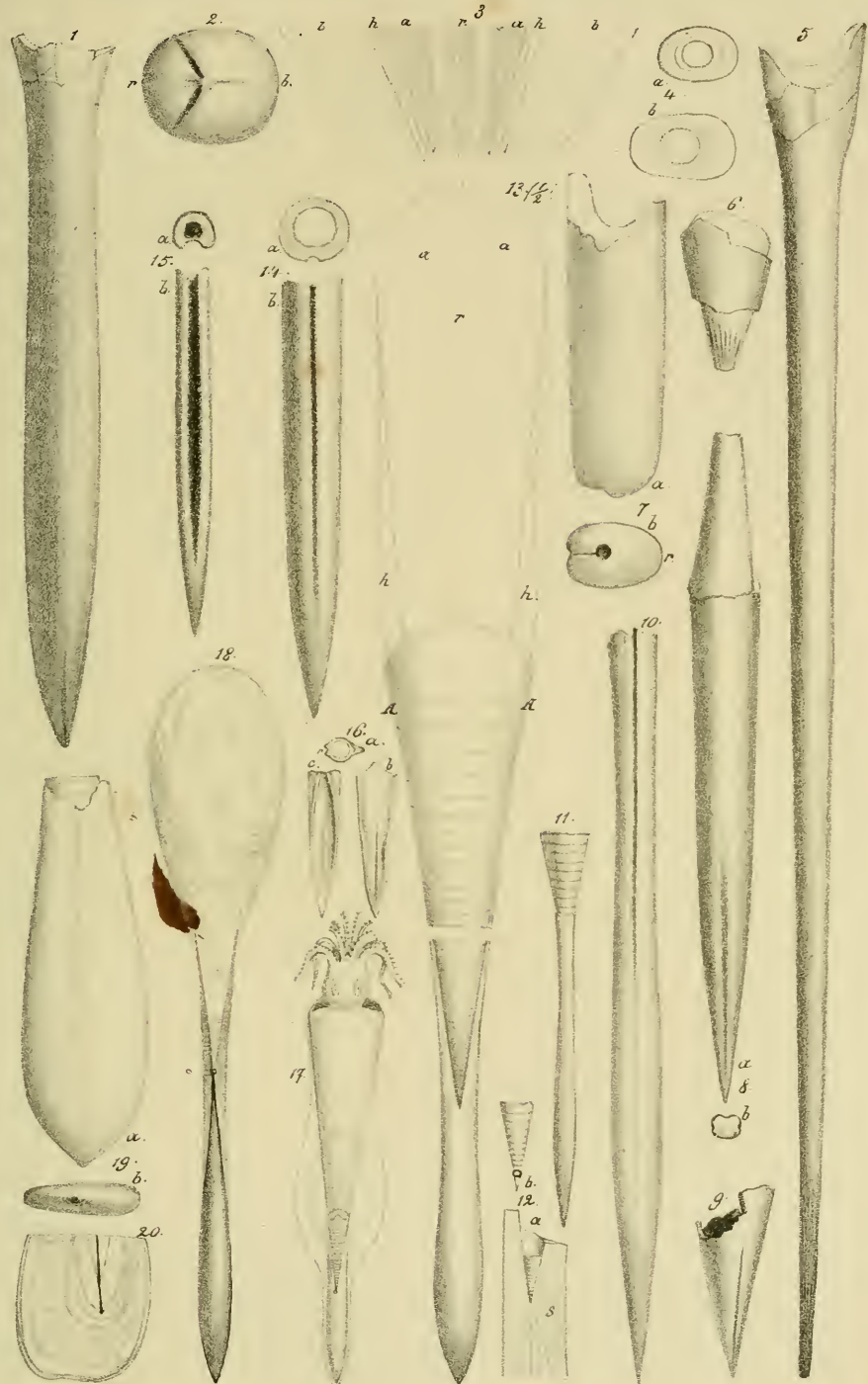
- Fig. 1. Hamites hamus pag. 379, aus dem weißen Jura von Castellane.
- Fig. 2. Ptychoceras gaultinus pag. 379, Gault, Perte du Rhône: a von der Seite, b Querschnitt.
- Fig. 3. Baculites vertebralis pag. 380, Plänermergel Postelberg.
- Fig. 4. Baculites acuarius pag. 380, Braun. Jura ζ, Gammelshausen.
- Fig. 5. Baculites incurvatus pag. 380, Ob. Duader, Salzberg.
- Fig. 6. Turrilites catenatus pag. 380, Gault, Escragnolle.
- Fig. 7. Turrilites costatus pag. 380, Chloritische Kreide, Rouen.
- Fig. 8. Turrilites Astierianus pag. 381, Gault, Escragnolle: 8. a vom Rücken, 8. b Scheidewand: r Rückenlobus, s Seitenloben, b Bauchlobus.
- Fig. 9. Turrilites reflexus pag. 381, Plänermergel, Postelberg: a ideale Figur, b Spitze, c Rücken.
- Fig. 10. Aptichus planulati pag. 382, Solnhofen: 10 von der Innenseite und Abdruck der äußern; 11 im Ammoniten gelegen.
- Fig. 12. Aptichus laevis pag. 381, Solnhofen: a vom Rücken, b von der Mündung, die Ammonitenenschale ist in den Aptichus hineingequetscht, $\frac{1}{2}$ nat. Größe.
- Fig. 13 u. 14. Aptichus lamellosus pag. 382, Solnhofen: 13, ausgewachsen, 14, Brut.
- Fig. 15 u. 16. Aptichus sanguinolarius pag. 383, Lias ε, Holzmaden: 15 mit Amm. Lythensis, 16 kleines Individuum.
- Fig. 17 u. 18. Aptichus hectici pag. 383, Ornamentthon, Gammelshausen.
- Fig. 19. Belemnites brevis pag. 387, Lias α, Beuronrieth.
- Fig. 20 u. 21. Belemnites clavatus pag. 387: 20 Lias δ, 21 Lias γ.
- Fig. 22. Orthoceratites elongatus pag. 387, Lias δ, Österdingen, Alveole von Bel. clavatus.
- Fig. 23. Belemnites compressus Stahl. pag. 388, Lias δ, Reutlingen.
- Fig. 24. Belemnites acuarius amalthei pag. 388, Lias δ, Reutlingen: a Scheidewand, b unten die Spitze weggebrochen.
- Fig. 25. Belemnites acuarius ventricosus pag. 388, Lias ε, Heiningen.
- Fig. 26. Belemnites acuarius brevisulcatus pag. 389, Lias ζ, Österdingen.
- Fig. 27. Belemnites breviformis pag. 390, Braun. Jura γ, Giengen an der Fils.

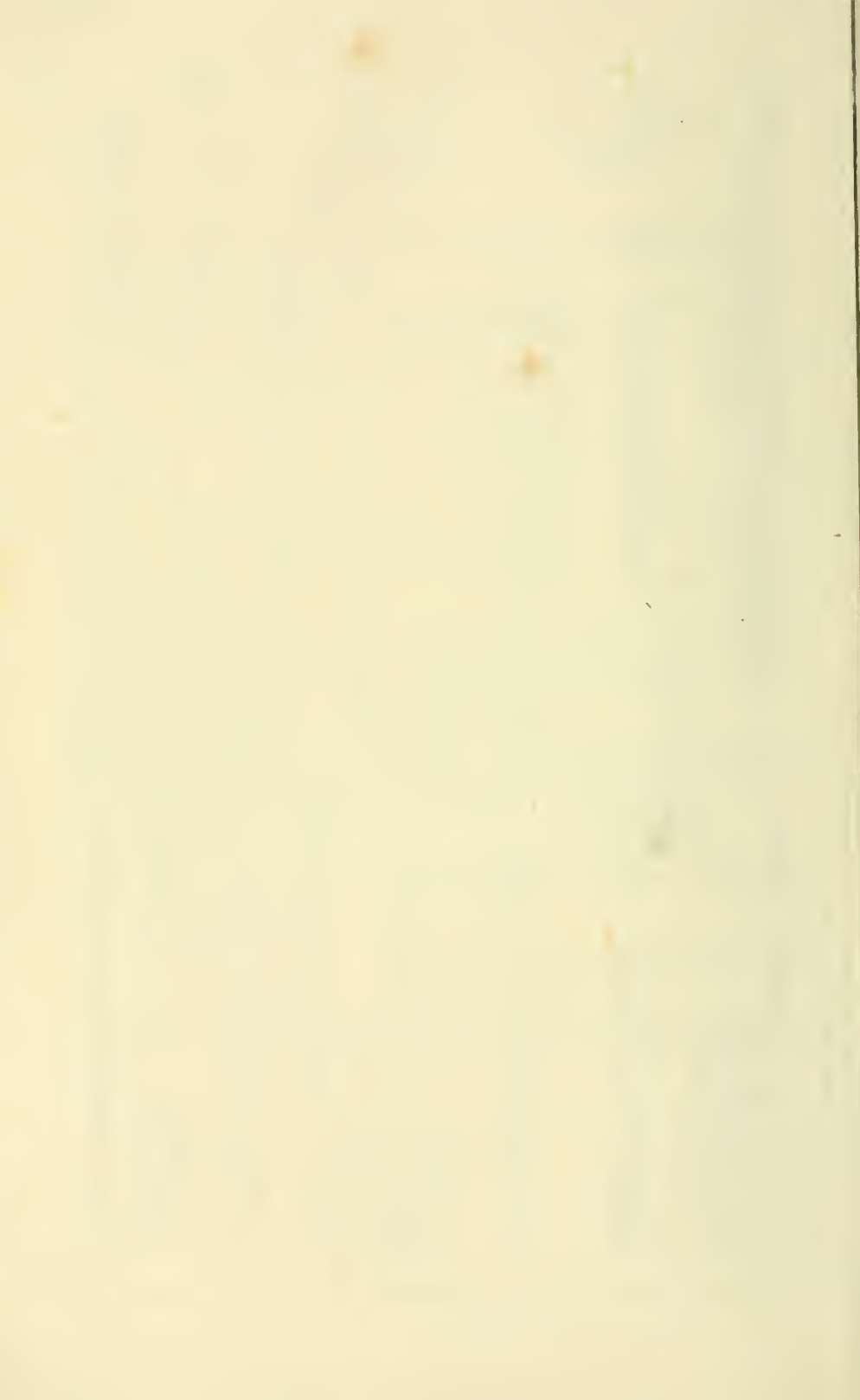




Erklärung der Tab. 31.

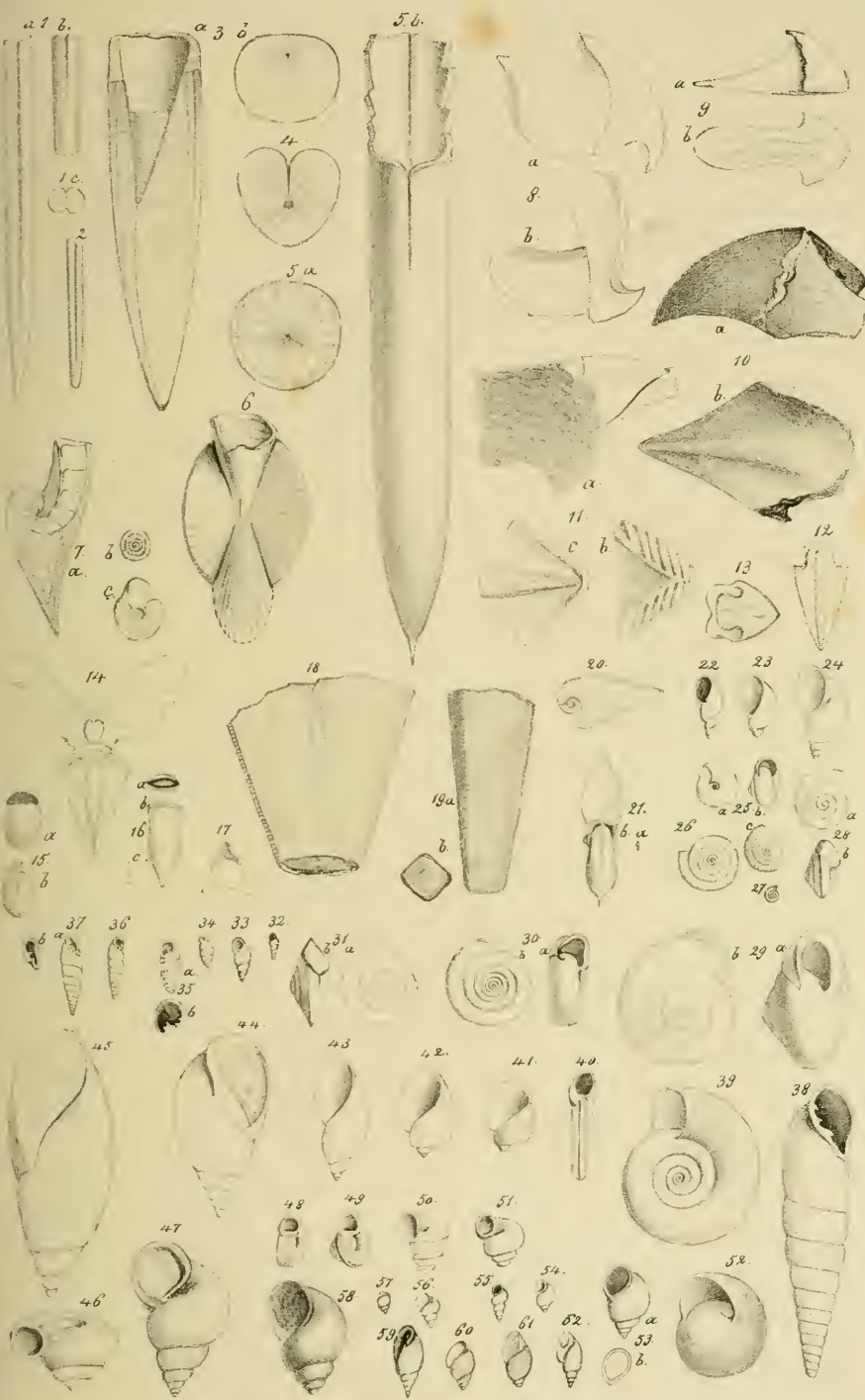
- Fig. 1. Belemnites paxillosum numismalis pag. 387, Lias γ , Heinlingen.
- Fig. 2. — — — amalthei pag. 387, Lias δ , Breitenbach bei Bezingen: r Rücken, b Bauch.
- Fig. 3. Abgewickelte Alveolenschale von Belemnites giganteus pag. 385, r Rückenlinie, a Asymptoten, b Hyperbolastreifen, b Bauchlinien.
- Fig. 4. Belemnites acuarius gigas pag. 389, Lias ζ , Holzmaden: a u. b zwei Querschnitte der Scheide eines Stückes, 3" von einander liegend.
- Fig. 5. Belemnites acuarius tubularis pag. 388, Lias ϵ , Ohmiden.
- Fig. 6. — — — macer pag. 389, Lias ζ , Heinlingen.
- Fig. 7. — — — digitalis pag. 389, Lias ζ , Donau-Mainkanal: a von der Seite, b von der Spitze, r der Rücken.
- Fig. 8. Belemnites tripartitus oxyconus pag. 390, Lias ϵ , von der Bauchseite.
- Fig. 9. — — — acutus pag. 390, Brauner Jura α .
- Fig. 10. — — hastatus pag. 392, Weißer Jura β , Hundsrück zwischen Hachingen und Balingen.
- Fig. 11. Belemnites semihastatus pag. 392, Brauner Jura ζ , Gammelshausen.
- Fig. 12. — — hastatus pag. 392, Weißer Jura, Hössingen: a Median-
schnitt mit der Spaltfläche s auf der Bauchseite; b vergrößerte Alveole,
mit einem kleinen Belemniten unten daran.
- Fig. 13. Belemniten alveole mit dem Schild pag. 385, Solnhofen,
 $1/2$ natürl. Größe: r Rückenlinie, a a Asymptoten, b b Hyperbolearge-
gend. Das Stück unter dem Strich ist ideal daran gesetzt.
- Fig. 14. Belemnites canaliculatus pag. 391. Brauner Jura- ϵ , Neuffen.
- Fig. 15. — — — absolutus pag. 392, Brauner Jura von Moskau.
- Fig. 16. — — — polygonalis pag. 393, Neocomien, Castellane: a Querschnitt;
b Seitenansicht, c vom Rücken.
- Fig. 17. Ideelles Belemnitenthier.
- Fig. 18. Belemnites hastatus pag. 392, Solnhofen mit einem eisförmigen Ein-
druck im Gestein, der vom Thiere herrührt.
- Fig. 19. Belemnites dilatatus pag. 393, Neocomien, Castellane.
- Fig. 20. dito, daher, angeschliffene Spitze, um den Verlauf der Scheitellinie
zu zeigen.

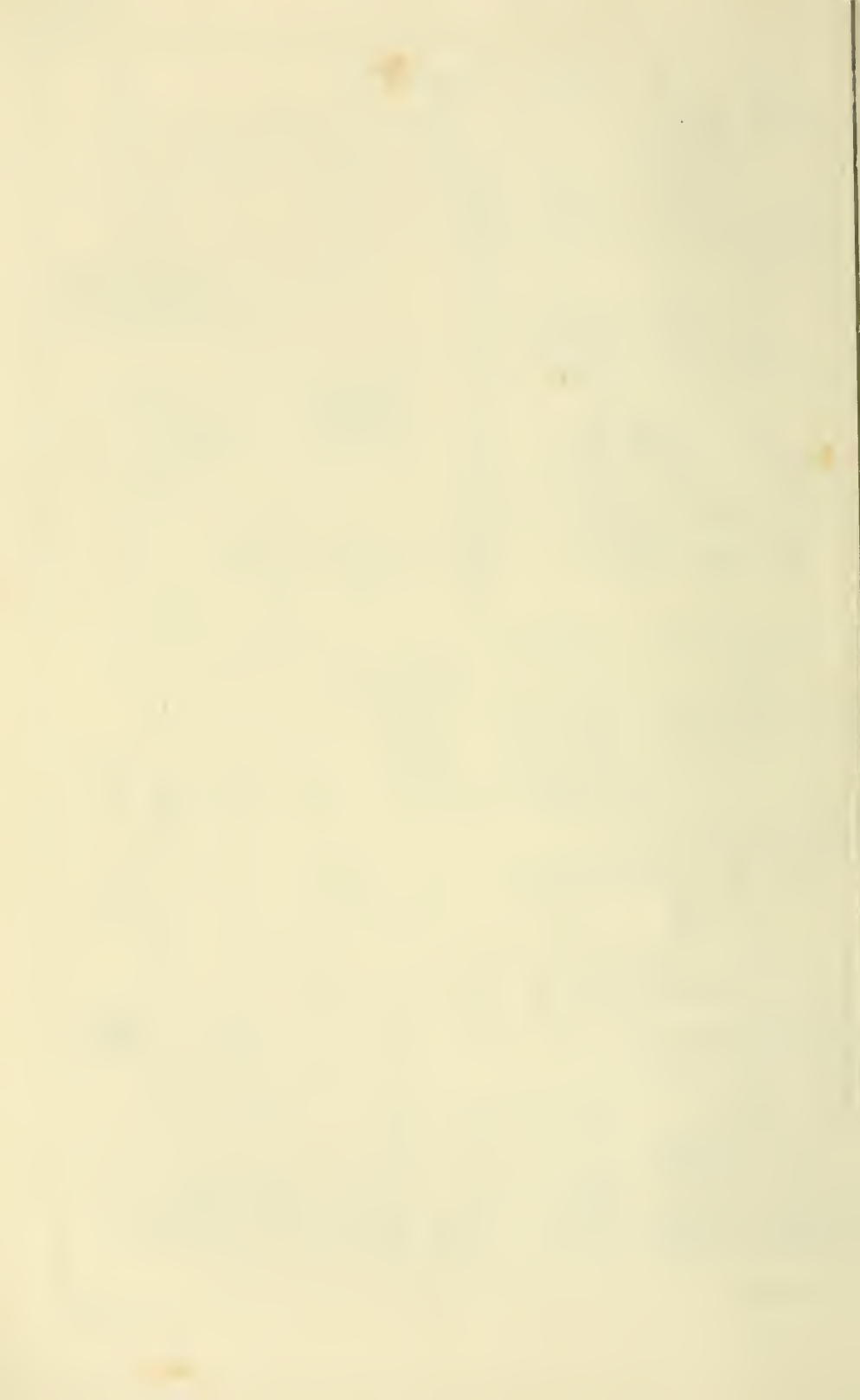




Erklärung der Tab. 32.

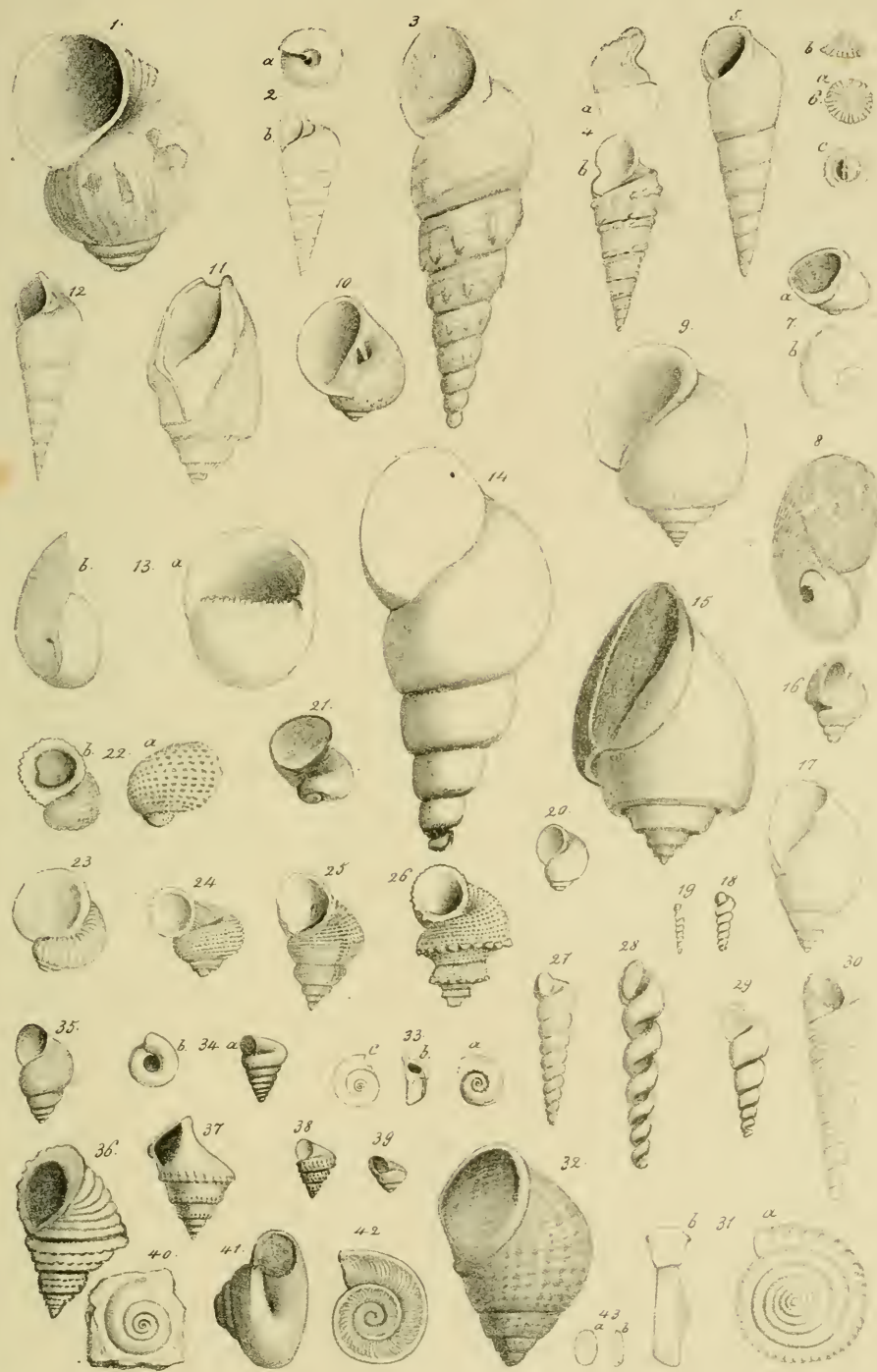
- Fig. 1 u. 2. Belemnites bipartitus pag. 393, Neocomien, Robion: a von der Seite, b vom Rücken; c Querschnitt: Fig. 2 von Kossovice.
- Fig. 3. Belemnites subquadratus pag. 394, Hilleshon, Deister.
- Fig. 4. — subventricosus pag. 394, obere Kreide, Schonen, Alvesolarloch.
- Fig. 5. — mucronatus pag. 394, Weiße Kreide, Rügen.
- Fig. 6. Beloptera belemnitoidea pag. 395, Pariserbecken, Copie von der Bauchseite.
- Fig. 7. Spirulirostra Bellardii pag. 395, Superga bei Turin: a Mediabschnitt; b u. c Querschnitte.
- Fig. 8. Schnabel von Saepia: a Oberschnabel, b Unterschnabel.
- Fig. 9. Rhyncholithes hirundo pag. 396, Hauptmuschelkalk, Lainec.
- Fig. 10. Rhyncholithes pag. 396, Lias α, Düsseldorf: a Seite; b Kaufl.
- Fig. 11. Rh. avirostris pag. 396, Muschelkalk, Grailsheim: a Seite; b Kaufläche; c Firste.
- Fig. 12 u. 13. Rhynch. acutus pag. 397, la Jaby bei Castellane.
- Fig. 14. Cleodora pag. 398, mit Schale, Copie nach Blainville.
- Fig. 15. Hyalea gibbosa pag. 398, Superga: a unten, b seitlich.
- Fig. 16. Vaginella depressa pag. 398, Bordeaux, Copie nach Basterot.
- Fig. 17. Hyalea longispina pag. 398, lebend im Mittelmeer.
- Fig. 18. Conularia quadrifurcata pag. 399, Dudley, Copie nach Murchison.
- Fig. 19. Conularia acuta pag. 399, Grund, b Querschnitt.
- Fig. 20. Carinaria mediterranea pag. 400, Copie.
- Fig. 21. Atlanta Peronii pag. 400, Copie, a natürl. Größe.
- Fig. 22—24. Succinea pag. 402: 22, oblonga Lehmk.; 23, Pfeifferi Kalktuff; amphibia Kalktuff, Cannstadt.
- Fig. 25—31. Helix pag. 403: 25, hispida, Lehmk. Tübingen; 26, hispida Cannstadt; 27, pulchella Cannstadt; 28 u. 29, sylvestrina Süßwasser- kalk Ulm; 30, obvoluta, Löß, Freiburg; 31, luna, Nilly.
- Fig. 32. Bulimus pusillus pag. 410, Menil-Montagne.
- Fig. 33. Bulimus lubricus pag. 405, Kalktuff, Cannstadt.
- Fig. 34 u. 35. Pupa pag. 405: 34, muscorum Lehmk.; 35, frumentum, Steinheim.
- Fig. 36—38. Clausilia pag. 408: 36, parvula Lehmk.; 37, obtusa, Kalktuff von Cannstadt; 38, grandis, Süßwasser- kalk, Ulm.
- Fig. 39 u. 40. Planorbis pag. 406: 39, pseudoammonius, Buxweiler; 40, marginatus, Diluvium, Egeln.
- Fig. 41—43. Lymnaeus socialis pag. 407, Steinheim.
- Fig. 44. Physa gigantea pag. 407, Nilly, unter dem Grobkalk.
- Fig. 45. Lymnaeus cylindricus pag. 407, Süßwasser- kalk, Bästberg.
- Fig. 46. Strophostoma tricarinatum pag. 408, Hochheim.
- Fig. 47. Cyclostoma bisulcatum pag. 408, tertärer Süßwasser- kalk, Ulm.
- Fig. 48—50. Valvata multiformis pag. 409, Steinheim, tertär. Süßwasser- kalk.
- Fig. 51. Valvata piscinalis pag. 409, lebend, Bodensee.
- Fig. 52. Helicina submarginata pag. 408, lebend, Cuba.
- Fig. 53—56. Paludina pag. 409: 53, impura lebend, Bodensee; 54, globulus Steinheim; 55, acuta, Mainz; 56, inflata, Mainz.
- Fig. 57. Tornatella opalini pag. 425, Braun. Jura α.
- Fig. 58. Paludina carbonaria pag. 410, Waldethon, Copie.
- Fig. 59—62. Tornatella pag. 425: 59, sulcata, Grobkalk; 60, Parkinsoni, Br. Jura ε; 61, personata, Br. Jura β; 62, fragilis, Lias α, Göppingen.

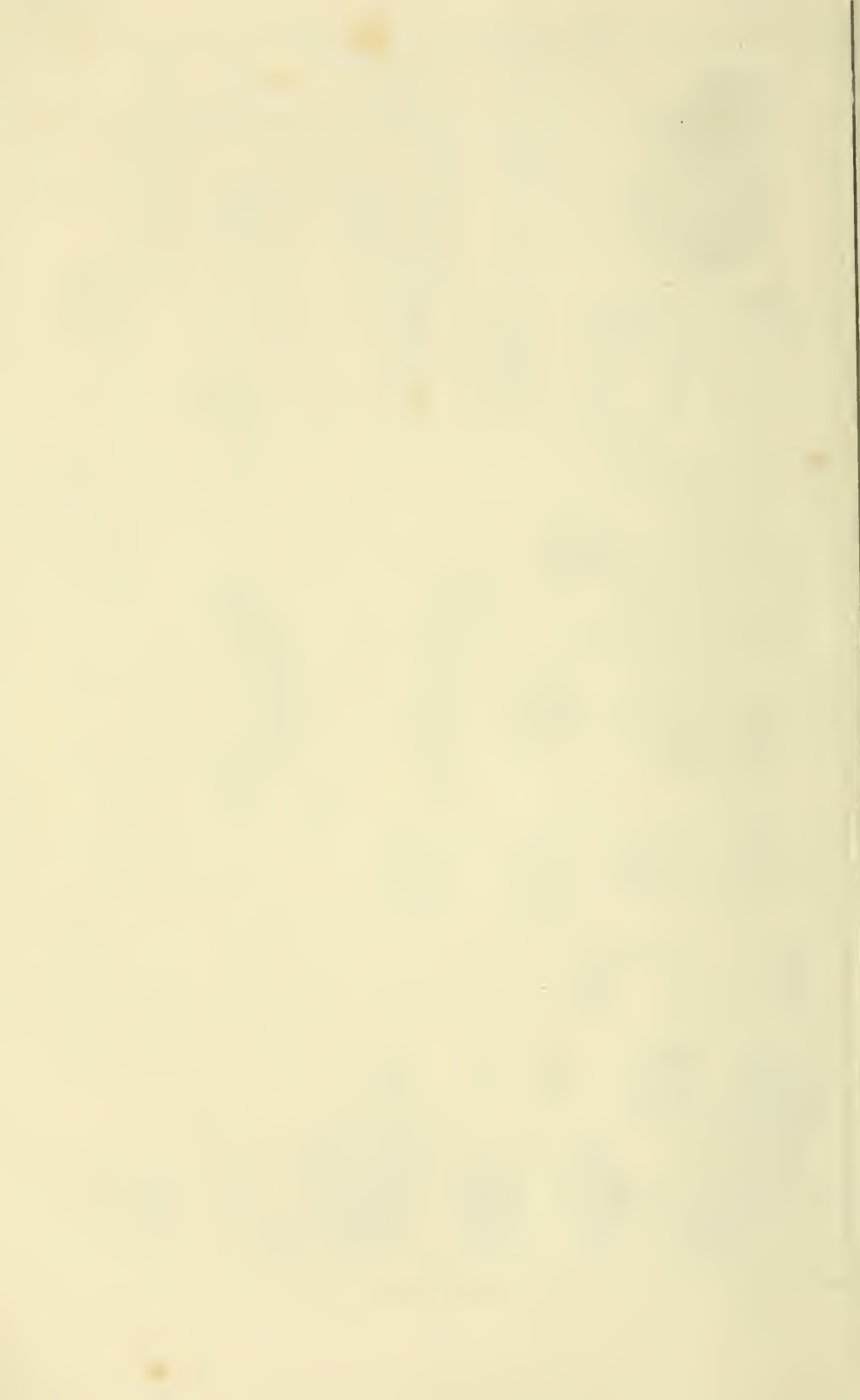




Erläuterung der Tab. 33.

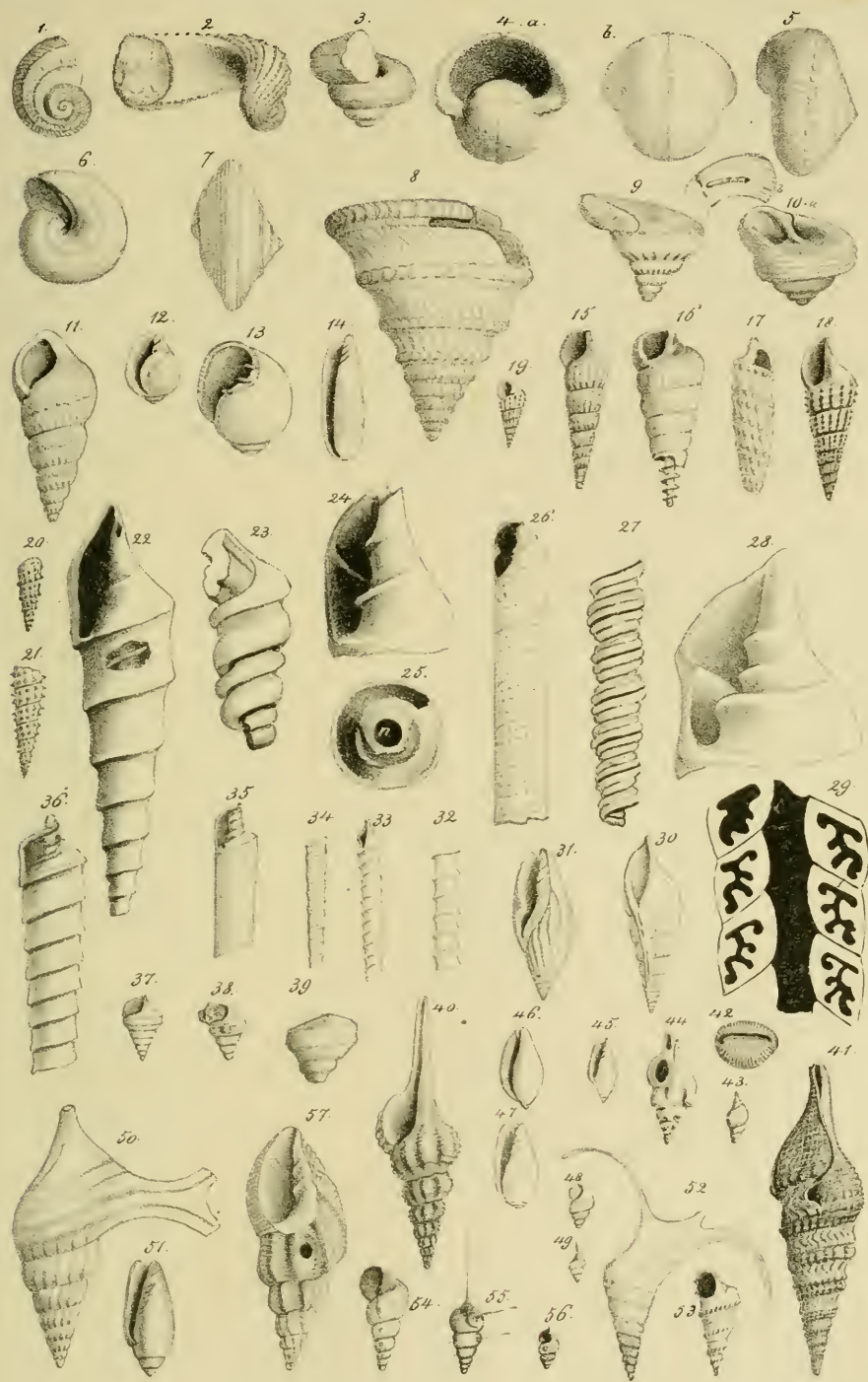
- Fig. 1. *Paludina varicosa* pag. 410, Tertiärsand, Unterkirchberg.
Fig. 2. *Melania terebellata* pag. 411, Grobkalk, Grignon.
Fig. 3. — *turritella* pag. 411, Süßwasserfalk, Ulm.
Fig. 4. *Muricites Strombiformis* pag. 411, Wälberthen, Deister.
Fig. 5. *Melania Heddingtonensis* pag. 411, verkiefelt, Launoy.
Fig. 6. *Pileolus plicatus* pag. 414, Great Dolite von Außliff, Copie.
Fig. 7. *Natica ampliata* pag. 415, Bergfalk, Bié.
Fig. 8. *Sigaretus furcatus* pag. 415, Nebengangsk. Eifel.
Fig. 9. *Ampullaria Vulcani* pag. 413, Grobkalk, Grignon.
Fig. 10. *Natica millepunctata* pag. 415, Subappf. Aßt.
Fig. 11. *Melanopsis Martiniana* pag. 413, Tegel, Brunn.
Fig. 12. *Melania constricta* pag. 412, Bergfalk, Bié.
Fig. 13. *Neritina conoidea* pag. 414, Grobkalk, Soissens.
Fig. 14. *Melania Schlothaeimii* pag. 412, Wellendolomit, Freudenstadt. Steinkern.
Fig. 15. *Natica bulbiformis* pag. 416, Kreide, Gosau.
Fig. 16. *Ampullaria angulata* pag. 416, Lias α, Halberstadt.
Fig. 17. *Buccinum arcuatum* pag. 416, Devonisch, Bensberg.
Fig. 18. *Scalaria impressae* pag. 418, Weiß. Jura α, Reichenbach.
Fig. 19. *Scalaria ornata* pag. 418, Br. Jura ζ, Gammelshausen.
Fig. 20. *Buccinum gregarium* pag. 416, Muschelkalk, Rüderödorf, mit Schale.
Fig. 21. *Pileopsis jurensis* pag. 416, Weiß. Jura γ, Lochen.
Fig. 22. *Nerita cancellata* pag. 416, verkiefelt, Mattheim.
Fig. 23. *Naticella costata* pag. 416, St. Cassian.
Fig. 24. *Delphinula funata* pag. 419, verkiefelt, Mattheim.
Fig. 25. *Turbo ranellatus* pag. 419, verkiefelt, Mattheim.
Fig. 26. *Turbo tegulatus* pag. 419, verkiefelt, Mattheim.
Fig. 27. *Scalaria liasica* pag. 418, Mittl. Lias,
Fig. 28—30. *Turritella* pag. 477; 28, Zieten, Mittl. Lias; 29, Zinken, Lias α; 30, opalini, Br. Jura α, Voll.
Fig. 31. *Solarium inversum* pag. 421, Fontaine Etouffour.
Fig. 32. *Turbo angulatus* pag. 420, Lias α, Hettange.
Fig. 33. *Solarium bifrons* pag. 421, Grobkalk, Barnes.
Fig. 34. *Trochus glaber* pag. 420, Mittl. Lias.
Fig. 35 u. 36. *Turbo* pag. 420: 35, cyclostoma, Lias δ: 36, ornatus, Br. Jura δ.
Fig. 37 u. 38. *Trochus* pag. 479: 37, duplicatus, Br. Jura α, Uhrweiler; 38, monilicectus, Braun. Jura ε.
Fig. 39. *Turbo heliciformis* pag. 420, Mittl. Lias.
Fig. 40. *Euomphalus* pag. 421: 40, serpula, Ratingen; 47, priscus, Bié; 42, radiatus, Eifel.
Fig. 43. Innerer Knochen von *Limax* pag. 402, lebend: a Oberseite, b seitlich.





Erklärung der Tab. 34.

- Fig. 1. Euomphalus sculptus pag. 422, Weißer Nebengangskalkst., Conopepus.
Fig. 2. Tuba spinosa pag. 422, daher.
Fig. 3. Schizostoma delphinularis pag. 422, Devon., Paffrath.
Fig. 4. Bellerophon costatus pag. 423, Bergkalk, Tournay.
Fig. 5 u. 6. Helicina pag. 423: 5, polita, Lias α ; 6, expansa, Lias δ .
Fig. 7—9. Pleurotomaria pag. 424: 7, ornata Br. Jur. δ ; 8, conoidea, St. Vigor; 9, silicea, Mattheim.
Fig. 10. Monodonta ornata pag. 425, Mattheim, b, Schliß.
Fig. 11. Murchisonia bilineata pag. 425, Devon. Paffrath.
Fig. 12. Pedipes punctilabris pag. 426, Turin.
Fig. 13. Avellana cassis pag. 426, Gault, Perte du Rhone.
Fig. 14. Volvaria bulloides pag. 426, Grobkalk, Paris.
Fig. 15—21. Cerithium pag. 427: 15, cinctum, Hackenheimer Gottesacker; 16, lapidum, Grignon; 17, inversum, Österweddingen; 18, muricatum, Launoy; 19, dito, Berlin; 20, echinatum, Br. Jur. δ ; 21, tuberculatum, Braun. Jura α , Donau-Mainkanal.
Fig. 22—29. Nerinea pag. 429: 22, uniplicata, Mattheim; 23, suprajurensis, Wartberg bei Basel; 24, dito, Mattheim; 25, depressa, Mattheim, von oben, n. Nabel; 26, longissima, Corizan, Unt. Quader; 27, triplicata, Poit; 28, Podolica, Kehlheim; 29, Bruntrutana, Delsberger Thal.
Fig. 30. Rostellaria fissurella pag. 431, Grignon, Grobkalk.
Fig. 31. Mitra monodonta pag. 436, daher.
Fig. 32—36. Nerinea pag. 429: 32, constricta, Mattheim; 33, subcochlearis, daher; 34, turritella, daher; 35, teres, daher; 36, tornata, daher.
Fig. 37 u. 38. Rostellaria bicarinata pag. 432, Weiß. Jura α ; 38, var. nodosa.
Fig. 39. Trochus Albertinus pag. 432, Wellendolomit, Freudenstadt.
Fig. 40. Fusus longirostris pag. 432, Tegel, Baden.
Fig. 41. Pleurotoma interrupta pag. 433, Piacenza.
Fig. 42. Cypraea sphaericulata pag. 438, Superga bei Turin.
Fig. 43. Muricida diphyae pag. 435, Ragogni.
Fig. 44. Murex fistulosus pag. 434, Tegel, Baden.
Fig. 45—47. Marginella pag. 438: 45, eburnea, Parnes; 46, cypraeola, Tegel, Baden; 47, ovulata, Grignon.
Fig. 48. Rostellaria gracilis pag. 432, Lias ζ , Wasseralfingen.
Fig. 49. Fusus minutus pag. 433, Torulofusschicht, Gammelshausen.
Fig. 50. Rostellaria calcarata pag. 431, Kreidef. Kieszlingswalde.
Fig. 51. Oliva ispidula pag. 438, Superga bei Turin.
Fig. 52 u. 53. Rostellaria subpunctata pag. 432, Torulofusschicht, Esslingen.
Fig. 54—56. Muricida semicarinata pag. 434, Ornamentithon, Gammelshausen.
Fig. 57. Cancellaria varicosa pag. 434, Subappeninenformation.



THE THERAPEUTIC

AN INTERNATIONAL JOURNAL OF MEDICAL PSYCHIATRY AND PSYCHOLOGY

Volume 12 Number 1 January 1968

ISSN 0040-168X

Published monthly by Pergamon Press Ltd.

Subscription price £3.50 per volume of 12 issues

Subscriptions should be sent to Pergamon Press Ltd., Headington Hill Hall, Oxford OX3 0EL, England, or to Pergamon Press Inc., Elmsford, New York 10523, U.S.A.

Changes of mailing address should be notified together with our latest label.

For advertisement rates, prices of back numbers, and other information, apply to Pergamon Press Ltd., Headington Hill Hall, Oxford OX3 0EL, England.

Published in Great Britain by Pergamon Press Ltd.

© 1968 by Pergamon Press Ltd.

Printed in Great Britain by Pergamon Press Ltd.

Typeset in Linotype by Pergamon Typesetting Ltd., London.

Illustrations by Pergamon Illustration Dept., London.

Bound by Pergamon Binding Dept., London.

Printed on paper made from wood pulp by Pergamon Paper Mills Ltd., London.

Published in the United States of America by Pergamon Press Inc., Elmsford, New York 10523.

Published in Canada by Pergamon Press Inc., Elmsford, New York 10523.

Published in Australia by Pergamon Press Inc., Elmsford, New York 10523.

Published in New Zealand by Pergamon Press Inc., Elmsford, New York 10523.

Published in South Africa by Pergamon Press Inc., Elmsford, New York 10523.

Published in India by Pergamon Press Inc., Elmsford, New York 10523.

Published in Japan by Pergamon Press Inc., Elmsford, New York 10523.

Published in France by Pergamon Press Inc., Elmsford, New York 10523.

Published in Germany by Pergamon Press Inc., Elmsford, New York 10523.

Published in Italy by Pergamon Press Inc., Elmsford, New York 10523.

Published in Spain by Pergamon Press Inc., Elmsford, New York 10523.

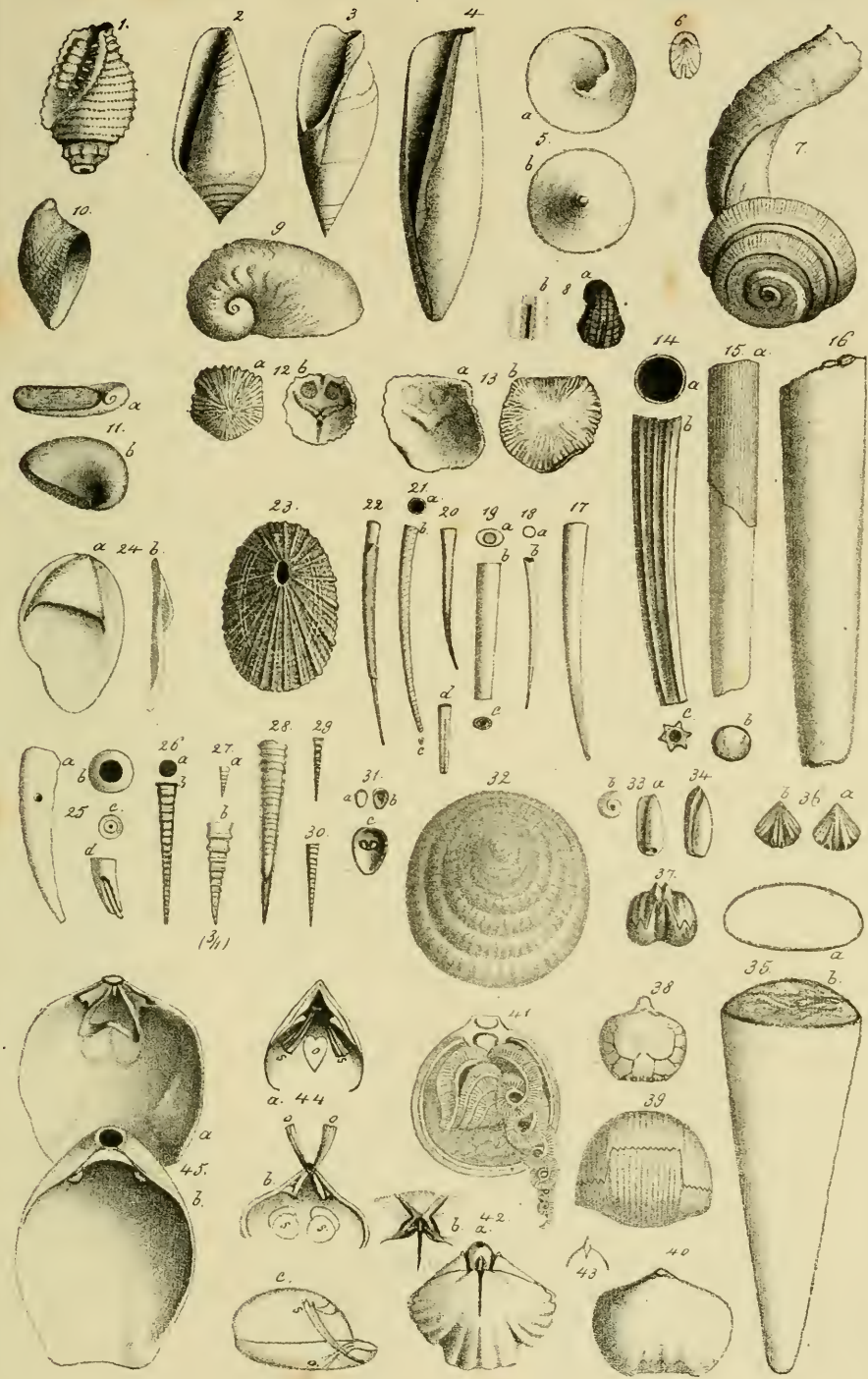
Published in Sweden by Pergamon Press Inc., Elmsford, New York 10523.

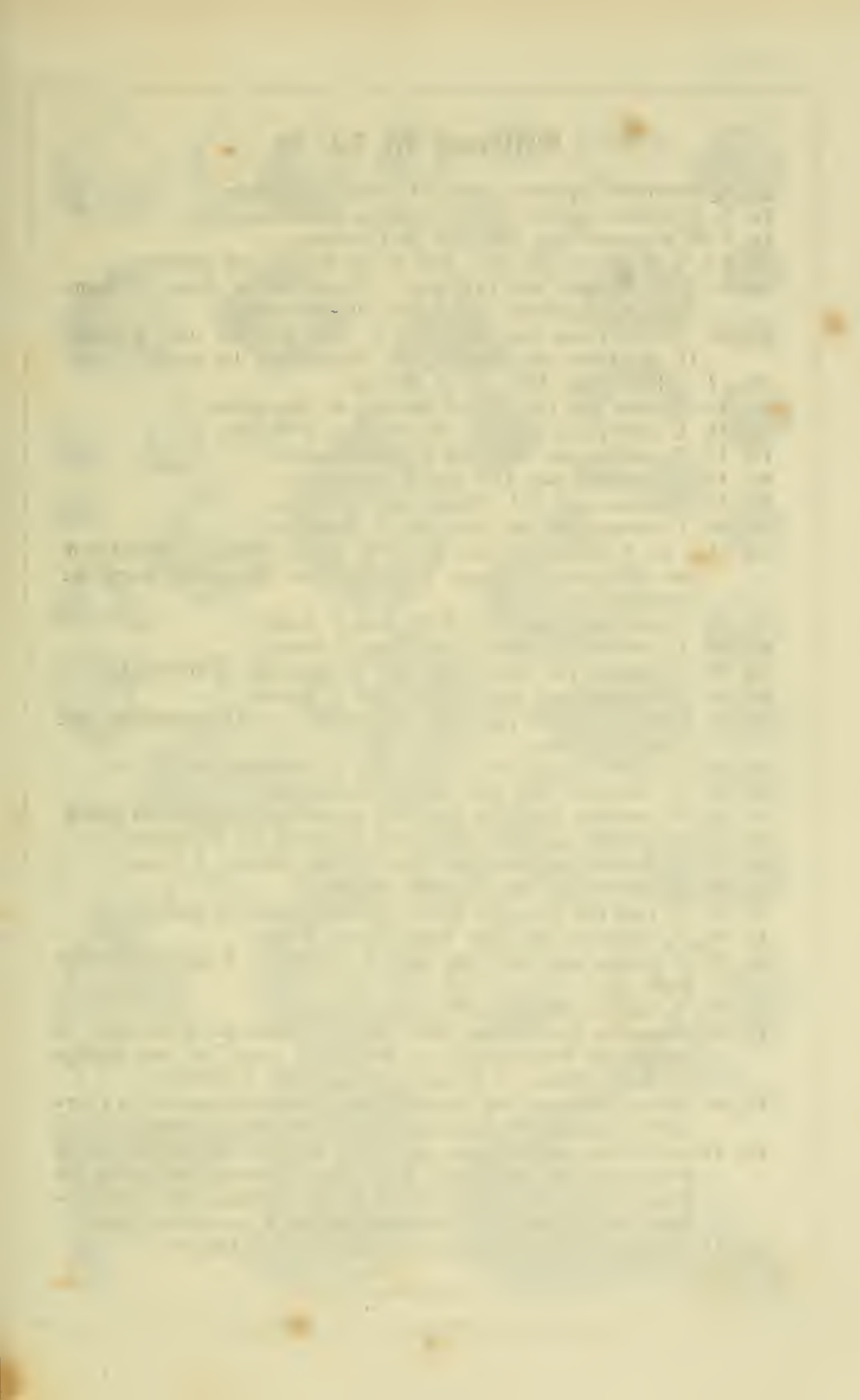
Published in Norway by Pergamon Press Inc., Elmsford, New York 10523.

Published in Denmark by Pergamon Press Inc., Elmsford, New York 10523.

Erklärung der Tab. 35.

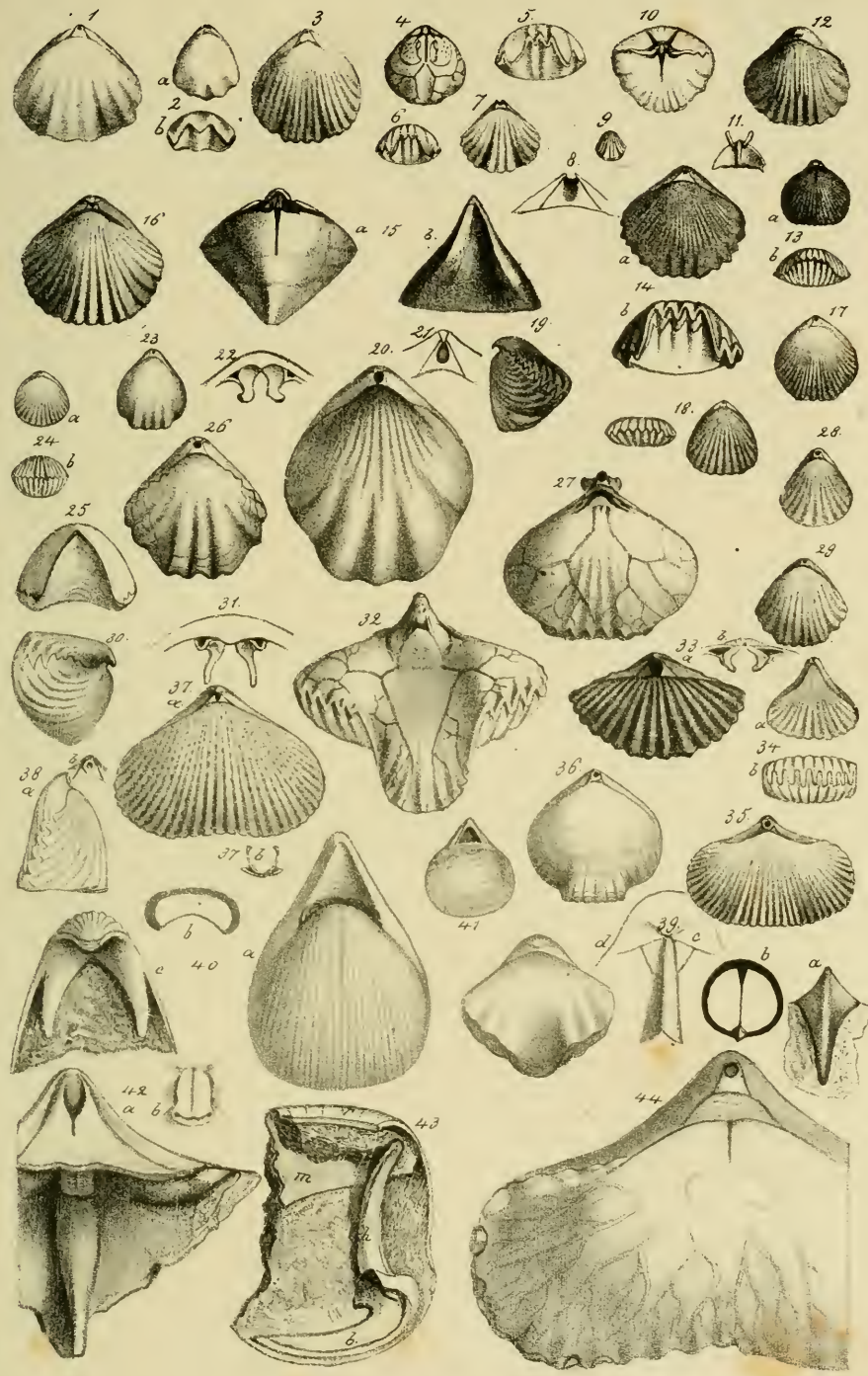
- Fig. 1. *Cassis corallina* pag. 435, Nattheim.
- Fig. 2. *Conus pyrula* pag. 437, Aſti.
- Fig. 3. *Ancillaria buccinoides* pag. 438, Grobkalk, Grignon.
- Fig. 4. *Terebellum convolutum* pag. 439, daher.
- Fig. 5. *Calyptrea sinensis* pag. 439, Aſti, Subappenninenform.
- Fig. 6. *Emarginula clathrata* pag. 441, Grobkalk, Copie nach Deshayes.
- Fig. 7. *Siliquaria anguina* pag. 440, Aſti, etwas verkleinert.
- Fig. 8. *Emarginula Goldfussii* pag. 441, St. Cassian, b vergrößerter Spalt.
- Fig. 9. *Pileopsis prisa* pag. 440, Uebergangsgeb., Eifel.
- Fig. 10. *Pileopsis cornucopiae* pag. 439, Grignon.
- Fig. 11. — *compressa* pag. 440, Ueberg., Eifel.
- Fig. 12 u. 13. *Siphonaria* pag. 442, a Ober-, b Innenseite; 12, *irregularis*, Rautenberg; 13, *corallina*, Nattheim.
- Fig. 14—22. *Dentalium* pag. 443: 14, *elephantinum*, Aſti; 15, *ornatum*, Eifel; 16, *ingens*, Bergkalk, Biſej; 17, *entalis*, Grignon; 18, *filicauda*, Braun. Jura, Berlin; 19, *Parkinsoni*, Br. Jura e; 20, *laeve*, Hauptmuschelkalk, Künzelsau; 21, *eburneum*, Grobkalk, d. vergrößerter Spalt; 22, *antiquatum*, Ueberg., Eifel.
- Fig. 23. *Fissurella graeca* pag. 442, Aſti.
- Fig. 24. *Crepidula unguiformis* pag. 439, daher: a innen, b seitlich.
- Fig. 25. *Dentalium clava* pag. 444, Ob. Kreide, Giply: a von der Seite und angebohrt, b obere Mündung, c und d unteres Ende mit einem kleinen darin.
- Fig. 26—30. *Tentaculites* pag. 399: 26, *scalaris*, Berlin; 27, *dito*, untere Endspitze, b vergrößert; 28, *dito*, Grauwacke, der Kern reicht nicht ganz zur untern Spitze hinab; 29, *annulatus*, Berlin; 30, *ornatus*, Dudley.
- Fig. 31 u. 32. *Patella* pag. 445: 31, *antiqua*, Berlin; a oben, b innen, c vergrößert; 32, *rugulosa*, Schnaitheim.
- Fig. 33. *Bulla cylindroides* pag. 446, Grobkalk, Barnes, b Gewinde.
- Fig. 34. *dito*, schwarzer Steinkern von Österweddingen.
- Fig. 35. *Pigiunculus vaginalis* pag. 398, Vaginatenkalk, Sorau.
- Fig. 36 u. 37. *Terebratula borealis* pag. 450: 36, Gothland, 37, Cincinnati.
- Fig. 38 u. 39. *Ter. Wilsoni* pag. 450: 38, Stirnansicht, Conjeprus; 39, Bauchschale mit Gefäßen, Eifel.
- Fig. 40. *Terebr. pugnus* pag. 450, Bergkalk, Kildare.
- Fig. 41. *Terebr. psittacea* pag. 449, lebend mit fleischigen Spiralarmen. Copie.
- Fig. 42. *Terebr. livonica* pag. 449, Grauwacke, Daua. Steinkern.
- Fig. 43. *T. Schlotheimii* pag. 450, Bedstein, Humbleton, Bauchschalenkern.
- Fig. 44. Lebende Terebrateln: a Rücken-, b Bauchschale, o Öffnungsz., s Schließmuskel.
- Fig. 45. *Ter. biplicata* pag. 473, Frohnhausen: a Bauch-, b Rückenschale.

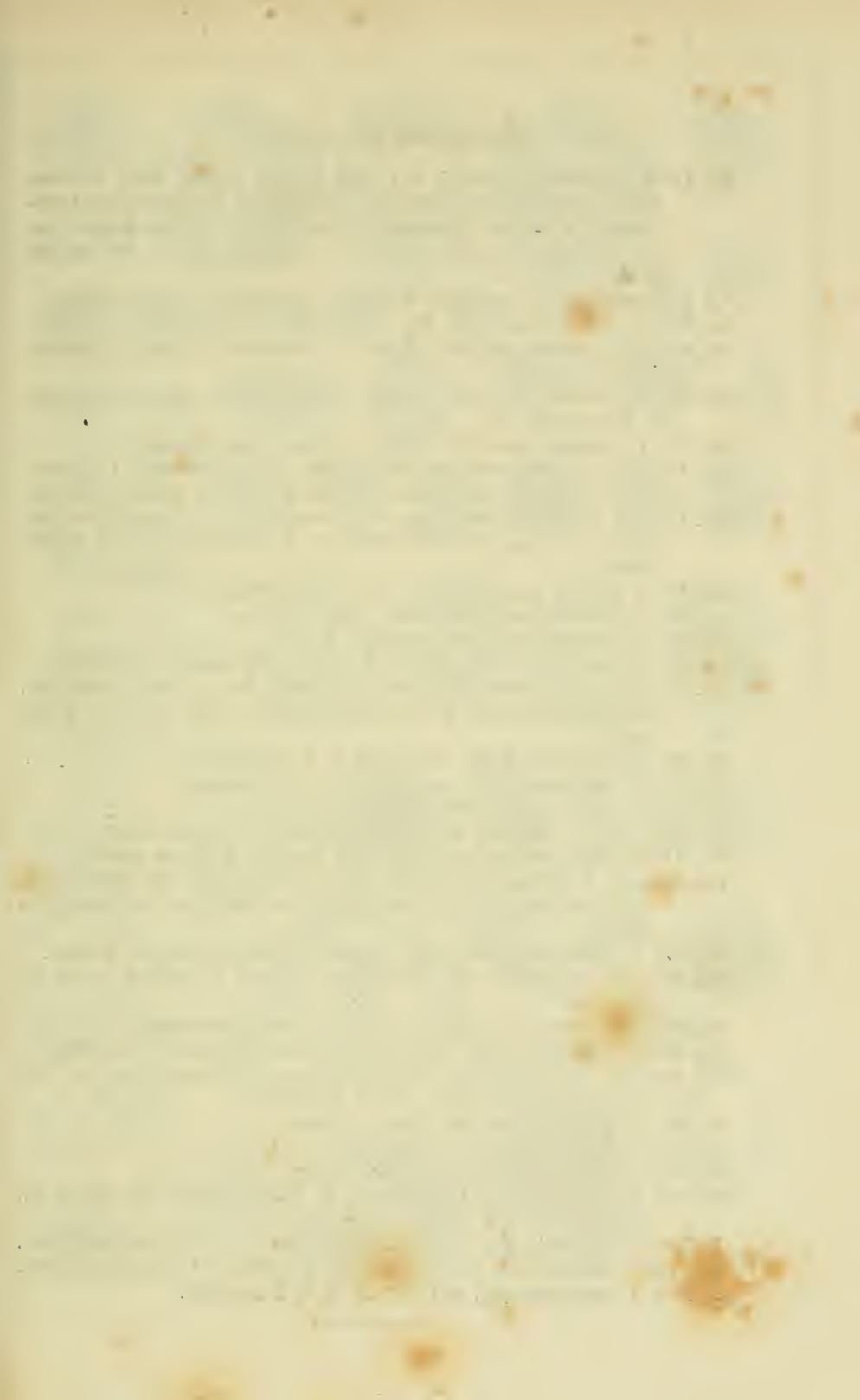




Erläuterung der Tab. 36.

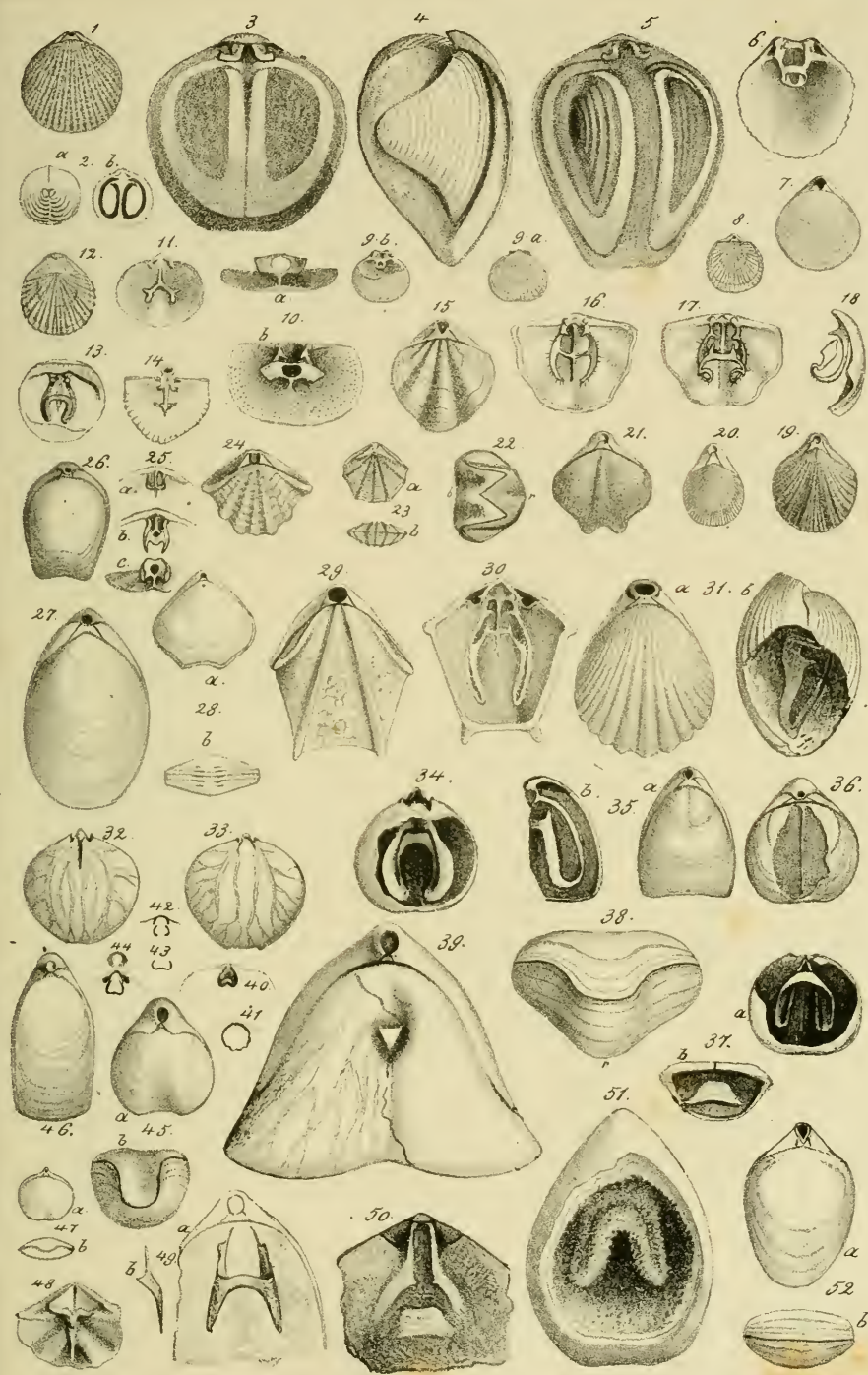
- Fig. 1. *Terebratula triplicata* α pag. 451, Lias α , Duslingen.
- Fig. 2. *T. triplicata juvenis* pag. 451, Lias α , Schönberg.
- Fig. 3. *T. plicatissima* pag. 451, Lias β , Österdingen.
- Fig. 4 u. 5. *T. oxynoti* pag. 451, Lias β , mit Gefäßen und Eierstücken.
- Fig. 6—9. *T. calcicosta* pag. 451, Lias β , Österdingen: 6, Stirn, 7, Bauchschale, 8, vergrößertes Schnabelloch, 9, Rückenschale.
- Fig. 10—13. *T. rimosa* pag. 451, Lias γ : 10, Steinkern vom Schnabel: 11, Bauchschale mit Hörnern; 12, Bauchsicht; 13, junge.
- Fig. 14. *T. simbria* pag. 452, Lias δ , Meßingen.
- Fig. 15. *T. acuta* pag. 452, Lias δ , Keilberg bei Regensburg.
- Fig. 16. *T. quadriplicata* pag. 453, Braun. Jura δ , Randen.
- Fig. 17. *T. amalthei* pag. 453, Lias δ , Brunnhaupten.
- Fig. 18. *T. scalpellum* pag. 453, Lias δ , Hinterweiler.
- Fig. 19. *T. varians* pag. 454, Braun. Jura ϵ , Randen.
- Fig. 20. *T. quinqueplicata* pag. 453, Lias δ , Meßingen.
- Fig. 21 u. 22. *T. quadriplicata* pag. 453: 21, Oolith, Bernières, Schnabelloch mit umfassendem Deltidium; 22, Oolith von Cheltenham, Hörner der Bauchschale.
- Fig. 23. *T. strioplicata* pag. 455, Weiß. Jura γ , Lochen.
- Fig. 24. *T. striocineta* pag. 455, Weiß. Jura γ , Lochen.
- Fig. 25. *T. lacunosa* pag. 455, Weiß. Jura γ , Thieringen, Stirnansicht.
- Fig. 26. *T. triplicosa* pag. 454, Braun. Jura ϵ , Stuifen.
- Fig. 27 u. 28. *T. lacunosa* pag. 454, Weiß. Jura γ : 27, Bauchschale mit Gefäßen, 28, jung.
- Fig. 29. *T. triloboides* pag. 455, Weiß. Jura γ , Salmandingen.
- Fig. 30. *T. tetraedra* β pag. 452, Lias β , Seitenansicht.
- Fig. 31. *T. inconstans* pag. 455, Nattheim, Hörner von der Spitze aus gesehen.
- Fig. 32. *T. trilobata* pag. 455, Weiß. Jura δ , Gefäße der Rückenschale.
- Fig. 33. *T. Theodori* pag. 456, Br. Jura δ , oben, Stuifen, b Hörner.
- Fig. 34. *T. trigona* pag. 458, Alpenkalk, Großau.
- Fig. 35. *T. alata* pag. 458, Ob. Kreide, Gehrdner Berg bei Hannover.
- Fig. 36. *T. octoplicata* pag. 458, Weiße Kreide, Nügen.
- Fig. 37. *T. spinosa* pag. 456, Br. Jura δ , Geisingen, b Hörner, Savoyer Alpen.
- Fig. 38. *T. depressa* pag. 457, Neocomien, Neufchâtel.
- Fig. 39. *Pentamerus galeatus* pag. 459, Eifel: a Mulde der Rückenschale; b abgesprengte Schnabelspitze, die Medianleiste unten mit dem Anfange der Mulde sichtbar; c Hörner der Bauchschale; d Bauchseite.
- Fig. 40. *Uncites gryphoides* pag. 459, Paffrath: a Bauchschalenansicht; b Querschliff des Hälles der Rückenschale; c Bauchschale von Innen.
- Fig. 41—43. *Strygocephalus Burtini* pag. 460, Paffrath: 41, Brut; 42, a Rückenschale von Innen, 42, b der innere Schlauch, als Fortsatz des Schnabelloches; 43, ausgearbeitetes Gerüst, r Rückenschale, m Medianlamelle der Rückenschale, h Bauchschalenleiste, k verwachsene Hörner.
- Fig. 44. *Terebratula inconstans* pag. 455, Weiß. Jura ϵ , Kehlheim.

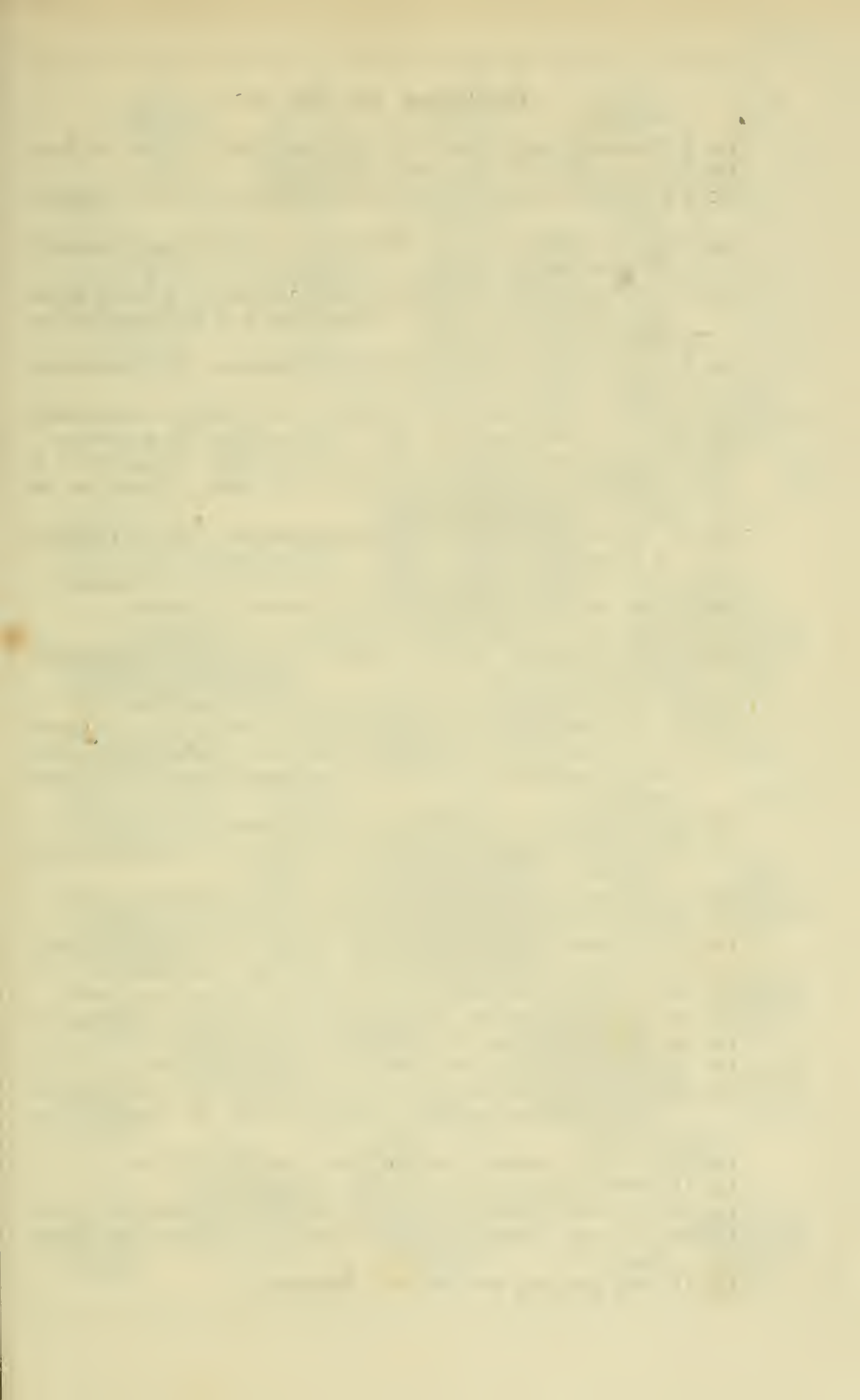




Erklärung der Tab. 37.

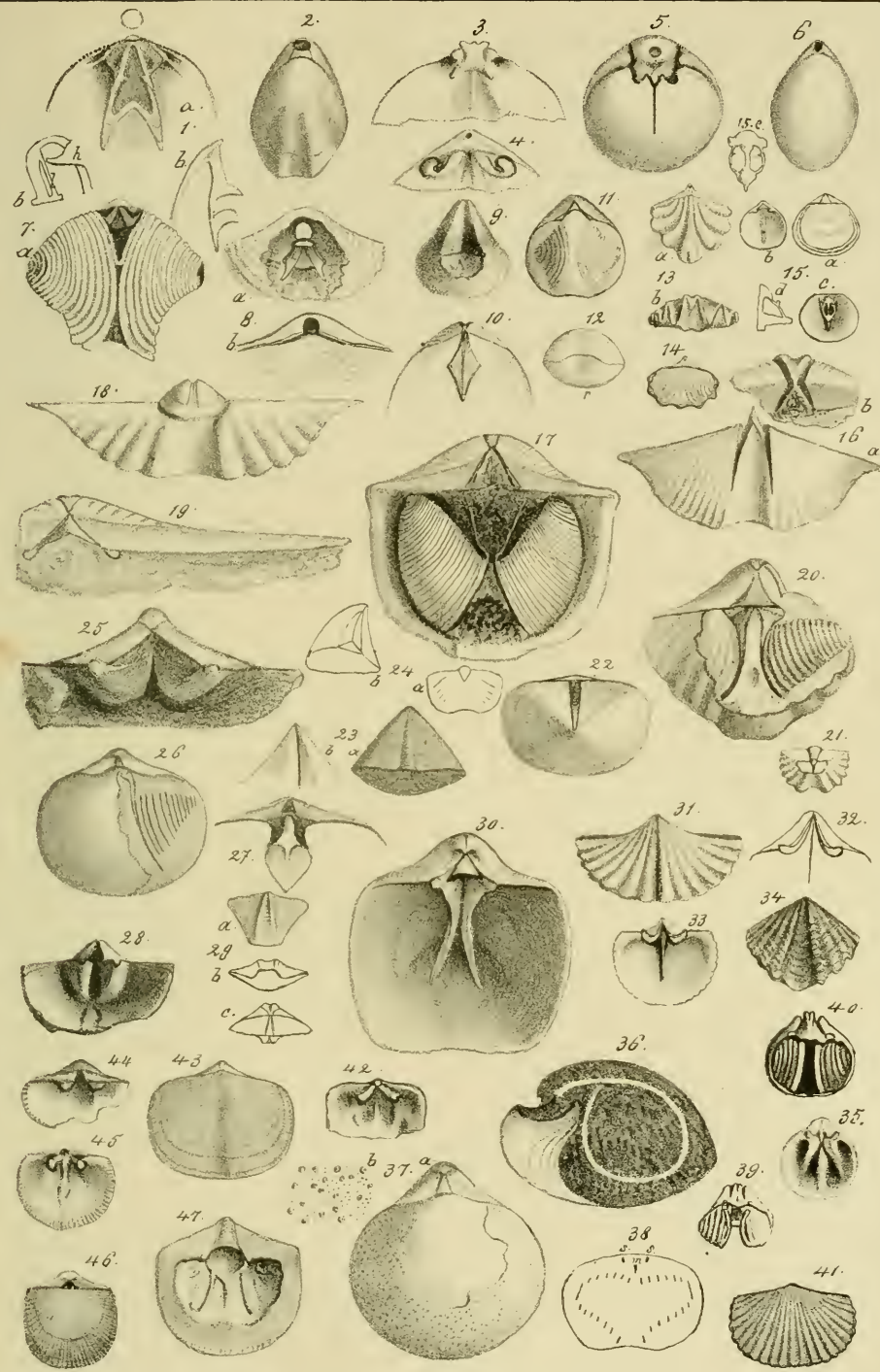
- Fig. 1—4. *Terebratula prisca* pag. 461, Ob. Neberg.: 1, jung, Eisel; 2, durchsichtiges Exemplar von Gothland, an welchem die Spiralarme durchscheinen; a von der Bauchseite, b vom Rücken; 3, die Rücken- von der Bauchschale abgehoben, Eisel; 4, seitlich die Spirale frei gemacht, Eisel.
- Fig. 5. *Terebr. prunum* pag. 461, Gothland, die Rückenschale weggenommen.
- Fig. 6 u. 7. *Ter. substriata* pag. 462, Weiß. Jura: 6, Mattheim; 7, Lochen.
- Fig. 8 u. 9. *T. gracilis* pag. 462, Kreide: 8, Postelberg; 9, Rügen, a Bauchschale, b Inneres.
- Fig. 10. *T. truncata* pag. 462, lebend im Mittelmeer: Bauchschalengerüste, a Stirnansicht.
- Fig. 11. *T. Natalensis* pag. 463, lebend am Natal point, Bauchschale.
- Fig. 12—14. *T. pectiniformis* pag. 463, Oberste Kreide, Maastricht: 12, Bauchseite; 13, Gerüst mit Krystallen bedekt, Eipty; 14, Gerüst verbrochen.
- Fig. 15—18. *T. pectunculoides* pag. 464, Mattheim: 15, Bauchansicht, 16, Gerüst mit weggenommener Lehne; 17, Gerüst vollständig, 18, dasselbe seitlich.
- Fig. 19. *T. loricata* pag. 464, Weiß. Jura γ, Pfullingen.
- Fig. 20. *T. reticulata* pag. 464, Weiß. Jura γ, Lochen.
- Fig. 21. *T. coaretata* pag. 465, Greatool. Luc.
- Fig. 22. *T. inversa* pag. 465, Alpenfalk, Grossau, Stirnansicht, r Rücken.
- Fig. 23—25. *T. pectunculus* pag. 466: 23, Weiß. Jura γ; 24, ε Mattheim; 25, Gerüst derselben: a Lehne weggenommen; b mit Lehne, c Stirnansicht.
- Fig. 26. *T. numismalis* δ pag. 467, Lias δ, Hinterweiler.
- Fig. 27. *T. numismalis* ovalis pag. 467, Lias γ, Österdingen.
- Fig. 28. *T. quadrifida* pag. 467, Lias δ, Hinterweiler.
- Fig. 29 u. 30. *T. trigonella* pag. 465, Mattheim, 30, inneres Gerüst.
- Fig. 31. *T. orbicularis* pag. 466, Gr. Dol. Renville, b inneres Gerüst.
- Fig. 32—34. *T. numismalis* pag. 466, Lias γ: 32, Bauch-, 33, Rückenschale, beide mit Gefäßen, 34, Gerüst von der Bauchseite im Schwefelkies gehüllt.
- Fig. 35. *T. digona* pag. 467, Dol. von Luc: b Seitenansicht des Gerüstes.
- Fig. 36 u. 37. *T. impressa* pag. 468, Weiß. Jura α, 37, Gerüst, b von der Stirn her.
- Fig. 38. *T. respinata* pag. 469, Br. Jura δ, Nipf, Stirnansicht.
- Fig. 39. *T. diphyia* pag. 470, Roveredo, Gefäßeindrücke auf der Bauchschale.
- Fig. 40—45. *T. nucleata* pag. 469, Weiß. Jura γ, Salzlandingen: 40, Gerüst; 41—44, Anschliffe; 45, b Stirnansicht.
- Fig. 46. *T. pala* pag. 469, Br. Jura ε, Randen.
- Fig. 47. *T. Heyseana* pag. 471, Lias δ, Hinterweiler.
- Fig. 48. *T. lagenalis* pag. 468, Braun. Jura δ, Tüzen.
- Fig. 49. *T. perovalis* pag. 471, Br. J. δ, Alsen, Gerüst vom Bauch her, b seitlich.
- Fig. 50. *T. intermedia* pag. 472, Br. J. δ, Stuifen, Gerüst vom Rücken her.
- Fig. 51. *T. perovalis* pag. 471, Br. Jur. δ, hohl, Gerüst mit Krystallen bedekt.
- Fig. 52. *T. emarginata* pag. 471, Br. J. δ, b Stirnansicht.





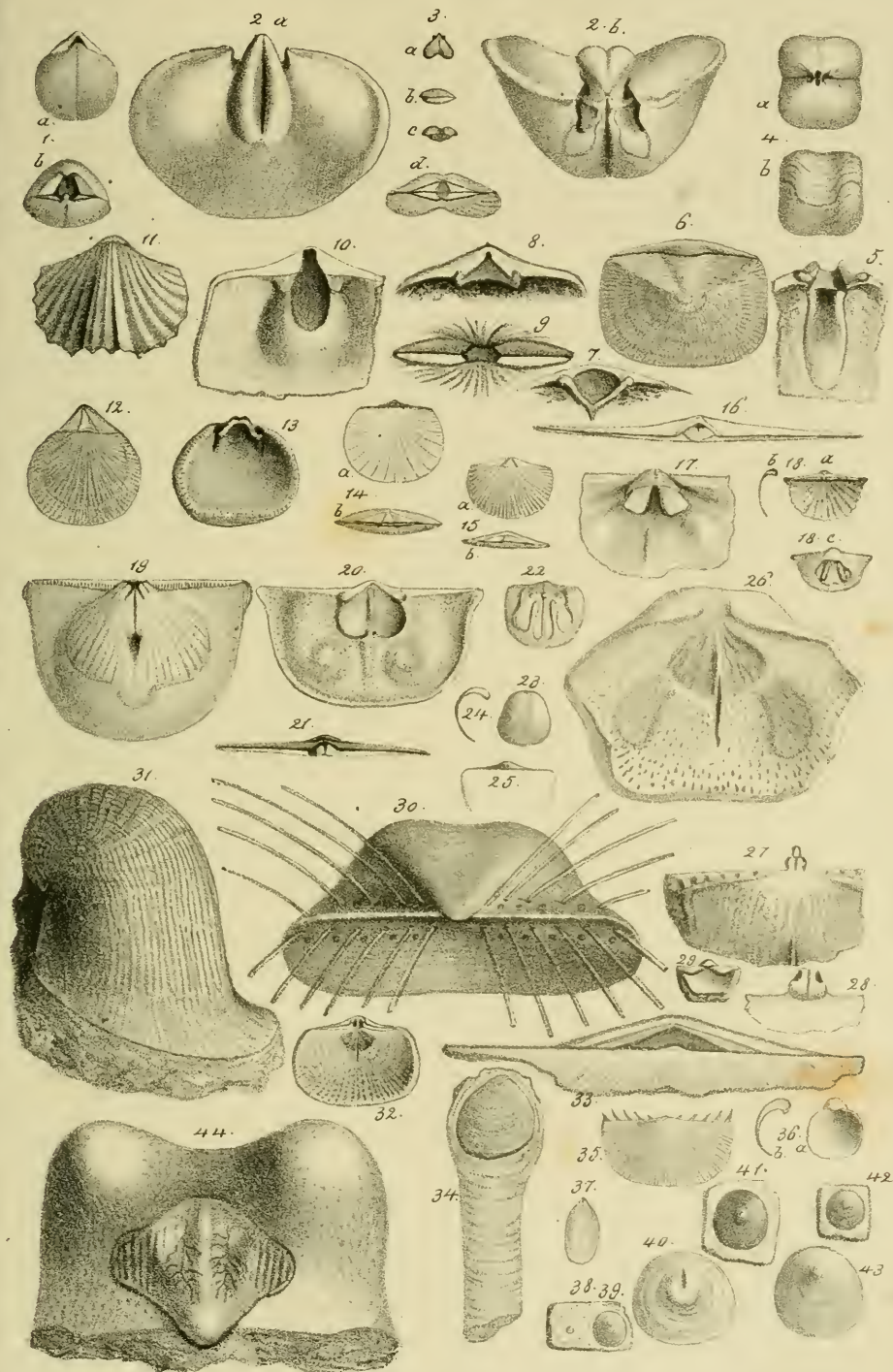
Erklärung der Tab. 38.

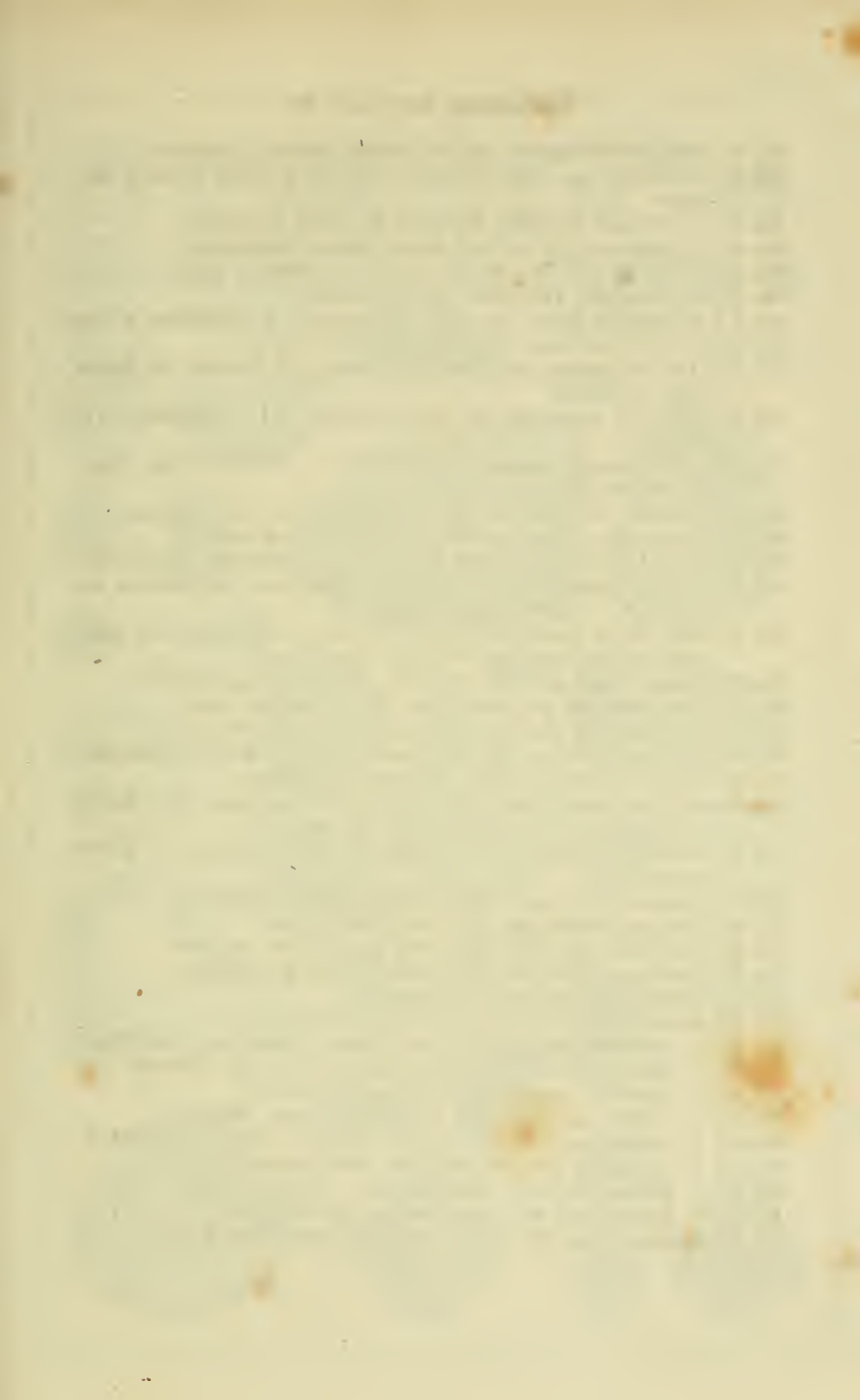
- Fig. 1. Terebratula insignis pag. 472, Nattheim, Gerüst; b von der Seite.
Fig. 2. T. acuta pag. 473, Neocomien, Neufchâtel.
Fig. 3 u. 4. T. carnea pag. 473, Ob. Kreide, Maastricht: 3, Bauch-, 4, Rückenschale.
Fig. 5 u. 6. T. vulgaris pag. 474, Wellendolomit: 5, Steinkern, Petersbach; 6, Freudenstadt.
Fig. 7 u. 8. T. concentrica pag. 474, Devonisch, Boulogne: 7. a Gerüst, b Anfang des Gerüsts, b Horn, 1 Längsbalken; 8. a die Hörner von der Rückenschale her frei gelegt.
Fig. 9 u. 10. T. cassidea pag. 475, Eifel: 9, Rückenmulde, 10, Bauchschalenplatte.
Fig. 11 u. 12. T. didyma pag. 475, Gothland: 11, Bauch-, 12, Stirnansicht.
Fig. 13 u. 14. T. ferita pag. 475, Eifel: 13, Bauchschale, 14, Spiralarme.
Fig. 15. Magas pumilus pag. 476, Weiß. Kreide, Rügen: a Bauchschale, b Rückenschale von innen; c Bauchschale von innen; d Gerüst von der Seite; e Gerüst vergrößert.
Fig. 16. Spirifer hysterius pag. 477, Grauwackensteinkern, Goslar: a Rücken-, b Schnabelansicht.
Fig. 17. Spir. ostiolatus pag. 477, Eifel, von der Bauchseite mit Spiralen.
Fig. 18. Spir. paradoxus pag. 478, Grauwackensteinkern, Dillenburg.
Fig. 19. Spir. speciosus pag. 478, Kalkstein, Eifel, Loch verwachsen.
Fig. 20. Spir. intermedius pag. 478, Kalkstein, Eifel. Spiralen mit der Anfangslamelle.
Fig. 21. Spir. heteroclytus pag. 479, Conopepus, Spitze angeschliffen.
Fig. 22. Spir. simplex pag. 479, Devonisch, Eisenstein, Enkeberg, von der Spitze.
Fig. 23 u. 24. Sp. trapezoidalis pag. 479, Eifel: 23, b Rücken des Schnabels; 24, a angeschliffene Bauchfläche, 24, b halber Schnabel in schiefer Stellung.
Fig. 25. Sp. trigonalis pag. 480, Ratingen, Zahnsäulen.
Fig. 26 u. 27. Sp. laevigatus pag. 481, Eifel, 27 Kern um den Wirbel der Bauchschale.
Fig. 28. Sp. laevigatus pag. 481, Bergkalk, Ratingen, Schnabel von innen.
Fig. 29. Sp. cheiropteryx pag. 481, Bergkalk, Wijé, b Stirn, c Area.
Fig. 30. Sp. Mosquensis pag. 480, Bergkalk, Moskau, Rückenschale von innen.
Fig. 31. Sp. fragilis pag. 482, Muschelkalk, Würzburg, vom Rücken.
Fig. 32. Sp. Walcotti pag. 482, Lias a, Adelshofen, Schnabel von innen.
Fig. 33. Sp. medianus pag. 482, Muschelkalk, Tarnowitz, Schnabelsch. von innen.
Fig. 34. Sp. Walcotti γ pag. 482, Lias γ, Österdingen, Rücken.
Fig. 35. Sp. verrucosus pag. 482, Lias γ, Österdingen, Rückensh. von innen.
Fig. 36—38. Sp. rostratus pag. 483, Lias δ, Balingen: 36, Medianschnitt; 37, a Bauchschalenansicht, b vergrößerte Poren; 38, Bauchschale angeschliffen.
Fig. 39 u. 40. Sp. verrucosus pag. 482, Lias γ, verkleiste Spiralen.
Fig. 41. Orthis calligramma pag. 485, Ohio, Rückenansicht.
Fig. 42 u. 43. Orth. testudinaria pag. 485, Eifel: 42, Bauchschale von innen.
Fig. 44—46. Orth. elegantula pag. 485, Gothland: 44 Rücken-, 45 Bauchschale.
Fig. 47. Orth. plana pag. 486, Pulkowa, Rückenschale.



Erklärung der Tab. 39.

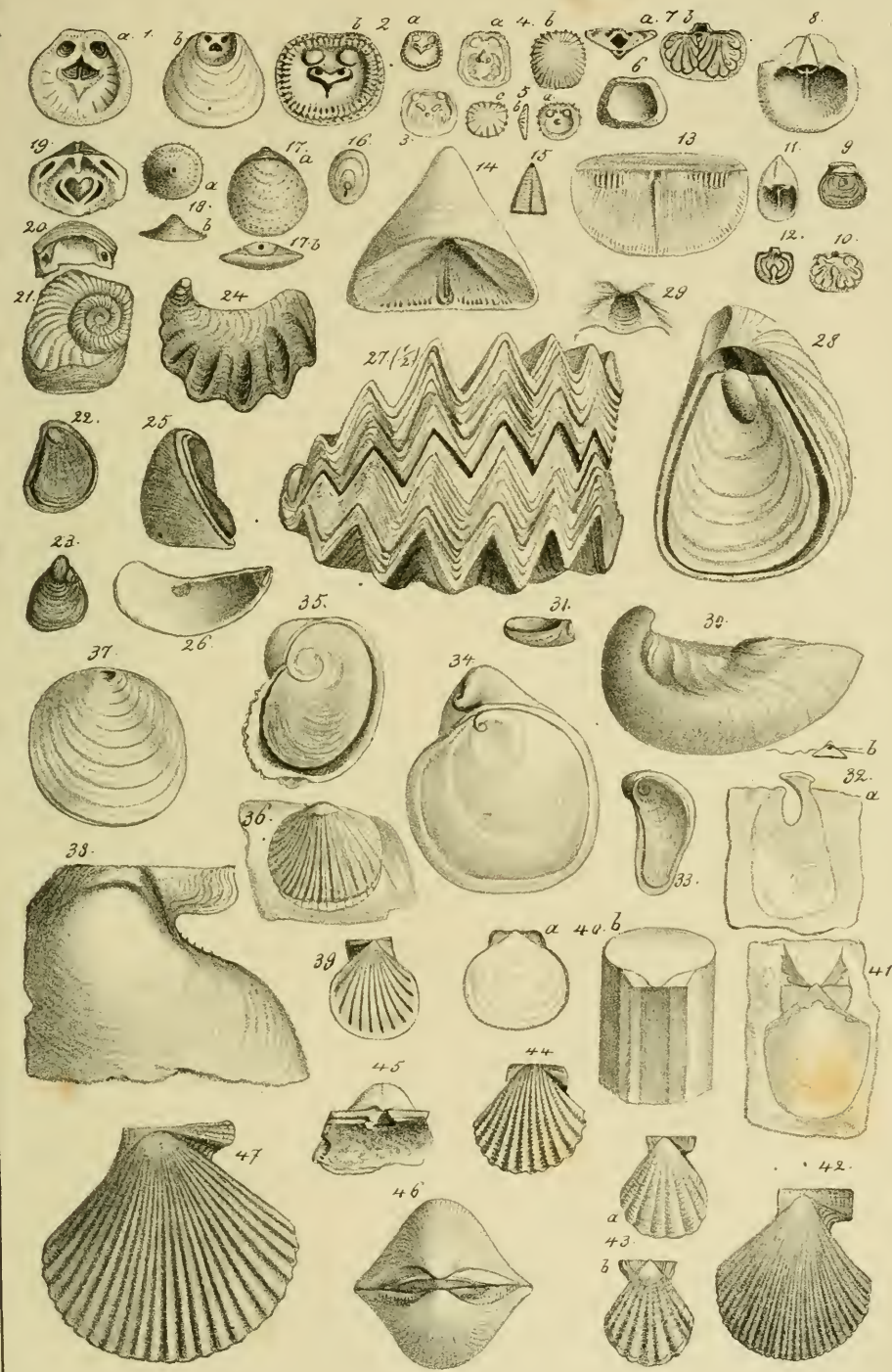
- Fig. 1. *Orthis hians* pag. 485, Bensberg: a Bauch-, b Schnabelansicht.
- Fig. 2. *Hysterolithes vulvarius* pag. 484, Gramwacke a Rücken-, b Schnabelansicht.
- Fig. 3. *Orthis cardiospermiformis* pag. 485, Gothland, d vergrößert.
- Fig. 4 u. 5. *Orthis aequirostris* pag. 486, Petersburg, a Schnabel-, b Stirnansicht; 5, Inneres der Rückenschale.
- Fig. 6 u. 7. *Orthis anomala* pag. 487, Petersburg: 7, Inneres der Rückenschale.
- Fig. 8—11. *Orthis lynx* pag. 486, Mittl. Ueberg., Ohio: 8, Rückenschale; 9, flappendes Schloß, 10, Bauchschale, 11, Rückenschale.
- Fig. 12 u. 13. *Orthis pelargonata* pag. 487, Zechstein, Röpzen: 13 Bauchschaleninneres.
- Fig. 14. *Orth. elegans* pag. 487, Devonisch, Boulogne, b Schloßansicht.
- Fig. 15. *Orth. umbraculum* pag. 487, Eifel, a Bauchsch., b Schloßansicht.
- Fig. 16 u. 17. *Orth. pecten* pag. 487, Ohio, 16, Schloßlinie, 17, Bauchschaleninneres.
- Fig. 18. *Orth. transversalis* pag. 488, Gothland: b Längsschnitt.
- Fig. 19. *Orth. dilatata* pag. 488, Grauwacke, Kemmenau, Rückensch.
- Fig. 20 u. 21. *Orth. depressa* pag. 488, Gothland: 20, Inneres der Rückenschale, 21, Schloßlinie.
- Fig. 22—24. *Orth. oblonga* pag. 489, Petersburg: 22, vergrößerte Bauchschale von innen; 23, Rückenschale, 24, Längsschnitt.
- Fig. 25. *Orth. cincta* pag. 489, Petersburg, Schloßkantenansicht.
- Fig. 26. *Productus aculeatus* pag. 490, Magnesia = Limestone, Humbleton.
- Fig. 27—30. *Prod. aculeatus* pag. 490, Zechstein, Gera: 27, Bauchschale von innen; 28, innerer Wirbelfortsatz, 29, Schnabel der Rückenschale, 30, Schloßansicht.
- Fig. 31. *Prod. antiquatus* pag. 491, Bergkalk, Visé, Seitenansicht.
- Fig. 32. dito, daher: Steinern der Bauchschale.
- Fig. 33. *Chonetes comoides* pag. 492, Bergkalk, Ratingen, Schloßansicht.
- Fig. 34. *Productus proboscideus* pag. 492, Bergkalk, Visé, Copie.
- Fig. 35. — *pecten* pag. 492, Silurisches Geschiebe, Berlin.
- Fig. 36. — *Leonhardi* pag. 493, St. Cassian: a Bauchseite, b, Längsschnitt.
- Fig. 37. *Lingula tenuissima* pag. 493, Lettenkohle, Eglofsheim.
- Fig. 38 u. 39. *Orbicula discoides* pag. 494, Hauptmuschelkalk, Sulz.
- Fig. 40. *Orb. rugata* pag. 494, Unterschale, Eifel.
- Fig. 41. *Orb. papyracea* pag. 494, Lias ε, Ohmden.
- Fig. 42 u. 43. *Orb. reflexa* pag. 494, Braun. Jura α: 42, Voll, 43, Gunderhofen.
- Fig. 44. *Productus humerosus* pag. 490, Bergkalk, Ratingen, Steinern der Rückenschale.

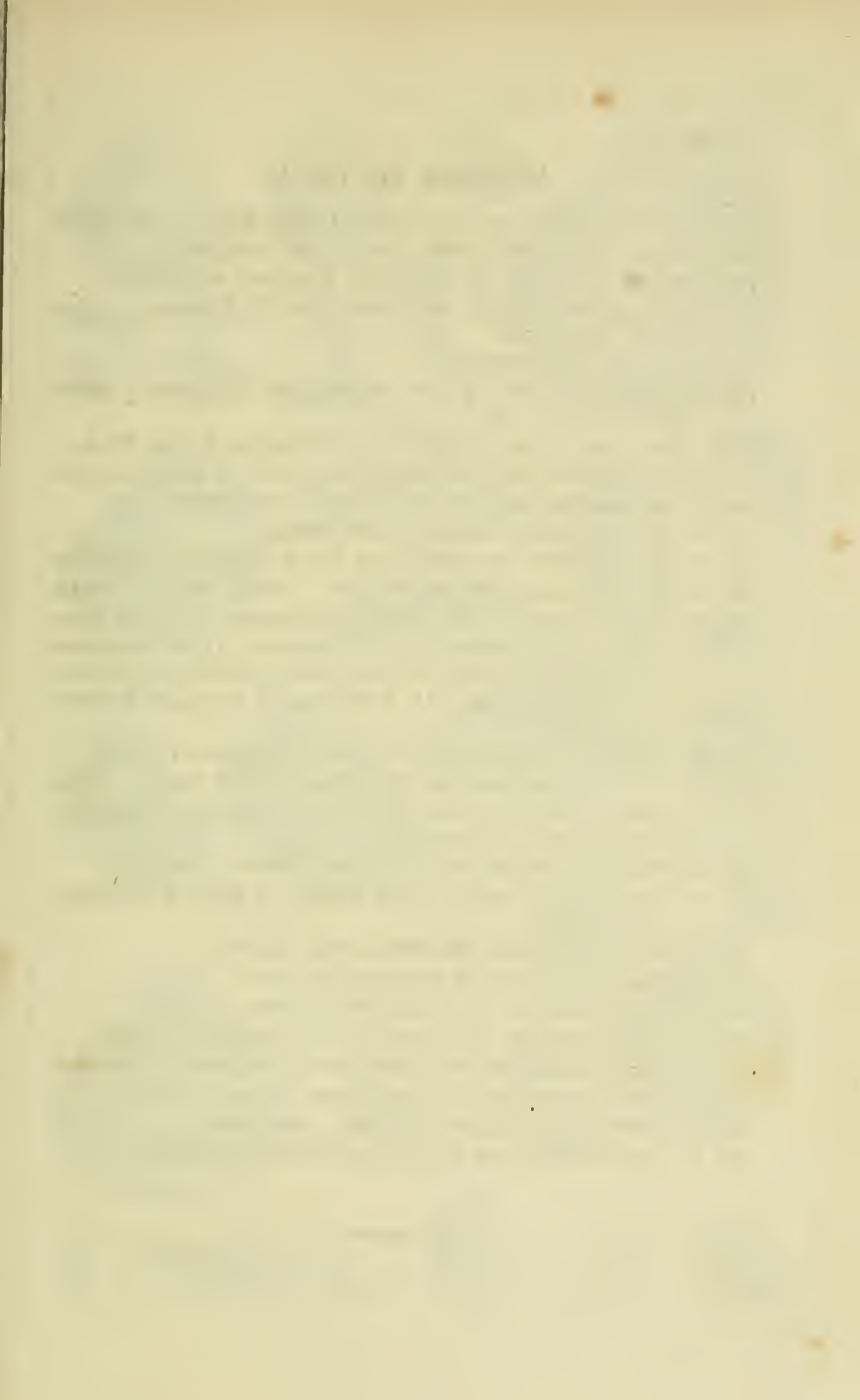




Erklärung der Tab. 40.

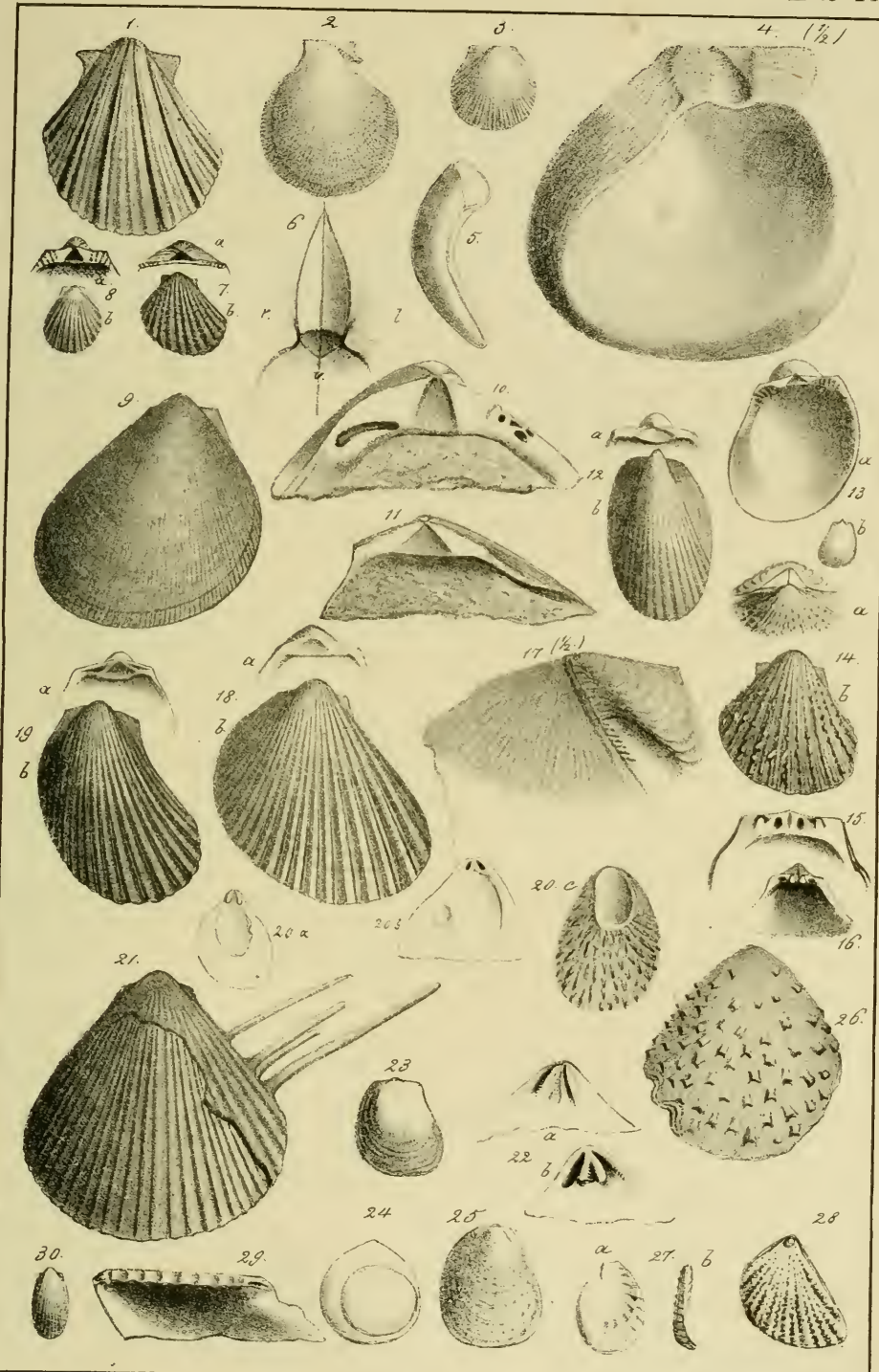
- Fig. 1. *Crania Brattenburgensis* pag. 494, Kreide, Schonen, Unterschale.
Fig. 2. *Cr. nodulosa* pag. 494, Maastricht, Oberschale a natürl. Größe, b vergrößert.
Fig. 3. *Cr. Parisiensis* pag. 495, Kreidetuff, Bordeaux, Oberschale.
Fig. 4. *Cr. striata* pag. 495, Weiß Kreide, Schonen, Unterschale.
Fig. 5. *Cr. costata* pag. 495, Nügen: a innen, b seitlich, c außen.
Fig. 6. *Cr. porosa* pag. 495, Weiß Jura γ, Lochen.
Fig. 7 u. 8. *Thecidia digitata* pag. 495, Frohnhausen: 7 Bauchschale, a vom Wirbel, b von innen; 8 Rückenschale von innen.
Fig. 9 u. 10. *Th. tetragona* pag. 496, Rauthenberg: 9 Dublette, 10 Bauchschale von innen.
Fig. 11 u. 12. *Th. testudinaria* pag. 496, Superga: 11, Rückenschale; 12, Bauchschale.
Fig. 13 u. 14. *Calceola sandalina* pag. 496, Eifel: 13, Deckel von innen, 14, Schnabelschale.
Fig. 15. *Acrotreta subconica* pag. 496, Petersburg, Copie nach Kutorga.
Fig. 16. *Schizotreta elliptica* pag. 496, daher, Copie nach Kutorga.
Fig. 17 u. 18. *Siphonotreta* pag. 496, Petersburg: 17, verrucosa, 18, tentorium.
Fig. 19 u. 20. *Ungulites Apollinis* pag. 497, Petersburg: a Innenseite der Unterschale, b Wirbelrand der Oberschale.
Fig. 21—23, *Ostrea costata* pag. 500. Br. Jura ε: 21, Deckel mit Amm. Parkinsoni; 22, Dublette; 23, Deckel mit Trochus.
Fig. 24. *Ostrea urogalli* pag. 499, Maastricht, Unterschale etwas seitlich.
Fig. 25. *Ostr. irregularis* pag. 500, Unter. Lias α, von der Seite.
Fig. 26. *Ostr. acuminata* pag. 500, Greatololith, Laht, Unterschale.
Fig. 27. *Ostr. cristagalli* pag. 499, Br. Jura δ, ½ nat. Größe, Stirnanansicht.
Fig. 28. *Gryphaea obliqua* pag. 501, Ob. Lias β, Balingen.
Fig. 29—31. *Gr. calceola* pag. 502, Br. Jura β, Füninggen: 29, Schloß der Unterschale; 30, von der Seite; 31, Brut.
Fig. 32. *Anomia ephippium* pag. 504. Castel Arquato, Unterschale, b, Ansicht vom Wirbel.
Fig. 33. *Exogyra virgula* pag. 503, Kimmeridge Thon, Bruntrut.
Fig. 34. *Exogyra columba* pag. 503, Mittl. Kreide, Pyn.
Fig. 35. *Ex. spiralis* pag. 503, Weiß. Jura ε, Nattheim, von oben.
Fig. 36. *Anomia materecula* pag. 504, Wessendolomit, Freudenstadt.
Fig. 37. *Placuna* pag. 504, Lias α, Duslingen.
Fig. 38. *Pecten laevigatus* pag. 505, Muschelkalk, Wysssohr.
Fig. 39. *P. personatus* pag. 505, Br. Jura β, Aalen, Abdruck der linken Schale.
Fig. 40. *P. discites* pag. 505, Muschelkalk, Nüdersdorf, b mit Styolith.
Fig. 41. *P. cingulatus* pag. 506, Weißer Jura β, Hachingen.
Fig. 42. *P. lectorius* pag. 506, Lias α, Ellwangen, rechte Schale.
Fig. 43. *P. fibrosus* pag. 507, Bradfordclay, Kandern: a rechte, b linke Schale.
Fig. 44. *P. subspinosis* pag. 507, Nattheim, rechte Schale von innen.
Fig. 45. *P. globosus* pag. 507, Nattheim, rechte Schale von der Wirbelgegend.
Fig. 46. *P. globosus* pag. 507, Nattheim, von der Wirbelgegend.
Fig. 47. *P. priscus* pag. 507, Lias γ, Gammelshausen, rechte Schale.





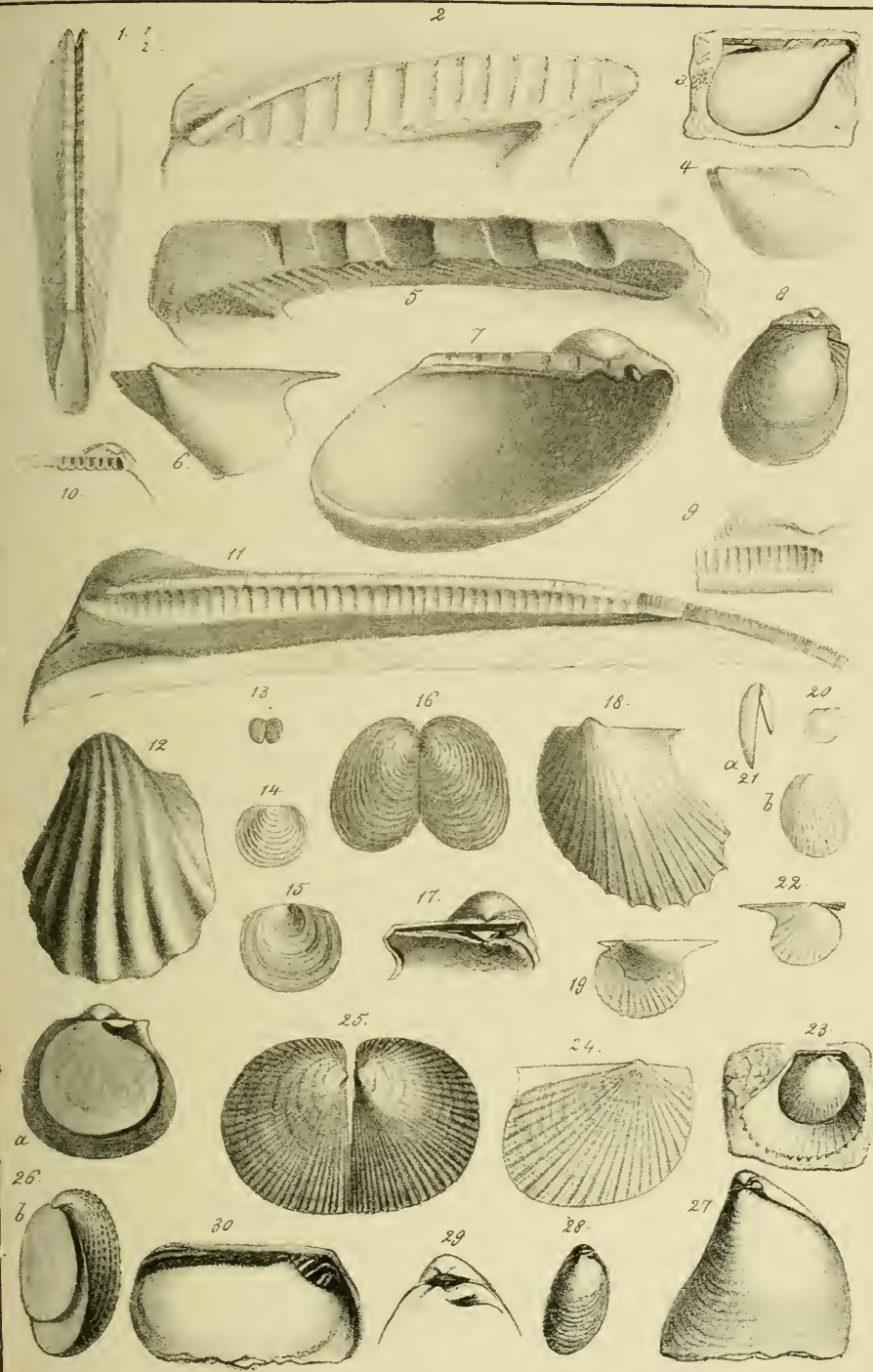
Erläuterung der Tab. 41.

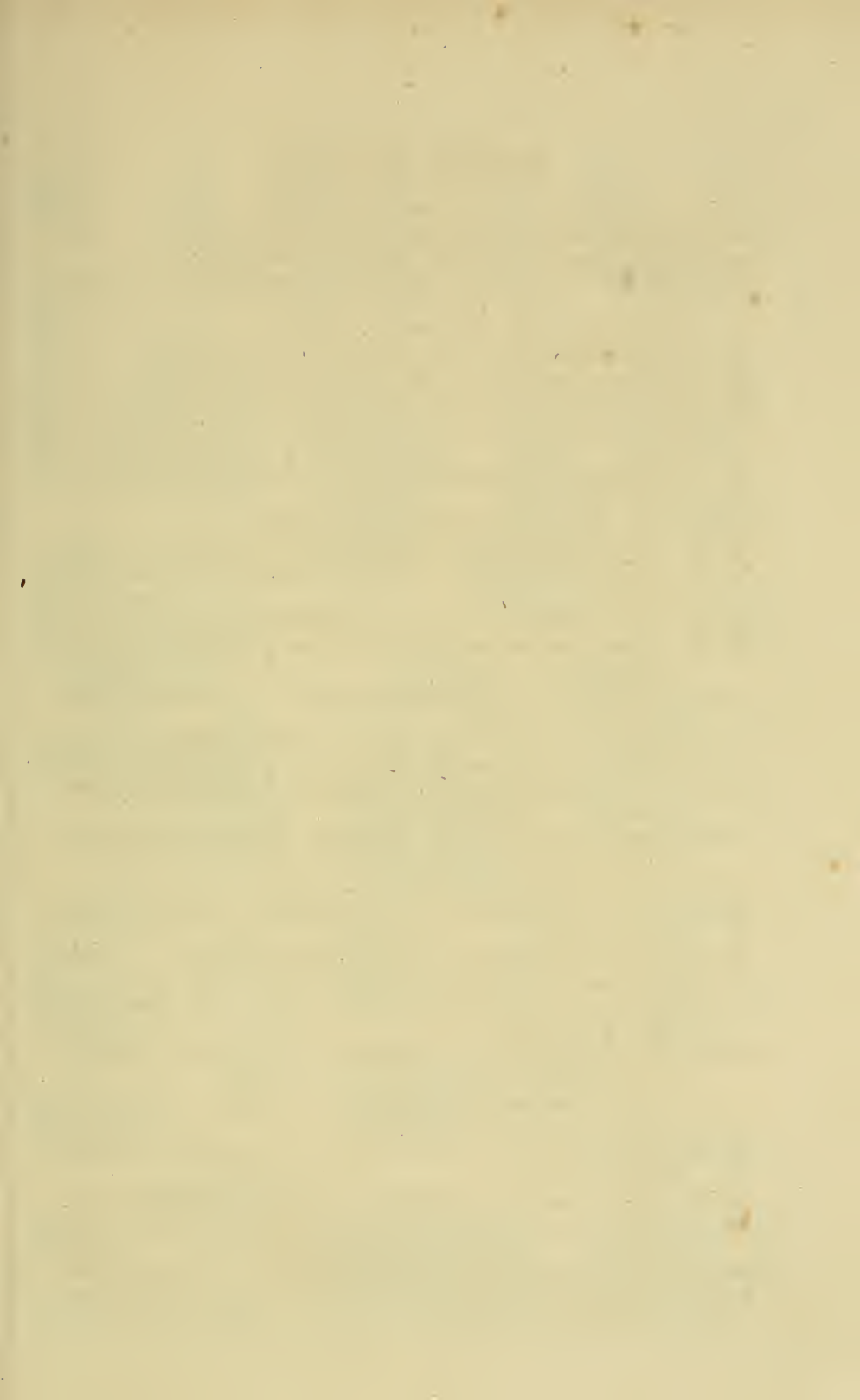
- Fig. 1. *Pecten gryphaeatus* pag. 507, Oberer Duader, Salzberg, linke Schale.
- Fig. 2. *Pecten lens* pag. 506, Braun. Jura δ, Nipf, rechte Schale.
- Fig. 3. *Pecten Albertii* pag. 506, Muschelkalk, Künzelsau, rechte Schale.
- Fig. 4. *Ostrea pectiniformis* pag. 508, Braun. Jura δ, Delsingen, $\frac{1}{2}$ nat. Größe, rechte Schale.
- Fig. 5. dito, daher, Stachelrinnen.
- Fig. 6. *Plagiostoma lineatum* pag. 509, Wellendolomit, Freudenstadt: Wirbelansicht 1 links, v. vorn.
- Fig. 7. *Plag. acuticosta* pag. 510, Lias γ: a Schloßzähne, b rechte Schale.
- Fig. 8. *Plag. duplicatum* pag. 510, Braun. Jura, Berlin: a Schloß vergrößert.
- Fig. 9. *Plag. giganteum* pag. 509, Lias α, Pforen, linke Schale.
- Fig. 10. dito, Bempflingen, Schloß der rechten Schale.
- Fig. 11. *Plag. cardiformis* pag. 509, Braun. Jura δ, Moutiers, linkes Schloß.
- Fig. 12. *Plag. gibbosa* pag. 510, Braun. Jura: a Schloß, Narau; b Rücken.
- Fig. 13. *Limea strigillata* pag. 510, Subappeninenformation, Copie nach Bronn.
- Fig. 14—16. *Spondylus aculeiferus* pag. 511, Mattheim: 14, a Wirbelansicht, b Oberschale; 15, Schloß der Ober- und 16, Schloß der Unterschale.
- Fig. 17. *Pecten tuberculosus* pag. 511, Braun. Jura δ, Bopfingen, Byssusohr, $\frac{1}{2}$ nat. Größe.
- Fig. 18. *Plagiostoma pectinoides* pag. 510, Lias α, Balingen: a Schloß.
- Fig. 19. — *duplicatum* pag. 510, Braun. Jura δ, Aalen: a Schloß.
- Fig. 20. *Plicatula spinosa* pag. 512, Mittl. Lias: a Schloß der Unterschale; b der Oberschale; c Unterschale.
- Fig. 21. *Plagiostoma spinosum* pag. 511, Bläner, Strehlen, Unterschale.
- Fig. 22. *Plicatula spinosa* pag. 512, Pont Mousson: a Schloß der Unterschale, b der Oberschale.
- Fig. 23. *Plicat. sarcinula* pag. 512, Mittler. Lias, Oberschale.
- Fig. 24. *Plicatula* pag. 512, auf *Terebratula numismalis*.
- Fig. 25. *Plicat. Parkinsoni* pag. 512, Oberschale, Braun. Jura ε.
- Fig. 26. *Plicat. armata* pag. 512, Braun. Jura δ, Esslingen, Oberschale.
- Fig. 27. *Plicat. impressae* pag. 512, Weiß. Jura α, Reichenbach; a Unterschale.
- Fig. 28. *Plicat. placunae* pag. 513, Terr. Aptien, Luxerre, Oberschale.
- Fig. 29. *Gervillia Hagenowii* pag. 514, Lias α, Halberstadt.
- Fig. 30. *Lima semisulcata* pag. 510, Duader sandstein, Quedlinburg.



Erklärung der Tab. 42.

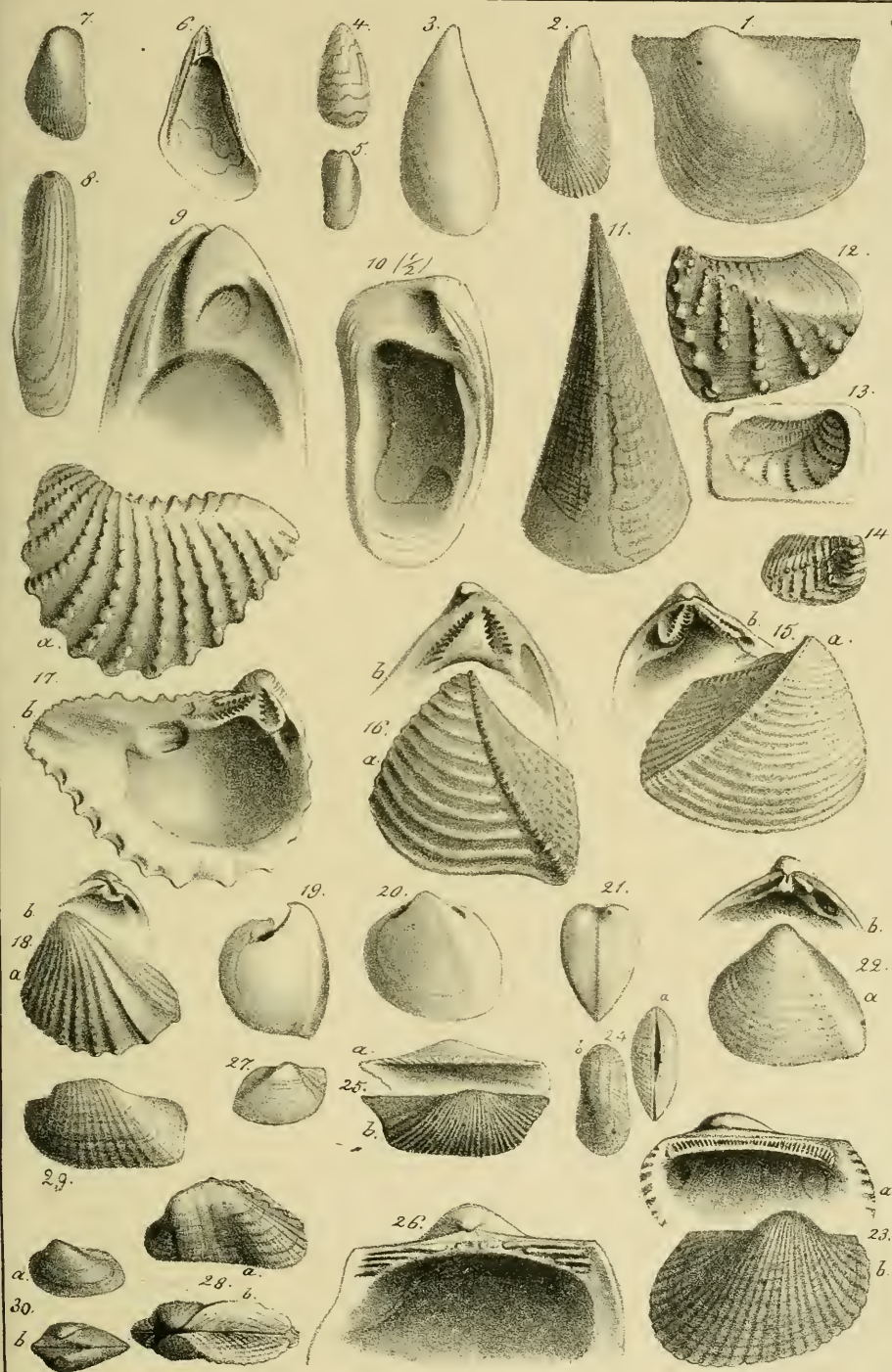
- Fig. 1 u. 2. *Perna mytiloides* pag. 514, Braun. Jura δ , Deschingen: 1, Schloß von oben; 2, Schloß der linken Schale.
- Fig. 3. *Gervillia pernata* pag. 514, Dolomit der Lettenkohle, Abdruck.
- Fig. 4. *Gervillia costata* pag. 515, Wellenkalk, Egenhausen.
- Fig. 5. *Gervillia pernoides* pag. 514, Schloß der rechten Schale, Br. Jura α .
- Fig. 6. dito, jung, Braun. Jura α , Teufelsloch bei Boll.
- Fig. 7. *Gervillia socialis* pag. 514, Muschelkalk, Waiblingen, Schloß.
- Fig. 8. *Crenatula substriata* pag. 515, Lias δ , Dörlbach.
- Fig. 9. *Inoceramus Cuvieri* pag. 516, Pläner, Strehlen, Schloßstück.
- Fig. 10. *Crenatula ventricosa* pag. 515, White Lias, Cheltenham, linkes Schloß.
- Fig. 11. *Inoceramus Cuvieri* pag. 516, Pläner, Halberstadt, Schloß.
- Fig. 12. *Inoceramus sulcatus* pag. 516, Gault, Perte du Rhone.
- Fig. 13. *Posidonia minuta* pag. 516, Dolomit der Lettenkohle.
- Fig. 14. — *Bronnii* pag. 516, Lias ε , Holzmaden.
- Fig. 15. — *gigantea* pag. 517, Weiß. Jura γ , Pfäffingen.
- Fig. 16. — *ornata* pag. 517, Braun. Jura ζ , Gammelshausen.
- Fig. 17. *Monotis Münsteri* pag. 518, Great-Dolomit, Vahr, Schloßansicht.
- Fig. 18 u. 19. *Monotis inaequivalvis* pag. 518, Lias α , Ellwangen: 18, linke, 19, rechte Schale von innen.
- Fig. 20. *Monotis substriata* pag. 518, Lias ε , Wasseralfingen, rechte Schale.
- Fig. 21. — *echinata* pag. 518, Braun. Jura, Berlin: a seitlich, b linke Schale.
- Fig. 22. *Monotis echinata* pag. 518, Braun. Jura, Hannover, rechte Schale.
- Fig. 23. — — pag. 518, Braun. Jura δ , Wiegoldingen.
- Fig. 24. — *salinaria* pag. 518, Salzgebirge, Berchtesgaden, rechte Schale.
- Fig. 25. *Halobia Lommeli* pag. 518, Wengen bei St. Cassian.
- Fig. 26. *Avicula speluncaria* pag. 519, Becksteindolomit, Glücksbrunnen.
- Fig. 27. *Avicula Mosquensis* pag. 518, Braun. Jura, Moßkau.
- Fig. 28 u. 29. *Aucella impressae* pag. 519, Weiß. Jura α , Lichtensteiner Steige; b vergrößert.
- Fig. 30. *Pterinea laevis* pag. 519, Grauwacke, Kahlenberg.

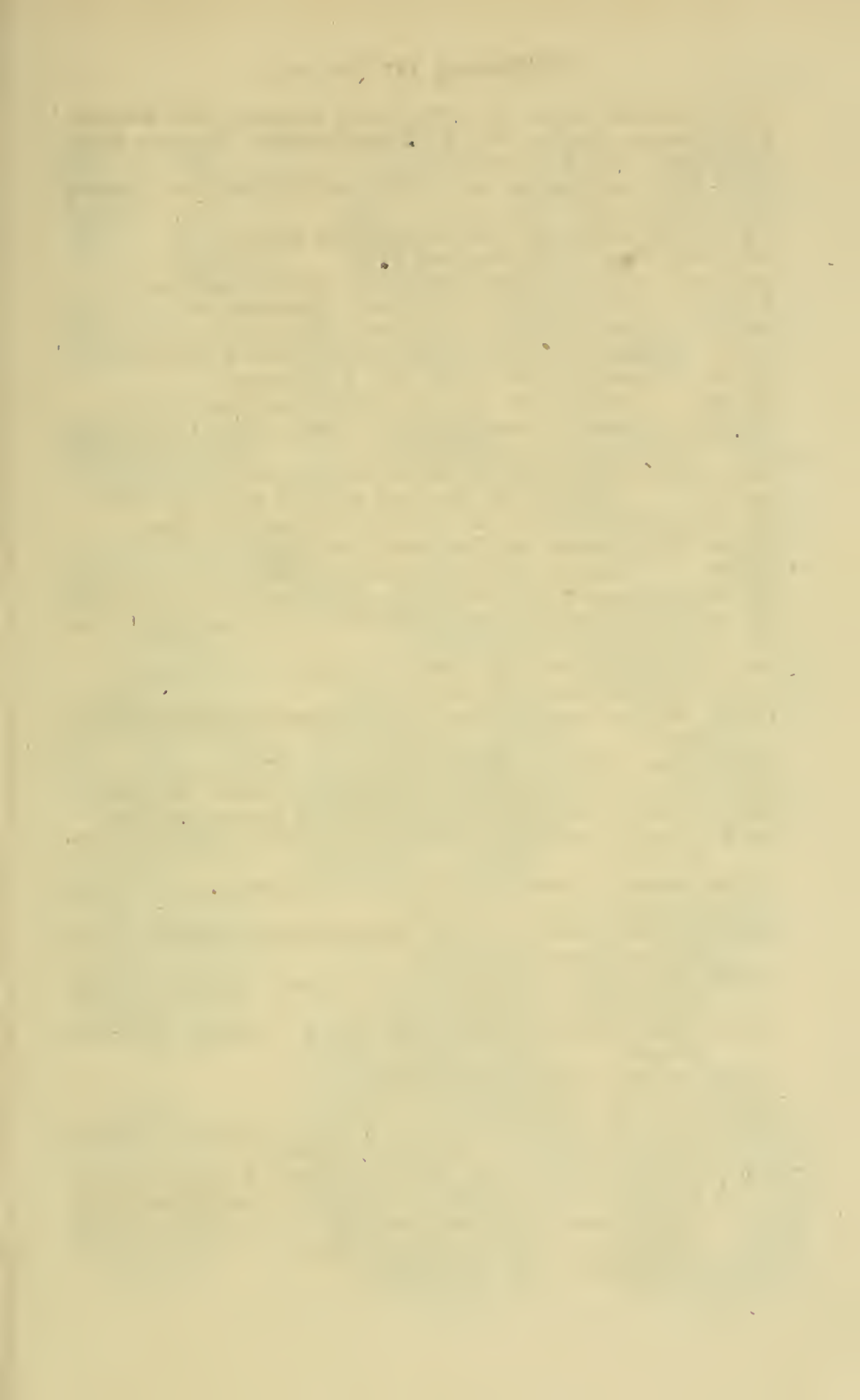




Erklärung der Tab. 43.

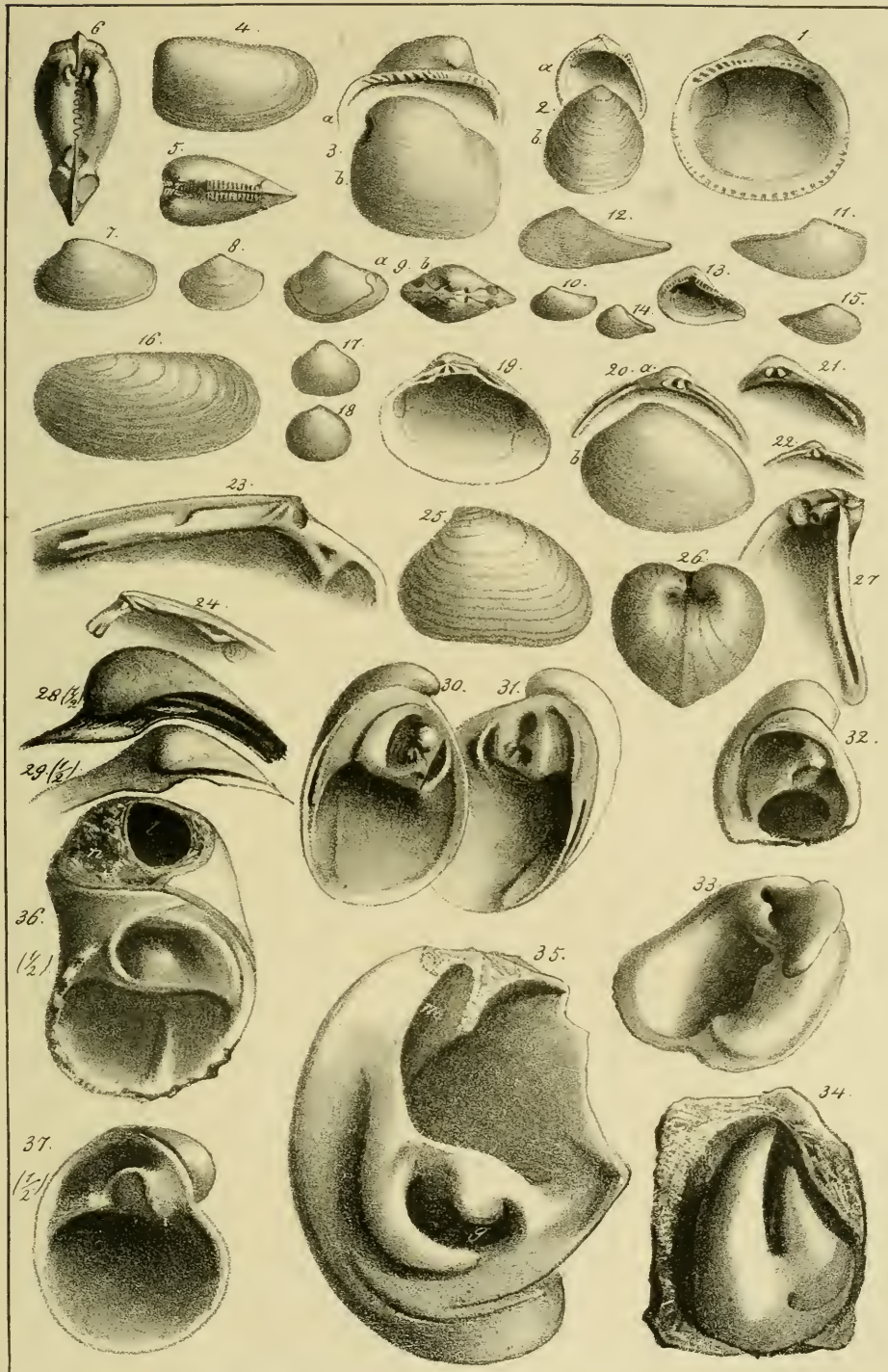
- Fig. 1. *Avicula demissa* pag. 519, Mittl. Neberg., Ohio.
Fig. 2. *Mytilus fureatus* pag. 520, Weiß. Jura ε, Mattheim.
Fig. 3. *Mytilus eduliformis* pag. 520, Hauptmuschelfalk, Künzelsau.
Fig. 4. *Mytilus Brardii* pag. 520, Tertiärgebirge, Oberkirchberg, mit Farbenstreifen.
Fig. 5. *Modiola oxynti* pag. 521, Lias β, Österdingen.
Fig. 6. *Congeria spathulata* pag. 521, Tegel, Wien, linke Valve.
Fig. 7. *Modiola striatula* pag. 521, Braun. Jura δ, Lauffen.
Fig. 8. *Mytilus lithophagus* pag. 521, Grobkalk, Copie nach Deshayes.
Fig. 9. *Myoconcha crassa* pag. 521, St. Vigor, Ob. Brauner Jura, linke Valve.
Fig. 10. *Hippopodium ponderosum* pag. 521, $\frac{1}{2}$ nat. Größe, Unterer Lias, Lewesbury.
Fig. 11. *Pinna mitis* pag. 522, Braun. Jura β, Clemis.
Fig. 12. *Trigonia navis* pag. 523, Braun. Jura α, Gundershofen.
Fig. 13. *Trigonia striata* pag. 523, im Gelben Sandsteine des Braun. Jura β, Hesselberg.
Fig. 14. *Trigonia pulchella* pag. 522, Torulosusschicht, Ihrweiler.
Fig. 15. *Trigonia monilifera* pag. 523, Weiß. Jura ε, Mattheim, rechte Valve: a vom Rücken, b Schloß.
Fig. 16. *Trigonia costata* pag. 523, Braun. Jura δ, Deschingen, linke Valve: a von außen, b Schloß.
Fig. 17. *Trigonia seabra* pag. 524, chloritische Kreide, gelb verkieft, linke Valve: a von außen, b von innen.
Fig. 18. *Trigonia Goldfussii* pag. 524, Lettenkohle, Herrenberg, linke Valve: a von außen, b Schloß.
Fig. 19. *Trigonia vulgaris* pag. 524, Wellenkalk, Egenhausen, Steinkern von der linken Seite.
Fig. 20. *Trigonia orbicularis* pag. 524, desgl., daher.
Fig. 21. *Trigonia cardissoides* pag. 525, Wellendolomit, Freudenstadt, Ansicht der Hinterseite.
Fig. 22. *Trigonia laevigata* Br. pag. 524, Muschelfalk, Nüdersdorf, mit Schale, linke Valve: a, von außen, b, Schloß.
Fig. 23. *Area diluvii* pag. 525, Subappeninenformation, rechte Valve: a von innen; b von außen.
Fig. 24. *Area modioliformis* pag. 525, Grobkalk, Gijisse-la-Mothe: a von unten, b von der Seite.
Fig. 25. *Area trisulcata* pag. 525, verkieft von Mattheim, rechte Valve: a Schloß, b von außen.
Fig. 26. *Cucullaea glabra* pag. 525, verkieft, Upper Greensand, Blackdown, linke Valve von innen.
Fig. 27. *Cucullaea concinna* pag. 526, Parkinsonschicht, Lochen, rechte Valve.
Fig. 28. *Cucullaea discors* pag. 526, verkieft, Mattheim: a linke Valve, b von oben.
Fig. 29. *Cucullaea inaequivalvis* pag. 526, Brauner Jura α, Völl, linke Valve.
Fig. 30. *Cucullaea Münsterii* pag. 526, Lias γ, Österdingen: etwas verkleinert: a rechte Valve, b von oben.

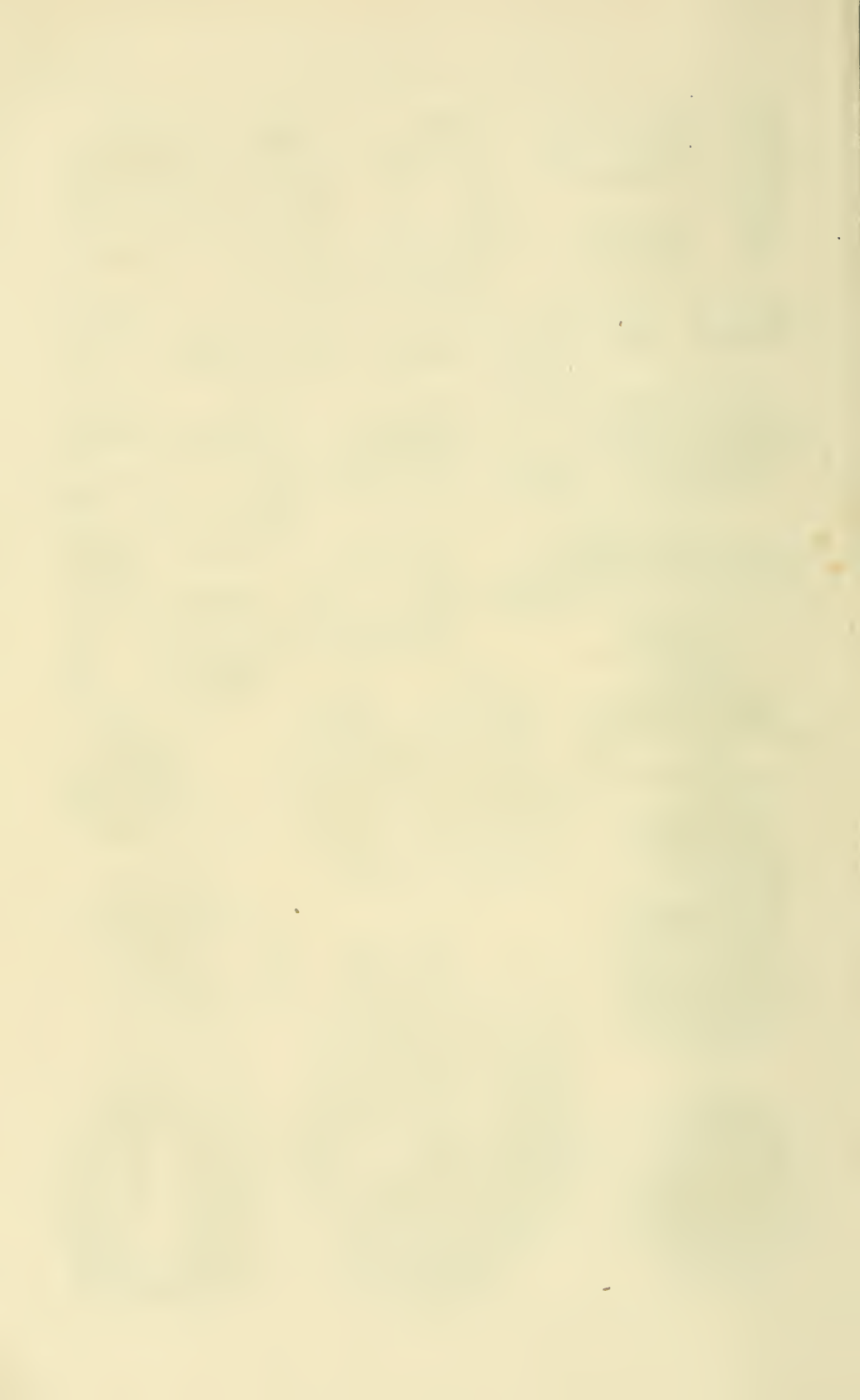




Erklärung der Tab. 44.

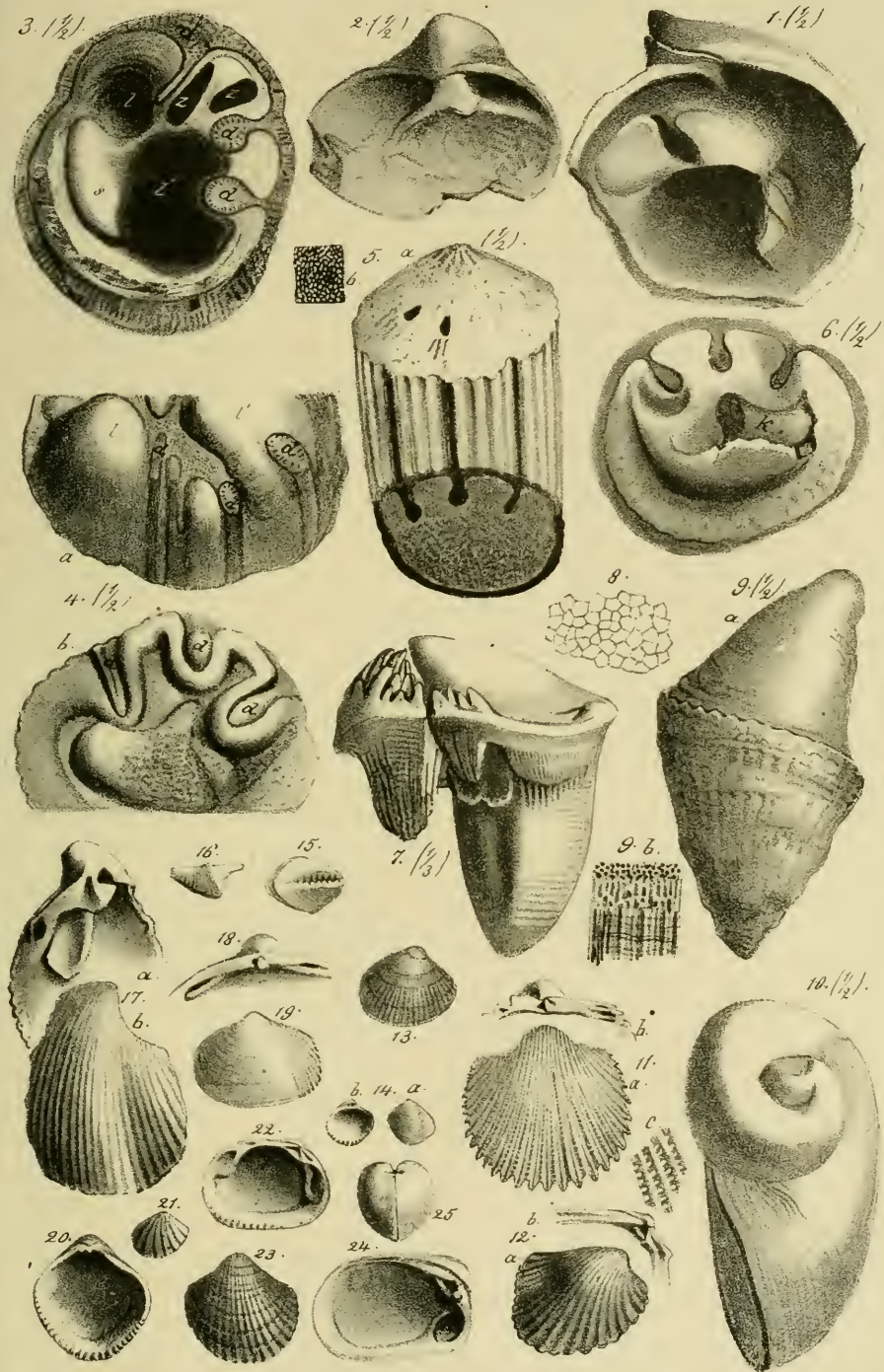
- Fig. 1. *Pectunculus sublaevis* pag. 526, verkieft, Blackdown, Upper Greensand.
- Fig. 2. *Limopsis aurita* pag. 526, Subappenninenformation, Asti, rechte Valve: a von innen, b von außen.
- Fig. 3. *Isoarea cordiformis* pag. 527, verkieft, Rathheim, linke Valve: a Schloß, b von außen.
- Fig. 4. *Nucula Hammeri* pag. 527, Torulosusschicht, Nähren.
- Fig. 5. dito, Steinkern, Opalinschicht, Böll.
- Fig. 6. *Nuc. pectinata* pag. 528, Braun. Jura, Steinkern von oben.
- Fig. 7. — *ornata* pag. 528, Brann. Jura ζ , Gammelshausen.
- Fig. 8. — *Palmae* pag. 528, Oberer Lias β , Österdingen.
- Fig. 9. — *tunicata* pag. 528, mittlerer Lias: a seitlich, b von oben.
- Fig. 10. — *inflexa* pag. 528, Oberer Lias β , Österdingen.
- Fig. 11. — *complanata* pag. 528, Amaltheenthon, Hachingen.
- Fig. 12 u. 13. *Nucula claviformis* pag. 529, Torulosusschicht: 12 von außen, Banz; 13 von innen, Schönberg.
- Fig. 14. *Nucula lacryma* pag. 529, Braun. Jura ε , Stuifen.
- Fig. 15. — *striata* pag. 529, Legel von Baden bei Wien, rechte Valve.
- Fig. 16. *Anodontia lettica* pag. 529, Lettenkohle, Gaisdorf, linke Valve.
- Fig. 17. *Cyclas Keuperina* pag. 530, Keuper, Nottmünster.
- Fig. 18. — *orbicularis* pag. 530, Wäldeorthon, Deister.
- Fig. 19. *Cyrena subarata* pag. 530, Tertiär., Alzey, Schloß der rechten Valve.
- Fig. 20. — *donacina* pag. 530, Wäldeorthon, Deister, linke Valve: a von innen, b von außen.
- Fig. 21. *Cyrena* pag. 530 desgl., daher: rechte Valve.
- Fig. 22. — pag. 530, desgl., daher.
- Fig. 23. *Thalassites concinnus* pag. 531, Lias α , Göppingen, Schloß der linken Valve.
- Fig. 24. Desgl., Schloß der rechten Valve.
- Fig. 25. *Thalassites Listeri* pag. 531, Unter Lias α , Tübingen, linke Valve.
- Fig. 26. *Isocardia minima* pag. 531, Braun. Jura δ , Dettingen, von vorn.
- Fig. 27. *Megalodon carinatus* pag. 532, Devonisch, Bensberg, Schloß der rechten Valve.
- Fig. 28. *Isocardia concentrica* pag. 532, Braun. Jura β , Wasseralfingen, Schloß der rechten Valve, $1/2$ nat. Größe.
- Fig. 29. *Isocardia excentrica* pag. 532, Kimmeridge Thon, Pruntrut, Schloß der linken Valve, $1/2$ nat. Größe.
- Fig. 30 u. 31. *Megalodon cucullatus* pag. 532, Devonisch, Bensberg: 30 linke, 31 rechte Valve von innen.
- Fig. 32. *Chama Münsteri* pag. 533, Weiß. Jura ζ , Kehlheim: Schloß der Unterschale.
- Fig. 33. dito, daher, Schloß der Oberschale.
- Fig. 34. dito, daher, Steinkern.
- Fig. 35. *Diceras Lucii* pag. 533, Kehlheim, Oberschale (rechte) von innen, der Wirbel nach unten: g Schloßgrube, m Muskelleiste.
- Fig. 36 u. 37. *Diceras arietina* pag. 534, Ob. weiß. Jura, Pruntrut: 36 Unterschale am Wirbel abgebrochen, daher tritt der mit Kalkschlamm gefüllte Raum I hervor, worin Fleisch vom Thier lag, der Nebenraum n ist dagegen mit Kristallen gefüllt, und gehört der Dicke der Schale; 37 Oberschale. Beide $1/2$ nat. Größe.

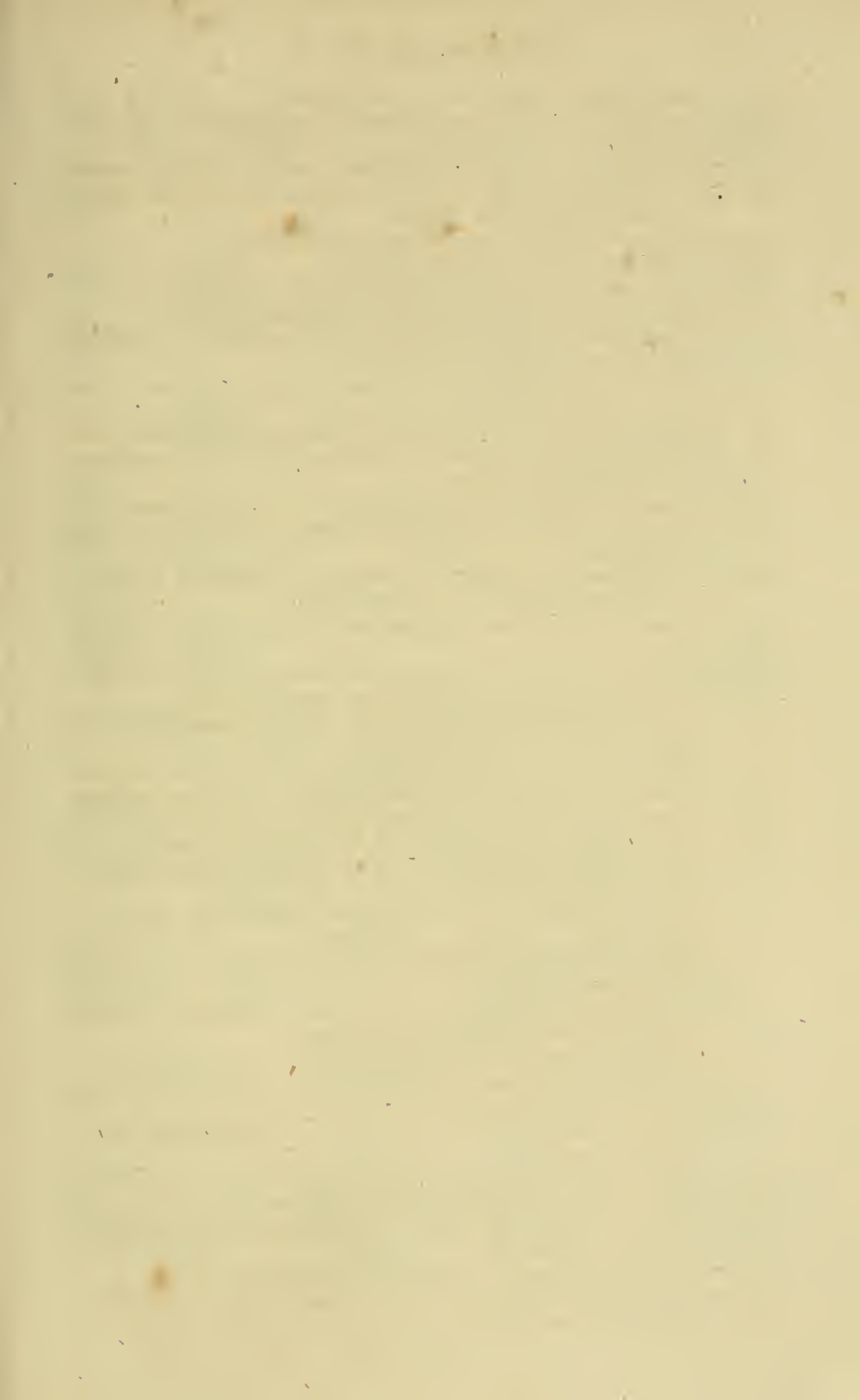




Erklärung der Tab. 45.

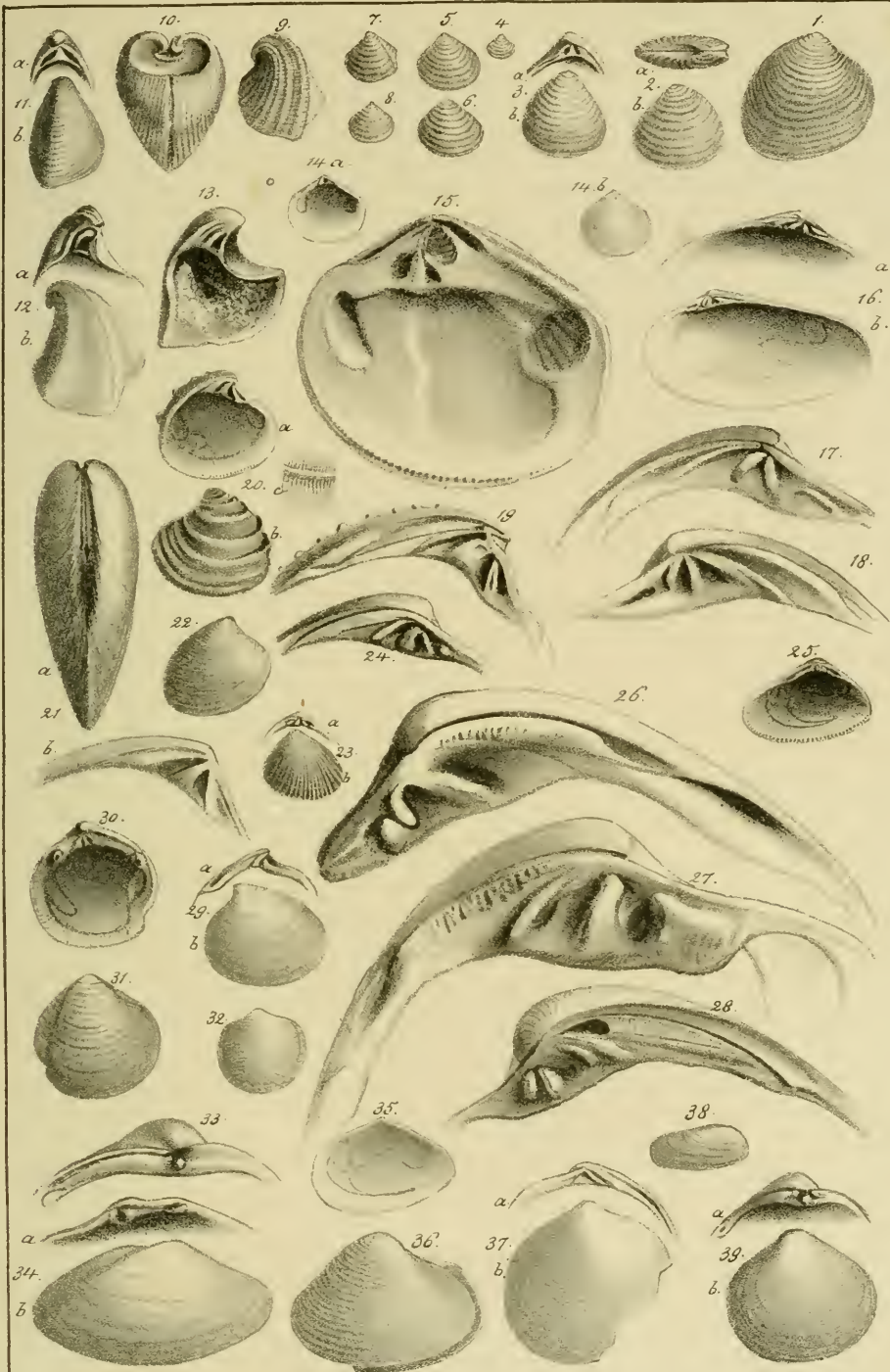
- Fig. 1 u. 2. Caprina Partschii pag. 535, Obere Kreide, St. Wolfgang, $\frac{1}{2}$ nat.
Größe: 1 Schloß der Unterschale, 2 Schloß der Oberschale.
- Fig. 3 u. 4. Hippurites cornuvaccinum pag. 536, Obere Kreides., $\frac{1}{2}$ natürl.
Größe; 3 Gosau, Unterschale ohne Deckel von oben: z z tiefe Bahngruben; l' l großer und kleiner Raum für das Thier, s scheint auch zum Schloß zu gehören, d d Duplicaturen; 4 vom Untersberg, Steinfern, der ein Bild von der Form des Thieres giebt: a von unten, b von oben.
- Fig. 5. Hippurites bioculatus pag. 538, Gosau, unten angeschliffen, $\frac{1}{2}$ natürl.
Größe: b zeigt die löscherige Structur des Deckels.
- Fig. 6. Desgleichen, daher, Deckel von der Innenseite: die Duplicaturen erscheinen als Bergmasse, k ist Steinfern, das liebliche Schalensubstanz.
- Fig. 7. Radiolites Höninghausii pag. 538, $\frac{1}{3}$ nat. Größe, obere Kreide von Royan, Copie nach Goldfuß.
- Fig. 8. Vergrößerte Struktur der Unterschale eines Radioliten von Lissabon.
- Fig. 9. Radiolites bicornis pag. 539, Ob. Kreideformation, Untersberg, $\frac{1}{2}$ nat.
Größe, b Struktur der Unterschale.
- Fig. 10. Caprotina ammonia pag. 535, Neocomien, $\frac{1}{2}$ nat. Größe, von der Seite.
- Fig. 11. Cardium porulosum pag. 540, Grobkalk, Grignon; a von oben, b Schloß, c vergrößerte Lippenzeichnung.
- Fig. 12. Cardita crenata pag. 541, St. Castan: a von außen, b Schloß.
- Fig. 13. Cardium multicostatum pag. 541, Lias γ, Österdingen, sehr großes Exemplar.
- Fig. 14. Cardita extensa pag. 541, verkieft, Nattheim.
- Fig. 15 u. 16. Cardium aliiforme pag. 541, Übergangskalk, Eifel: 15 von unten, 16 seitlich.
- Fig. 17. Cardium cochleatum pag. 540, Ob. weiß. Jura von Kehlheim, hintere Hälfte der linken Schale: a von innen, b von außen.
- Fig. 18. Cardium hillanum pag. 540, Upper Greensand, Blackdown, Schloß der rechten Valve.
- Fig. 19. Cardium truncatum pag. 540, Opalinusschicht, Voll, linke Valve.
- Fig. 20. Cardita tetragona pag. 541, verkieft, Nattheim, rechte Valve von innen.
- Fig. 21. Cardium palmatum pag. 542, rother Goniatitenkalk, Oberscheld.
- Fig. 22. Cardita ovalis pag. 542, verkieft, Nattheim, linke Valve von innen.
- Fig. 23. Cardiola interrupta pag. 542, schwarzer Übergangskalk von Veraun.
- Fig. 24. Cardita megalodonta pag. 542, ober. braun. Jura von Moutiers (Calvados), linke Valve von innen, etwas verkleinert.
- Fig. 25. Venus tenuistria verkieft, Nattheim.





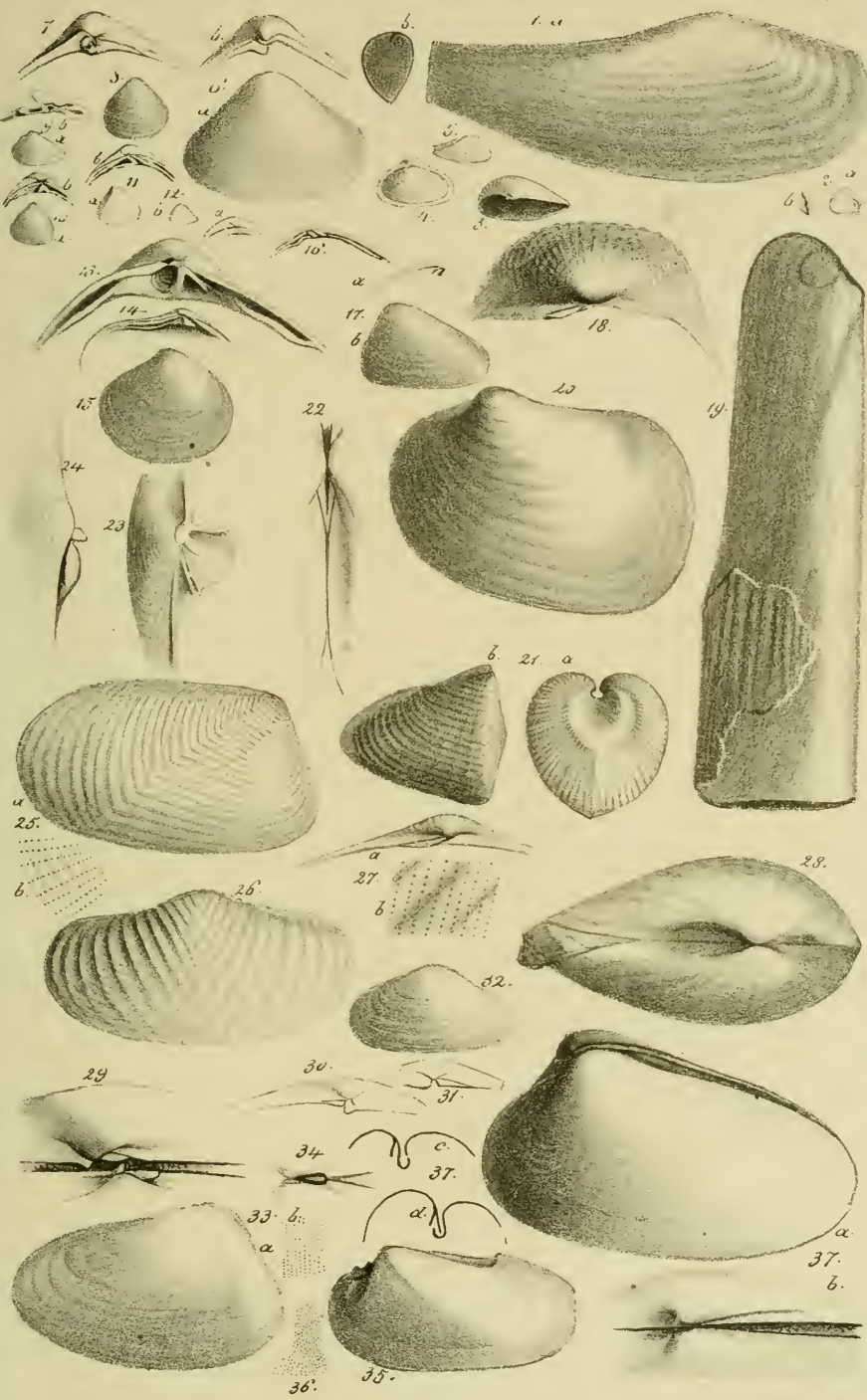
Erklärung der Tab. 46.

- Fig. 1. Astarte complanata pag. 542, Lias α , Tübingen.
Fig. 2. Ast. depressa Goldf. pag. 543, Braun. Jura ε , Meßingen: a von vorn, b seitlich.
Fig. 3. Ast. Voltzii pag. 543, Torulosenschicht, Gomaringen: a Schloß, b seitlich.
Fig. 4—6. Astarte pumila pag. 543, Braun. Jura: 4 und 5 von Berlin, 6 Parkinsonschicht an der Alchalm.
Fig. 7. Ast. undata pag. 543, Ornatenthon, Gammelshausen.
Fig. 8. Ast. zeta pag. 543, Weißer Jura ζ , Ulm.
Fig. 9. Opis striata pag. 544, verfieselt, Weiß. Jura ε , Wittlingen.
Fig. 10. Opis lunulata pag. 544, Eisenoolith, St. Vigor, von vorn.
Fig. 11. Opis similis pag. 544, Braun. Jura, in Jurageschichten von Berlin, rechte Valve: a Schloß, b von außen.
Fig. 12. Opis cardisoides pag. 544, Mattheimer Varietät, linke Valve: a von innen, b von außen.
Fig. 13. Cardita lunulata pag. 544, Mattheimer Varietät, linke Valve von innen.
Fig. 14. Crassatella trigonata pag. 545, Grobkalk, Chateau rouge, rechte Valve: a von innen, b vom Rücken.
Fig. 15. Crassatella tumida pag. 545, Grobkalk, rechte Valve von innen.
Fig. 16. Cytherea laevigata pag. 545, Grobkalk, Grignon, von innen: a linke, b rechte Valve.
Fig. 17 u. 18. Cytherea plana pag. 546, verfieselt, Upper Greensand, Blackdown, 17 Schloß der linken, 18 der rechten Valve.
Fig. 19. Venus plicata pag. 246, Subappenninenformation, Schloß der linken Valve.
Fig. 20. Venus dysera pag. 546, Subappenninenformation: a, Tegel von Wien, b, Aßt, c, Streifung unter der weggebrochenen Oberschicht.
Fig. 21. Venerites trigonellaris pag. 548, Braun. Jura α , Gundertshofen: a von hinten, b Schloß der linken Valve.
Fig. 22. Venus faba pag. 548, Ob. Grünsand, Kießlingswalde, etwas verkleinert.
Fig. 23. Venus radiata pag. 547, jungtertiär, Sizilien: a von außen, b Schloß.
Fig. 24. Cytherea Brauni pag. 547, Tertiärgebirge, Alsace, linke Valve.
Fig. 25. Donax trunculus pag. 552, lebt im Mittelmeer, rechte Valve.
Fig. 26 u. 27. Cyprina angulata pag. 547, Upper Greensand, Blackdown, Schloß: 26 rechte, 27 linke Valve.
Fig. 28. Venus Brocchii pag. 547, Subappenninenformation, Aßt, Schloß der rechten Valve.
Fig. 29. Venus nuda pag. 548, Muschelkalk, Marbach, linke Valve: a Schleß, b von außen.
Fig. 30 u. 31. Lucina columbella pag. 549, jüngeres Tertiärgebirge, Sancats, rechte Valve: 30 von innen, 31 von außen.
Fig. 32. Lucina divaricata pag. 549, Tegel bei Wien.
Fig. 33. Corbula cordioides pag. 550, Eisenoolith, Montiers (Calvados), Schloß der linken Valve.
Fig. 34. Pullastra obliqua pag. 550, Braun. Jura β , Heinlingen, rechte Valve: a Schloß, b außen.
Fig. 35. Tellina planata pag. 551, lebt bei Venedig, Inneres der rechten Valve.
Fig. 36. Tellina pag. 551, Krebscheerenkalk, Söflingen.
Fig. 37. Lucina plana pag. 549, Braun. Jura α , Gundertshofen, rechte Valve: a Schloß, b Außenseite.
Fig. 38. Saxicava dactylus pag. 553, Subappenninenformation, Grasse.
Fig. 39. Lucina semicardo pag. 550, verfieselt von Mattheim, rechte Valve: a Schloß, b von außen.



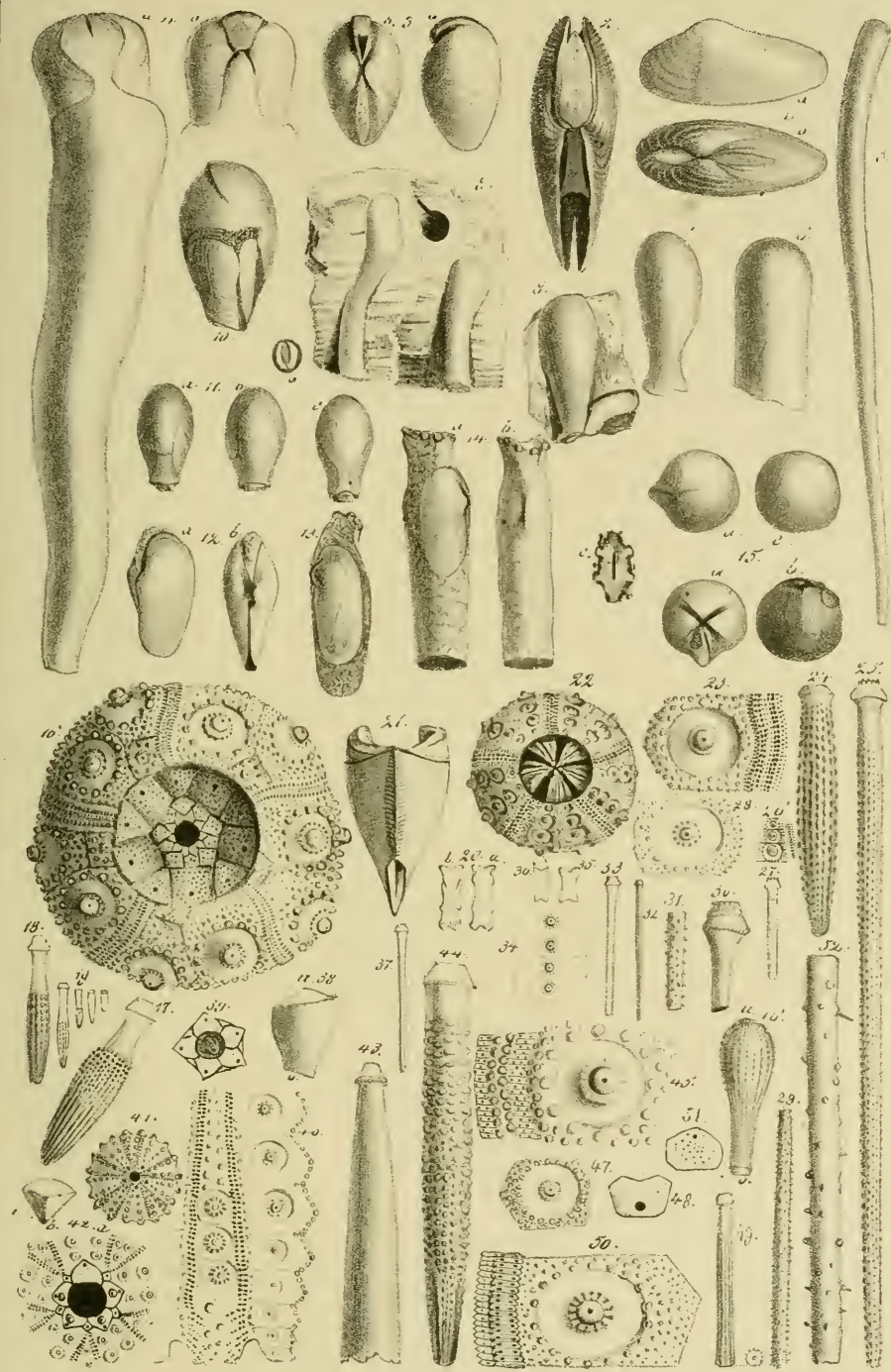
Erklärung der Tab. 47.

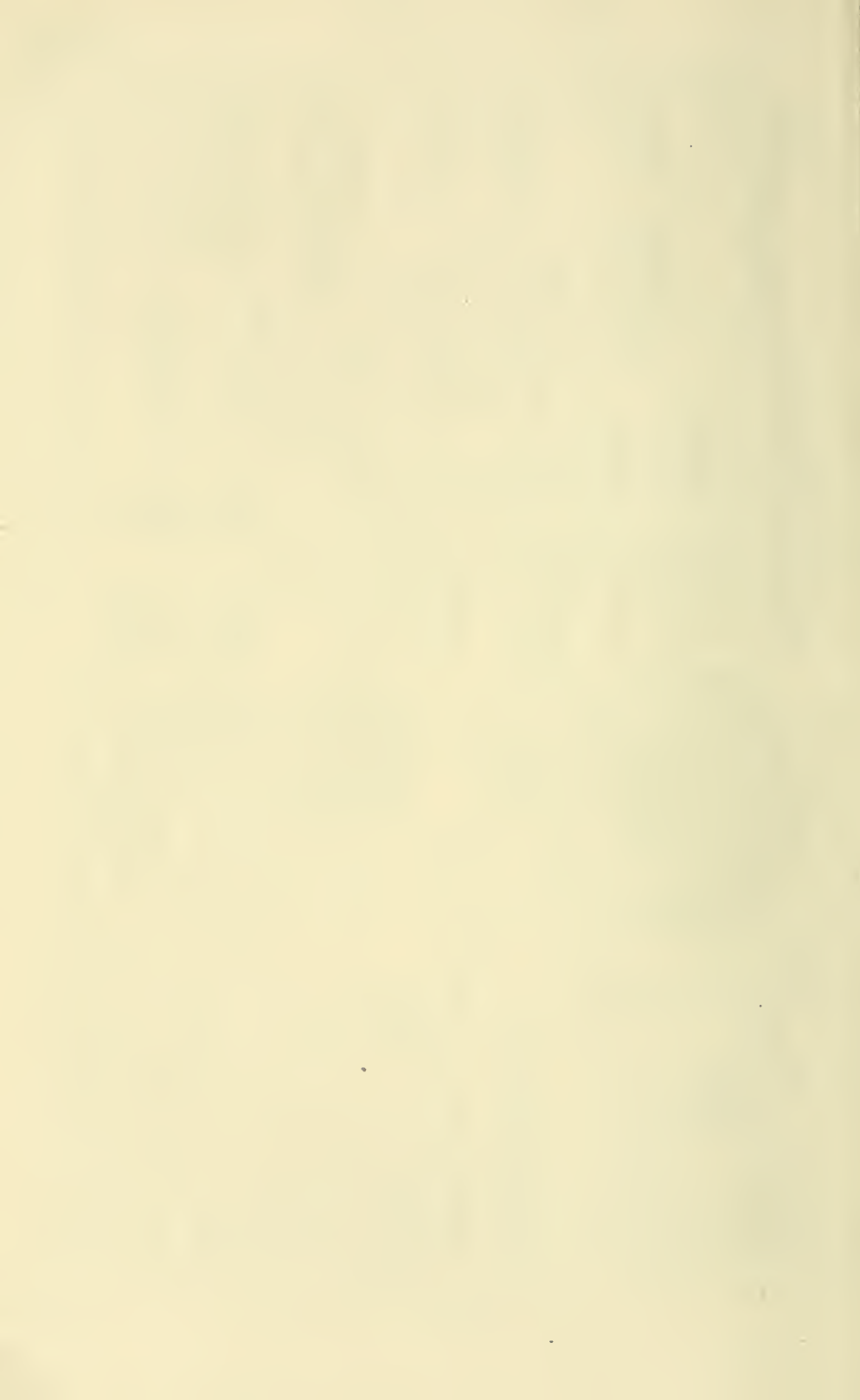
- Fig. 1. *Sanguinolaria undulata* pag. 552, Br. Jura δ , Oeschingen: a Seitenansicht, b Schnitt des abgebrochenen Hinterendes.
- Fig. 2. *Corbula elegans* pag. 553, Ob. Grünsand, Blackdown: a von oben, b von hinten.
- Fig. 3. *Corbula umbonella* pag. 553, Unterschale, Pariser Becken, Auvert's.
- Fig. 4. — *nucleus* pag. 553, jungtertiär, Sciacca auf Sicilien.
- Fig. 5. — *angulata* pag. 553, vom Rücken, Pariser Becken.
- Fig. 6. — *gallica* pag. 553, Grobfalk, Parnes.
- Fig. 7. *Thetis laevigata* pag. 553, Ob. Grünsand, Blackdown.
- Fig. 8. *Corbula rotundata* pag. 553, über der Braunkohle von Österweddingen.
- Fig. 9. *Donax?* pag. 555, Jurageschiebe bei Berlin, rechte Schale: a von hinten, b Schloß vergrößert.
- Fig. 10 u. 11. *Corbula obscura* pag. 555, Brauner Jura β , Heiningen: 10 linke, 11 rechte Valve, b ihr Schloß.
- Fig. 12. *Nucula abbreviata* pag. 555, Jurageschiebe, Berlin, linke Valve: a vergrößertes Schloß, b natürl. Größe.
- Fig. 13. *Mactra stultorum* pag. 554, lebt im Mittelmeer.
- Fig. 14 u. 15. *Lucina aliena* pag. 555, Jurageschiebe, Berlin: 14 Schloß der rechten Valve, 15 linke Valve.
- Fig. 16 u. 17. *Mesodesma Germari* pag. 555, Lias α , Sperlingsberg: 16 Schloß der rechten, 17. a der linken Valve, b von außen.
- Fig. 18. *Pholadomya Murchisoni* pag. 559, Schloß der linken Valve, St. Vigor.
- Fig. 19. *Solen pelagicus* pag. 556, Eifel, oberes Niederganggebirge.
- Fig. 20. *Panopaea regularis* pag. 557, Chloritische Kreide, la Malle.
- Fig. 21. *Pholadomya clathrata* pag. 559, Mittl. Weiß. Jura.
- Fig. 22. — *Voltzii* pag. 558, Br. Jura α , Gundershofen.
- Fig. 23. *Mya arenaria* pag. 557, lebt in der Nordsee, Schloß der linken Valve.
- Fig. 24. *Panopaea Faujasii* pag. 557, Ästii, Schloß der rechten Valve.
- Fig. 25. *Goniomya ornata* pag. 560, Gammelshausen, Ornamentthon, b vergrößertes Schalenstück.
- Fig. 26. *Goniomya Vscripta* pag. 561, Braun. Jura α , Boll.
- Fig. 27. — *angulifera* pag. 561, daher: a Schloß, b vergrößerte Schale.
- Fig. 28. *Pholadomya ambigua* pag. 558, Lias α , Tübingen.
- Fig. 29 u. 30. *Myacites jurassi* pag. 561, Br. Jura, St. Vigor, Schlosser.
- Fig. 31 u. 32. *Mya aequata* pag. 562, Braun. Jura β , Heiningen.
- Fig. 33 u. 34. *Lutraria striatopunctata* pag. 562, Braun. Jura δ , Neichenbach, 33 b vergrößerte Streifen, 34 Ligament.
- Fig. 35. *Thalassites?* pag. 563, oberer Muschelfalkdolomit, Rottweil (v. Alberti).
- Fig. 36. *Unio abductus* pag. 562, Braun. Jura α , Boll, Punkte der Schale.
- Fig. 37. *Myacites Alduini* pag. 562, mittl. Brauner Jura: a mit Mantel einschlag, b Schloß, c u. d Querschliffe, welche den Verlauf der Schale und des Schlosses im Innern zeigen.



Erklärung der Tab. 48.

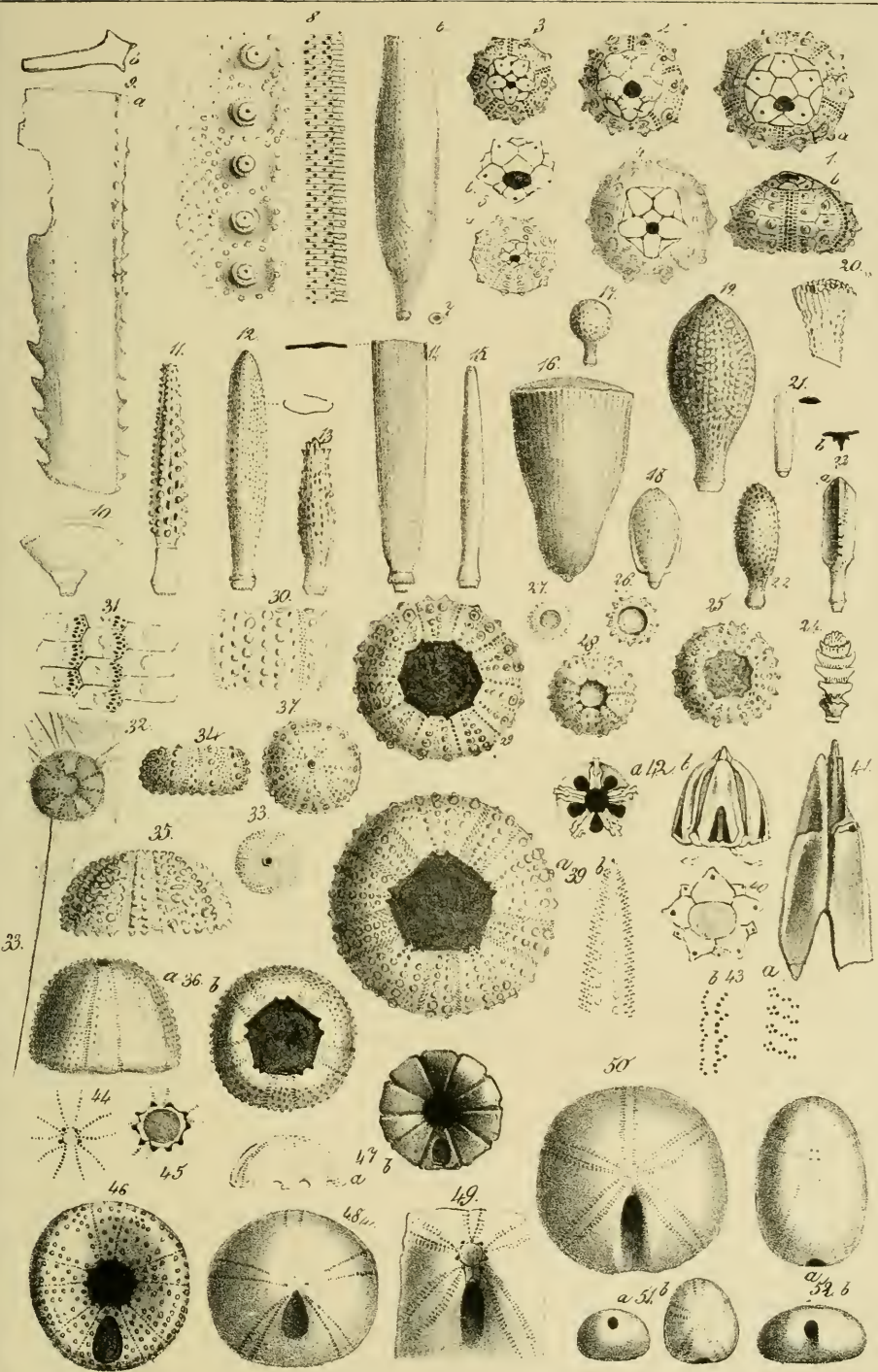
- Fig. 1. Myacites inaequivalvis pag. 564, Wellendolomit, Freudenstadt.
Fig. 2. Pholas candida pag. 565, lebt in der Nordsee, vom Rücken.
Fig. 3. Pholas pag. 565, Molasse, Häusen bei Pfullendorf: a seitlich, b vom Rücken.
Fig. 4. Teredina personata pag. 565, Plastischer Thon bei Epernay: a Bauchseite, b Rücken.
Fig. 5. Teredo navalis pag. 565, jüngste Tertiärformation von Woodstone in New-Jersey.
Fig. 6. Teredo pag. 565, Subalpinische Tertiär-, Kressenberg.
Fig. 7. Fistulana pag. 565, Molasse bei Cl. Wald.
Fig. 8. — pag. 566, Braun. Jura γ von Gingin an der Sihl.
Fig. 9. Teredo pag. 565, über der weißen Kreide von Rielsk.
Fig. 10. Fistulana pag. 566, Molasse von St. Gallen.
Fig. 11. Desgl., daher: a vom Rücken, b von der Seite, c von unten, d von hinten.
Fig. 12. dito, daher: innere Muschel.
Fig. 13 u. 14. Clavagella coronata pag. 566, Tertiärgeb., Österweddingen: 13 freigelegte Muschel; 14. a von der Seite, b vom Rücken, c von vorn.
Fig. 15. Teredina Hoffmanni pag. 566, Österweddingen in 4 Ansichten.
Fig. 16—21. Cidarites coronatus γ pag. 572, Weißer Jura γ: 16 von oben mit vollständigen Aftertafeln; 17—19 zugehörige Stacheln; 20 Balken, a von oben, b von unten; 21 zwei Pyramidenknochen, unten mit Bahn, oben mit 2 Bogenstückern.
Fig. 22. Cidarites maximus pag. 573, aus dem Eisenoolith von Franken mit Laterna.
Fig. 23 u. 24. Cidarites coronatus pag. 572, Weiß. Jura ε, Nattheim.
Fig. 25. Cidarites histricoides pag. 572, Weiß. Jura ε, Ulm.
Fig. 26. — jurensis pag. 574, Torulosenschicht des br. Jura α, Schömberg.
Fig. 27. — — pag. 574, Lias ζ, Heiningen.
Fig. 28—30. Cid. amalthei pag. 574, Lias δ: 28 u. 29 Gammelshausen, 30 Donau-Mainkanal.
Fig. 31 u. 32. Cidarites arietis pag. 574, Lias α, 31 Düsseldorf, 32 aus den Pöllonotusbänken von Tübingen.
Fig. 33—37. Cid. grandaeus pag. 574, Muschelkalk: 33 Tullau, 34 Asseln, 35 u. 36 Balken aus dem Wellendolomit.
Fig. 38. Cidaritenstachel pag. 575, in aufrechter Stellung, aus der Eifel.
Fig. 39. Cidarites crenularis pag. 575, Terrain à Chailles, Mont Terrible, Eiertafeln.
Fig. 40. Cid. serialis pag. 576, Weiß. Jura ε, Nattheim, das Ambulacrum gestreift gezeichnet.
Fig. 41. Cid. aequituberculatus pag. 576, Nattheim.
Fig. 42. Cid. formosus pag. 576, Nattheim: a von oben, b Querschnitt eines Stachels.
Fig. 43. Cid. crenularis pag. 575, Nattheim, Weiß. Jura ε.
Fig. 44. Cid. pustuliferus pag. 573, Weiß. Jura ε, Ulm.
Fig. 45. Cid. giganteus pag. 573, Weiß. Jura ε, Ulm.
Fig. 46. Cid. claviger pag. 575, Weiße Kreide, Kent.
Fig. 47 u. 48. Cid. vesiculosus pag. 575, Weiße Kreide, Rügen.
Fig. 49. Cid. vesiculosus pag. 575, Stachel von Trohnhausen.
Fig. 50—52. Cid. nobilis pag. 572, Ob. Weißer Jura: 50 Assel von Nattheim; 51 Eiertäfelchen; 52 Stachelsestück in verkehrter Stellung, von der Kapfenburg bei Lauchheim.





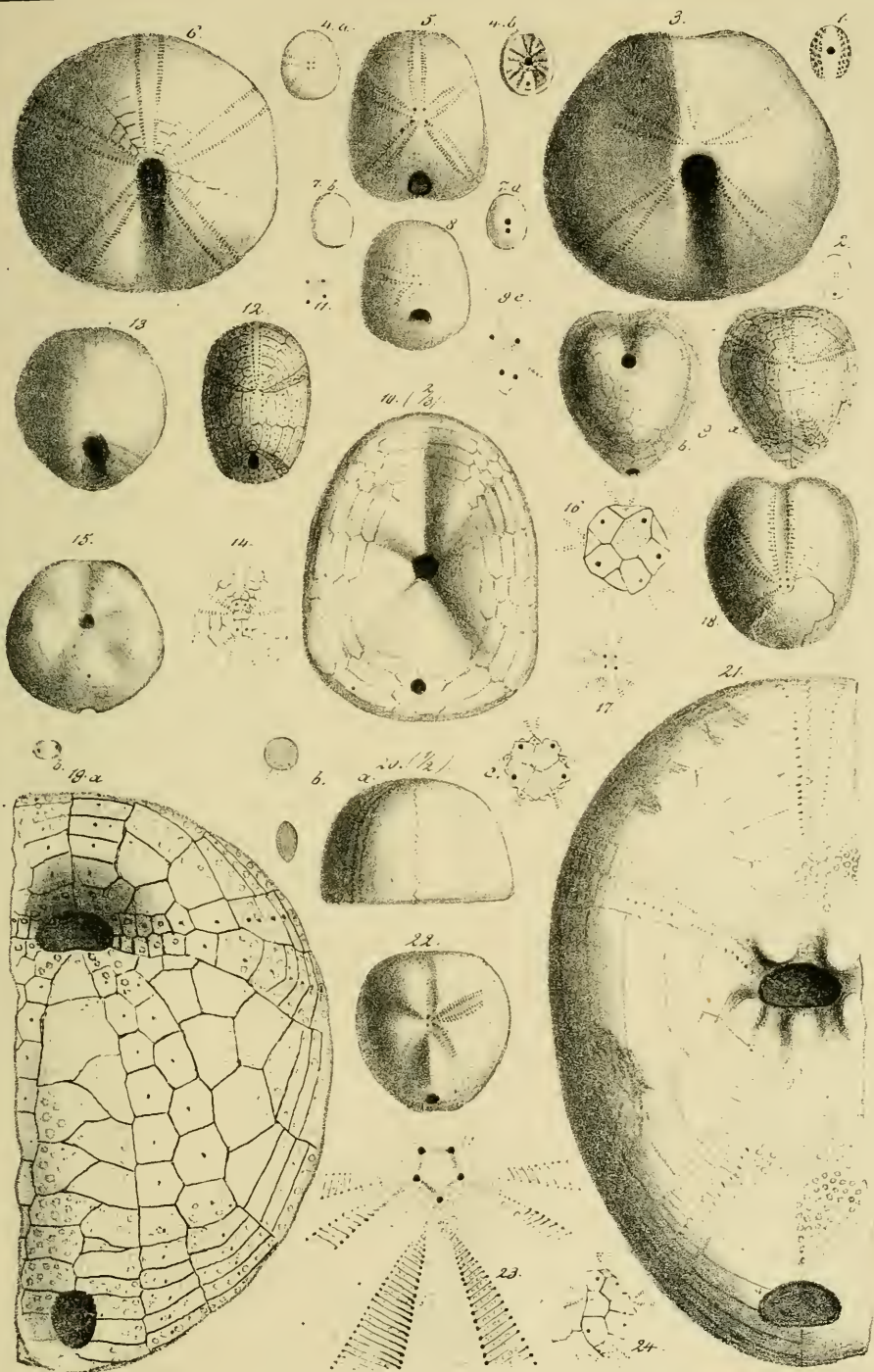
Erläuterung der Tab. 49.

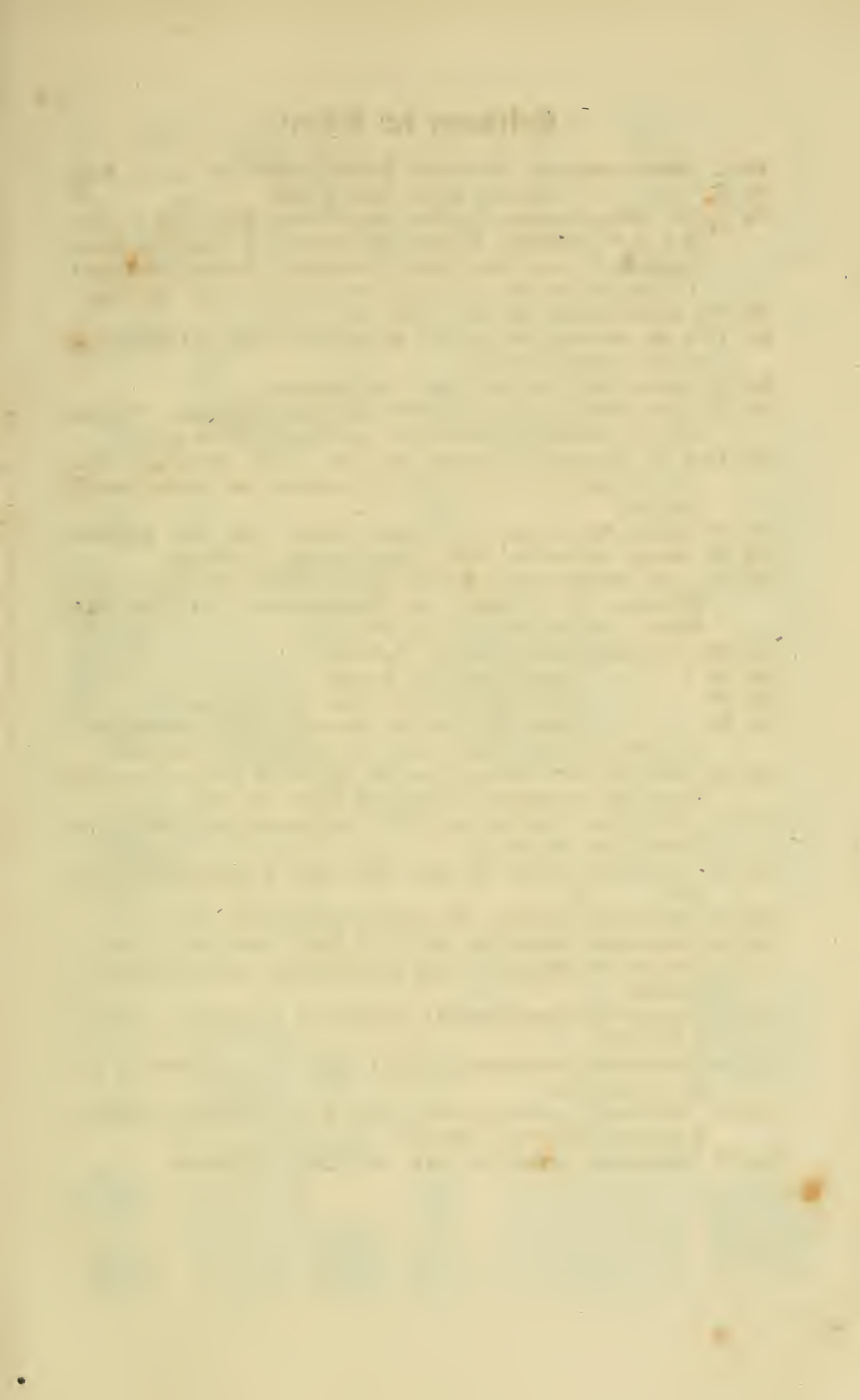
- Fig. 1. *Salenia areolata* pag. 576, oberer Quader, Salzberg bei Quedlinburg:
a von oben; b von vorn.
- Fig. 2. *Salenia Studeri* pag. 576, Gault der Perte du Rhône.
- Fig. 3 u. 4. *Salenia interpunctata* pag. 576, Weiß. Jura ε, Nattheim.
- Fig. 5. *Salenia spinosa* pag. 576, Braun. Jura δ, a Hummel bei Waldenburg, b Copie nach Agassiz.
- Fig. 6 u. 7. *Cidarites cylindricus* pag. 578, Weiß. Jura γ, Lochen, 7 untere Gelenkfläche.
- Fig. 8. *Cidarites alternans* pag. 573, Weiß. Jura ε, Nattheim.
- Fig. 9. — *trispinatus* pag. 573, Nattheim, b Querschnitt.
- Fig. 10. — *Buchii* pag. 578, St. Cassian, Stachel.
- Fig. 11. — *tuberculosus* pag. 578, Weiß. Jura ε, Ulm.
- Fig. 12. — *cucumis* pag. 578, Weiß. Jura γ, Lochen.
- Fig. 13. — *elegans* pag. 578, Weiß. Jura ε, Ulm.
- Fig. 14. — *fistulosus* pag. 578, desgl., daher.
- Fig. 15. — *subteres* pag. 578, desgl., daher.
- Fig. 16. — *conoideus* pag. 577, Coralrag, verklebt, Nicolsburg.
- Fig. 17. — *globiceps* pag. 577, Kreideform., Essen.
- Fig. 18. — *alatus* pag. 579, St. Cassian, Stachel.
- Fig. 19. — *glandarius* pag. 577, Coralrag, Longwy.
- Fig. 20. — *pistillum* pag. 578, Weiße Kreide, Rügen.
- Fig. 21. *Cidaritenstachel* pag. 578, Weiß. Jura ε, Schnaitheim.
- Fig. 22. *Cidarites propinquus* pag. 577, Weiß. Jura γ, Lochen.
- Fig. 23. — *tripterus* pag. 578, Weiß. Jura ε, Ulm.
- Fig. 24. — *Römeri* pag. 579, St. Cassian, Stacheln.
- Fig. 25. *Diadema aequale* pag. 579, Weiß. Jura γ, Lochen.
- Fig. 26. *Cidarites coronatus* pag. 580, Nattheim, Brut.
- Fig. 27. *Diadema aequale* pag. 579, Weiß. Jura γ, Lochen.
- Fig. 28. — *superbum* pag. 579, Ornatenthon, Belfort, Mundseite.
- Fig. 29. — *aequale* pag. 579, Braun. Jura δ, Hohen Karpen, Mundseite.
- Fig. 30. — *tetrastichum* pag. 579, Weiß. Jura ε, Nattheim.
- Fig. 31. — *cribrum* pag. 580, Kreide, Nizza.
- Fig. 32 u. 33. *Cidarites criniferus* pag. 574, Lias ε, Pliensbach, 33 Stachel.
- Fig. 34. *Diadema Meriani* pag. 580, Braun. Jura δ, Hauenstein.
- Fig. 35. *Echinus hieroglyphicus* pag. 581, Coralrag, Bruntrut.
- Fig. 36. *Polycyphus nodulosus* pag. 582, Nattheim: a seitlich, b von unten.
- Fig. 37. *Echinopsis Nattheimensis* pag. 582, Weiß. Jura ε, Nattheim.
- Fig. 38. *Echinus nodulosus* pag. 581, Weiß. Jura γ, Lochen.
- Fig. 39—41. *Echinus lineatus* pag. 581, Weiße Jura ε, Nattheim, 39. b Ambulacrum; 40 Aftertäfelchen; 41 Pyramide der Laterne mit Zähn.
- Fig. 42. Laterna eines lebenden Echinus: a von oben die Halbzirkelförmigen Knochen über den Balken sichtbar; b zwei solcher hängen herab.
- Fig. 43. Fühlerporen vom lebenden *Echinus esculentus*: a von der Außen-, b von der Innenseite.
- Fig. 44. *Galerites depressus* pag. 583, Madreporenplatte, Marners.
- Fig. 45. — — — pag. 583, Weiß. Jura ε, Heidenheim, Abdruck des Mundes.
- Fig. 46. *Galerites depressus* pag. 583, Braun. Jura ε, Achdorf.
- Fig. 47. — *subculus* pag. 584, Gault, Escragnolle, Steinfern.
- Fig. 48. — *umbrella* pag. 584, Terrain à Chailles, Kl. Lüzel.
- Fig. 49. *Nucleolites patella* pag. 584, Greatoolith, Pfaffenhausen, Aßtergegend.
- Fig. 50. — *scutatus* pag. 585, Braun. Jura δ, Hohenkarpen.
- Fig. 51. — *carinatus* pag. 586, Ob. Grünsand, Chardstock.
- Fig. 52. — *ovulum* pag. 586, Weiße Kreide, Tours.



Erklärung der Tab. 50.

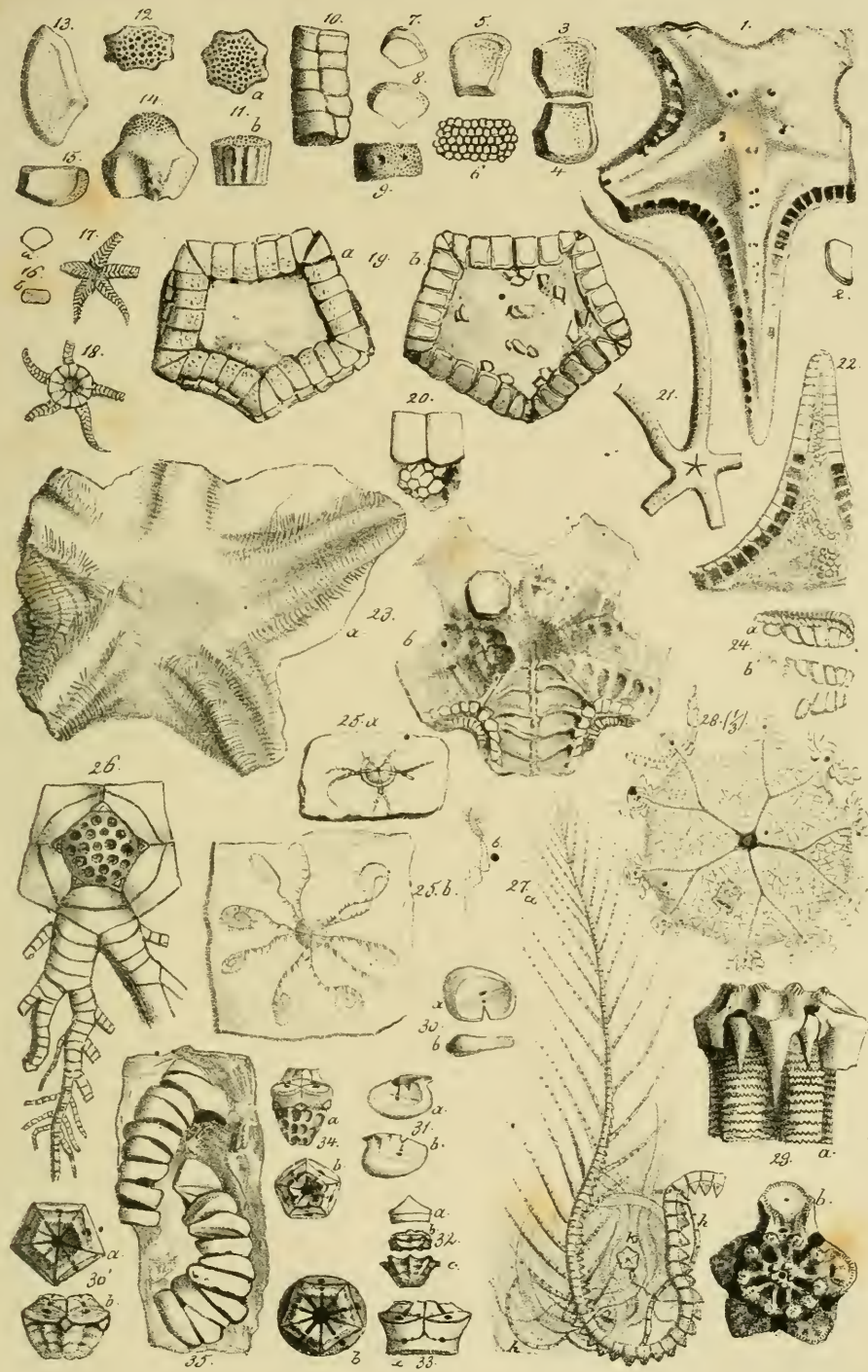
- Fig. 1 u. 2. *Lenita complanata* pag. 588, Barnes, Grobkalk: 1 von unten, 2 von oben.
- Fig. 3. *Nucleolites excisus* pag. 585, Greatoolith, Hummel.
- Fig. 4. *Fibularia angulosa* pag. 588, lebt in der Nordsee: a von oben, b die Innenseite von oben, um die 10 Scheidewände zu zeigen.
- Fig. 5. *Nucleolites dimidiatus* pag. 585, Terrain à Chailles, Winkel in der Schweiz.
- Fig. 6. *Nucleolites decollatus* pag. 585, Braun. Jura β, Lauffen (Gr. Dr. Fraas).
- Fig. 7. *Fibularia ovulum* pag. 588, lebt: a von unten, b von der Seite.
- Fig. 8. *Cassidulus lapis-cancri* pag. 586, Obere Kreide, Maastricht.
- Fig. 9. *Disaster carinatus* pag. 589, Weißer Jura: a von oben, b von unten, c vergrößerte Region der Eiertafeln, rechts ein Loch mit Madreporenplatte.
- Fig. 10. *Clypeaster scutiformis* pag. 588, Subalpinische Tertiärform., Monti Berici, $\frac{2}{3}$ nat. Größe.
- Fig. 11 u. 12. *Disaster granulosus* pag. 590, Weiß. Jura α: 11 die Stellung der 4 Eierlöcher rechts mit Madreporenplatte, 12 von oben.
- Fig. 13. *Disaster canaliculatus* pag. 590, Braun. Jura δ, Wasseralfingen.
- Fig. 14. *Spatangus subglobosus* pag. 591, Chloritische Kreide, Rouen: Scheitelregion.
- Fig. 15. *Disaster ringens* pag. 590, Braun. Jura ε, Achdorf, von unten.
- Fig. 16. *Spatangus coranguinum* pag. 592, Weiße Kreide, Rügen: vergrößerte Eiertäfelchen.
- Fig. 17. *Spatangus complanatus* pag. 592, Neocomien, Neuschatel, 4 Eierlöcher mit Madreporenplatte.
- Fig. 18. *Spatangus oblongus* pag. 592, Gault, Perte du Rhône.
- Fig. 19. *Ananchytes ovata* pag. 591, Kreide von Lemförde: a von unten, b eine vergrößerte Mundwarze.
- Fig. 20. *Galerites cylindricus* pag. 583, Chloritische Kreide, Chardstock: a seitlich in $\frac{2}{3}$ nat. Größe; b Mund und Auster; c vergrößerte Madreporenplatte.
- Fig. 21. *Clypeaster politus* pag. 587, Subalpinische Tertiärformation, Monti del Cervo bei Verona.
- Fig. 22. *Spatangus bufo* pag. 592, Gault, Perte du Rhône.
- Fig. 23. *Clypeaster altus* pag. 588, Golf von Santa-Monza (Corsica), Stück vom Scheitel.
- Fig. 24. *Ananchytes ovata* pag. 591, Weiße Kreide, Surrey, Scheitelstafeln.





Erklärung der Tab. 51.

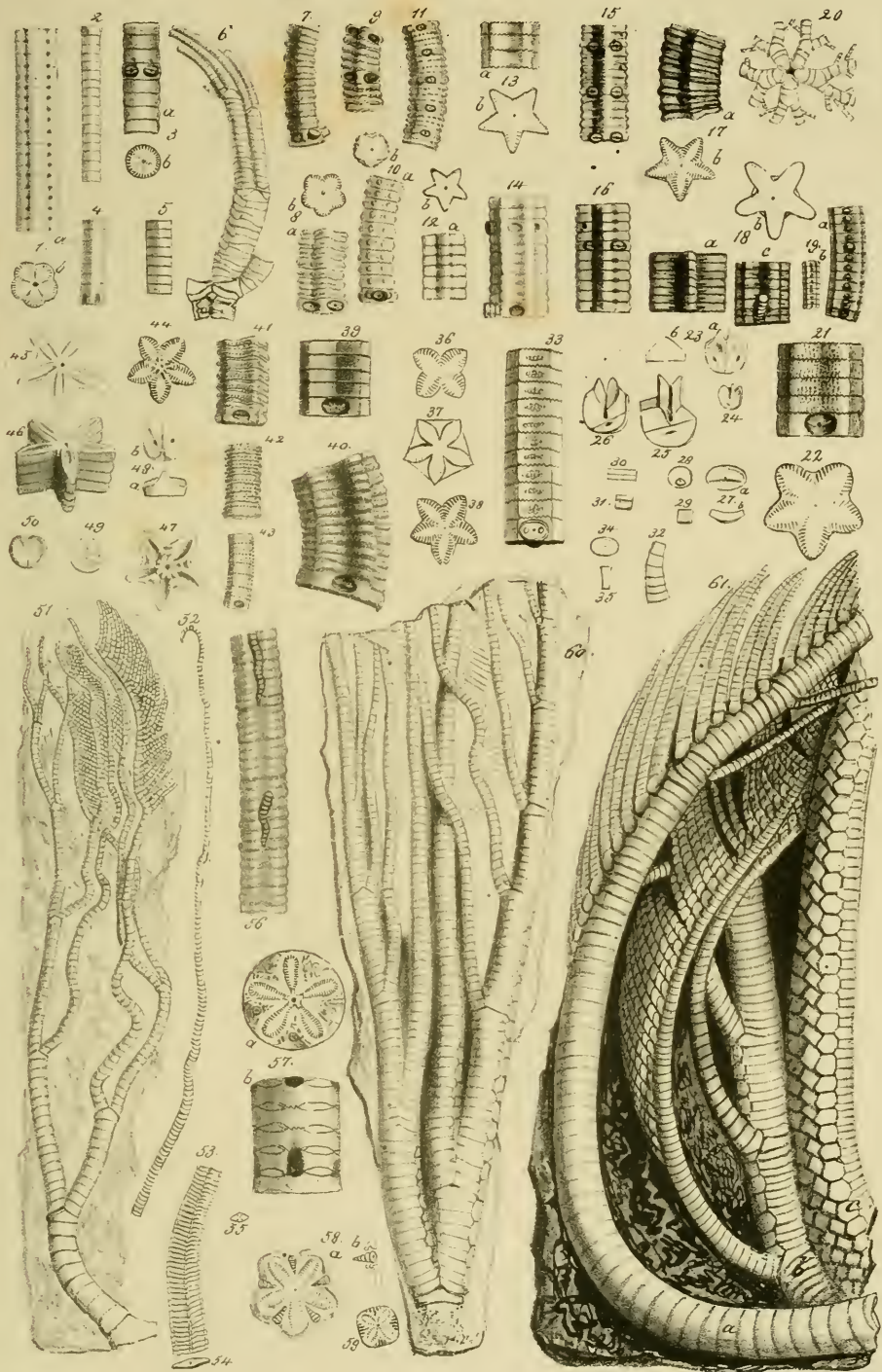
- Fig. 1. *Asterias prisca* pag. 594, Gelber Sandstein des Braun. Jura β , Aalen.
- Fig. 2. — — pag. 594, Braun. Jura δ , Aßel.
- Fig. 3—12. *Asterias impressae* pag. 594, Weiß. Jura α , Reichenbach im Thale:
4 u. 5 in natürlicher Stellung übereinander; 6 vergrößerte Granulationen;
7—9 mit einer größern Gelenkgrube; 10 Stück eines Arms;
11 Aßel, a von oben, b von der Seite; 12 eine andere von oben.
- Fig. 13. *Asterias jurensis* pag. 595, Weiß. Jura ε , Ulm.
- Fig. 14 u. 15. *Asterias γ alba* pag. 595, Weiß. Jura γ , Lochen: 14 Madreporenplatte (?) von der Seite.
- Fig. 16. *Asterias* pag. 595, aus Rias ζ von Balingen.
- Fig. 17 u. 18. *Ophiura scutellata* pag. 597, Muschelfalk, Gauffstadt: 17 Mundseite, 18 Rückenseite (hat fälschlich eine Radialplatte zu viel).
- Fig. 19 u. 20. *Pentagonaster regularis* pag. 595, Weiße Kreide von Kent:
19. a Unterseite, 19. b Oberseite; 20 Unterseite mit einigen centralen Täfelchen.
- Fig. 21. *Ophiura Egertoni* pag. 597, Unterer Brauner Jura, Lyne, Mundseite.
- Fig. 22. *Asterias Schultzii* pag. 595, Oberer Grünsand, Blackdown.
- Fig. 23 u. 24. *Asterias cilicia* pag. 596, Hauptmuschelfalk, Grailsheim: 23. a Mundseite, 23. b Rücken mit Madreporenplatte; 24 Spieze eines Armes, a von der Seite, b vom Munde her.
- Fig. 25. a. *Comatula tenella* pag. 600, Solnhofen.
- Fig. 25. b. — *pectinata* pag. 599, Eichstätt.
- Fig. 26. — *multiradiata* pag. 599, Copie nach Goldfuß.
- Fig. 27. — *pinnata* pag. 600, ein Arm nebst Kelch k, h nach Goldfuß Hilfsarme, 27. b scheinen eher den Hilfsarmen zu entsprechen.
- Fig. 28. *Pentacrinus caput Medusae* pag. 601, Copie nach Müller, $\frac{1}{3}$ natürl. Größe, zeigt das ventrale Perisoma mit Mund und Auster.
- Fig. 29. *Pentacrinites colligatus* pag. 608, Postdienenschiefer, Hinterweiler, Oberstes Ende des Stiels.
- Fig. 30. *Solanocrinites costatus* pag. 601, Weiß. Jura ε , Schnaitheim. Armglied.
- Fig. 31. *Solanocrinites* pag. 600, Kl. Lügel, mittlerer Weißer Jura.
- Fig. 32. *Solanocrinites Bronnii* pag. 601, Kl. Lügel; mittl. Weiß. Jura: a 2tes und 3tes Radial=; b erstes Radialglied mit Zwischenradialgliede; c, Säule.
- Fig. 33. *Solanocrinites Jaegeri* pag. 601, Weißer Jura ε , Nattheim: a seitlich, b von oben.
- Fig. 34. *Solanocrinites serobiculatus* pag. 601, Weiß. Jura γ , Lochen: a seitlich, b von oben.
- Fig. 35. *Solanocrinites costatus* pag. 601, Weiß. Jura ε , Nattheim, zwei Arme in verkehrter Stellung gezeichnet.
- Fig. 36. *Solanocrinites costatus* pag. 601, Weiß. Jura ε , Nattheim.

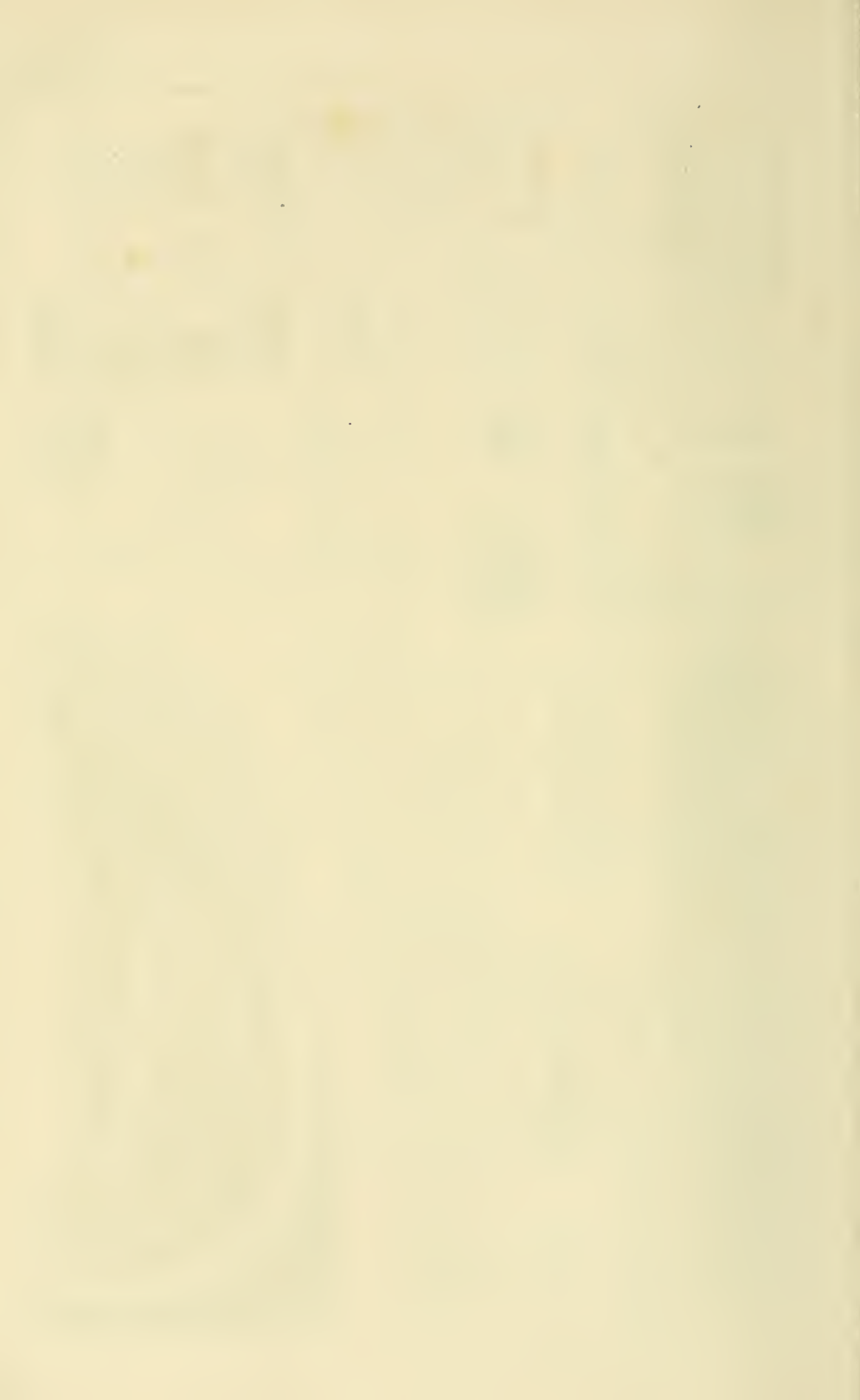


10
11
12
13
14
15
16
17
18
19
20
21
22
23
24
25
26
27
28
29
30
31
32
33
34
35
36
37
38
39
40
41
42
43
44
45
46
47
48
49
50
51
52
53
54
55
56
57
58
59
60
61
62
63
64
65
66
67
68
69
70
71
72
73
74
75
76
77
78
79
80
81
82
83
84
85
86
87
88
89
90
91
92
93
94
95
96
97
98
99
100
101
102
103
104
105
106
107
108
109
110
111
112
113
114
115
116
117
118
119
120
121
122
123
124
125
126
127
128
129
130
131
132
133
134
135
136
137
138
139
140
141
142
143
144
145
146
147
148
149
150
151
152
153
154
155
156
157
158
159
160
161
162
163
164
165
166
167
168
169
170
171
172
173
174
175
176
177
178
179
180
181
182
183
184
185
186
187
188
189
190
191
192
193
194
195
196
197
198
199
200
201
202
203
204
205
206
207
208
209
210
211
212
213
214
215
216
217
218
219
220
221
222
223
224
225
226
227
228
229
230
231
232
233
234
235
236
237
238
239
240
241
242
243
244
245
246
247
248
249
250
251
252
253
254
255
256
257
258
259
260
261
262
263
264
265
266
267
268
269
270
271
272
273
274
275
276
277
278
279
280
281
282
283
284
285
286
287
288
289
290
291
292
293
294
295
296
297
298
299
300
301
302
303
304
305
306
307
308
309
310
311
312
313
314
315
316
317
318
319
320
321
322
323
324
325
326
327
328
329
330
331
332
333
334
335
336
337
338
339
340
341
342
343
344
345
346
347
348
349
350
351
352
353
354
355
356
357
358
359
360
361
362
363
364
365
366
367
368
369
370
371
372
373
374
375
376
377
378
379
380
381
382
383
384
385
386
387
388
389
390
391
392
393
394
395
396
397
398
399
400
401
402
403
404
405
406
407
408
409
410
411
412
413
414
415
416
417
418
419
420
421
422
423
424
425
426
427
428
429
430
431
432
433
434
435
436
437
438
439
440
441
442
443
444
445
446
447
448
449
450
451
452
453
454
455
456
457
458
459
460
461
462
463
464
465
466
467
468
469
470
471
472
473
474
475
476
477
478
479
480
481
482
483
484
485
486
487
488
489
490
491
492
493
494
495
496
497
498
499
500
501
502
503
504
505
506
507
508
509
510
511
512
513
514
515
516
517
518
519
520
521
522
523
524
525
526
527
528
529
530
531
532
533
534
535
536
537
538
539
540
541
542
543
544
545
546
547
548
549
550
551
552
553
554
555
556
557
558
559
560
561
562
563
564
565
566
567
568
569
570
571
572
573
574
575
576
577
578
579
580
581
582
583
584
585
586
587
588
589
590
591
592
593
594
595
596
597
598
599
600
601
602
603
604
605
606
607
608
609
610
611
612
613
614
615
616
617
618
619
620
621
622
623
624
625
626
627
628
629
630
631
632
633
634
635
636
637
638
639
640
641
642
643
644
645
646
647
648
649
650
651
652
653
654
655
656
657
658
659
660
661
662
663
664
665
666
667
668
669
669
670
671
672
673
674
675
676
677
678
679
680
681
682
683
684
685
686
687
688
689
689
690
691
692
693
694
695
696
697
698
699
700
701
702
703
704
705
706
707
708
709
709
710
711
712
713
714
715
716
717
718
719
719
720
721
722
723
724
725
726
727
728
729
729
730
731
732
733
734
735
736
737
738
739
739
740
741
742
743
744
745
746
747
748
749
749
750
751
752
753
754
755
756
757
758
759
759
760
761
762
763
764
765
766
767
768
769
769
770
771
772
773
774
775
776
777
778
779
779
780
781
782
783
784
785
786
787
788
789
789
790
791
792
793
794
795
796
797
798
799
800
801
802
803
804
805
806
807
808
809
809
810
811
812
813
814
815
816
817
818
819
819
820
821
822
823
824
825
826
827
828
829
829
830
831
832
833
834
835
836
837
838
839
839
840
841
842
843
844
845
846
847
848
849
849
850
851
852
853
854
855
856
857
858
859
859
860
861
862
863
864
865
866
867
868
869
869
870
871
872
873
874
875
876
877
878
879
879
880
881
882
883
884
885
886
887
888
889
889
890
891
892
893
894
895
896
897
898
899
900
901
902
903
904
905
906
907
908
909
909
910
911
912
913
914
915
916
917
918
919
919
920
921
922
923
924
925
926
927
928
929
929
930
931
932
933
934
935
936
937
938
939
939
940
941
942
943
944
945
946
947
948
949
949
950
951
952
953
954
955
956
957
958
959
959
960
961
962
963
964
965
966
967
968
969
969
970
971
972
973
974
975
976
977
978
979
979
980
981
982
983
984
985
986
987
988
989
989
990
991
992
993
994
995
996
997
998
999
1000

Erklärung der Tab. 52.

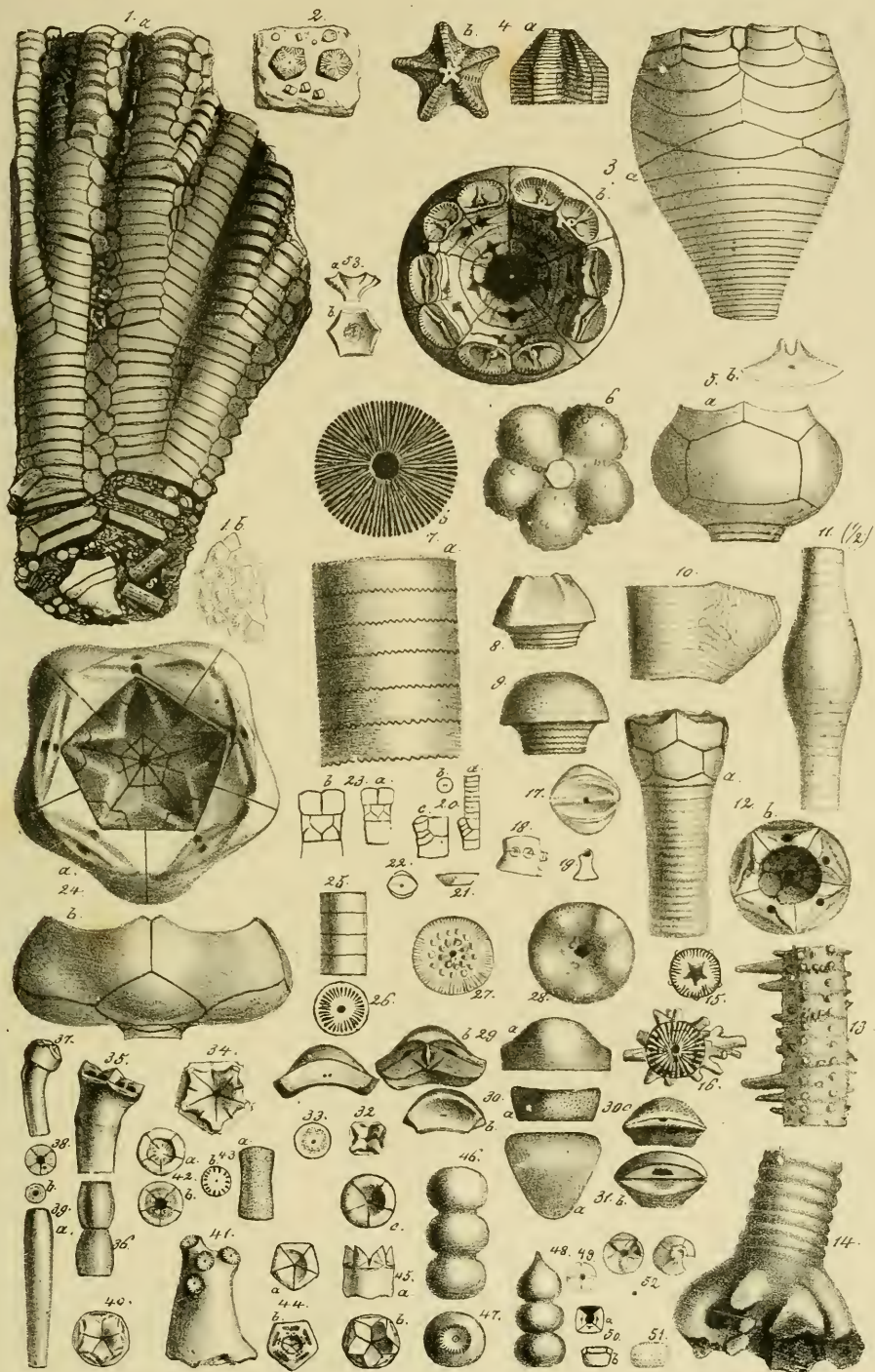
- Fig. 1. *Pentacrinites Bronnii* pag. 603, Weisse Kreide, Rügen.
Fig. 2 u. 3. — *subteres* pag. 603, Braun. Jura ζ .
Fig. 4. — *pentagonalis* pag. 603: Ornamention des Birsthales.
Fig. 5. — *cristagalli* pag. 603, Braun. Jura δ , Geislingen.
Fig. 6. *Isoerinus pendulus* pag. 604, von Besançon, Copie nach H. v. Meyer.
Fig. 7 u. 8. *Pentacrinites cingulatus* pag. 604, Weiß. Jura γ , Böllertfelsen.
Fig. 9. *Pentaer. annulatus* pag. 604, Hilsthon, Elliger Brink.
Fig. 10. — *perlatus* pag. 604, Hilsconglomerat, Rauhenberg.
Fig. 11. — *cingulatissimus* pag. 604, Weißer Jura, Birmenstorf.
Fig. 12. — *astralis* pag. 604, Weiß. Jura ε , Schnaitheim.
Fig. 13. — — *ornati* pag. 604, Braun. Jur. ζ , Göppingen.
Fig. 14 u. 15. *Pent. astralis gigantei* pag. 604, Braun. Jura δ : 14 Geislingen,
15 Stuifen.
Fig. 16 u. 17. *Pent. jurensis* pag. 605, Lias ζ : 16 Donau-Mainkanal, 17 Hei-
ningens.
Fig. 18 u. 19. *Pentaer. scalaris* pag. 605, Lias β , Österdingen.
Fig. 20. *Pentaer. pentagonalis* pag. 603, Wiltshire, Copie nach Goldfuß.
Fig. 21—31. *Pentaer. tuberculatus* pag. 605, Lias α , Nebenhäuser: 23—26
Glieder der Krone; 27—29 Hilfsarmglieder; 30 u. 31 Tentakelglieder.
Fig. 32. Hilfsarm eines basaltiformen Pentacriniten pag. 606, aus mittl.
Lias.
Fig. 33—38. *Pentacrinites basaltiformis* pag. 605, Lias γ : 34 u. 35 Glieder
der Hilfsarme; 36 ein 4theiliges Glied; 37 glatte Gelenkfläche am
Gliede mit Hilfsarmen.
Fig. 39. *Pentaer. basaltiformis nudus* pag. 606, Mittlerer Lias, Quedlinburg.
Fig. 40. — *moniliferus* pag. 606, Lias β , Österdingen.
Fig. 41—43. *Pentaer. punctiferus* pag. 606, Mittl. Lias.
Fig. 44. *Pentaer. basaltiformis nudus* pag. 606, Jurensschicht, Schömberg.
Fig. 45—50. *Pentaer. Briareus* pag. 606, Lias ε , Sebastianweiler: 48—50
Kronenglieder.
Fig. 51. *Pentaer. Briareus* pag. 606, Lias ε , Heiningen, Kronenstück.
Fig. 52. dito, Hilfsarm, Lias ε , Meßingen.
Fig. 53 u. 54. dito, Hilfsarmstück, Lias ε , Heiningen.
Fig. 55. dito, Hilfsarmglied mit 5 Kanälen, Sebastianweiler.
Fig. 56. *Pentacrinites Niemeri* pag. 607, Lias ε , Ohmden, Stiel mit Hilfs-
armen.
Fig. 57—60. *Pentacrinites subangularis* pag. 607, Mittlerer Lias: 58 b Anfang
der vergrößerten ersten Hilfsarmglieder, die sich in die Säule bohren;
60 ein Radial, Postodontenschäfer.
Fig. 61. *Pentacrinites subangularis* pag. 607, Lias ε , Heiningen, Kronenstück,
nicht durch den Spiegel gezeichnet: a innerer Arm von der einen,
b u. c äußere Arme von der andern Seite.

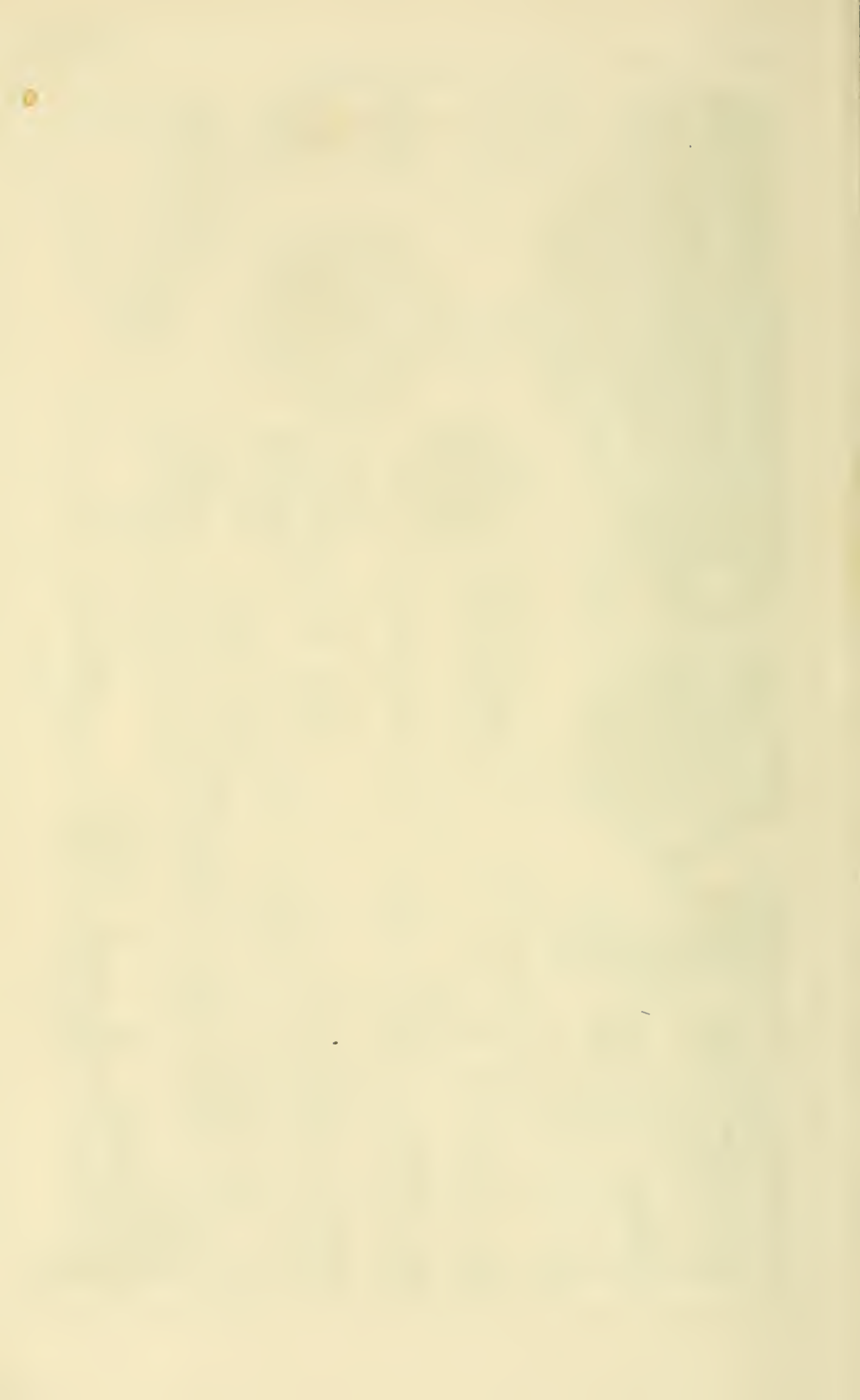




Erklärung der Tab. 53.

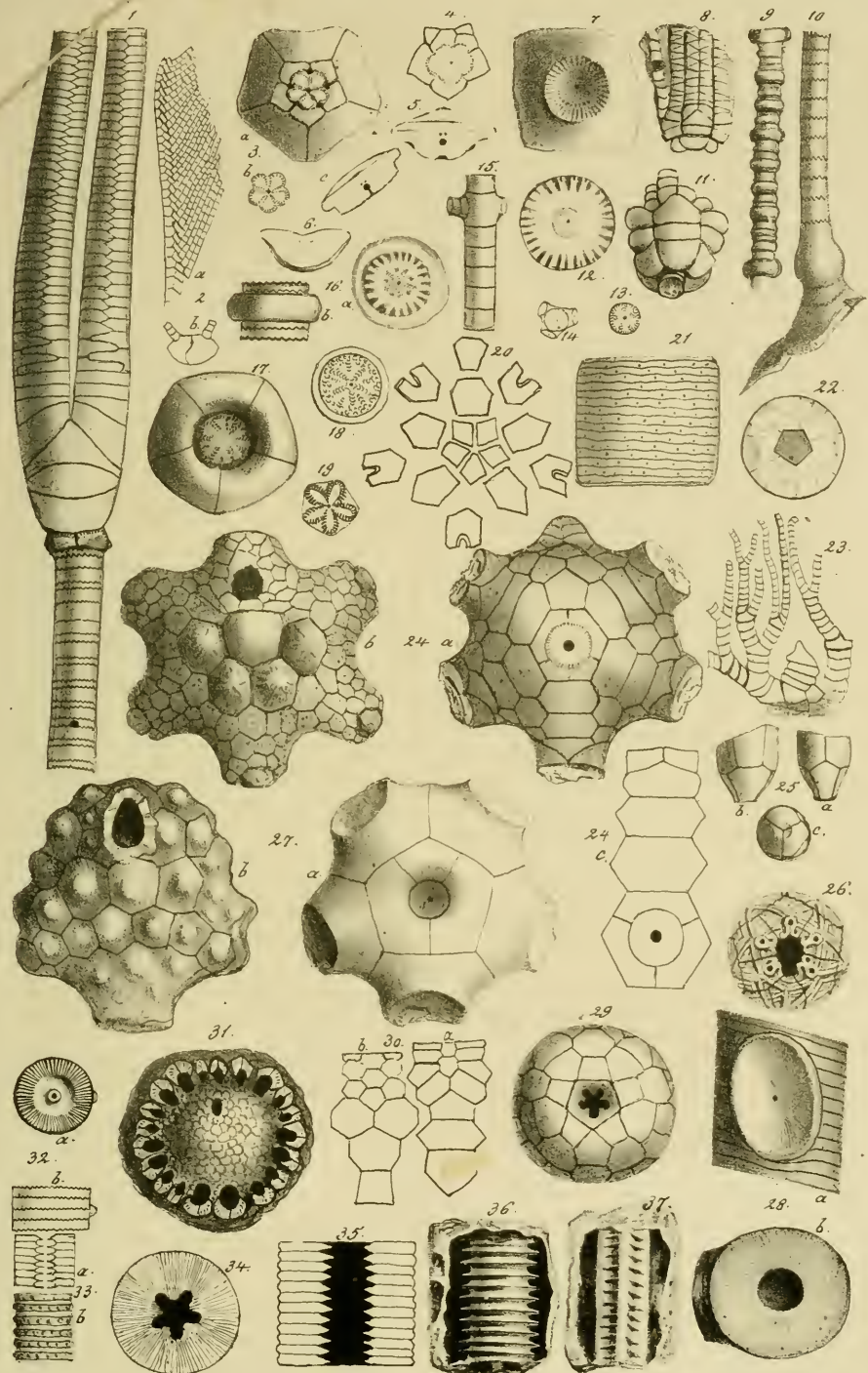
- Fig. 1. *Pentacrinites colligatus* pag. 608, Lias ε, Sebastiansweiler, Hr. Prof. Autenrieth gehörig: 1. a nicht durch den Spiegel gezeichnet, bei s zwei umgesetzte Zwischentafeln, 1. b Tafeln vom Perisoma.
- Fig. 2. *Pentacrinites dubius* pag. 609, Muschelkalk, Nüdersdorf.
- Fig. 3. *Apocrinites Parkinsoni* pag. 609, Bradfordclay, England.
- Fig. 4. *Pentacrinites colligatus* pag. 608, Lias ε, Hinterweiler, Ende der Säule: a seitlich, b von oben.
- Fig. 5—11. *Apocrinites mespiliformis* pag. 610, Weiß. Jura ε, Nattheim: 5 a Krone seitlich; 5 b 2tes Kelchradialglied; 6 innere Ausfüllung des Kelches von unten; 7 Säule; 8 letztes Säulenglied; 9 vorletztes Säulenglied seitlich; 10 Säule mit Nebenarm aus dem Terrain à Chailles von Pruntrut; 11 Säule mit angeschwollenem Gliede, Nattheim.
- Fig. 12. *Apocrinites rosaceus* pag. 611, Weiß. Jura ε, Nattheim.
- Fig. 13—16. *Apocrinites echinatus* pag. 611, Terrain à Chailles: 13 Kl. Lügel; 14 Mezières (aculeatus d'Orb.); 15 Gelenkfläche, 16 v. Nattheim.
- Fig. 17. *Apocrinites flexuosus* pag. 612, Weiß. Jura ε, Nattheim, Gelenkfläche.
- Fig. 18 u. 19. *Apocrinites ellipticus* pag. 612, Weiße Kreide, Rügen.
- Fig. 20. *Apocrinites ellipticus* pag. 612, Wurzeln? aus der weißen Kreide von Mastricht: a seitlich, b Gelenkfläche mit 2 Kanälen, c vergrößertes Stück.
- Fig. 21. dito, daher, Säulenglied von der Seite.
- Fig. 22 u. 23. *Apocrinites ellipticus* pag. 612, Ob. Quader, Teufelsmauer bei Weddersleben: 22 Gelenkfläche; 23. a Kelchende, b dasselbe vergrößert.
- Fig. 24. *Apocrinites Milleri* pag. 611, Weiß. Jura ε, Nattheim.
- Fig. 25—31. *Apocrinites amalthei* pag. 612, Lias δ, Donau Mainkanal: 25 Stiel seitlich, 26 Gelenkfläche, 27 Gelenkfläche eines andern, 28 undeutliches Kelchstück? 29 Doppelgelenk a außen, b oben, links daneben von unten; 30 2tes Kelchradialglied von Quedlinburg, a von außen, b von oben, c von unten; 31 erstes Kelchradial, a von außen, b von oben.
- Fig. 32—36. *Eugeniacrinites caryophyllatus* pag. 615, Weißer Jura γ: 32 viertheilig vom Randen; 33 Gelenkfläche, Löchen; 34 Krone von oben, Löchen; 35 seitlich; 36 zwei Säulenglieder.
- Fig. 37—41. *Eugeniacrinites nutans* pag. 615, Weißer Jura γ, Löchen: 37 von der Seite, 38 obere Gelenkfläche des letzten Säulengliedes; 39 langes Säulenglied; 40 Kelch von oben; 41 Wurzelstück.
- Fig. 42 u. 43. *Eugeniacrinites compressus* pag. 615, Weißer Jura γ, Löchen n.: 42 Kelch, a von unten, b von oben; 43 Säulenglied.
- Fig. 44. *Eugeniacrinites eidaris* pag. 615, Weiß. Jura γ, Weissenstein, Kelchstück: a von unten, b von oben.
- Fig. 45. *Eugeniacrinites coronatus* pag. 615, Mittlerer weiß. Jura, Birkenendorf, Kelchstück: a seitlich, b von oben, c von unten.
- Fig. 46—48. *Eug. Hoferi* pag. 615, Weiß. Jura γ, Weissenstein, Stielglieder.
- Fig. 49 u. 50. *Tetracrinus moniliformis* pag. 616, Weißer Jura γ, Löchen: 49 letztes Säulenglied von oben; 50 erstes Radial- und letztes Säulenglied, a von oben, b von der Seite.
- Fig. 51. *Eugeniacrinites moniliformis* pag. 616, Weiß. Jura γ, Löchen.
- Fig. 52. *Plicatocrinus liasianus* pag. 616, unterer Lias bei Göttingen: links von oben, rechts von unten.
- Fig. 53. *Plicatocrinus hexagonus* pag. 616, Weißer Jura γ, Löchen: (rechts neben Fig. 1) a von der Seite, b von oben.





Erklärung der Tab. 54.

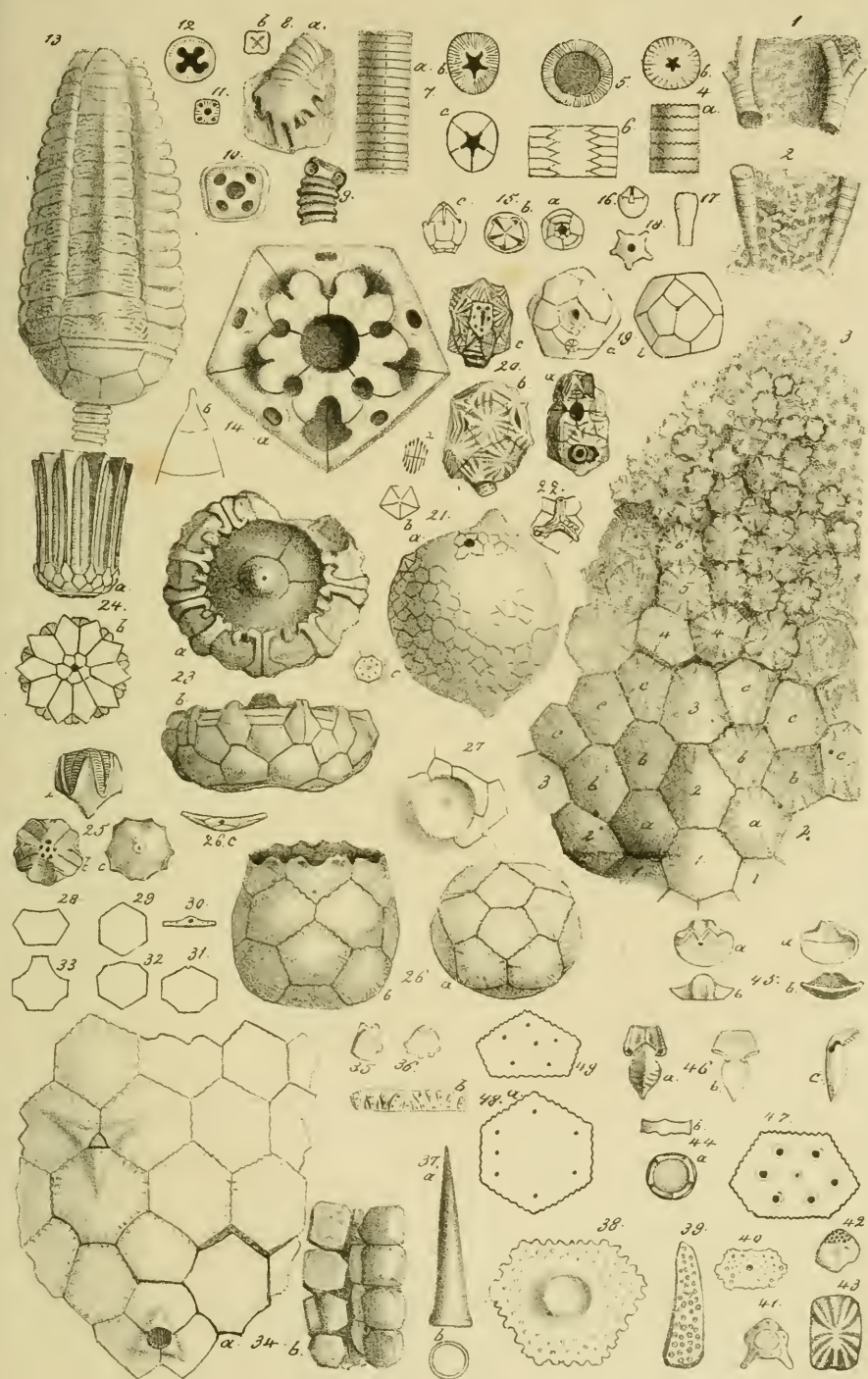
- Fig. 1. Encrinites liliiformis pag. 614, Hauptmuschelfalk: 1 Radial mit Säule, Grailsheim; 2 Tentakeln, a von der Seite, b vom Querschnitt; 3. a Becken mit den ersten Radialgliedern, b letztes Säulenglied, c Gelenkfläche des ersten Radialgliedes; 4 verkrüppelte Zwischenradiale; 5 untere Gelenkfläche des 2ten Radialgliedes; 6 untere Gelenkfläche des ersten Doppelgelenkes (Scapula); 7 Wurzel; 8 junge Krone; 9 knotiger Stiel; 10 Stiel mit Wurzel.
- Fig. 11 u. 12. Encrinites liliiformis pag. 614, von St. Cassian: 11 Kronenstück; 12 Gelenkfläche eines Säulengliedes.
- Fig. 13—15. Pentacrinites laevigatus pag. 614, St. Cassian.
- Fig. 17 u. 18. Encrinites granulosus pag. 614, St. Cassian: 17 Kelch von der Unterseite; 18 Säulenglied.
- Fig. 19. Pentacrinites propinquus pag. 614, St. Cassian: Säulenglied.
- Fig. 20. Cyathocrinus pag. 617, Kelchtafeln, Copie nach Müller.
- Fig. 21 u. 22. Cyathocrinites rugosus pag. 617, Mittl. Nebergangsgebirge, Gotland: 21 Säule von der Seite, 22 Querschliff, um die Röhrchen zu zeigen.
- Fig. 23. Cyathocrinites pag. 617, Ob. Nebergangsgeb., Gerolstein.
- Fig. 24. Actinocrinites amphora pag. 619, Bergfalk, Florence Court: a von unten, b von oben; c ein Kelchradial.
- Fig. 25. Platycrinites tabulatus pag. 618, Ob. Nebergangsgeb., Eifel: a von vorn, b seitlich, c von unten.
- Fig. 26. Sphaerocrinus geometricus pag. 626, Ob. Nebergangsgeb., Eifel, Copie nach F. Römer, von oben.
- Fig. 27. Platycrinites pileatus pag. 618, Bergfalk, Irland: a von unten, b von oben.
- Fig. 28. Poteriocrinites crassus pag. 618, Bergfalk, Visé, Säulenstück: a von der Seite, b von oben.
- Fig. 29—31. Rhodocrinites crenatus pag. 620, Ob. Nebergangsgeb., Eifel: 29 von unten; 30. a Kelchradial, b Zwischenradial; 31 von oben, Copie nach F. Römer.
- Fig. 32. Cyathocrinites pinnatus pag. 622, Ob. Nebergangsgeb., Eifel, Stiel.
- Fig. 33. Actinocrinites nodulosus pag. 623, daher: a angeschliffen.
- Fig. 34 u. 35. Encrinites epithonius pag. 622, daher: 34 Gelenkfläche, 35 Längsschliff.
- Fig. 36. Schraubenstein mit rundem Kanale pag. 622, Ob. Nebergangsgebirge, Rübeland.
- Fig. 37. Schraubenstein mit pentagonalem Kanale pag. 623, daher.



Erklärung der Tab. 55.

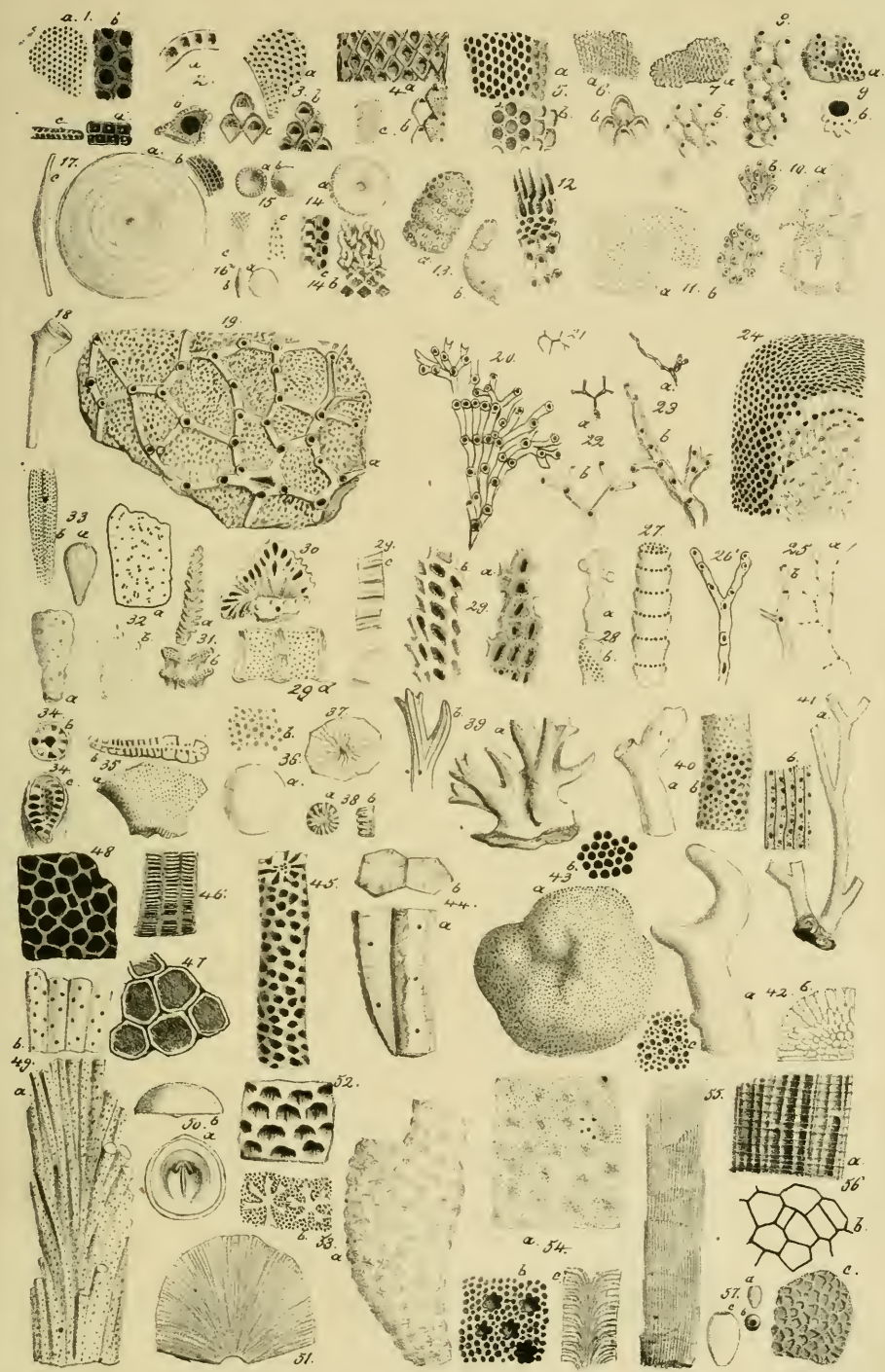
- Fig. 1—3. *Scyphocrinites elegans* pag. 621, Nebergangsg., Carlstein: 1 erste Spaltung der Arme; 2 Anfang der Arme; 3 Kronenstück: 1 2 3 Kelchradialglieder; a b b c e e Zwischenradialplatten.
- Fig. 4. *Rhodocrinites verus* pag. 620, Ob. Neberg., Eifel.
- Fig. 5 u. 6. *Actinocrinites laevis* pag. 622, daher, 6 Längsschliff.
- Fig. 7. *Rhodocrinites quinquepartitus* pag. 622, daher: a von der Seite, b Gelenkfläche, c Bruchfläche zeigt die Kanäle.
- Fig. 8—12. *Cupressocrinites tesseratus* pag. 623, Eifel: 8 a Wurzel; 9 Säule mit Hilfsarmen.
- Fig. 13. *Cupress. crassus* pag. 624, Ob. Neberg., Gerolstein, Krone.
- Fig. 14. *Cupressinites abbreviatus* pag. 624, daher: 14. a Sterngerüst, b die beiden letzten Glieder der Arme.
- Fig. 15—17. *Haplocrinites mespiliformis* pag. 625, Eifel: 15. a von unten, b von oben, c seitlich mit der unparen Platte; 16 seitlich mit einem kleinen Arm in der Furche; 17 Stielglied.
- Fig. 18. *Haplocrinites stellaris* pag. 625, rothe devonische Kalke, Brilon, von unten.
- Fig. 19. *Echinosphaerites laevis* pag. 626, Vaginatenkalk, Pulkowa: a Mundseite, b von unten.
- Fig. 20. *Echinoencrinites angulosus* pag. 625, daher: a von hinten; b linke Seite, c von oben, d sieben Fühlerporen.
- Fig. 21 u. 22. *Echinosphaerites aurantium* pag. 626, Vaginatenkalk, Petersburg: 21. a Aftersseite, b Ovarialöffnung, c Stielansatz; 22 Rudimente der Arme, Kopie nach Wolborth.
- Fig. 23 u. 24. *Eucalyptocrinites rosaceus* pag. 624, Eifel: 23 Kelch, a von oben, b von der Seite; 24 Krone, a seitlich, b von oben verkleinerte Kopie nach Goldfuß.
- Fig. 25. *Pentremites florealis* pag. 628, verkiefelt, Bergkalk aus Amerika: a seitlich, b von oben, c von unten.
- Fig. 26. *Marsupites ornatus* pag. 629, Weiße Kreide, England: a von unten, b seitlich, c Gelenkfläche.
- Fig. 27. *Echinosphaerites pomum* pag. 627, Vaginatenkalk, Schweden, untere Ansatzfläche.
- Fig. 28—33. *Sphaerites juvenis* pag. 630, Weiß. Jura γ, Löchen n., 30 Gelenkfläche mit Loch von 31.
- Fig. 34—36. *Sphaerites punctatus* pag. 629, Weiß. Jura γ: 34. a Außenseite, b Platten der Decke; 35 u. 36 kleine punktierte Platten von der Decke?
- Fig. 37—42. *Sphaerites tabulatus* pag. 630, Weiß. Jura ε, Ullm: 37 Stachel; 38—42 verschiedene Ansichten.
- Fig. 43. *Asterias stellifera* pag. 630, daher.
- Fig. 44. *Cotylederma* pag. 531, Lias γ: a von oben, b seitlich.
- Fig. 45. *Problematicum* pag. 631, Weiß. Jura γ, Löchen: vier Ansichten.
- Fig. 46. *Pentacrinites paradoxus* pag. 631, Weiß. Jura γ, Löchen, drei Ansichten.

Tab. 55.



Erklärung der Tab. 56.

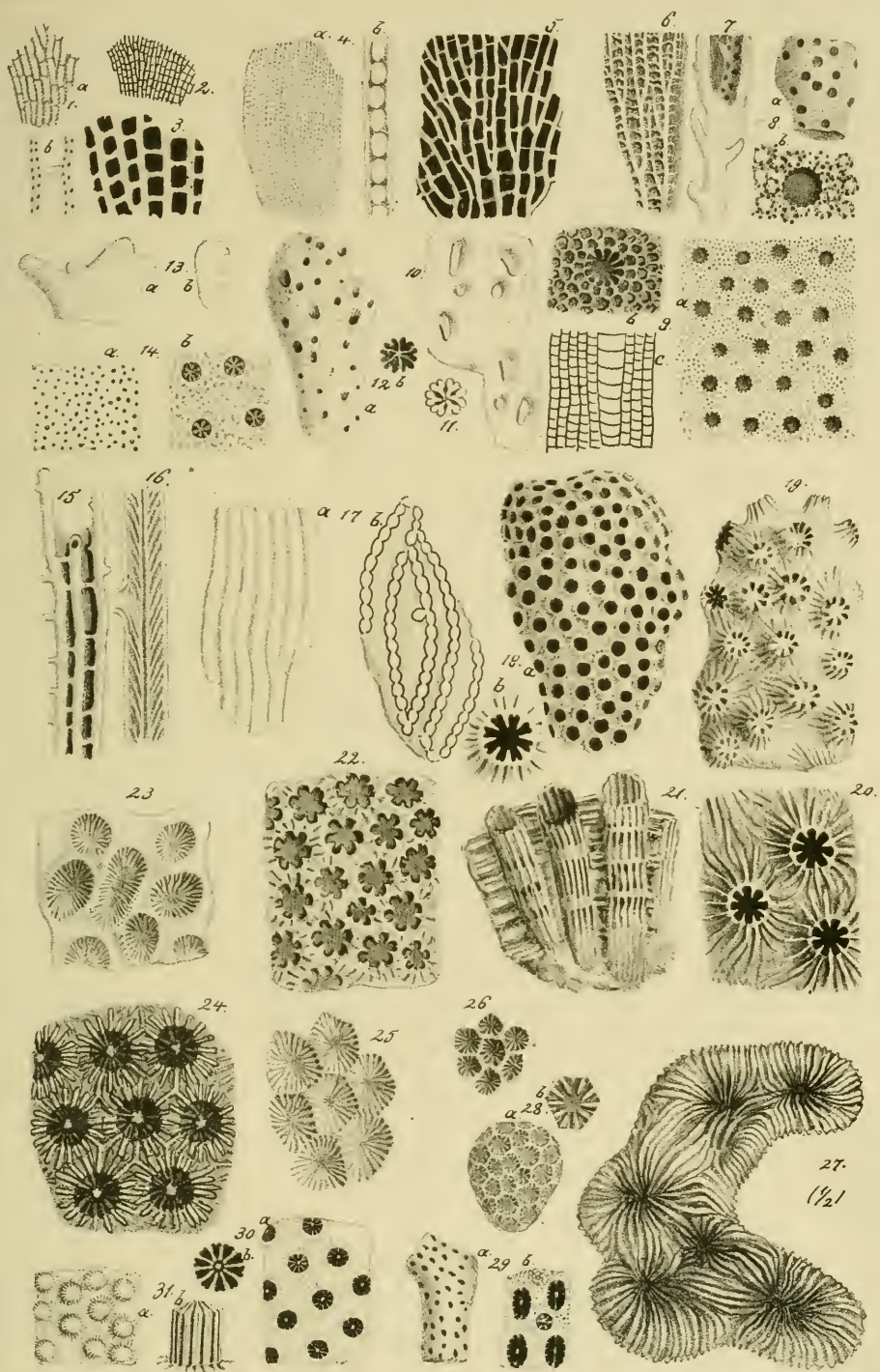
- Fig. 1—5. 1 u. 2. *Eschara stigmatopora* pag. 635, Ob. Kreide, Maastricht: 1. a Oberseite nat. Größe, b vergrößert; c u. d Querschnitt; 2. b die beiden Lagen nicht verwachsen, a vergrößerte Lage. 3. E. *piriformis* pag. 635, Ob. Kreide, Maastricht: a oben, b u. c vergrößerte Zellen, bei c verpackt. 4. E. *dichotoma* pag. 635, Weisse Kreide, Rügen: a vergr., b Randzellen, c nat. Gr. 5. E. *cyclostoma* pag. 635, Maastricht, b vergrößert.
- Fig. 6—9. *Cellepora pavonia* pag. 636, Weisse Kreide, Rügen, b vergr. 7. C. *ureolaris* pag. 636, Tert., Aastrup, b vergr. 8. C. *globularis* pag. 636, daher, vergr. 9. C. *ornata* pag. 636, Maastricht, b vergr.
- Fig. 10. *Diastopora liasica* pag. 637, Ob. Lias auf Belemniten, b vergrößert.
- Fig. 11 u. 12. D. *compressa* pag. 637, Braun. Jura δ, b u. 12 vergr.
- Fig. 13. *Ceriopora radiciformis* pag. 637, Weiß. Jura γ, Böllert, a vergrößert.
- Fig. 14. *Orbitalites macropora* pag. 637, Maastricht: b von oben und c vom Rande vergrößert.
- Fig. 15. *Lumulites mitra* pag. 636, Weiß. Kreide, Nügen: c vergrößerte Zellen.
- Fig. 16. *Orbitalites lenticularis* pag. 637, Gault, Perte du Rhône, c vergrößert.
- Fig. 17. Orbit. *concava* pag. 637, Chloritische Kreide, Escragnolle.
- Fig. 18. *Pyrgia Michelini* pag. 638, Bergkalk, Tournay, Copie nach Edwards.
- Fig. 19 u. 20. *Aulopora repens* pag. 638, Devonisch, Eifel: 20 bei a die Mutterzelle, sitzt auf Alveolites suborbicularis.
- Fig. 21 u. 22. *Alecto dichotoma* pag. 638, Braun. Jura δ, 22. a auf Thecidea beginnend, 22. b vergrößert.
- Fig. 23 u. 24. Desgl. 23. b u. 24 vergrößert, auf *Ostrea cristagalli* sitzend.
- Fig. 25. *Alecto ramosa* pag. 639, Weisse Kreide, Rügen, b vergrößert.
- Fig. 26. *Alecto granulata* pag. 639, daher, dreifach vergrößert.
- Fig. 27. *Cricopora verticillata* pag. 639, Kreide, Maastricht, vergrößert, Copie.
- Fig. 28. *Terebellaria spiralis* pag. 639, daher: b vergrößert.
- Fig. 29 u. 30. *Retepora clathrata* pag. 639, Maastricht: 29. a von oben, b von unten, c von innen, d vergrößert von innen, zeigt die Zellen; 30 kleiner Stock.
- Fig. 31. *Idmonea truncata* pag. 639, untere Kreide, Effen, b vergrößert.
- Fig. 32. *Eschara disticha* pag. 638, Weisse Kreide, Rügen, b vergrößert.
- Fig. 33. *Conodictyon striatum* pag. 640, Weiß. Jura δ, Löchen, b vergrößert.
- Fig. 34—39. *Ceriopora cribrosa* pag. 640, Unt. Kreide, Effen: a seitlich, b oben, c innen. 35. *Ceriopora compressa* pag. 640, Ob. Kreide, Maastricht. 36. C. *nuciformis* pag. 640, Weisse Kreide, Rügen. 37. C. *radiata* pag. 640, Weiß. Jura ε, Uslm. 38. C. *diadema* pag. 640, Ob. Kreide, Maastricht. 39. C. *angulosa* pag. 640, Weiß. Jura ε, Schnaitheim, b vergr.
- Fig. 40. *Heteropora diversipunctata* pag. 641, Hilsconglomerat, Rauhenberg.
- Fig. 41. *Siphodyctium gracile* pag. 641, Ob. Quader, Salzberg, b vergrößert.
- Fig. 42. *Heteropora ramosa* pag. 641, Braun. Jura δ, Egg.
- Fig. 43. *Ceriopora globosa* pag. 641, Greatolit, Burweiler.
- Fig. 44. *Favosites maximus* pag. 642, schwarzer Nebengangskalk, Holmestrand.
- Fig. 45. — *polymorphus gracilis* pag. 642, Devonisch, Eifel.
- Fig. 46—49. Fav. *polymorphus* pag. 642, daher: 46 Scheidewände, 47 doppelse Zellenvände vergrößert, 47 Zellen von ob., 49 mit Sprossenkanälen.
- Fig. 50 u. 51. Fav. *fibrosus globosus* pag. 642, Eifel, 50. a Unterseite.
- Fig. 52. *Alveolites suborbicularis* pag. 643, Eifel, vergrößert.
- Fig. 53. *Chaetetes constellatus* pag. 643, Nebengangsgeb., Ohio, b vergrößert.
- Fig. 54. Chaet. *frondosus* pag. 643, daher: b vergrößert, c Querschnitt.
- Fig. 55. Chaet. *polyporus* pag. 643, Coralrag, Chatel cenois, Längsbruch.
- Fig. 56. *Dania Saxonica* pag. 643, Harschleben: a seitlich, b vergrößerte Zellen.
- Fig. 57. *Ovulites margaritula* pag. 644, Grobkalk, Parnes: c vergrößert.





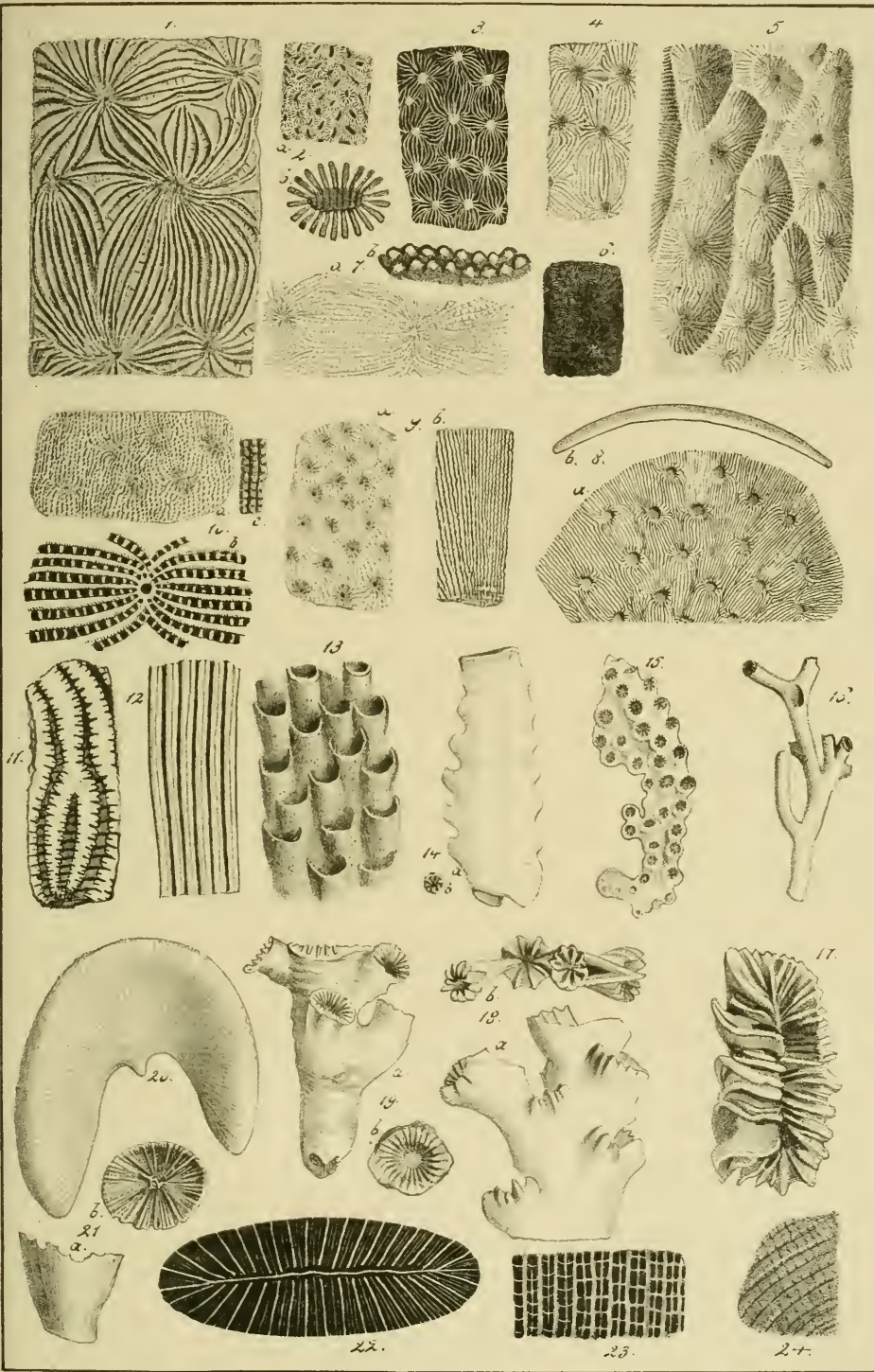
Erfklärung der Tab. 57.

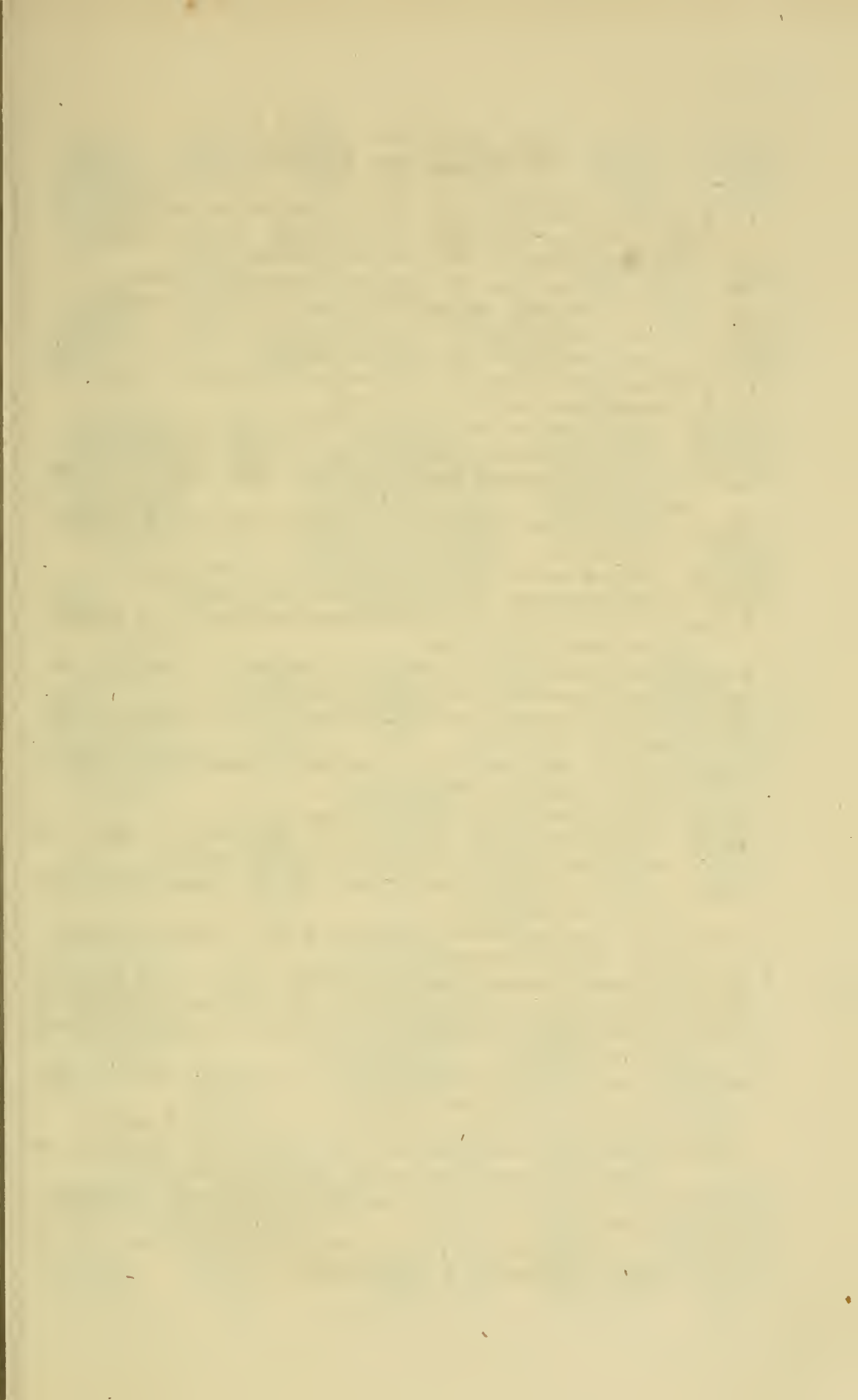
- Fig. 1. *Fenestella antiqua* pag. 640, Dudley, Silurisch, b vergrößert.
Fig. 2 u. 3. *Gorgonia retiformis* pag. 666, Zechstein, Schmerbach, 3 vergrößert.
Fig. 4. *Gorgonia retiformis* pag. 666, Zechsteindolomit, Sunderland, b vergrößert.
Fig. 5. — *ripisteria* pag. 666, Bergkalk, Bijé.
Fig. 6 u. 7. *Gorgonia virgulacea* pag. 666, Zechsteindolomit, Sunderland, 7 vergrößert oben mit Zellenabdrücken.
Fig. 8. *Heliopora Blainvilliana* pag. 645, Ob. Kreide, Gosau, b vergrößert.
Fig. 9. — *interstincta* pag. 644, Devonisch, Eifel: b u. c vergrößert, c Längsschnitt.
Fig. 10 u. 11. *Astrea bacillaris* pag. 645, Maastricht, Steinkern, 11 Durchschnitt der Zellenausfüllung.
Fig. 12. *Astrea Solanderi* pag. 645, Tertiärsand, Auvert, b vergrößert.
Fig. 13. *Millepora aleicornis* pag. 646, lebend im Antillen-Meer, b Querbruch.
Fig. 14. *Palmipora Solanderi* pag. 646, Tertiär, Auvert, b vergrößert.
Fig. 15. *Syringopora reticulata* pag. 646, Übergangsgeb., Copie nach Goldfuß.
Fig. 16. — *ramulosa* vergrößert, Längsschnitt, Copie nach Goldfuß.
Fig. 17. *Catenipora catenularia* pag. 646, mittl. Übergangsgeb., Gothland: a seitlich, b von oben.
Fig. 18. *Astrea limbata* pag. 647, Weiß. Jura ε, Nattheim, b vergrößerte Zelle.
Fig. 19—21. *Astrea tubulosa* pag. 647, daher: 19 kleinellig, 20 großellig, 21 verwitterte Zellen von der Seite.
Fig. 22. *Astrea cavernosa* pag. 647, daher, von oben.
Fig. 23. — *caryophylloides* pag. 648, Nattheim, von oben.
Fig. 24. — *coronata* pag. 648, Coralrag, Mezières.
Fig. 25. — *helianthoides* pag. 649, Weiß. Jura ε, Lothringen.
Fig. 26. Desgleichen, pag. 649, kleinellige Varietät, weiß. Jura ε, Siringen.
Fig. 27. *Astrea confluenta* pag. 649, Weiß. Jura ε, Siringen, $\frac{1}{2}$ natürl. Größe.
Fig. 28. *Astrea reticulata* pag. 648, Ob. Kreide, Gosau, b vergrößert.
Fig. 29. — *bipartita* pag. 645, Ob. Kreide, Hallthor: b vergrößert.
Fig. 30. — *decemradiata* pag. 648, Weiß. Jura ε, Arnegg, b vergrößerte Zelle.
Fig. 31. *Astrea rotula* pag. 648, Ob. Kreide, Maastricht, Steinkern, b vergrößerter Zellenkern.
-



Erklärung der Tab. 58.

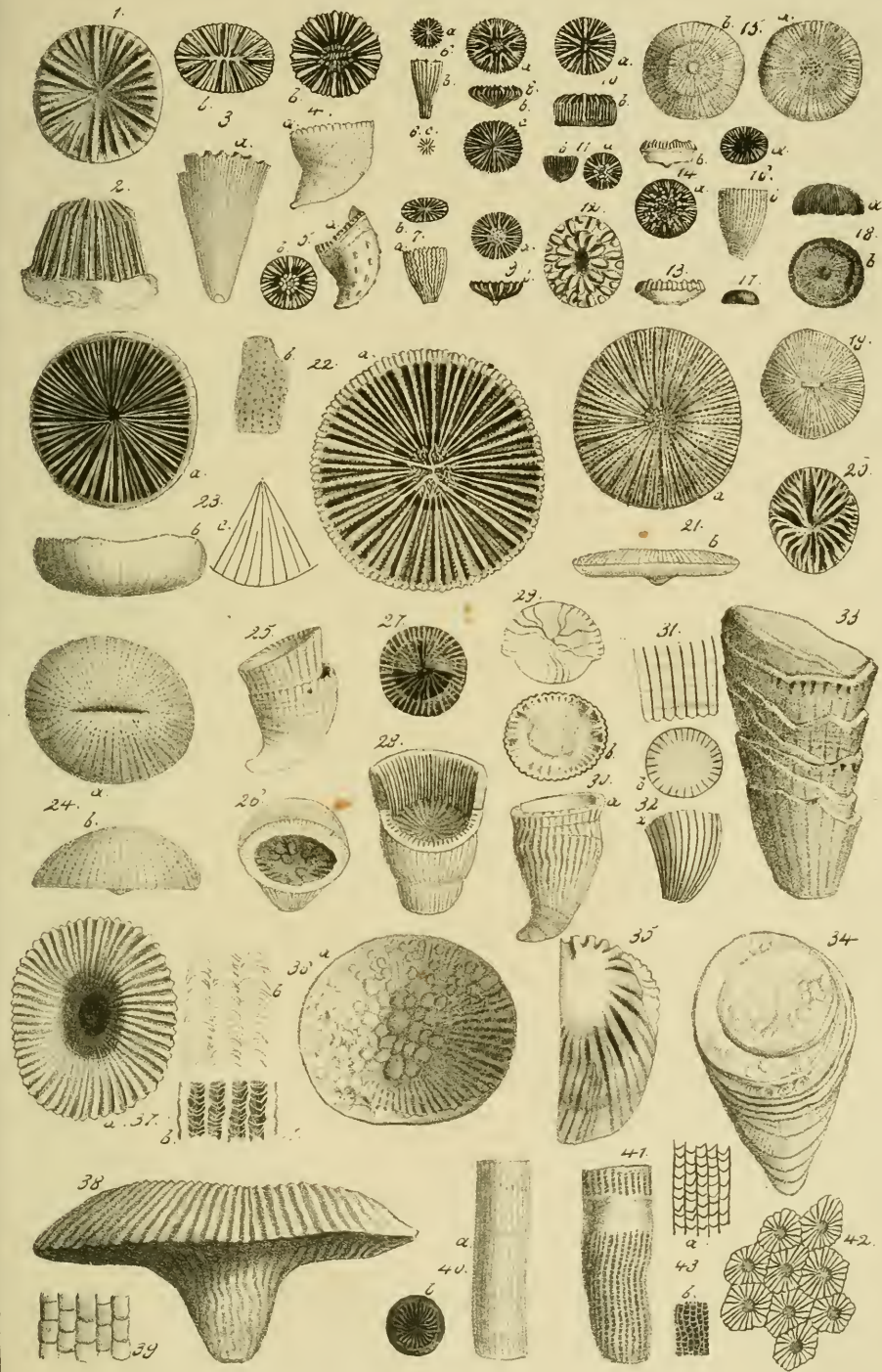
- Fig. 1. *Astrea confluens* pag. 649, Weiß. Jura ε, Nattheim.
Fig. 2. — *elegans* pag. 648, Ob. Kreide, Maastricht, Steinkern; 2. b vergrößert.
Fig. 3 u. 4. *Astrea microconos* pag. 649, Weiß. Jura ε: 3 Kehlheim, mit Hügeln; 4 Nattheim, mit vertieften Zellen.
Fig. 5. *Agaricia Sömmeringii* pag. 651, Weiß. Jura ε, Nattheim.
Fig. 6. *Astrea gracilis* pag. 650, deßgl., daher.
Fig. 7 u. 8. *Agaricia foliacea* pag. 651, Weißer Jura ε, Nattheim: 7. a großzellig, b zwei vergrößerte Strahlen; 8. a von oben, b Dicke des Stockes.
Fig. 9. *Astrea Zolleria* pag. 650, Mittl. Braun. Jura, Hohenzollern: a von oben, b von unten.
Fig. 10. *Astrea escharoides* pag. 650, Ob. Kreide, Maastricht, Steinkern: a von oben, b vergrößert, c ein Lamellenstück von der-Seite.
Fig. 11 u. 12. *Maeandrina* pag. 651, Steinkern von Kehlheim: 11 von oben, 12 seitlich.
Fig. 13. *Explanaria alveolaris* pag. 652, Weiß. Jura ε, Nattheim.
Fig. 14. *Lithodendron compressum* pag. 652, Weißer Jura ε, Nattheim: a seitlich, b Zelle.
Fig. 15. *Lithodendron elegans* pag. 652, Weiß. Jura ε, Nattheim.
Fig. 16. *Caryophyllia pumila* pag. 652, Weiß. Jura ε, Nattheim.
Fig. 17. *Lobophyllia slabellum* pag. 654, Weiß. Jura ε, Nattheim, von oben.
Fig. 18. — *germinans* pag. 654, Weiß. Jura ε, Nattheim: a seitlich, b von oben.
Fig. 19. *Lithodendron dianthus* pag. 654, Weiß. Jura ε, Wittlingen: a seitlich, b Zelle von oben.
Fig. 20. *Diploctenium lunatum* pag. 655, Ob. Kreide, Gosau, seitlich.
Fig. 21. *Caryophyllia liasica* pag. 654, Lias α, Hattenhofen: a seitlich, b von oben.
Fig. 22. *Turbinolia complanata* pag. 655, Ob. Kreide, Gosau, glatt angeschliffene Zelle.
Fig. 23 u. 24. *Anthophyllum obconicum* pag. 653, Weiß. Jura ε, Nattheim: Wirtelllamellen, 23 von der Zellenseite, 24 Zeichnung innen auf der Lamellenfläche.
-

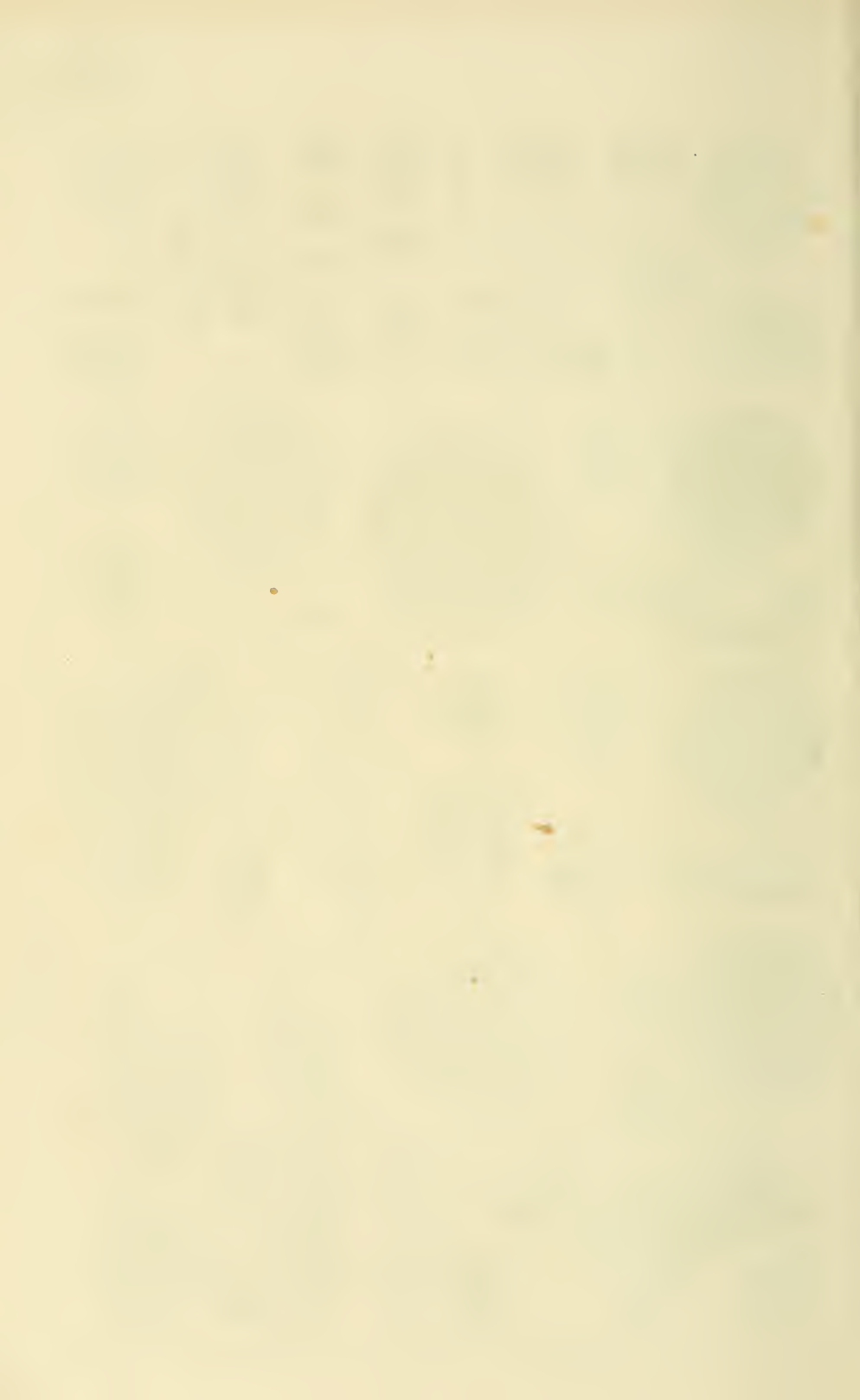


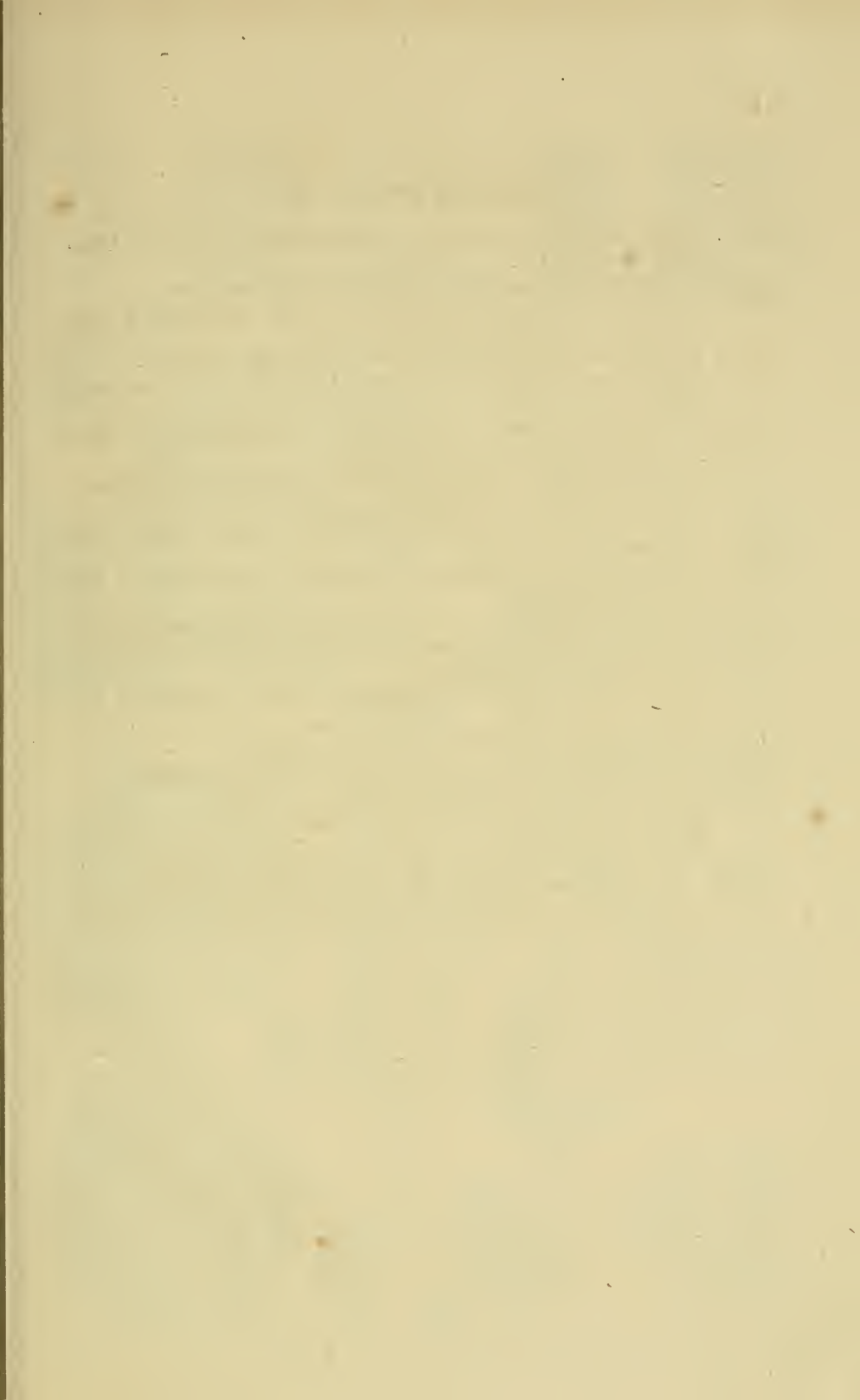


Erläuterung der Tab. 59.

- Fig. 1. *Turbinolia excavata* pag. 655, Weiße Kreide, Rügen, von oben.
Fig. 2. *Turbinolia-Kern* pag. 655, Ob. Kreide, Maastricht, seitlich.
Fig. 3. *Turbinolia elliptica* pag. 656, Grobkalk, Parnes.
Fig. 4. — *plicata* pag. 656, Subappenninenformation, Tortona.
Fig. 5. — *multispina* pag. 656, Subappenninenformation, Tortona.
Fig. 6. — *sulcata* pag. 656, Grobkalk, Parnes.
Fig. 7. — *crispa* pag. 656, Grobkalk, Parnes.
Fig. 8. *Stephanophyllia italica* pag. 657, Subappenninenformation, Tortona.
Fig. 9. *Turbinolia obesa* pag. 656, dægl. daher.
Fig. 10. *Stephanophyllia coronula* pag. 657, Untere Kreide, Eßen.
Fig. 11. *Cyclolites tintinnabulum* pag. 657, Lias ζ, Weiboldshausen.
Fig. 12 u. 13. *Stephanophyllia florealis* pag. 657, Weiß. Jura α: 12 von oben, 13 seitlich.
Fig. 14 u. 15. *Cyclolites mactra* pag. 657, Brauner Jura α: 14 Uhrweiler, 15 Gomaringen.
Fig. 16. *Turbinolia impressae* pag. 655, Weißer Jura α, Pfullingen.
Fig. 17. *Fungia radiata* pag. 658, Kreide, Achen, Seitenansicht.
Fig. 18 u. 19. *Fungia laevis* pag. 659, Großoolith, Ferrette: 18 a seitlich, b von unten, 19 von oben.
Fig. 20. *Hadrophyllum Orbignyi* pag. 660, Ob. Übergangsgeb., Pelm, von oben.
Fig. 21. *Cyclolites granulatus* pag. 658, von Frankreich.
Fig. 22. *Turbinolia cyclolites* pag. 655, Mattheim, Jura ε: b Punkte auf den Lamellen.
Fig. 23. *Cyclolites Langii* pag. 658, Großoolith, Himmel: a von oben, b seitlich, c Stück von unten.
Fig. 24. *Fungia elliptica* pag. 658, Ob. Kreide, Gosan.
Fig. 25. *Cyathophyllum ceratites* pag. 659, Ob. Übergangsgeb., Eifel: 25 proliferirend; 26 verkrüppelt von oben; 27 angeschliffen.
Fig. 29 u. 30. *Cyathophyllum lineatum* pag. 660, Ob. Überg., Eifel: 29 Scheidewand mit Streifen.
Fig. 31 u. 32. *Amplexus coralloides* pag. 661, Bergkalk, Ratingen: 31 Seitenstück; 32 b Scheidewand.
Fig. 33. *Amplexus tintinnabulum* pag. 661, Bergkalk, Kildare, etwas verkleinert.
Fig. 34. *Cyathophyllum lamellosum* pag. 662, Ob. Übergangsgebirge, Pelm.
Fig. 35. *Cyathophyllum celticum* pag. 662, Grauwacke, Olpe, halber Steinkern von der Unterseite.
Fig. 36. *Cyathophyllum vesiculosum* pag. 662, Ob. Überg., Eifel: a Zelle von oben, b Blasenstructur seitlich.
Fig. 37. *Cyathophyllum turbinatum* pag. 662, daher, a Zelle, b seitlich.
Fig. 38 u. 39. *Cyathophyllum helianthoides* Pag. 663, daher: 38 seitlich, 39 Zeichnung der verritterten Unterseite, etwas vergrößert.
Fig. 40 u. 41. *Cyathophyllum caespitosum* pag. 664, Devonisch: 40 Bensberg, 41 Eifel.
Fig. 42 u. 43. *Cyathophyllum ananas* pag. 663, Devonisch: 42 Huy, 43 von Grund, Längsschnitt b, a etwas vergrößert.

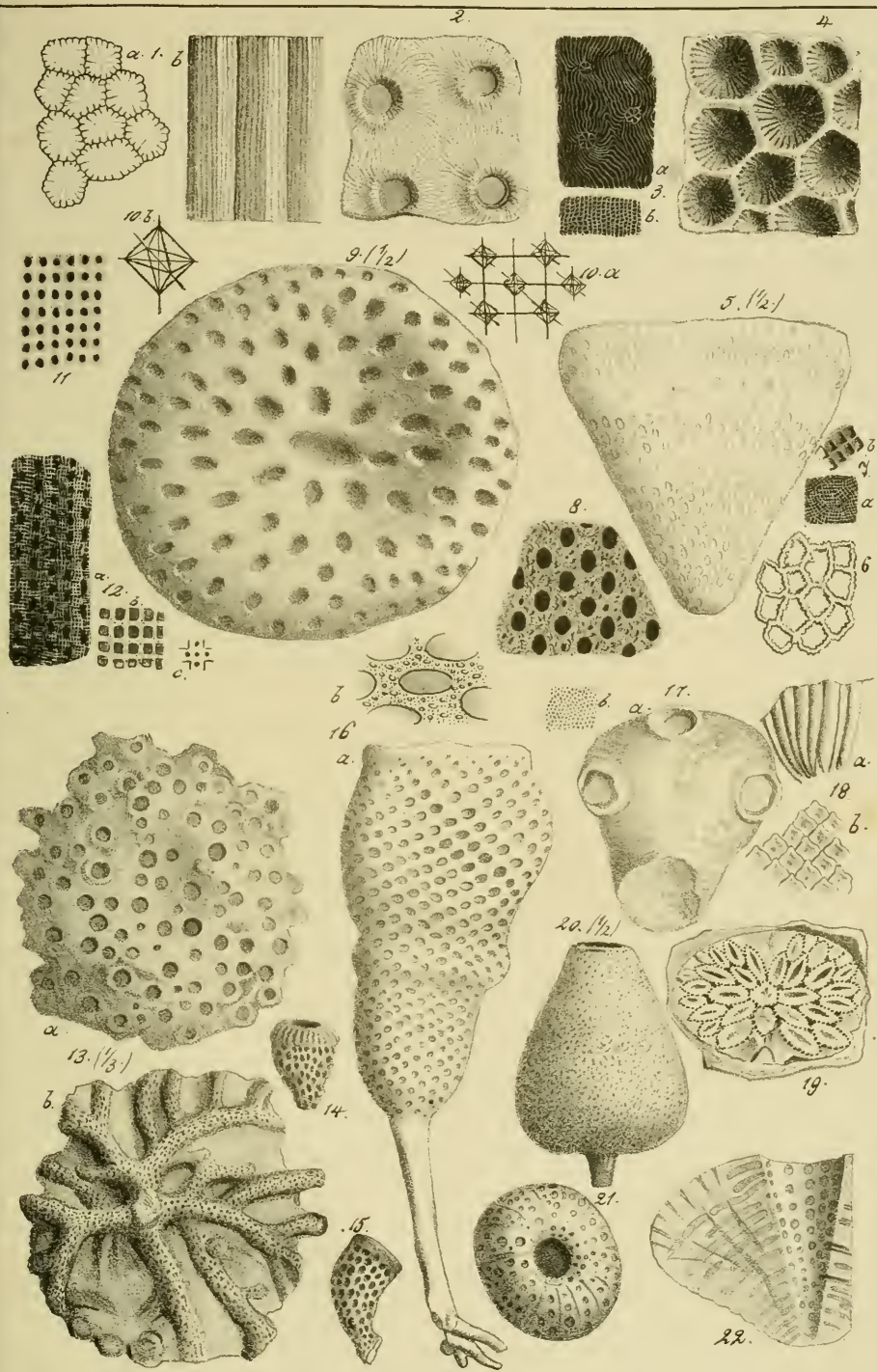


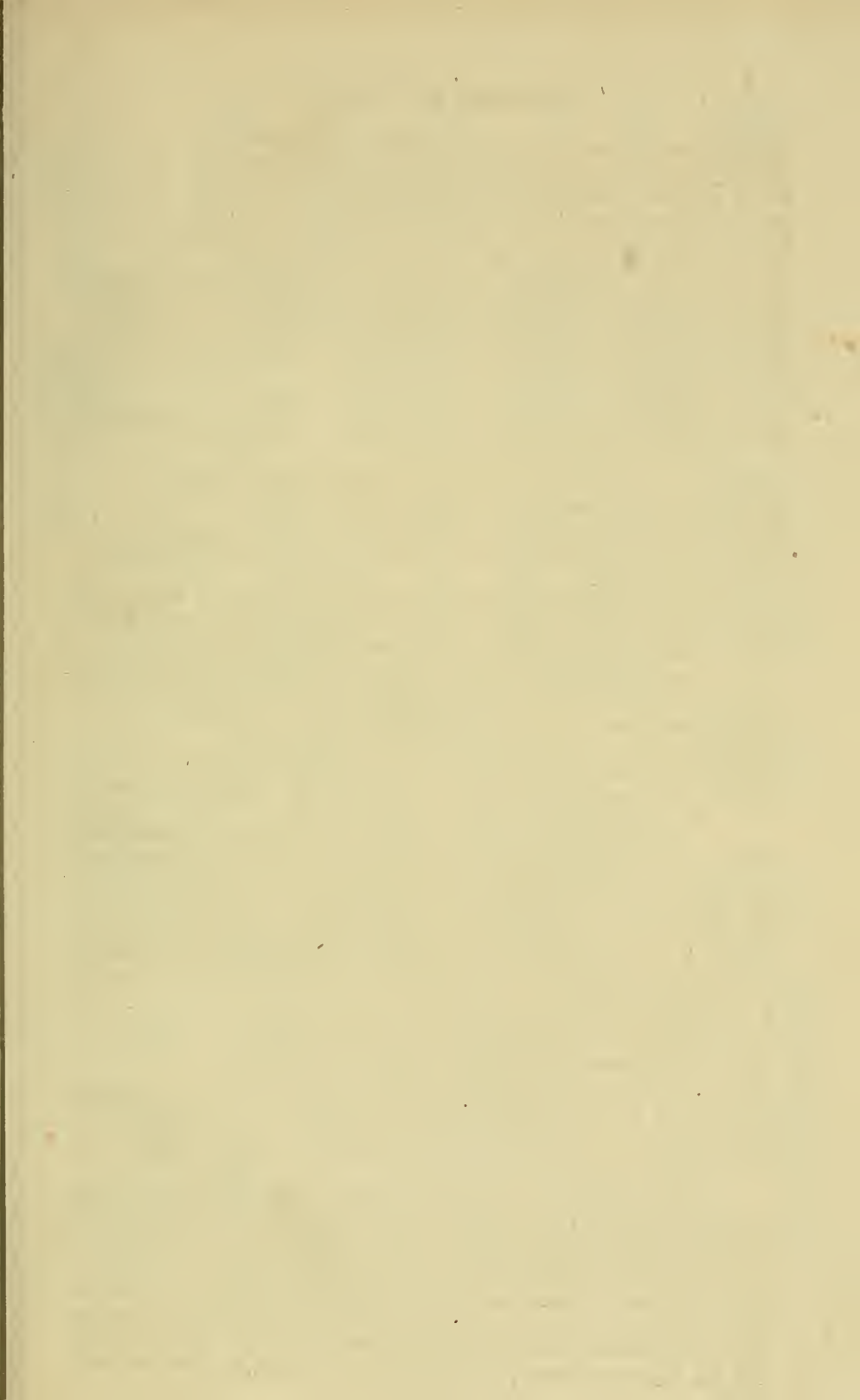




Erklärung der Tab. 60.

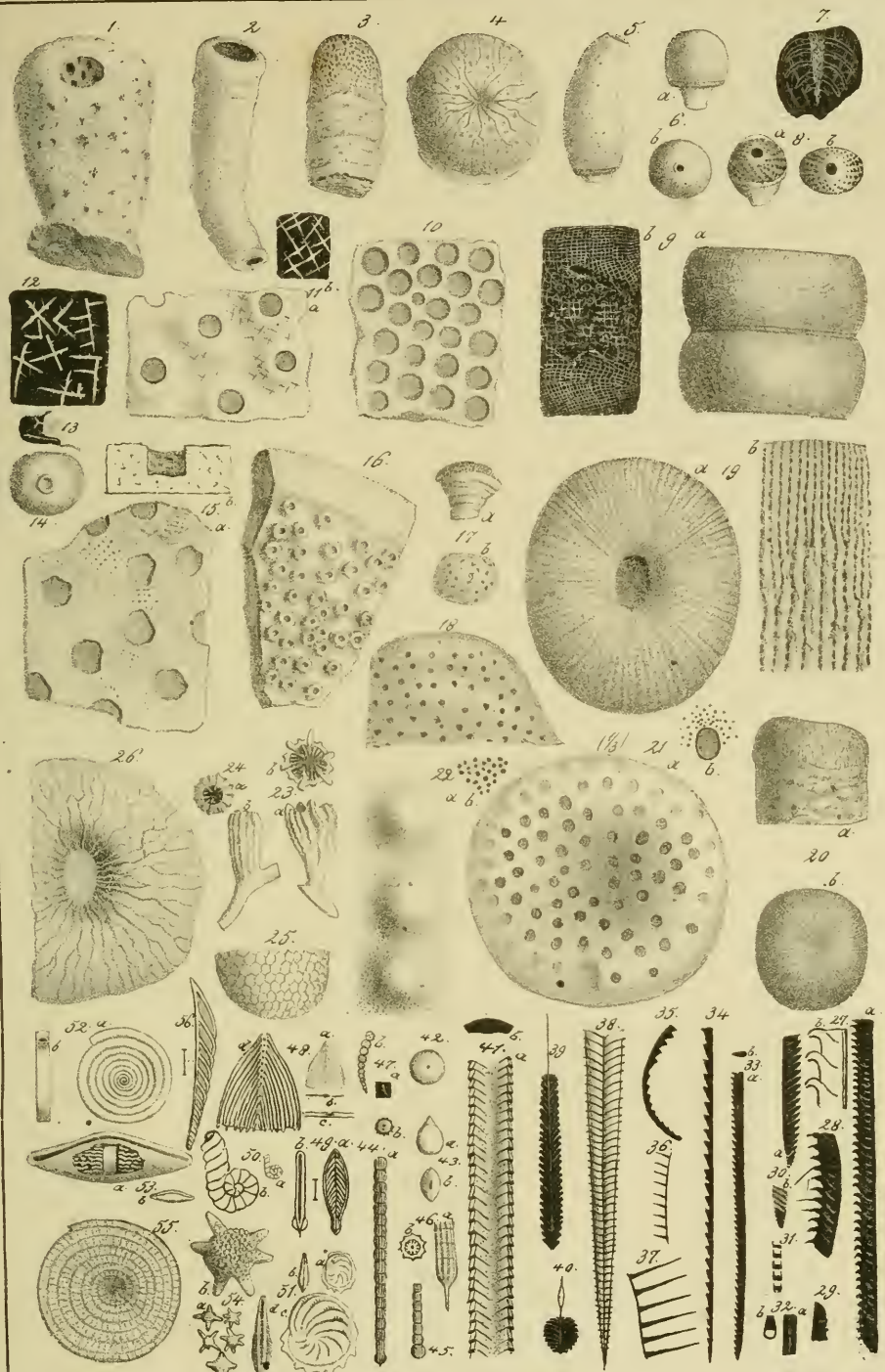
- Fig. 1. *Columnaria sulcata* pag. 664, Ob. Uebergangsgebirge, Eifel: a Querschliff, b Längsschliff.
- Fig. 2. *Acervularia baltica* pag. 664, Mittl. Ueberg., Dudley castle.
- Fig. 3. *Acervularia seriaca* pag. 664, Devonisch, Grund, angeschliffen, u. etwas vergrößert: a von oben, b seitlich.
- Fig. 4. *Cyathophyllum quadrigeminum* pag. 663, Devonisch, Bensberg.
- Fig. 5. *Spongites reticulatus* pag. 667, Mittlerer Weißer Jura, ein comprimirter Becher, $\frac{1}{2}$ nat. Größe.
- Fig. 6 u. 7. *Spongites reticulatus* pag. 667, daher: 6 Maschengewebe; 7 Fasergewebe: a natürliche Größe, b vergrößert.
- Fig. 8. *Spongites reticulatus*, dictwurzelig pag. 667, Weiß. Jura ε, Sibringen, verkieft, Löcher von der Innenseite.
- Fig. 9. *Spongites reticulatus* pag. 668, tellerförmig, Mittl. Weiß. Jura, Hössingen, $\frac{1}{3}$ nat. Größe.
- Fig. 10. Struktur des Fadengewebes von *Ventriculites* pag. 669, Copie nach Smith, stark vergrößert.
- Fig. 11. *Spongites texturatus* pag. 668, Mittl. Weiß. Jura, Felber der Oberfläche.
- Fig. 12. *Spongites cancellatus* pag. 668, Mittl. Weiß. Jura, Fadengewebe auf der Oberseite, b und c vergrößert.
- Fig. 13. *Spongites ramosus* pag. 668, Mittl. Weiß. Jura: a von oben, b von unten, $\frac{1}{3}$ nat. Größe.
- Fig. 14 u. 15. *Scyphia obliqua* 668, Weiß. Jura γ, Löchen.
- Fig. 16. *Ventriculites augustatus* pag. 669, Pläner, Thale: b vergrößert.
- Fig. 17. *Scyphia bursa* pag. 670, Pläner, Thale, b vergrößert.
- Fig. 18. *Receptaculites Neptuni* pag. 670, Devonisch, Ob. Kunzendorf: a innere Röhren, b Oberfläche.
- Fig. 19. *Pleurodictyon problematicum* pag. 671, Grauwacke, Kemmenau.
- Fig. 20. *Siphonia piriformis* pag. 672, Ob. Grünsand, Blackdown, $\frac{1}{2}$ nat. Größe.
- Fig. 21 u. 22. *Siphonia radiata* pag. 671, Mittl. Weiß. Jura: 21 von oben, 22 Längsschliff.

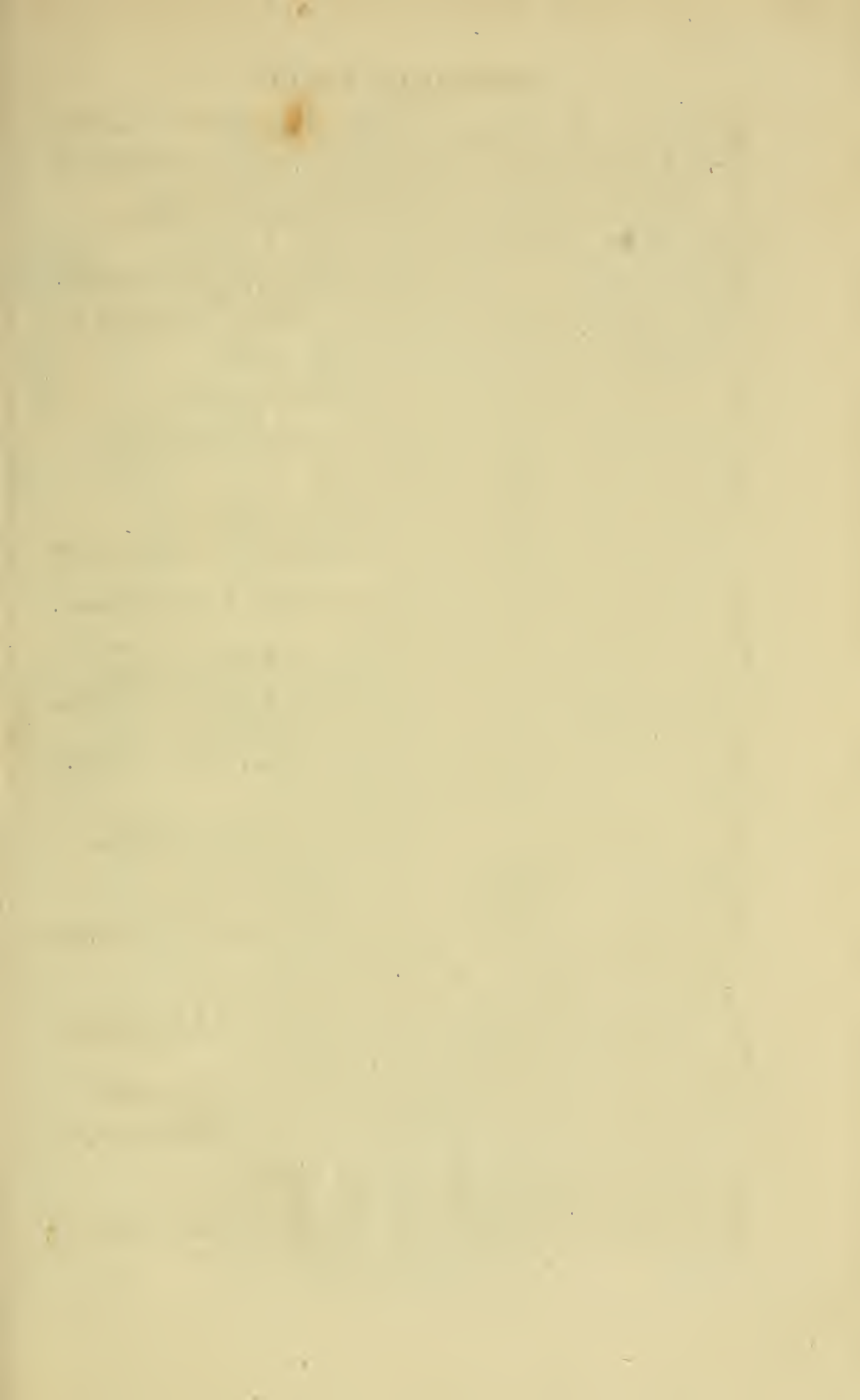




Erklärung der Tab. 61.

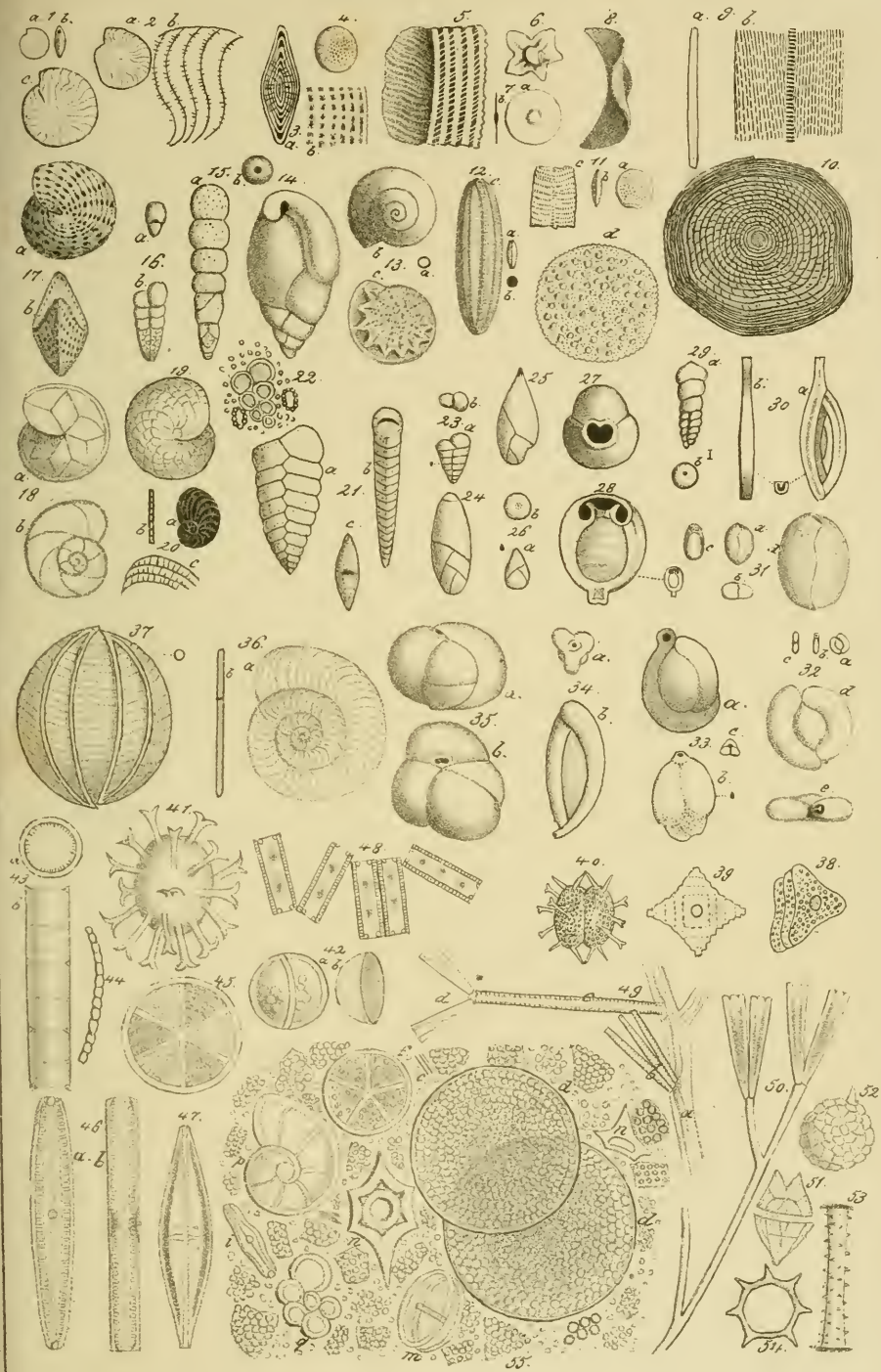
- Fig. 1. *Scyphia calopora* pag. 669, Weiß. Jura ε, Nattheim.
Fig. 2. *Scyphia elegans* pag. 673, Weiß. Jura ε, Nattheim.
Fig. 3. *Spongites radiciformis* pag. 673, Weiß. Jura ε, Steinheim.
Fig. 4. *Cnemidium astroites* pag. 672, St. Gasslan, von oben.
Fig. 5—7. *Spongites rotula* pag. 672, Weiß. Jura γ, 7 Längsschliff.
Fig. 8. *Spongites indutus* pag. 672, Weiß. Jura ε, Nattheim.
Fig. 9. Sp. *articulatus* p. 672, Ob. Weiß. Jura, Alp: b vergr. Gewebe d. Oberfläche.
Fig. 10. *Spongites poratus* pag. 674, Mittl. Weiß. Jura, Alp, Poren der Oberfläche.
Fig. 11. Sp. *spiculatus* pag. 676, Ob. Weißer Jura, Heidenstadt, b vergrößert.
Fig. 12 u. 13. *Kieselnadeln* pag. 673, 12 von Ulrich, 13 von Nattheim, Nadel u. Dreizack.
Fig. 14. *Manon marginatum* pag. 676, Weiß. Jura γ, Lochen.
Fig. 15. *Manon impressum* pag. 675, Weiß. Jura γ, Thieringen, b Dicke des Stocks u. Tiefe des Lochs.
Fig. 16. *Spongia marginata* pag. 675, Ob. Kreide, Gutmer Berg.
Fig. 17. *Manon capitatum* pag. 677, Ob. Kreide, Maastricht.
Fig. 18. *Manon peziza* pag. 676, Kreidef., Eissen.
Fig. 19. *Cnemidium Goldfussii* pag. 674, Mittl. Weiß. Jura, Hössingen, a von oben, b seitlich.
Fig. 20. *Cnemidium diceratinum* pag. 675, Oberster Weißer Jura, Kehlheim.
Fig. 21. *Tragos rugosum* pag. 675, Mittl. Weiß. Jura, Alp, 1/3 nat. Größe, b ein Loch in nat. Größe von Körnereindrücken umgeben.
Fig. 22. *Ceriopora verrucosa* pag. 677, Neb. Geb., Eifel, b vergrößert.
Fig. 23. *Lobophyllia radicata* pag. 654, Weiß. Jura ε, Nattheim.
Fig. 24. *Lobophyllia coarctata* pag. 654, Weiß. Jura ε, Nattheim.
Fig. 25. *Sphaerites regularis* pag. 630, Portlandkalk, Cammin.
Fig. 26. *Cnemidium corallinum* pag. 675, Weiß. Jura ε, Nattheim.
Fig. 27 u. 28. *Graptolithus Ludensis* pag. 681, Silurisch, Geschiebe bei Berlin, 27 b vergrößert.
Fig. 29—33. *Grapt. serratus* pag. 681, daher: 29 Oberende, 30 b Kammerwände, 31 von der off. Bauchseite, 32 vergrößert a vom Rücken, 33 b Scheidewand.
Fig. 34. *Grapt. scalaris* pag. 681, von Ronneburg, Copie nach Geinitz.
Fig. 35. *Grapt. scalaris* pag. 681, Silurisches Geschiebe von Berlin.
Fig. 36. u. 37. *Rastrites* pag. 682, Copie nach Barrande, 36 fugax, 37 Linnaei.
Fig. 38. *Grapt. foliaceus* pag. 682, Kieselschiefer, Ronneburg, Copie nach Geinitz.
Fig. 39. *Grapt. palmeus* pag. 682, Kuchelbad bei Prag, Copie nach Barrande.
Fig. 40. *Grapt. ovatus* pag. 682, desgl.
Fig. 41. *Gladiolites Geinitzianus* pag. 682, Copie nach Barrande.
Fig. 42. *Orbulina universa*, pag. 679, Copie nach d'Orbigny.
Fig. 43. *Fissurina laevigata* pag. 679, Egel, Copie nach Neuß.
Fig. 44—46. *Nodosaria raphanistrum* pag. 679, Subapp., Turin, 46 vergrößert.
Fig. 47. *Dentalina Adolphina* pag. 689, Egel bei Wien, a nat. Größe.
Fig. 48. *Frondicularia complanata* pag. 680, Subapp., Turin: a seitlich, b von unten, c u. d vergrößert.
Fig. 49. *Frondicularia canaliculata* pag. 680, Plänermergel, Copie nach Neuß.
Fig. 50. *Webbina* pag. 680, auf Bel. dilatatus. Castellane, b vergrößert.
Fig. 51. *Cristellaria cassis* pag. 682, Subapp., Turin, c u. d vergrößert.
Fig. 52. *Operculina angigyra* pag. 682, Egel, Copie nach Neuß.
Fig. 53. *Fusulina cylindrica* pag. 683, Oberer Bergfalk, Copie nach d'Orbigny.
Fig. 54. *Siderolites calcitrapoides* pag. 683, Ob. Kreide, Maastricht, b vergrößert.
Fig. 55. *Operculina granulata* pag. 682, Kressenberg, Subalpin. Tertiärformation.
Fig. 56. *Vaginulina costulata* pag. 680, Plänermergel von Kystra, Copie nach Neuß.

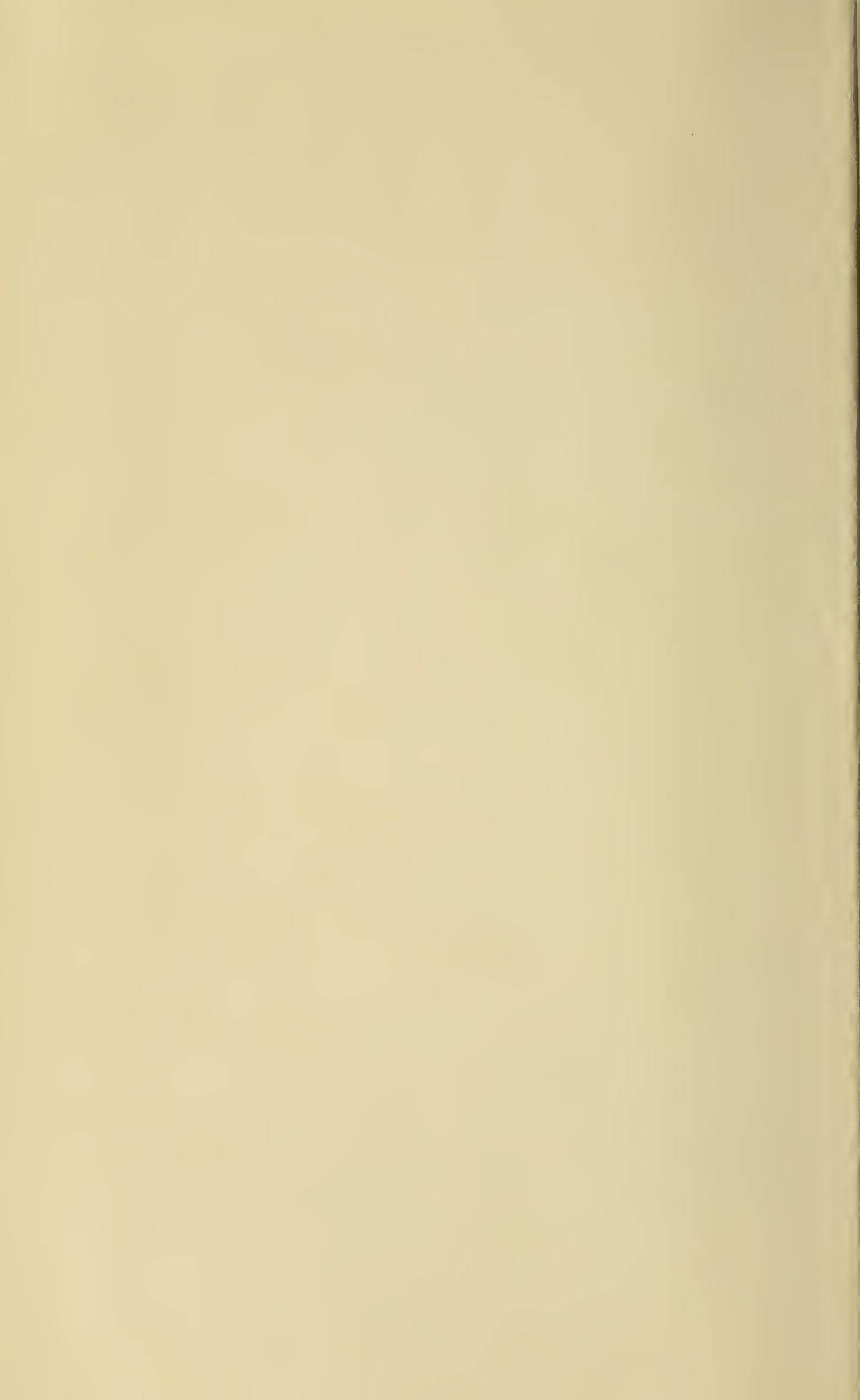




Erklärung der Tab. 62.

- Fig. 1 u. 2. *Lenticulina planulata* pag. 684, Tertiärgebirge, Soissons: 1. c vergrößert, 2. b vergrößerte Scheidewände.
- Fig. 3 u. 4. *Nummulites laevigatus* pag. 684, Grobfalk, Paris: 3. a Querschliff, b ein Stück vergrößert, Paris; 4. junges Exemplar.
- Fig. 5. *Nummulites fossilis* pag. 684, Kairo, vergrößert, abgehobene Platten.
- Fig. 6. — *laceratus* pag. 686, Monti Berici, Subalpinische Formation.
- Fig. 7. — *mammillatus* pag. 685, daher, desgl.
- Fig. 8. — *complanatus* pag. 684, daher, desgl., von der Kante.
- Fig. 9. — — — pag. 684, Kressenberg, a natürl. Größe, b vergrößert.
- Fig. 10. — *laevigatus* pag. 684, Monti Berici, Medianbruch.
- Fig. 11. *Lycophrys Faujasii* pag. 685, Ob. Kreides, Maastricht: c (Querschnitt) und d vergrößert.
- Fig. 12. *Alveolina Boscii* pag. 685, Grobfalk, Parnes: e vergrößert.
- Fig. 13. *Rotalia trochidiformis* pag. 686, Grobfalk, Parnes.
- Fig. 14. *Bulimina affinis* pag. 686, lebt bei Cuba, Copie nach d'Orbigny.
- Fig. 15. *Clavulina nodosaria* pag. 686, daher, desgl.
- Fig. 16. *Gaudryina rugosa* pag. 686, Plänermergel, Luschiz, Copie nach Neuß.
- Fig. 17. *Polystomella Lanieri* pag. 685, lebt bei Cuba, Copie nach d'Orbigny.
- Fig. 18. *Asterigerina carinata* pag. 686, daher, desgl.
- Fig. 19. *Heterostegina antillarum* pag. 686, daher, desgl.
- Fig. 20. *Heterostegina Puschii* pag. 686, Tertiärgebirge, Korytnica.
- Fig. 21. *Textularia acuta* pag. 687, Tegel, Baden, Copie nach Neuß.
- Fig. 22. *Textularia striata* pag. 687, Weiße Kreide, Rügen, umgeben von Chrenberg's Crystalloiden des Kreidefalks.
- Fig. 23. *Textularia conulus* pag. 687, Plänermergel, Kauk, Copie nach Neuß.
- Fig. 24. *Polymorphina Rocheboriana* pag. 687, lebt bei Cuba, Copie nach d'Orbigny.
- Fig. 25. *Guttulina vitrea* pag. 687, daher, desgl.
- Fig. 26. *Guttulina lacryma* pag. 687, Plänermergel, Luschiz, Copie nach Neuß.
- Fig. 27. *Biloculina cyclostoma* pag. 688, Tegel, Copie nach Neuß, von oben.
- Fig. 28. *Miliolites ringens* pag. 688, Grobfalk von Grignon, Copie nach Parkinson.
- Fig. 29. *Bigenerina pusilla* pag. 687, Norddeutsches Tertiärgebirge, Copie nach Römer.
- Fig. 30. *Spiroloculina rostrata* pag. 688, Tegel, Copie nach Neuß.
- Fig. 31. *Fabularia discolithes* pag. 688, Grobfalk, Parnes; d vergrößert.
- Fig. 32. *Triloculina symmetrica* pag. 688, Subappenninenfern., Turin; d vergrößert.
- Fig. 33. — *trigonula* pag. 688, Grobfalk, Parnes.
- Fig. 34. *Quinqueloculina saxorum* pag. 688, Grobfalk, Parnes.
- Fig. 35. *Sphaerolina austriaca* pag. 689, Tegel bei Baden, Copie nach Neuß.
- Fig. 36. *Lenticulites ammoniticus* pag. 683, Kressenberg, Subalpin. Tertiärgebirge.
- Fig. 37. *Melonites sphaericus* pag. 686, Copie nach Brinquieré.
- Fig. 38. *Desmidium Schwartzii* pag. 691, Copie nach Chrenberg, lebt.
- Fig. 39. *Staurastrum dilatatum* pag. 691, Copie nach Chrenberg, lebt.
- Fig. 40. *Xanthidium furcatum* pag. 691, Copie nach Chrenberg, lebt.
- Fig. 41. X. *Delitiense* pag. 691, Copie nach Chrenberg, aus Feuerstein von Delitzsch.
- Fig. 42. *Pxidicula* pag. 692, Copie nach Chrenberg, lebt.
- Fig. 43. *Gallionella varians* pag. 692, Copie nach Chrenberg, lebt.
- Fig. 44. — *ferruginea* pag. 692, Copie nach Chrenberg, lebt.
- Fig. 45. *Actinocyclus semarius* pag. 692, tertiar, Dran, Copie nach Chrenberg.
- Fig. 46. *Navicula viridis* pag. 693, Kieselalnhr, Franzensbad, Copie nach Chrenberg.
- Fig. 47. *Navicula fulva* pag. 693, lebt, Copie nach Chrenberg.
- Fig. 48. *Bacillaria vulgaris* pag. 693, lebt, Copie nach Chrenberg.
- Fig. 49. *Synedra ulna* pag. 693, lebt: b junge, c alte; d *Podosphenia gracilis*.
- Fig. 50. *Gomphonema gracile* pag. 693, lebt, Copie nach Chrenberg.
- Fig. 51. *Peridinium pyrophorum* pag. 694, im Feuerstein von Delitzsch, Copie nach Chrenberg.
- Fig. 52. P. *Delitiense* pag. 694, daher, Copie nach Chrenberg.
- Fig. 53. *Amphidiscus Martii* pag. 695, lebt, Copie nach Chrenberg.
- Fig. 54. *Mesocena heptagona* pag. 695, lebt, Copie nach Chrenberg.
- Fig. 55. Mergel von Dran pag. 694, Copie nach Chrenberg, 300 Mal vergrößert.







3 2044 110 323 441

Date Due

FEB 1972

